

**O'ZBEKISTON RESPUBLIKASI
OLIY VA O'RTA MAXSUS TA'LIM VAZIRLIGI**

**ABU RAYHON BERUNIY NOMIDAGI
TOSHKENT DAVLAT TEXNIKA UNIVERSITETI**



**STRUKTURALAR GEOLOGIYASI
VA GEOLOGIK HARITALASH**

**fanidan
5311800-«Gidrogeologiya va muxandislik
geologiyasi» yo'naliш talabalari uchun kurs ishini
bajarish bo'yicha uslubiy ko'rsatmalar**

Toshkent – 2015

UDK.550.8:528

Tuzuvchilar:Zakirov R.T., Tulyaganova N.Sh.,AllayarovB.I.

«**Strukturalar geologiyasi va geologik haritalash»** fanidan
5311800-«Gidrogeologiya va muhandislik geologiyasi»
yo‘nalishi uchun kurs ishini bajarish bo‘yicha uslubiy
ko‘rsatmalar. ToshDTU- 2015.

Ushbu uslubiy ko‘rsatmada talabalar kurs ishini bajarishlari
uchun zarur bo‘ladigan geologik harita tuzish usullari, haritada
tasvirlangan tog‘ jinslarining yotish elementlarini aniqlash, quduq
ma’lumotlariga asoslanib qiya yotgan qatlamning yuzaga chiqqan
chizig‘ini topish, geologik kesmalar va stratigrafik ustun tuzish
yo‘llari keltirilgan.

Bundan tashqari, ko‘rsatmada kurs ishining tarkibiy qismlari,
kurs ishi boblarining mazmuni, harita va chizmalarni joylashtirish
tartibi hamda kurs ishini himoya qilish qoidalari keltirilgan.

Ushbu uslubiy ko‘rsatma Oliy ta’limning 5 311 800 –
“Gidrogeologiya va muhandislik geologiyasi” ta’lim yo‘nalishi
bakalavrlari uchun mo‘ljallangan.

Abu Rayhon Beruniy nomidagi Toshkent davlat texnika
universiteti ilmiy-uslubiy kengashi qaroriga asosan chop etildi.

Taqrizchilar:

Umarov A.Z.

O‘zMU, Geologiya fakulteti,
«Geokimyo, mineralogiya va
Petrografiya» kafedrasи mudiri,
g-m.f.n., dotsent

Mirhodjayev B.I.

ToshDTU «Foydali qazilmalar
geologiyasi va qidiruv ishlari»
kafedrasи g-m.f.n., dotsenti

© Toshkent davlat texnika universiteti, 2015

Kirish

Respublikamizda barcha sohalarda bo‘lgani kabi, Gidrogeologiya sohasida ham zamon talabiga javob beradigan, ilm-fanning zamo-naviy yutuqlarini amaliyotda qo‘llay oладиган, интеллектуал сало-хиятга ега bo‘lgan mutaxassislar tayyorlashga katta e’tibor berilmoqda. Hozirgi kunda ixtisoslik fanlaridan ma’ruza va amaliy mashg‘ulotlarning o‘zbek tili lotin imlosida olib borilishi talabala-rning bilim saviyalarining oshishiga olib kelmoqda. Lekin o‘zbek tili lotin imlosida mutaxassislik fanlaridan darsliklar, o‘quv va uslubiy qo‘llanmalarning yetishmasligi, bunday adabiyotlarni tayyorlashni taqozo etadi.

Strukturalar geologiyasi va geologik haritalash fani geologiya va gidrogeologiyaning barcha mutaxassislik yo‘nalishlarida ta’lim olayotgan talabalar uchun umumkasbiy fani bo‘lib, bu fan bo‘yicha talabalar ma’ruza va amaliyot mashg‘ulotlaridan tashqari, kurs ishini ham bajaradilar.

Strukturalar geologiya va geologik haritalash fanidan kurs ishi bajarishdan maqsad – talabalar ma’ruza va amaliyot darsida o‘rgangan bilimlarini mustahkamlash bilan birgalikda qatlamlarning fazoviy joylashishini tasavvur qilish mahoratini oshirish, geologik haritada tasvirlangan tog‘ jinslarining yotish elementlarini aniqlash, burg‘ilash quduqlari yordamida aniqlangan qatlamning yotish elementlaridan foydalanib uning yuzaga chiqqan chegaralarini topish, qatlamlarning qalilnliklaridan foydalanib, ularning chegaralarini aniqlab, geologik harita tuzishdan hamda tuzilgan harita bo‘yicha geologik kesmalar va stratigrafik ustun tuzib, o‘rganilayotgan maydonning geologik tuzilishi to‘g‘risida umumiyy ma’lumotlarni mustaqil tahlil qilishdan iborat.

Ushbu uslubiy ko‘rsatmada kurs ishini tayyorlashning uslubiyati, ishni bajarishdagi vazifalar ketma-ketligi, ish davomida yig‘ilgan harita va chizmalarni tahrirlash, tuzilgan geologik harita, kesmalar va stratigrafik ustundan foydalanib, o‘rganilayotgan maydonning geologik tuzilishi to‘g‘risida yozma tahlilning

mazmuni, unda keltiriladigan bo‘limlarning mazmuni to‘g‘risida ma’lumot berilgan.

Uslubiy ko‘rsatmaning so‘nggi qismida kurs ishi variantlari keltirilgan.

Ishning maqsadi va vazifalari

Kurs ishining maqsadi – talabalarni “Strukturalar geologiyasi va geologik haritalash” fanidan olgan bilimlarini mustahkam-lashdan iborat. Ishning vazifalariga quyidagilar kiradi: tog‘ jinsi qatlamlarining bir turini yagona geologik strukturaga umum-lashtirish; bu strukturaning fazoviy interpretasiyasini blokdiag-ramma va kesmalar misolida o‘zlashtirish; strukturuning geologik tuzilishini yozish. Kurs ishining yozma qismi A4 formatli qog‘ozda 10–15 bet bo‘lishi kerak.

Kurs ishi talabani geologik strukturalarni mustaqil tahlil qilishga o‘rgatadi va o‘quv hamda ishlab chiqarish amaliyotlariga tayyorlaydi.

Hisobot quyidagi bo‘limlardan tashkil topishi kerak:

Kirish.

1. Rayonning tabiiy-geografik sharoiti, orqidrografiysi
2. Rayonning geologik tuzilishi

A. Stratigrafiya.

3. Rayonning geologik strukturalari.
4. Rayonning geologik rivojlanish tarixi.

Xulosa

Foydalanilgan adabiyotlar ro‘yxati.

Hisobot bo‘limlarinig mazmuni

Kirish

Bu bo‘limda amaliy ishlarning aniq maqsadi, o‘tish mudatlari, hajmi, amaliy ish usullari, marshrutlar soni, amaliy ishlar olib boriladigan maydonning geografik o‘rni to‘g‘risida ma’lumotlar beriladi. Agar amaliy ish jarayonida aerokosmo-

24-variant.....	137
25-variant.....	143
26-variant.....	147
27-variant.....	152
1-вариант.....	158
2-вариант.....	165
3-вариант.....	171
4-вариант.....	178
5-вариант.....	182
6-вариант.....	186
7-вариант.....	191
8-вариант.....	197
9-вариант.....	209
10-вариант.....	211
11-вариант.....	218
12-вариант.....	224
13-вариант.....	231
Adabiyotlar.....	235

Mundarija

Kirish.....	3
Hisobot bo‘limlarinig mazmuni.....	4
1. Rayonning tabiiy-geografik sharoiti, orogidrografiysi.	5
2. Rayonning geologik tuzilishi.....	5
A.Stratigrafiya.....	5
3. Rayonning geologik strukturalari.....	6
4. Rayonning geologik rivojlanish tarixi.....	6
Xulosa.....	6
Ishni tashkil qilish.....	7
1-variant.....	10
2-variant.....	17
3-variant.....	23
4-variant.....	30
5-variant.....	37
6-variant.....	43
7-variant.....	50
8-variant.....	57
9-variant.....	63
10-variant.....	70
11-variant.....	77
12-variant.....	83
13-variant.....	90
14-variant.....	94
15-variant.....	98
16-variant.....	104
17-variant.....	107
18-variant.....	111
19-variant.....	116
20-variant.....	119
21-variant.....	123
22-variant.....	128
23-variant.....	132

fotosuratlaridan foydalanilgan bo‘lsa, bu fotosuratlarning sifatlari, ayrim joylarning suratbopligi tahlil qilinadi va tegishli xulosalar chiqariladi.

1. Rayonning tabiiy-geografik sharoiti, orogidrografiysi

Bu bobda relyeflarning xususiyati, ularning past-balandlik darajasi, vodiy va suv ayirg‘ichlarining mutlaq va nisbiy balandliklari, daryo va soy tarmoqlarining xususiyatlari, uzunligi, chuqurligi, eni, oqish tezligi, yer yuzasining ochiqlik darajasi to‘liq beriladi. Shuningdek rayonning iqlimi, o‘simgilik va hayvonot dunyosi, mahalliy aholisi, iqtisodiy xususiyati va o‘zlashtirish darajasi, tog‘ sanoati va tog‘ inshootlarining ahvoli, mashina va temir yo‘l, telegraf aloqlarini to‘g‘risidagi ma’lumotlar keltiriladi.

2. Rayonning geologik tuzilishi

A.Stratigrafiya

Bu bo‘lim boshqalariga nisbatan eng muhim hisoblanadi va hajmi jihatidan birmuncha ko‘proqdir. Bu qismda rayonda tarqalgan hamma cho‘kindi vulkanogen va metamorfik jins bo‘limlari qadimgilaridan yoshlariiga qarab batafsil yoritiladi. Kesmalarni o‘rganish sistemalar, bo‘linmalar, turkumlar bo‘yicha olib boriladi. Ularning o‘zaro munosabatlari aniqlanadi. Bobning boshida maydon stratigrafik kesmasining umumiyl tuzilishi beriladi. So‘ngra har bir bo‘linmaga to‘liq litologik ta’riflar keltiriladi.

Tog‘ jinslarining qalinligi, yoshi, fatsial farqi, hamma tanafuslar, nomuvofiqliklar aniqlanib, ularga to‘liq izohlar beriladi.

3. Rayonning geologik strukturalari

Bo‘limda rayonning viloyat umumiy tektonik strukturasidagi o‘rni, asosiy struktura bo‘linmalari (etaj yoki yarus, burmachang kompleks) tasvirlanadi. Har bir struktura bo‘linmasi batafsil yoritiladi. Yer qobig‘idagi tektonik harakatlarning tartibi, ro‘y bergen davri aniqlanadi. Rayondagi burma va uzilmalarning turlari ko‘rsatiladi. Shuningdek, maydondagi antiklinal va sinklinal strukturalarning joylashish shakllari, morfologik turlariga tavsif beriladi. Ularning o‘lchamlari (eni, bo‘yi) aniqlanadi.

4. Rayonning geologik rivojlanish tarixi

Bu bo‘lim avvalgi bo‘limlarning hamma geologik materialini tahlil qilishga asoslangan va birmuncha murakkabdir. Bu bo‘limda rayonning taraqqiyoti tarixini yoritish, tahlil qilishga imkoniyati bo‘lgan qadimgi davrlardan boshlanadi. Rayonning geologik taraqqiyotida ma’lum tektonik va paleogeografik sharoitni aks ettiruvchi yirik, asosiy bosqichlarni ajratish zarur va taraqqiyot tarixini shu bosqichlarga ko‘ra tasvirlash kerak. Har bir bunday bosqichda o‘ziga xos tektonik strukturalar paydo bo‘lgan. Shuning uchun bu oraliqdagi davrning paleogeografik sharoitini, tektonik harakatlar izchilligini dalillar asosida tiklashga harakat qilish kerak.

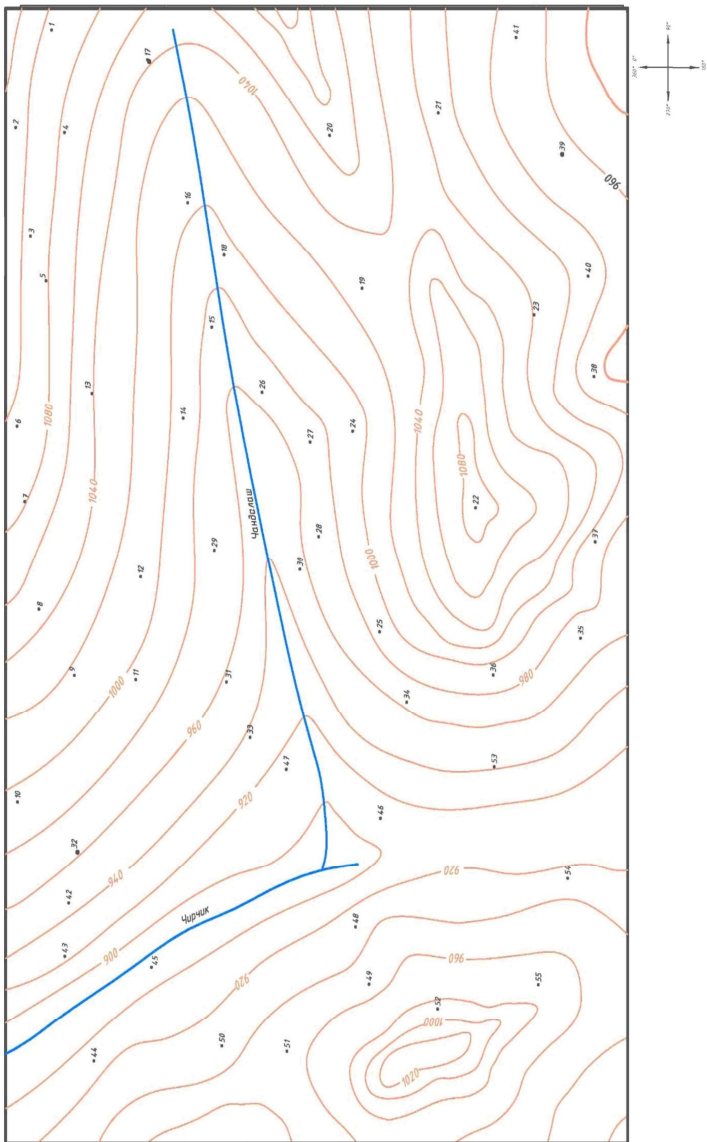
Xulosa

Bu bo‘limning mazmuni rayon bo‘yicha o‘tkazilgan geologik ishlarning natijalariga bog‘liq. Bu yerda qilingan ishlarning yakuni, nazariy va amaliy jihatdan ahamiyati, foydali qazilma boyliklarga bo‘lgan istiqbollarini aniqlashdagi o‘rni, rayon bo‘yicha navbatdagi geologik qidiruv ishlarning vazifalari aniqlanadi. Shuningdek, ish jarayonida yechilmagan geologik va tektonik muammolar ko‘rsatilib, sabablari aniqlanadi va ularni hal qilish yo‘llari belgilanadi.

Adabiyotlar:

1. Chinniqulov X, Xo‘jayev X. S. va b., Strukturaviy geologiya va geologik haritalash. Darslik. Toshkent; 2009. 368 b.
2. Xolismatov I.X, Zokirov R.T. Strukturalar geologiyasi va geotektonik izlanishlar. O‘quv qo‘llanma, Toshkent:-ToshDTU. 2004.
3. Султонмуродов Ш.Структуралар геологияси ва хариталаш. Тошкент, Конструктор, 1992.
4. Ахмаджонов М.О., Султонмуродов Ш., Набиев К.К. Геологик хариталаш. Тошкент: Ўқитувчи, 1990.
5. Михайлов А.Е. Структурная геология и геологическое картирование. Москва: Недра, 1984.
6. Сократов Г.И. Структурная геология и геологическое картирование.- М: Недра, 1972.

13-вариант 4(12)
Масштаб 1:5000



234

Ishni tashkil qilish

Talabalarga vazifa berishdan oldin guruhga uni qanday bajarilishi to'g'risida instruktaj o'tkaziladi. Keyinchalik talabalar individual konsultatsiyalar oladilar. Berilgan ma'lumotlar asosida vazifani bajarish ketma-ketligi quyidagi chadir:

- faktik ma'lumotlar haritasini tuzish;
 - geologik karta tuzish;
 - geologik kesma chizish;
 - stratigrafik kolonka tuzish;
 - hisobot yozish.

Kurs ishining himoyasi komissiya va talabalar guruhi oldida bo‘ladi.

Himoyada talaba 10-12 minut ishi yuzasidan ma’ruza qiladi va savollarga javob beradi.

Geologik kesma tuzish

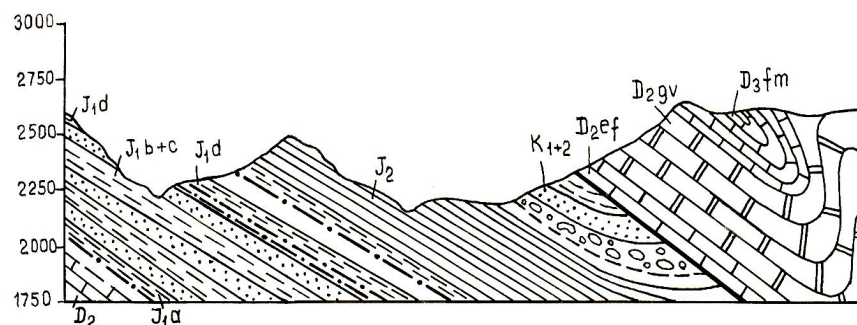
Geologik haritada tasvirlangan tog‘ jinslari qatlamlarining tarqalish qonuniyatlarini, yotish shakllarini, qatlamlarning o‘zaro munosabatlarini va o‘rganilayotgan maydonning relyefini to‘liq ifodalash maqsadida kesmalar tuziladi. Geologik kesma Yer yuzasining ma’lum bir chuqurlikkacha bo‘lgan vertikal kesimining tuzilishini tasvirlaydi.

Kesmada vertikal va gorizontal masshtablar geologik harita masshtabi bilan bir xil bo‘lishi kerak. Agar jinslar yotiq yoki gorizontal yotgan bo‘lsa, kesmaning vertikal mashtabini kattalashtirish mumkin. Kesmalar geologik haritadagi shartli belgilar asosida tuziladi. Kesmada geologik jismning yotish sharoitlari va shakli (formasi), qalinligining o‘zgarishi, strukturalari, jins turi va yoshi, uzilmalar ko‘rsatiladi.

Geologik kesmalar yuqorida kesma chizig‘i, pastdan esa bazis chizig‘i va yon tomonlardan vertikal miyros chiziqlari orqali chegaralangan bo‘ladi (**1-rasm**). Kesma chizig‘i relyef yuzasining

vertikal tekislik bilan kesishish chizig‘idir. Bazis chizig‘i esa geologik haritalar bo‘yicha kesmalar tuzganda yotqiziqlarning yotish shakllari va strukturalarni yetarli darajada ko‘rsata oladigan chuqurlikdan o‘tkazilgan gorizontal chiziqdир.

Geologik kesma tuzish uchun belgilangan yo‘nalish bo‘yicha ikkita nuqta to‘g‘ri chiziq bilan tutashtiriladi. Bu chiziq haritada tasvirlangan tog‘ jinslari haqida to‘la ma’lumot bera oladigan yo‘nalish bo‘ylab o‘tkazilishi hamda qatlamlar yo‘nalishiga ko‘ndalang yo‘nalgan bo‘lishi kerak. Agar qatlam yo‘nalishiga ko‘ndalang olingan chiziq maydonning geologik tuzilishi haqida to‘liq ma’lumot bera olmasa, qo‘sishimcha kesma chiziqlari olinadi. Haritada belgilangan kesma chizig‘ining har ikkala uchi A–A (B–B) harflari yoki I–I (II–II) raqamlari bilan belgilanadi. Geologik kesmalarda vertikal va gorizontal miqyoslar bir–biriga teng bo‘lishi hamda ular harita miqyosiga to‘g‘ri kelishi kerak.



1-rasm. Geologik kesmaning umumiy ko‘rinishi

Stratigrafik ustun tuzish

Stratigrafik ustun geologik haritada tasvirlangan hududda rivojlangan cho‘kindi, vulkanogen va metamorfik jinslar nisbiy yoshiga qarab tabaqalangan va litologik tarkibi bo‘yicha ajratilgan holda tuziladi.

41	Глины (возраст – нижний К). Азимут падения слоя 255°, угол падения30°.
42	Алевролиты (возраст – верхний Т). Азимут падения слоя 80°, угол падения25°.
43	Известняки (возраст – ўрта Т). Антиклиналь.
44	Известняки (возраст – ўрта Т). Антиклиналь.
45	Известняки (возраст – ўрта Т). Ось антиклинали
46	Известняки (возраст – ўрта Т). Ось антиклинали.
47	Алевролиты (возраст – верхний Т). Азимут падения слоя 90°, угол падения27°.
48	Алевролиты (возраст – верхний Т). Азимут падения слоя 250°, угол падения28°.
49	Известняки (возраст – нижний Ј). Азимут падения слоя 250°, угол падения28°.
50	Алевролиты (возраст – верхний Т). Азимут падения слоя 250°, угол падения27°.
51	Известняки (возраст – нижний Ј). Азимут падения слоя 260°, угол падения30°.
52	Доломиты (возраст – верхний Ј). Азимут падения слоя 260°, угол падения30°.
53	Алевролиты (возраст – верхний Т). Ось антиклинали
54	Известняки (возраст – нижний Ј). Азимут падения слоя 261°, угол падения27°.
55	Доломиты (возраст – верхний Ј). Азимут падения слоя 260°, угол падения30°.

	горизонтально .
21	Известняки (возраст – Эоцен). Слои залегают горизонтально .
22	Алевролиты (возраст – Олигоцен). Слои залегают горизонтально .
23	Известняки (возраст – Эоцен). Слои залегают горизонтально .
24	Тектонические нарушения. Надвиг. На востоке известняки (возраст – верхний К), на юге известняки, (возраст – Эоцен), они залегают горизонтально
25	Тектонические нарушения. Надвиг. На северо-западе распространены доломиты (возраст – верхний J). юго-востоке известняки (возраст – Эоцен)
26	Глины (возраст – нижний К) . Азимут падения слоя 250°, угол падения27°.
27	Известняки (возраст – верхний К) . Правое крыло синклинали.
28	Известняки (возраст – верхний К) . Левое крыло синклинали.
29	Известняки (возраст – верхний К) . Ось синклинали.
30	Глины (возраст – нижний К) . Азимут падения слоя 80°, угол падения27°.
31	Доломиты (возраст – верхний J) . Азимут падения слоя 83°, угол падения25°.
32	Известняки (возраст – нижний J) . Азимут падения слоя 85°, угол падения27°.
33	Известняки (возраст – нижний J) . Азимут падения слоя 85°, угол падения27°.
34	Известняки (возраст – нижний J) . Азимут падения слоя 85°, угол падения25°.
35	Известняки (возраст – нижний J) . Азимут падения слоя 88°, угол падения28°.
36	Тектонические нарушения. Надвиг На востоке распространены известняки (возраст – Эоцен), на западе гарбida Известняки (возраст – нижний J)
37	Тектонические нарушения. Надвиг. На северо-востоке распространены известняки (возраст – Эоцен), юго-западе доломиты (возраст – верхний J), они залегают горизонтально.
38	Известняки (возраст – верхний К) . Синклиналь.
39	Известняки (возраст – верхний К) . Синклиналь.
40	Тектонические нарушения. Надвиг. На северо-западе распространены доломиты известняки (возраст – Эоцен), юго-востоке известняки (возраст – верхний К).

Stratigrafik ustun tarkibida kengligi 2,5–3,0 sm li litologik ustun bo‘lib, unda harita maydoni yuzasida tarqalgan va shunindek, burg‘i quduqlari yordamida ochilgan cho‘kindi, vulkanogen va metamorfik jinslar shartli belgilar yordamida tanlangan miqyosda qalinligi bilan ko‘rsatiladi . Litologik ustunda tog‘ jinslari haritada qabul qilingan stratigrafik bo‘limlar bo‘yicha tabaqalangan holda tasvirlanadi. Stratigrafik bo‘limlar orasidagi munosabat muvofiq bo‘lsa, to‘g‘ri gorizontal chiziq, nomufoviq bo‘lsa to‘lqinli chiziq bilan ko‘rsatiladi. Bir xil litologik tarkibdagi juda qalin qatlamlar parallel to‘lqinli chiziqlar bilan uzib ko‘rsatiladi. Agar qatlamlar qalinligi juda kichik bo‘lib, tanlangan miqyosda uni tasvirlash imkonli bo‘lmasa, u miqyossiz holda ko‘zga ko‘rinadigan qalinlikda tasvirlanadi.

Litologik ustunning chap tomonida tog‘ jinslarining nisbiy yoshi stratigrafik tabaqalar bo‘yicha (eratema, sistema, bo‘lim, yarus, svita, gorizont va boshqalar) tabaqalarga ajratilib ko‘rsatiladi va ularning indekslari beriladi.

Litologik ustunning o‘ng tomonida qatlamlarning qalinligi, tarkibi, ulardagi foydali qazilmalar, hayvon va o‘simlik qoldiriqlari ko‘rsatiladi. Agar tasvirlanuvchi qatlamlar qalinligi o‘zgaruvchan bo‘lsa, qalinlik ustuni grafasida uning eng kichik va katta qiymati, litologik ustunda esa miqyos bo‘yicha maksimal qalinligi bilan beriladi. Stratigrafik ustunda intruziv jinslar ko‘rsatilmaydi.

Geologik kuzatuv nuqtalari tegishli variantdagi maydonning topografik haritaga tushirilgan.

13-вариант

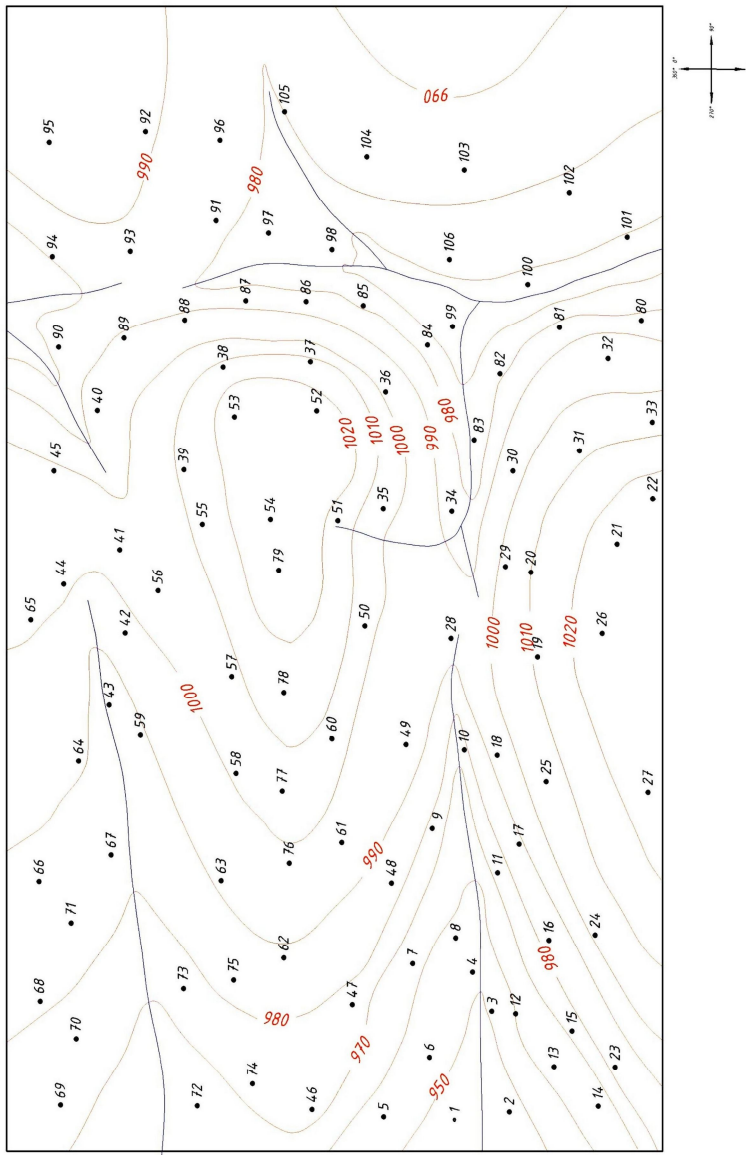
1-variant

Kuzatuv nuqtasi	Kuzatuv nuqtasidan olingan ma'lumotlar
1	Qizg'ish rangli konglometrlar (yoshi-T). Qatlamning yotish azimuti 38^0 , yotish burchagi 30^0 .
2	Qizg'ish rangli konglometrlar (yoshi-T). Qatlamning yotish azimuti 40^0 , yotish burchagi 30^0 .
3	Och kulrang qumtoshlar (yoshi-J). Qatlamning yotish azimuti 30^0 , yotish burchagi 27^0 .
4	Och kulrang qumtoshlar (yoshi-J). Qatlamning yotish azimuti 30^0 , yotish burchagi 25^0 .
5	Sinkinal o'qi. Bu yerda to'q kulrang gillar (yoshi-K) tarqalgan.
6	5 nuqtadagi sinkinalning davomi. Qatlam to'q kulrang gillar (yoshi-K) dan tashkil topgan.
7	To'q kulrang gillar (yoshi-K). Qatlamning yotish azimuti 27^0 , yotish burchagi 23^0 .
8	To'q kulrang gillar (yoshi-K). Qatlamning yotish azimuti 32^0 , yotish burchagi 25^0 .
9	Kulrang dolomitlashgan ohaktoshlar (yoshi-paleogen). Qatlamning yotish azimuti 55^0 , yotish burchagi 28^0
10	Kulrang dolomitlashgan ohaktoshlar (yoshi-paleogen). Qatlamning yotish azimuti 80^0 , yotish burchagi 31^0
11	Kulrang dolomitlashgan ohaktoshlar (yoshi-paleogen). Qatlamning yotish azimuti 20^0 , yotish burchagi 28^0
12	To'q kulrang gillar (yoshi-K). Qatlamning yotish azimuti 37^0 , yotish burchagi 26^0 .
13	To'q kulrang gillar (yoshi-K). Qatlamning yotish azimuti 37^0 , yotish burchagi 26^0 .
14	To'q kulrang gillar (yoshi-K). Qatlamning yotish azimuti 41^0 , yotish burchagi 28^0 .
15	To'q kulrang gillar (yoshi-K). Qatlamning yotish azimuti 90^0 , yotish

Точки наблюдений	Геологические данные точек наблюдений
1	Глины (возраст – N). Слои залегают горизонтально .
2	Глины (возраст – N). Слои залегают горизонтально .
3	Глины (возраст – N). Слои залегают горизонтально .
4	Алевролиты (возраст – Олигоцен). Слои залегают горизонтально .
5	Алевролиты (возраст – Олигоцен). Слои залегают горизонтально .
6	Глины (возраст – N). Слои залегают горизонтально .
7	Алевролиты (возраст – Олигоцен). Слои залегают горизонтально .
8	Алевролиты (возраст – Олигоцен). Слои залегают горизонтально .
9	Известняки (возраст – Эоцен). Слои залегают горизонтально .
10	Тектонические нарушения. Надвиг На востоке известняки (возраст – Эоцен),на западе доломиты (возраст – верхний J).
11	Тектонические нарушения. Надвиг. На северо- востоке известняки (возраст – Эоцен),на юго- западе глины (возраст – нижний K).
12	Известняки (возраст – Эоцен). Слои залегают горизонтально .
13	Алевролиты (возраст – Олигоцен). Слои залегают горизонтально .
14	Тектонические нарушения. Надвиг На востоке известняки (возраст – Эоцен), на юге глины (возраст – нижний K).
15	Доломиты (возраст – верхний J) . Азимут падения слоя 255^0 , угол падения 25^0 .
16	Известняки (возраст – Эоцен). Слои залегают горизонтально .
17	Алевролиты (возраст – Олигоцен). Слои залегают горизонтально .
18	Тектонические нарушения. Надвиг На востоке известняки (возраст – Эоцен), на западе доломиты (возраст – верхний J).
19	Известняки (возраст – Эоцен). Слои залегают горизонтально .
20	Алевролиты (возраст – Олигоцен). Слои залегают

12-variant (3)

Masshtab 1:10000



	burchagi 31^0 .
16	Och kulrang qumtoshlar (yoshi-J). Qatlamning yotish azimuti 80^0 , yotish burchagi 27^0 .
17	Och kulrang qumtoshlar (yoshi-J). Qatlamning yotish azimuti 42^0 , yotish burchagi 31^0 .
18	Och kulrang qumtoshlar (yoshi-J). Qatlamning yotish azimuti 30^0 , yotish burchagi 27^0 .
19	Och kulrang qumtoshlar (yoshi-J). Qatlamning yotish azimuti 45^0 , yotish burchagi 27^0 .
20	Och kulrang qumtoshlar (yoshi-J). Qatlamning yotish azimuti 350^0 , yotish burchagi 32^0 .
21	Qizg'ish rangli konglometrlar (yoshi-T). Qatlamning yotish azimuti 350^0 , yotish burchagi 30^0 .
22	Qizg'ish rangli konglometrlar (yoshi-T). Qatlamning yotish azimuti 20^0 , yotish burchagi 30^0 .
23	Qizg'ish rangli konglometrlar (yoshi-T). Qatlamning yotish azimuti 48^0 , yotish burchagi 30^0 .
24	Och kulrang qumtoshlar (yoshi-J). Qatlamning yotish azimuti 95^0 , yotish burchagi 27^0 .
25	Och kulrang qumtoshlar (yoshi-J). Qatlamning yotish azimuti 80^0 , yotish burchagi 27^0 .
26	Och kulrang qumtoshlar (yoshi-J). Qatlamning yotish azimuti 80^0 , yotish burchagi 28^0 .
27	Och kulrang qumtoshlar (yoshi-J). Qatlamning yotish azimuti 40^0 , yotish burchagi 28^0 .
28	To'q kulrang gillar (yoshi-K). Qatlamning yotish azimuti 100^0 , yotish burchagi 33^0 .
29	To'q kulrang gillar (yoshi-K). Qatlamning yotish azimuti 77^0 , yotish burchagi 32^0 .
30	To'q kulrang gillar (yoshi-K). Qatlamning yotish azimuti 90^0 , yotish burchagi 33^0 .
31	To'q kulrang gillar (yoshi-K). Qatlamning yotish azimuti 80^0 , yotish burchagi 28^0 .
32	To'q kulrang gillar (yoshi-K). Qatlamning yotish azimuti 100^0 , yotish burchagi 33^0 .
33	Kulrang dolomitlashgan ohaktoshlar (yoshi-paleogen). Qatlamning yotish azimuti 100^0 , yotish burchagi 28^0 .

34	Kulrang dolomitlashgan ohaktoshlar (yoshi-paleogen). Qatlamning yotish azimuti 90^0 , yotish burchagi 30^0 .
35	Kulrang dolomitlashgan ohaktoshlar (yoshi-paleogen). Qatlamning yotish azimuti 320^0 , yotish burchagi 28^0
36	Kulrang dolomitlashgan ohaktoshlar (yoshi-paleogen). Qatlamning yotish azimuti 320^0 , yotish burchagi 28^0
37	Kulrang dolomitlashgan ohaktoshlar (yoshi-paleogen). Qatlamning yotish azimuti 120^0 , yotish burchagi 25^0
38	Kulrang dolomitlashgan ohaktoshlar (yoshi-paleogen). Qatlamning yotish azimuti 180^0 , yotish burchagi 31^0
39	Kulrang dolomitlashgan ohaktoshlar (yoshi-paleogen). Qatlamning yotish azimuti 45^0 , yotish burchagi 28^0 .
40	Kulrang dolomitlashgan ohaktoshlar (yoshi-paleogen). Qatlamning yotish azimuti 10^0 , yotish burchagi 27^0 .
41	Kulrang dolomitlashgan ohaktoshlar (yoshi-paleogen). Qatlamning yotish azimuti 60^0 , yotish burchagi 28^0 .
42	Kulrang dolomitlashgan ohaktoshlar (yoshi-paleogen). Qatlamning yotish azimuti 140^0 , yotish burchagi 35^0
43	Kulrang dolomitlashgan ohaktoshlar (yoshi-paleogen). Qatlamning yotish azimuti 340^0 , yotish burchagi 28^0
44	Kulrang dolomitlashgan ohaktoshlar (yoshi-paleogen). Qatlamning yotish azimuti 30^0 , yotish burchagi 31^0
45	Kulrang dolomitlashgan ohaktoshlar (yoshi-paleogen). Qatlamning yotish azimuti 30^0 , yotish burchagi 27^0
46	Kulrang dolomitlashgan ohaktoshlar (yoshi-paleogen). Qatlamning yotish azimuti 340^0 , yotish burchagi 30^0
47	Kulrang dolomitlashgan ohaktoshlar (yoshi-paleogen). Qatlamning yotish azimuti 55^0 , yotish burchagi 28^0
48	Kulrang dolomitlashgan ohaktoshlar (yoshi-paleogen). Qatlamning yotish azimuti 105^0 , yotish burchagi 26^0
49	Qizg'ish rangli konglometrlar (yoshi-T). Qatlamning yotish azimuti 38^0 , yotish burchagi 30^0 .
50	Qizg'ish rangli konglometrlar (yoshi-T). Qatlamning yotish azimuti 38^0 , yotish burchagi 33^0 .
51	Qizg'ish rangli konglometrlar (yoshi-T). Qatlamning yotish azimuti 35^0 , yotish burchagi 30^0 .
52	Qizg'ish rangli konglometrlar (yoshi-T). Qatlamning yotish azimuti 38^0 , yotish burchagi 31^0 .
53	Qizg'ish rangli konglometrlar (yoshi-T). Qatlamning yotish azimuti

93	Глины (возраст - средний J). Азимут падения слоя 275^0 , угол падения слоя 31^0 .
94	Глины (возраст - средний J). Азимут падения слоя 260^0 , угол падения слоя 27^0 .
95	Глины (возраст - средний J). Азимут падения слоя 95^0 , угол падения слоя 25^0 .
96	Известняки светлого цвета (возраст - нижний J). Азимут падения слоя 300^0 , угол падения слоя 33^0 .
97	Известняки светлого цвета (возраст - нижний J). Азимут падения слоя 285^0 , угол падения слоя 29^0 .
98	Известняки светлого цвета (возраст - нижний J). Азимут падения слоя 280^0 , угол падения слоя 31^0 .
99	Известняки светлого цвета (возраст - нижний J). Катламнинг ётиш азимути 270^0 , угол падения слоя 32^0 .
100	Известняки светлого цвета (возраст - нижний J). Азимут падения слоя 255^0 , угол падения слоя 32^0 .
101	Известняки светлого цвета (возраст - нижний J). Азимут падения слоя 260^0 , угол падения слоя 31^0 .
102	Известняки светлого цвета (возраст - нижний J). Азимут падения слоя 265^0 , угол падения слоя 33^0 .
103	Известняки светлого цвета (возраст - нижний J). Азимут падения слоя 105^0 , угол падения слоя 35^0 .
104	Известняки светлого цвета (возраст - нижний J). Азимут падения слоя 105^0 , угол падения слоя 35^0 .
105	Известняки светлого цвета (возраст - нижний J). Азимут падения слоя 110^0 , угол падения слоя 33^0 .
106	Известняки светлого цвета (возраст - нижний J). Азимут падения слоя 280^0 , угол падения слоя 35^0 .

73	Глины (возраст - нижний К). Азимут падения слоя 150^0 , угол падения слоя 35^0 . 60м севере от точки проходит разлом. Его азимут простираия 75^0 .
74	Глины (возраст - нижний К). Азимут падения слоя 130^0 , угол падения слоя 35^0 .
75	Глины (возраст - нижний К). Азимут падения слоя 120^0 , угол падения слоя 35^0 .
76	Известняки (возраст - верхний К)
77	Известняки (возраст - верхний К)
78	Известняки (возраст - верхний К)
79	Известняки (возраст - верхний К)
80	Глины (возраст - средний J). Азимут падения слоя 260^0 , угол падения слоя 34^0 .
81	Глины (возраст - средний J). Азимут падения слоя 255^0 , угол падения слоя 29^0 .
82	Глины (возраст - средний J). Азимут падения слоя 230^0 , угол падения слоя 35^0 .
83	Глины (возраст - средний J). Азимут падения слоя 270^0 , угол падения слоя 33^0 .
84	Глины (возраст - средний J). Азимут падения слоя 285^0 , угол падения слоя 32^0 .
85	Глины (возраст - средний J). Азимут падения слоя 280^0 , угол падения слоя 33^0 .
86	Глины (возраст - средний J). Азимут падения слоя 270^0 , угол падения слоя 35^0 .
87	Глины (возраст - средний J). Азимут падения слоя 265^0 , угол падения слоя 35^0 .
88	Глины (возраст - средний J). Азимут падения слоя 265^0 , угол падения слоя 35^0 .
89	Глины (возраст - средний J). Азимут падения слоя 265^0 , угол падения слоя 34^0 .
90	Глины (возраст - средний J). Азимут падения слоя 260^0 , угол падения слоя 29^0 .
91	Глины (возраст - средний J). Азимут падения слоя 300^0 , угол падения слоя 33^0 .
92	Глины (возраст - средний J). Азимут падения слоя 85^0 , угол падения слоя 31^0 .

54	25^0 yotish burchagi 33^0 . Qizg'ish rangli konglometrlar (yoshi-T). Qatlamning yotish azimuti 35^0 yotish burchagi 30^0 .
55	Och kulrang qumtoshlar (yoshi-J). Qatlamning yotish azimuti 30^0 , yotish burchagi 29^0 .
56	Och kulrang qumtoshlar (yoshi-J). Qatlamning yotish azimuti 40^0 , yotish burchagi 27^0 .
57	Och kulrang qumtoshlar (yoshi-J). Qatlamning yotish azimuti 35^0 , yotish burchagi 27^0 .
58	Och kulrang qumtoshlar (yoshi-J). Qatlamning yotish azimuti 27^0 , yotish burchagi 28^0 .
59	Och kulrang qumtoshlar (yoshi-J). Qatlamning yotish azimuti 20^0 , yotish burchagi 30^0 .
60	Och kulrang qumtoshlar (yoshi-J). Qatlamning yotish azimuti 25^0 , yotish burchagi 30^0 .
61	Och kulrang qumtoshlar (yoshi-J). Qatlamning yotish azimuti 25^0 , yotish burchagi 27^0 .
62	Och kulrang qumtoshlar (yoshi-J). Qatlamning yotish azimuti 70^0 , yotish burchagi 25^0 .
63	To'q kulrang gillar (yoshi-K). Qatlamning yotish azimuti 85^0 , yotish burchagi 29^0 .
64	To'q kulrang gillar (yoshi-K). Qatlamning yotish azimuti 70^0 , yotish burchagi 27^0 .
65	To'q kulrang gillar (yoshi-K). Qatlamning yotish azimuti 60^0 , yotish burchagi 27^0 .
66	To'q kulrang gillar (yoshi-K). Qatlamning yotish azimuti 27^0 , yotish burchagi 30^0 .
67	To'q kulrang gillar (yoshi-K). Qatlamning yotish azimuti 45^0 , yotish burchagi 31^0 .
68	Och kulrang qumtoshlar (yoshi-J). Qatlamning yotish azimuti 65^0 , yotish burchagi 27^0 .
69	Och kulrang qumtoshlar (yoshi-J). Qatlamning yotish azimuti 350^0 , yotish burchagi 27^0 .
70	Och kulrang qumtoshlar (yoshi-J). Qatlamning yotish azimuti 350^0 , yotish burchagi 28^0 .
71	To'q kulrang gillar (yoshi-K). Qatlamning yotish azimuti 45^0 , yotish burchagi 31^0 .
72	Och kulrang qumtoshlar (yoshi-J). Qatlamning yotish azimuti 330^0 ,

	yotish burchagi 27^0 .
73	To'q kulrang gillar (yoshi-K). Qatlamning yotish azimuti 34^0 , yotish burchagi 27^0 .
74	To'q kulrang gillar (yoshi-K). Qatlamning yotish azimuti 15^0 , yotish burchagi 28^0 .
75	To'q kulrang gillar (yoshi-K). Qatlamning yotish azimuti 45^0 , yotish burchagi 28^0 .
76	Qizg'ish rangli konglometrlar (yoshi-T). Qatlamning yotish azimuti 100^0 , yotish burchagi 30^0 .
77	Qizg'ish rangli konglometrlar (yoshi-T). Qatlamning yotish azimuti 90^0 , yotish burchagi 32^0 .
78	Qizg'ish rangli konglometrlar (yoshi-T). Qatlamning yotish azimuti 38^0 , yotish burchagi 33^0 .
79	Qizg'ish rangli konglometrlar (yoshi-T). Qatlamning yotish azimuti 42^0 , yotish burchagi 30^0 .
80	Qizg'ish rangli konglometrlar (yoshi-T). Qatlamning yotish azimuti 50^0 , yotish burchagi 30^0 .
81	Och kulrang qumtoshlar (yoshi-J). Qatlamning yotish azimuti 120^0 , yotish burchagi 29^0 .
82	Och kulrang qumtoshlar (yoshi-J). Qatlamning yotish azimuti 110^0 , yotish burchagi 32^0 .
83	Och kulrang qumtoshlar (yoshi-J). Qatlamning yotish azimuti 100^0 , yotish burchagi 29^0 .
84	Och kulrang qumtoshlar (yoshi-J). Qatlamning yotish azimuti 120^0 , yotish burchagi 27^0 .
85	To'q kulrang gillar (yoshi-K). Qatlamning yotish azimuti 90^0 , yotish burchagi 23^0 .
86	Och kulrang qumtoshlar (yoshi-J). Qatlamning yotish azimuti 140^0 , yotish burchagi 28^0 .
87	Och kulrang qumtoshlar (yoshi-J). Qatlamning yotish azimuti 90^0 , yotish burchagi 28^0 .
88	To'q kulrang gillar (yoshi-K). Qatlamning yotish azimuti 127^0 , yotish burchagi 23^0 .
89	To'q kulrang gillar (yoshi-K). Qatlamning yotish azimuti 110^0 , yotish burchagi 23^0 .
90	Kulrang dolomitlashgan ohaktoshlar (yoshi-paleogen). Qatlamning yotish azimuti 105^0 , yotish burchagi 28^0 .
91	Kulrang dolomitlashgan ohaktoshlar (yoshi-paleogen). Qatlamning yotish azimuti 115^0 , yotish burchagi 28^0 .

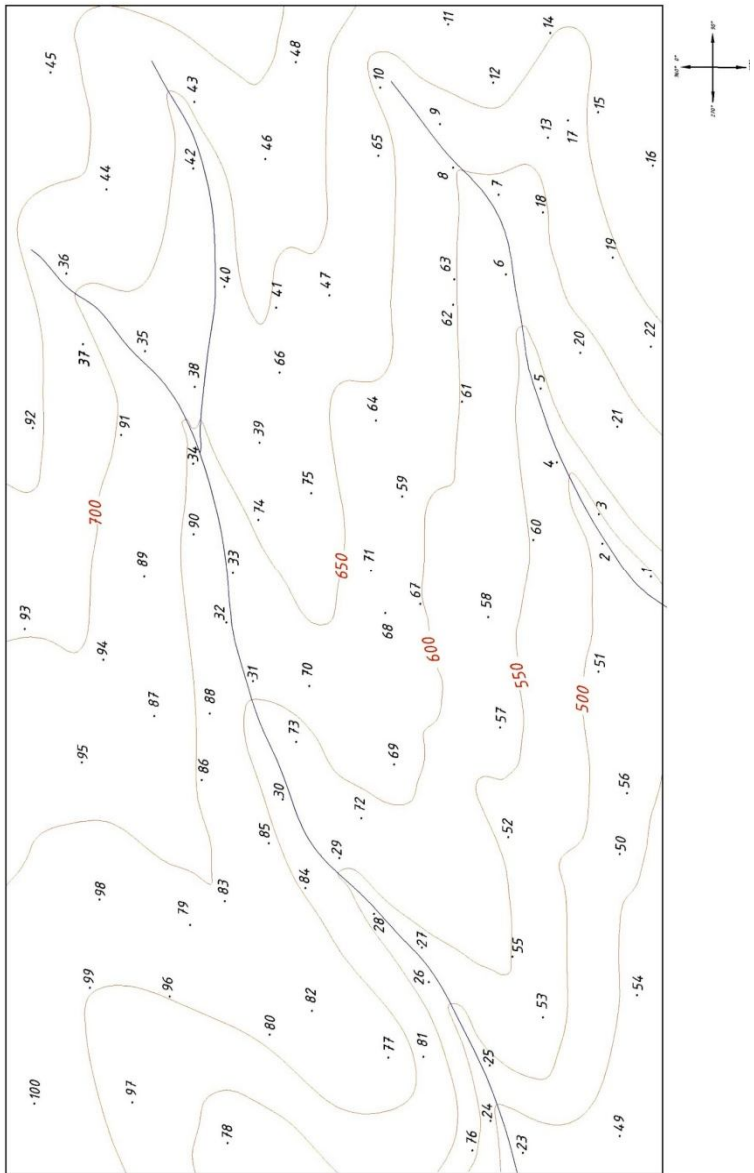
55	Глины (возраст - нижний К). Азимут падения слоя 245^0 , угол падения слоя 33^0 .
56	Глины (возраст - нижний К). Азимут падения слоя 230^0 , угол падения слоя 33^0 .
57	Глины (возраст - нижний К). Азимут падения слоя 190^0 , угол падения слоя 31^0 .
58	Глины (возраст - нижний К). Азимут падения слоя 180^0 , угол падения слоя 25^0 .
59	Глины (возраст - нижний К). Азимут падения слоя 180^0 , угол падения слоя 35^0 .
60	Глины (возраст - нижний К). Азимут падения слоя 5^0 , угол падения слоя 34^0 .
61	Глины (возраст - нижний К). Азимут падения слоя 10^0 , угол падения слоя 32^0 .
62	Глины (возраст - нижний К). Азимут падения слоя 90^0 , угол падения слоя 32^0 .
63	Глины (возраст - нижний К). Азимут падения слоя 130^0 , угол падения слоя 29^0 .
64	Глины (возраст - нижний К). Азимут падения слоя 280^0 , угол падения слоя 29^0 .
65	Глины (возраст - нижний К). Азимут падения слоя 290^0 , угол падения слоя 32^0 .
66	Глины (возраст - нижний К). Азимут падения слоя 110^0 , угол падения слоя 31^0 .
67	Глины (возраст - нижний К). Азимут падения слоя 300^0 , угол падения слоя 31^0 .
68	Глины (возраст - нижний К). Азимут падения слоя 300^0 , угол падения слоя 29^0 .
69	Глины (возраст - нижний К). Азимут падения слоя 300^0 , угол падения слоя 31^0 .
70	Глины (возраст - нижний К). Азимут падения слоя 300^0 , угол падения слоя 33^0 .
71	Глины (возраст - нижний К). Азимут падения слоя 120^0 , угол падения слоя 33^0 .
72	Глины (возраст - нижний К). Азимут падения слоя 150^0 , угол падения слоя 34^0 . 40м севере от точки проходит разлом Его азимут простирания 75^0 .

37	Известняки (возраст - верхний J). Азимут падения слоя 270^0 , угол падения слоя 35^0 .
38	Известняки (возраст - верхний J). Азимут падения слоя 270^0 , угол падения слоя 34^0 .
39	Известняки (возраст - верхний J). Азимут падения слоя 245^0 , угол падения слоя 32^0 .
40	Глины (возраст - средний J). Азимут падения слоя 235^0 , угол падения слоя 33^0 .
41	Известняки (возраст - верхний J). Азимут падения слоя 240^0 , угол падения слоя 35^0 . 100м севере от точки проходит разлом. Его азимут простирания 70^0 .
42	Известняки (возраст - верхний J). Азимут падения слоя 220^0 , угол падения слоя 33^0 . 50м севере от точки проходит разлом. Его азимут простирания 75^0 .
43	Известняки (возраст - верхний J). 40 м южнее от точки проходит разлом . Его азимут простирания 75^0 .
44	Известняки (возраст - верхний J). Азимут падения слоя 330^0 , угол падения слоя 34^0 .
45	Известняки возраст - верхний J. Здесь проходит разлом.
46	Глины (возраст - нижний K). Азимут падения слоя 55^0 , угол падения слоя 35^0 .
47	Глины (возраст - нижний K). Азимут падения слоя 25^0 , угол падения слоя 35^0 .
48	Глины (возраст - нижний K). Азимут падения слоя 30^0 , угол падения слоя 31^0 .
49	Глины (возраст - нижний K). Азимут падения слоя 10^0 , угол падения слоя 32^0 .
50	Глины (возраст - нижний K). Азимут падения слоя 350^0 , угол падения слоя 32^0 .
51	Глины (возраст - нижний K). Азимут падения слоя 330^0 , угол падения слоя 33^0 .
52	Здесь проходит контакт разновозрастных слоев. Западе - глины (возраст - нижний K), востоке-известняки (возраст - верхний J). Азимут падения слоя 270^0 , угол падения слоя 35^0 .
53	Здесь проходит контакт разновозрастных слоев. Западе - глины (возраст - нижний K), востоке-известняки (возраст - верхний J). Азимут падения слоя 250^0 , угол падения слоя 34^0 .
54	Глины (возраст - нижний K). Азимут падения слоя 270^0 , угол падения слоя 33^0 .

92	To‘q kulrang gillar (yoshi-K). Qatlamning yotish azimuti 127^0 , yotish burchagi 23^0 .
93	To‘q kulrang gillar (yoshi-K). Qatlamning yotish azimuti 70^0 , yotish burchagi 23^0 .
94	To‘q kulrang gillar (yoshi-K). Qatlamning yotish azimuti 80^0 , yotish burchagi 23^0 .
95	Och kulrang qumtoshlar (yoshi-J). Qatlamning yotish azimuti 350^0 , yotish burchagi 27^0 .
96	Och kulrang qumtoshlar (yoshi-J). Qatlamning yotish azimuti 50^0 , yotish burchagi 30^0 .
97	Och kulrang qumtoshlar (yoshi-J). Qatlamning yotish azimuti 15^0 , yotish burchagi 27^0 .
98	Och kulrang qumtoshlar (yoshi-J). Qatlamning yotish azimuti 330^0 , yotish burchagi 28^0 .
99	To‘q kulrang gillar (yoshi-K). Qatlamning yotish azimuti 10^0 , yotish burchagi 31^0 .
100	To‘q kulrang gillar (yoshi-K). Qatlamning yotish azimuti 10^0 , yotish burchagi 33^0 .

1-variant (1)

Masshtab 1:100000



18	Глины (возраст - нижний К). Азимут падения слоя 180^0 , угол падения слоя 33^0 .
19	Глины (возраст - нижний К). Азимут падения слоя 200^0 , угол падения слоя 35^0 .
20	Глины (возраст - нижний К). Азимут падения слоя 200^0 , угол падения слоя 33^0 .
21	Глины (возраст - нижний К). Азимут падения слоя 250^0 , угол падения слоя 34^0 .
22	Глины (возраст - нижний К). Азимут падения слоя 260^0 , угол падения слоя 35^0 .
23	Известняки (возраст - верхний К). Азимут падения слоя 160^0 , угол падения слоя 28^0 .
24	Известняки (возраст - верхний К). Азимут падения слоя 175^0 , угол падения слоя 28^0 .
25	Известняки (возраст - верхний К). Азимут падения слоя 180^0 , угол падения слоя 29^0 .
26	Известняки (возраст - верхний К). Азимут падения слоя 210^0 , угол падения слоя 27^0 .
27	Известняки (возраст - верхний К). Азимут падения слоя 180^0 , угол падения слоя 27^0 .
28	Известняки (возраст - верхний J). Азимут падения слоя 200^0 , угол падения слоя 33^0 .
29	Известняки (возраст - верхний J). Азимут падения слоя 200^0 , угол падения слоя 33^0 .
30	Известняки (возраст - верхний J). Азимут падения слоя 230^0 , угол падения слоя 31^0 .
31	Известняки (возраст - верхний J). Азимут падения слоя 255^0 , угол падения слоя 32^0 .
32	Известняки (возраст - верхний J). Азимут падения слоя 260^0 , угол падения слоя 32^0 .
33	Известняки (возраст - верхний J). Азимут падения слоя 260^0 , угол падения слоя 31^0 .
34	Известняки (возраст - верхний J). Азимут падения слоя 200^0 , угол падения слоя 33^0 .
35	Известняки (возраст - верхний J). Азимут падения слоя 330^0 , угол падения слоя 33^0 .
36	Известняки (возраст - верхний J). Азимут падения слоя 300^0 , угол падения слоя 35^0 .

12-вариант

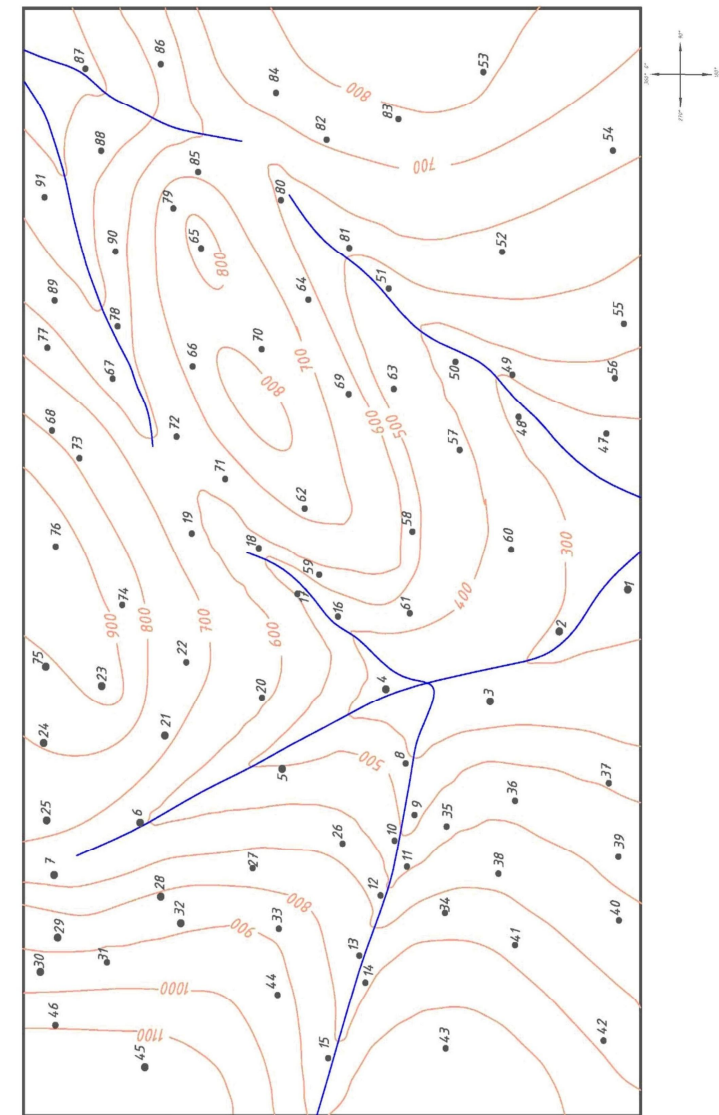
Точки наблюдений	Геологические данные точек наблюдений
1	Глины (возраст - средний J). Азимут падения слоя 15^0 , угол падения слоя 35^0 .
2	Глины (возраст - средний J). Азимут падения слоя 180^0 , угол падения слоя 35^0 .
3	Глины (возраст - средний J). Здесь проходит ось антиклинали. Его азимут простирации 90^0 .
4	Глины (возраст - средний J). Азимут падения слоя 15^0 , угол падения слоя 35^0 .
5	Известняки (возраст - верхний J). Азимут падения слоя 20^0 , угол падения слоя 33^0 .
6	Известняки (возраст - верхний J). Азимут падения слоя 20^0 , угол падения слоя 31^0 .
7	Известняки (возраст - верхний J). Азимут падения слоя 25^0 , угол падения слоя 33^0 .
8	Известняки (возраст - верхний J). Азимут падения слоя 30^0 , угол падения слоя 32^0 .
9	Известняки (возраст - верхний J). Азимут падения слоя 15^0 , угол падения слоя 35^0 .
10	Известняки (возраст - верхний J). Здесь проходит ось антиклинали. Его азимут простирации 80^0 .
11	Известняки (возраст - верхний J). Азимут падения слоя 165^0 , угол падения слоя 33^0 .
12	Известняки (возраст - верхний J). Азимут падения слоя 150^0 , угол падения слоя 32^0 .
13	Известняки (возраст - верхний J). Азимут падения слоя 155^0 , угол падения слоя 31^0 .
14	Глины (возраст - нижний K). Азимут падения слоя 150^0 , угол падения слоя 31^0 .
15	Глины (возраст - нижний K). Азимут падения слоя 147^0 , угол падения слоя 31^0 .
16	Глины (возраст - нижний K). Азимут падения слоя 145^0 , угол падения слоя 33^0 .
17	Глины (возраст - нижний K). Азимут падения слоя 153^0 , угол падения слоя 33^0 .

2- variant

Kuzatuv nuqtasi	Kuzatuv nuqtasidan olingen ma'lumotlar
1	Och kulrang, kulrang qumtoshlar (yoshi-S). Qatlamning yotish azimuti 230^0 , yotish burchagi 28^0 .
2	Och kulrang, kulrang qumtoshlar (yoshi-S). Qatlamning yotish azimuti 230^0 , yotish burchagi 30^0 .
3	Och kulrang, kulrang qumtoshlar (yoshi-S). Qatlamning yotish azimuti 250^0 , yotish burchagi 28^0 .
4	Och kulrang, kulrang qumtoshlar (yoshi-S). Qatlamning yotish azimuti 35^0 , yotish burchagi 28^0 .
5	Och kulrang, kulrang qumtoshlar (yoshi-S). Qatlamning yotish azimuti 240^0 , yotish burchagi 28^0 .
6	Och kulrang, kulrang qumtoshlar (yoshi-S).
7	Och kulrang, kulrang qumtoshlar (yoshi-S).
8	Och kulrang, kulrang qumtoshlar (yoshi-S). Qatlamning yotish azimuti 230^0 , yotish burchagi 28^0 .
9	Och kulrang, kulrang qumtoshlar (yoshi-S). Qatlamning yotish azimuti 220^0 , yotish burchagi 28^0 .
10	Och kulrang bo'r (yoshi-D). Qatlamning yotish azimuti 260^0 , yotish burchagi 28^0 .
11	Och kulrang bo'r (yoshi-D). Qatlamning yotish azimuti 250^0 , yotish burchagi 28^0 .
12	To'q kulrang mergel (yoshi-C ₁). Qatlamning yotish azimuti 260^0 , yotish burchagi 31^0 .
13	To'q kulrang mergel (yoshi-C ₁). Qatlamning yotish azimuti 235^0 , yotish burchagi 31^0 .
14	To'q qora gillar; tarkibida ko'mir qatlamchalari bor (yoshi-C ₂). Qatlamning yotish azimuti 240^0 , yotish burchagi 31^0 .
15	To'q qora gillar; tarkibida ko'mir qatlamchalari bor (yoshi-C ₂). Qatlamning yotish azimuti 250^0 , yotish burchagi 31^0 .
16	Och kulrang, kulrang qumtoshlar (yoshi-S). Qatlamning yotish azimuti 45^0 , yotish burchagi 28^0 .
17	Och kulrang bo'r (yoshi-D). Qatlamning yotish azimuti 40^0 , yotish burchagi 28^0 .

	burchagi 28^0 .
18	To'q kulrang mergel (yoshi-C ₁). Qatlamning yotish azimuti 45^0 , yotish burchagi 31^0 .
19	To'q kulrang mergel (yoshi-C ₁). Qatlamning yotish azimuti 50^0 , yotish burchagi 31^0 .
20	Och kulrang, kulrang qumtoshlar (yoshi-S). Qatlamning yotish azimuti 30^0 , yotish burchagi 28^0 .
21	Och kulrang bo'r (yoshi-D). Qatlamning yotish azimuti 45^0 , yotish burchagi 28^0 .
22	Janubiy-g'arbda och kulrang bo'r (yoshi-D) qatlamlari bilan shimoli-sharqda to'q kulrang mergellar (yoshi-C ₁) kontakti. Qatlamning yotish azimuti 50^0 , yotish burchagi 31^0 .
23	To'q kulrang mergel (yoshi-C ₁). Qatlamning yotish azimuti 45^0 , yotish burchagi 31^0 .
24	To'q kulrang mergel (yoshi-C ₁). Qatlamning yotish azimuti 45^0 , yotish burchagi 31^0 .
25	Och kulrang bo'r (yoshi-D). Qatlamning yotish azimuti 40^0 , yotish burchagi 28^0 .
26	Och kulrang bo'r (yoshi-D). Qatlamning yotish azimuti 220^0 , yotish burchagi 28^0 .
27	Och kulrang bo'r (yoshi-D). Qatlamning yotish azimuti 260^0 , yotish burchagi 28^0 .
28	Och kulrang bo'r (yoshi-D). Qatlamning yotish azimuti 260^0 , yotish burchagi 28^0 .
29	Och kulrang bo'r (yoshi-D). Qatlamning yotish azimuti 370^0 , yotish burchagi 28^0 .
30	To'q kulrang mergel (yoshi-C ₁). Qatlamning yotish azimuti 280^0 , yotish burchagi 31^0 .
31	To'q kulrang mergel (yoshi-C ₁). Qatlamning yotish azimuti 260^0 , yotish burchagi 31^0 .
32	To'q kulrang mergel (yoshi-C ₁). Qatlamning yotish azimuti 260^0 , yotish burchagi 31^0 .
33	To'q kulrang mergel (yoshi-C ₁). Qatlamning yotish azimuti 275^0 , yotish burchagi 31^0 .
34	To'q kulrang mergel (yoshi-C ₁). Qatlamning yotish azimuti 260^0 , yotish burchagi 31^0 .
35	Och kulrang bo'r (yoshi-D). Qatlamning yotish azimuti 255^0 , yotish burchagi 28^0 .
36	Och kulrang bo'r (yoshi-D). Qatlamning yotish azimuti 265^0 , yotish

11-Вариант (2)
Масштаб 1:10000



75	Известняки (возраст - Олигоцен). Азимут падения слоя 45 ⁰ , Угол падения слоя 31 ⁰ .
76	Известняки (возраст - Олигоцен). Азимут падения слоя 240 ⁰ , Угол падения слоя 31 ⁰ .
77	Глины светлого цвета(возраст - Палеоцен). Азимут падения слоя 255 ⁰ , Угол падения слоя 28 ⁰ .
78	Глины светлого цвета(возраст - Палеоцен). Азимут падения слоя 255 ⁰ , Угол падения слоя 28 ⁰ .
79	Глины светлого цвета(возраст - Палеоцен). Азимут падения слоя 230 ⁰ , Угол падения слоя 28 ⁰ .
80	Глины светлого цвета(возраст - Палеоцен). Азимут падения слоя 230 ⁰ , Угол падения слоя 28 ⁰ .
81	Глины светлого цвета(возраст - Палеоцен). Азимут падения слоя 300 ⁰ , Угол падения слоя 28 ⁰ .
82	Глины светлого цвета(возраст - Палеоцен). Азимут падения слоя 230 ⁰ , Угол падения слоя 28 ⁰ .
83	Глины светлого цвета(возраст - Палеоцен). Азимут падения слоя 240 ⁰ , Угол падения слоя 28 ⁰ .
84	Доломиты (возраст - верхний К). Азимут падения слоя 230 ⁰ , Угол падения слоя 28 ⁰ .
85	Доломиты (возраст - верхний К). Азимут падения слоя 275 ⁰ , Угол падения слоя 28 ⁰ .
86	Доломиты (возраст - верхний К). Азимут падения слоя 230 ⁰ , Угол падения слоя 28 ⁰ .
87	Доломиты (возраст - верхний К). Азимут падения слоя 230 ⁰ , Угол падения слоя 28 ⁰ .
88	Доломиты (возраст - верхний К). Азимут падения слоя 230 ⁰ , Угол падения слоя 28 ⁰ .
89	Доломиты (возраст - верхний К). Азимут падения слоя 270 ⁰ , Угол падения слоя 28 ⁰ .
90	Доломиты (возраст - верхний К). Азимут падения слоя 210 ⁰ , Угол падения слоя 28 ⁰ .
91	Доломиты (возраст - верхний К). Азимут падения слоя 230 ⁰ , Угол падения слоя 28 ⁰ .

	burchagi 28 ⁰ .
37	Och kulrang bo'r (yoshi-D). Qatlamning yotish azimuti 270 ⁰ , yotish burchagi 28 ⁰ .
38	To'q kulrang mergel (yoshi-C ₁). Qatlamning yotish azimuti 270 ⁰ , yotish burchagi 31 ⁰ .
39	To'q kulrang mergel (yoshi-C ₁). Qatlamning yotish azimuti 265 ⁰ , yotish burchagi 31 ⁰ .
40	To'q qora gillar; tarkibida ko'mir qatlamchalari bor (yoshi-C ₂). Qatlamning yotish azimuti 270 ⁰ , yotish burchagi 31 ⁰ .
41	To'q qora gillar; tarkibida ko'mir qatlamchalari bor (yoshi-C ₂). Qatlamning yotish azimuti 270 ⁰ , yotish burchagi 31 ⁰ .
42	To'q qora gillar; tarkibida ko'mir qatlamchalari bor (yoshi-C ₂). Qatlamning yotish azimuti 275 ⁰ , yotish burchagi 31 ⁰ .
43	To'q qora gillar; tarkibida ko'mir qatlamchalari bor (yoshi-C ₂). Qatlamning yotish azimuti 270 ⁰ , yotish burchagi 31 ⁰ .
44	To'q qora gillar; tarkibida ko'mir qatlamchalari bor (yoshi-C ₂). Qatlamning yotish azimuti 280 ⁰ , yotish burchagi 31 ⁰ .
45	To'q qora gillar; tarkibida ko'mir qatlamchalari bor (yoshi-C ₂). Qatlamning yotish azimuti 260 ⁰ , yotish burchagi 31 ⁰ .
46	To'q qora gillar; tarkibida ko'mir qatlamchalari bor (yoshi-C ₂). Qatlamning yotish azimuti 285 ⁰ , yotish burchagi 31 ⁰ .
47	Och kulrang, kulrang qumtoshlar (yoshi-S). Qatlamning yotish azimuti 90 ⁰ , yotish burchagi 28 ⁰ .
48	Och kulrang, kulrang qumtoshlar (yoshi-S). Qatlamning yotish azimuti 50 ⁰ , yotish burchagi 28 ⁰ .
49	Och kulrang bo'r (yoshi-D). Qatlamning yotish azimuti 35 ⁰ , yotish burchagi 28 ⁰ .
50	To'q kulrang mergel (yoshi-C ₁). Qatlamning yotish azimuti 50 ⁰ , yotish burchagi 31 ⁰ .
51	To'q kulrang mergel (yoshi-C ₁). Qatlamning yotish azimuti 225 ⁰ , yotish burchagi 31 ⁰ .
52	To'q kulrang mergel (yoshi-C ₁). Qatlamning yotish azimuti 70 ⁰ , yotish burchagi 31 ⁰ .
53	To'q kulrang mergel (yoshi-C ₁). Qatlamning yotish azimuti 210 ⁰ , yotish burchagi 31 ⁰ .
54	To'q kulrang mergel (yoshi-C ₁). Qatlamning yotish azimuti 260 ⁰ , yotish burchagi 31 ⁰ .
55	To'q kulrang mergel (yoshi-C ₁). Qatlamning yotish azimuti 100 ⁰ ,

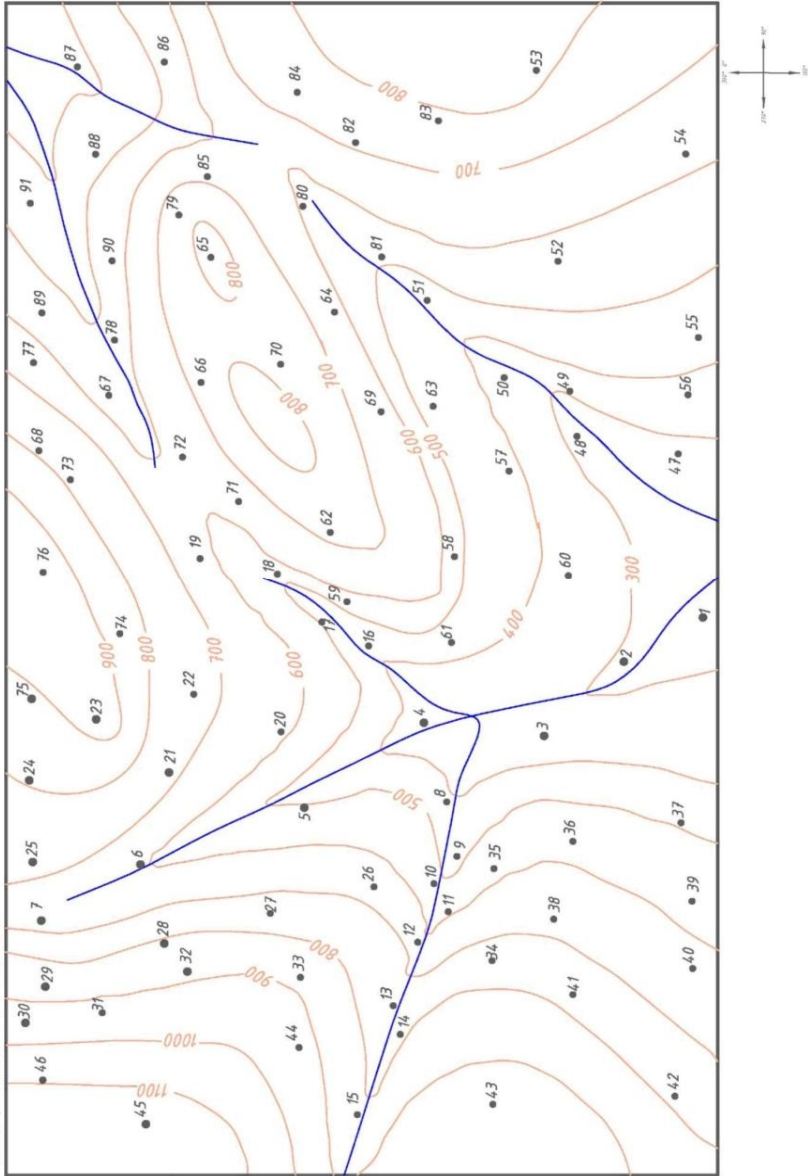
	yotish burchagi 31°.
56	Och kulrang bo'r (yoshi-D). Qatlamning yotish azimuti 95°, yotish burchagi 28°.
57	Och kulrang bo'r (yoshi-D). Qatlamning yotish azimuti 45°, yotish burchagi 28°.
58	Och kulrang bo'r (yoshi-D). Qatlamning yotish azimuti 45°, yotish burchagi 28°.
59	Och kulrang bo'r (yoshi-D). Qatlamning yotish azimuti 30°, yotish burchagi 28°.
60	Och kulrang, kulrang qumtoshlar (yoshi-S). Qatlamning yotish azimuti 40°, yotish burchagi 28°.
61	Och kulrang, kulrang qumtoshlar (yoshi-S). Qatlamning yotish azimuti 105°, yotish burchagi 28°.
62	To'q kulrang mergel (yoshi-C ₁). Qatlamning yotish azimuti 50°, yotish burchagi 31°.
63	To'q kulrang mergel (yoshi-C ₁).
64	To'q kulrang mergel (yoshi-C ₁). Qatlamning yotish azimuti 280°, yotish burchagi 31°.
65	To'q kulrang mergel (yoshi-C ₁). Qatlamning yotish azimuti 245°, yotish burchagi 31°.
66	To'q kulrang mergel (yoshi-C ₁). Qatlamning yotish azimuti 245°, yotish burchagi 31°.
67	To'q kulrang mergel (yoshi-C ₁). Qatlamning yotish azimuti 260°, yotish burchagi 31°.
68	To'q kulrang mergel (yoshi-C ₁). Qatlamning yotish azimuti 240°, yotish burchagi 31°.
69	To'q qora gillar; tarkibida ko'mir qatlamchalari bor (yoshi-C ₂).
70	To'q qora gillar; tarkibida ko'mir qatlamchalari bor (yoshi-C ₂). Qatlamning yotish azimuti 245°, yotish burchagi 31°.
71	To'q qora gillar; tarkibida ko'mir qatlamchalari bor (yoshi-C ₂). Qatlamning yotish azimuti 90°, yotish burchagi 31°.
72	To'q qora gillar; tarkibida ko'mir qatlamchalari bor (yoshi-C ₂).
73	To'q qora gillar; tarkibida ko'mir qatlamchalari bor (yoshi-C ₂). Qatlamning yotish azimuti 240°, yotish burchagi 31°.
74	To'q qora gillar; tarkibida ko'mir qatlamchalari bor (yoshi-C ₂). Qatlamning yotish azimuti 40°, yotish burchagi 31°.
75	To'q qora gillar; tarkibida ko'mir qatlamchalari bor (yoshi-C ₂). Qatlamning yotish azimuti 45°, yotish burchagi 31°.
76	To'q qora gillar; tarkibida ko'mir qatlamchalari bor (yoshi-C ₂).

56	Глины светлого цвета(возраст - Палеоцен). Азимут падения слоя 95°, Угол падения слоя 28°.
57	Глины светлого цвета(возраст - Палеоцен). Азимут падения слоя 45°, Угол падения слоя 28°.
58	Глины светлого цвета(возраст - Палеоцен). Азимут падения слоя 45°, Угол падения слоя 28°.
59	Глины светлого цвета(возраст - Палеоцен). Азимут падения слоя 30°, Угол падения слоя 28°.
60	Доломиты (возраст - верхний К). Азимут падения слоя 40°, Угол падения слоя 28°.
61	Доломиты (возраст - верхний К). Азимут падения слоя 105°, Угол падения слоя 28°.
62	Песчаники (возраст - Эоцен). Азимут падения слоя 50°, Угол падения слоя 31°.
63	Песчаники (возраст - Эоцен). Азимут падения слоя 50°, Угол падения слоя 31°.
64	Песчаники (возраст - Эоцен). Азимут падения слоя 280°, Угол падения слоя 31°.
65	Песчаники (возраст - Эоцен). Азимут падения слоя 245°, Угол падения слоя 31°.
66	Песчаники (возраст - Эоцен). Азимут падения слоя 245°, Угол падения слоя 31°.
67	Песчаники (возраст - Эоцен). Азимут падения слоя 260°, Угол падения слоя 31°.
68	Песчаники (возраст - Эоцен). Азимут падения слоя 240°, Угол падения слоя 31°.
69	Известняки (возраст - Олигоцен). Азимут падения слоя 245°, Угол падения слоя 31°.
70	Известняки (возраст - Олигоцен). Азимут падения слоя 245°, Угол падения слоя 31°.
71	Известняки (возраст - Олигоцен). Азимут падения слоя 90°, Угол падения слоя 31°.
72	Известняки (возраст - Олигоцен). Азимут падения слоя 245°, Угол падения слоя 31°.
73	Известняки (возраст - Олигоцен). Азимут падения слоя 240°, Угол падения слоя 31°.
74	Известняки (возраст - Олигоцен). Азимут падения слоя 40°, Угол падения слоя 31°.

	265 ⁰ , Угол падения слоя 28 ⁰ .
37	Глины светлого цвета(возраст - Палеоцен). Азимут падения слоя 270 ⁰ , Угол падения слоя 28 ⁰ .
38	Песчаники (возраст - Эоцен). Азимут падения слоя 270 ⁰ , Угол падения слоя 31 ⁰ .
39	Песчаники (возраст - Эоцен). Азимут падения слоя 265 ⁰ , Угол падения слоя 31 ⁰ .
40	Известняки (возраст - Олигоцен). Азимут падения слоя 270 ⁰ , Угол падения слоя 31 ⁰ .
41	Известняки (возраст - Олигоцен). Азимут падения слоя 270 ⁰ , Угол падения слоя 31 ⁰ .
42	Известняки (возраст - Олигоцен). Азимут падения слоя 275 ⁰ , Угол падения слоя 31 ⁰ .
43	Известняки (возраст - Олигоцен). Азимут падения слоя 270 ⁰ , Угол падения слоя 31 ⁰ .
44	Известняки (возраст - Олигоцен). Азимут падения слоя 280 ⁰ , Угол падения слоя 31 ⁰ .
45	Известняки (возраст - Олигоцен). Азимут падения слоя 260 ⁰ , Угол падения слоя 31 ⁰ .
46	Известняки (возраст - Олигоцен). Азимут падения слоя 285 ⁰ , Угол падения слоя 31 ⁰ .
47	Доломиты (возраст - верхний К). Азимут падения слоя 90 ⁰ , Угол падения слоя 28 ⁰ .
48	Доломиты (возраст - верхний К). Азимут падения слоя 50 ⁰ , Угол падения слоя 28 ⁰ .
49	Глины светлого цвета(возраст - Палеоцен). Азимут падения слоя 35 ⁰ , Угол падения слоя 28 ⁰ .
50	Песчаники (возраст - Эоцен). Азимут падения слоя 50 ⁰ , Угол падения слоя 31 ⁰ .
51	Песчаники (возраст - Эоцен). Азимут падения слоя 225 ⁰ , Угол падения слоя 31 ⁰ .
52	Песчаники (возраст - Эоцен). Азимут падения слоя 70 ⁰ , Угол падения слоя 31 ⁰ .
53	Песчаники (возраст - Эоцен). Азимут падения слоя 210 ⁰ , Угол падения слоя 31 ⁰ .
54	Песчаники (возраст - Эоцен). Азимут падения слоя 260 ⁰ , Угол падения слоя 31 ⁰ .
55	Песчаники (возраст - Эоцен). Азимут падения слоя 100 ⁰ , Угол падения слоя 31 ⁰ .

	Qatlamning yotish azimuti 240 ⁰ , yotish burchagi 31 ⁰ .
77	Och kulrang bo'r (yoshi-D). Qatlamning yotish azimuti 255 ⁰ , yotish burchagi 28 ⁰ .
78	Och kulrang bo'r (yoshi-D). Qatlamning yotish azimuti 255 ⁰ , yotish burchagi 28 ⁰ .
79	Och kulrang bo'r (yoshi-D). Qatlamning yotish azimuti 230 ⁰ , yotish burchagi 28 ⁰ .
80	Och kulrang bo'r (yoshi-D). Qatlamning yotish azimuti 230 ⁰ , yotish burchagi 28 ⁰ .
81	Och kulrang bo'r (yoshi-D). Qatlamning yotish azimuti 300 ⁰ , yotish burchagi 28 ⁰ .
82	Och kulrang bo'r (yoshi-D). Qatlamning yotish azimuti 230 ⁰ , yotish burchagi 28 ⁰ .
83	Och kulrang bo'r (yoshi-D). Qatlamning yotish azimuti 240 ⁰ , yotish burchagi 28 ⁰ .
84	Och kulrang, kulrang qumtoshlar (yoshi-S). Qatlamning yotish azimuti 230 ⁰ , yotish burchagi 28 ⁰ .
85	Och kulrang, kulrang qumtoshlar (yoshi-S). Qatlamning yotish azimuti 275 ⁰ , yotish burchagi 28 ⁰ .
86	Och kulrang, kulrang qumtoshlar (yoshi-S).
87	Och kulrang, kulrang qumtoshlar (yoshi-S).
88	Och kulrang, kulrang qumtoshlar (yoshi-S). Qatlamning yotish azimuti 230 ⁰ , yotish burchagi 28 ⁰ .
89	Och kulrang, kulrang qumtoshlar (yoshi-S). Qatlamning yotish azimuti 270 ⁰ , yotish burchagi 28 ⁰ .
90	Och kulrang, kulrang qumtoshlar (yoshi-S). Qatlamning yotish azimuti 210 ⁰ , yotish burchagi 28 ⁰ .
91	Och kulrang, kulrang qumtoshlar (yoshi-S).

2-variant (2)
Masshtab 1:10000



18	Песчаники (возраст - Эоцен). Азимут падения слоя 45^0 , Угол падения слоя 31^0 .
19	Песчаники (возраст - Эоцен). Азимут падения слоя 50^0 , Угол падения слоя 31^0 .
20	Доломиты (возраст - верхний К). Азимут падения слоя 30^0 , Угол падения слоя 28^0 .
21	Оч рангли гиллар (возраст - Палеоцен). Азимут падения слоя 45^0 , Угол падения слоя 28^0 .
22	Жанубий-гарбда Глины светлого цвета(возраст - Палеоцен) катламлари билан шимоли-шарқда Песчаники (возраст- Эоцен) контакти. Азимут падения слоя 50^0 , Угол падения слоя 31^0 .
23	Песчаники (возраст - Эоцен). Азимут падения слоя 45^0 , Угол падения слоя 31^0 .
24	Песчаники (возраст - Эоцен). Азимут падения слоя 45^0 , Угол падения слоя 31^0 .
25	Глины светлого цвета(возраст - Палеоцен). Азимут падения слоя 40^0 , Угол падения слоя 28^0 .
26	Глины светлого цвета(возраст - Палеоцен). Азимут падения слоя 220^0 , Угол падения слоя 28^0 .
27	Глины светлого цвета(возраст - Палеоцен). Азимут падения слоя 260^0 , Угол падения слоя 28^0 .
28	Глины светлого цвета(возраст - Палеоцен). Азимут падения слоя 260^0 , Угол падения слоя 28^0 .
29	Глины светлого цвета(возраст - Палеоцен). Азимут падения слоя 270^0 , Угол падения слоя 28^0 .
30	Песчаники (возраст - Эоцен). Азимут падения слоя 280^0 , Угол падения слоя 31^0 .
31	Песчаники (возраст - Эоцен). Азимут падения слоя 260^0 , Угол падения слоя 31^0 .
32	Песчаники (возраст - Эоцен). Азимут падения слоя 260^0 , Угол падения слоя 31^0 .
33	Песчаники (возраст - Эоцен). Азимут падения слоя 275^0 , Угол падения слоя 31^0 .
34	Песчаники (возраст - Эоцен). Азимут падения слоя 260^0 , Угол падения слоя 31^0 .
35	Глины светлого цвета(возраст - Палеоцен). Азимут падения слоя 255^0 , Угол падения слоя 28^0 .
36	Глины светлого цвета(возраст - Палеоцен). Азимут падения слоя

11-вариант

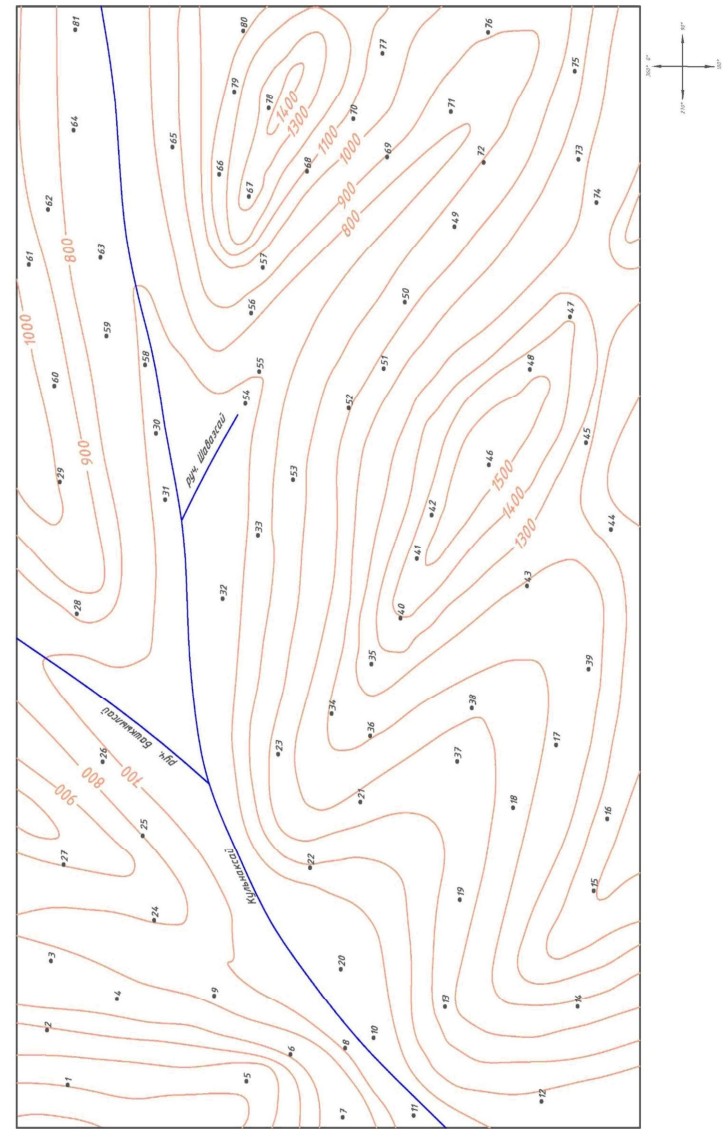
Точки наблюдений	Геологические данные точек наблюдений
1	Доломиты (возраст - верхний К). Азимут падения слоя 230 ⁰ , Угол падения слоя 28 ⁰ .
2	Доломиты (возраст - верхний К). Азимут падения слоя 230 ⁰ , Угол падения слоя 30 ⁰ .
3	Доломиты (возраст - верхний К). Азимут падения слоя 250 ⁰ , Угол падения слоя 28 ⁰ .
4	Доломиты (возраст - верхний К). Азимут падения слоя 35 ⁰ , Угол падения слоя 28 ⁰ .
5	Доломиты (возраст - верхний К). Азимут падения слоя 240 ⁰ , Угол падения слоя 28 ⁰ .
6	Доломиты (возраст - верхний К). Азимут падения слоя 240 ⁰ , Угол падения слоя 28 ⁰ .
7	Доломиты (возраст - верхний К). Азимут падения слоя 240 ⁰ , Угол падения слоя 28 ⁰ .
8	Доломиты (возраст - верхний К). Азимут падения слоя 230 ⁰ , Угол падения слоя 28 ⁰ .
9	Доломиты (возраст - верхний К). Азимут падения слоя 220 ⁰ , Угол падения слоя 28 ⁰ .
10	Глины светлого цвета(возраст - Палеоцен). Азимут падения слоя 260 ⁰ , Угол падения слоя 28 ⁰ .
11	Глины светлого цвета(возраст - Палеоцен). Азимут падения слоя 250 ⁰ , Угол падения слоя 28 ⁰ .
12	Песчаники (возраст - Эоцен). Азимут падения слоя 260 ⁰ , Угол падения слоя 31 ⁰ .
13	Песчаники (возраст - Эоцен). Азимут падения слоя 235 ⁰ , Угол падения слоя 31 ⁰ .
14	Известняки (возраст - Олигоцен). Азимут падения слоя 240 ⁰ , Угол падения слоя 31 ⁰ .
15	Известняки (возраст - Олигоцен). Азимут падения слоя 250 ⁰ , Угол падения слоя 31 ⁰ .
16	Доломиты (возраст - верхний К). Азимут падения слоя 45 ⁰ , Угол падения слоя 28 ⁰ .
17	Глины светлого цвета(возраст - Палеоцен). Азимут падения слоя 40 ⁰ , Угол падения слоя 28 ⁰ .

3-variant

Kuzatuv nuqtasi	Kuzatuv nuqtasidan olingan ma'lumotlar
1	Kulrang dolomitlar (yoshi-J). Qatlamning yotish azimuti 15 ⁰ , yotish burchagi 35 ⁰ .
2	Kulrang dolomitlar (yoshi-J). Qatlamning yotish azimuti 180 ⁰ , yotish burchagi 35 ⁰ .
3	Kulrang dolomitlar (yoshi-J). Bu nuqtadan antiklinal o'qi o'tadi. Uning yo'naliш azimuti 90 ⁰ .
4	Kulrang dolomitlar (yoshi-J). Qatlamning yotish azimuti 15 ⁰ , yotish burchagi 35 ⁰ .
5	To'q kulrang ohaktoshlar; tarkibida gil qatlamchalari uchraydi (yoshi-K). Qatlamning yotish azimuti 20 ⁰ , yotish burchagi 33 ⁰ .
6	To'q kulrang ohaktoshlar; tarkibida gil qatlamchalari uchraydi (yoshi-K). Qatlamning yotish azimuti 20 ⁰ , yotish burchagi 31 ⁰ .
7	To'q kulrang ohaktoshlar; tarkibida gil qatlamchalari uchraydi (yoshi-K). Qatlamning yotish azimuti 25 ⁰ , yotish burchagi 33 ⁰ .
8	To'q kulrang ohaktoshlar; tarkibida gil qatlamchalari uchraydi (yoshi-K). Qatlamning yotish azimuti 30 ⁰ , yotish burchagi 32 ⁰ .
9	To'q kulrang oxaktoshlar; tarkibida gil qatlamchalari uchraydi (yoshi-K). Qatlamning yotish azimuti 15 ⁰ , yotish burchagi 35 ⁰ .
10	To'q kulrang ohaktoshlar; tarkibida gil qatlamchalari uchraydi (yoshi-K). Bu nuqtadan antiklinal o'qi o'tadi. Uning yo'naliш azimuti 80 ⁰ .
11	To'q kulrang ohaktoshlar; tarkibida gil qatlamchalari uchraydi (yoshi-K). Qatlamning yotish azimuti 165 ⁰ , yotish burchagi 33 ⁰ .
12	To'q kulrang ohaktoshlar; tarkibida gil qatlamchalari uchraydi (yoshi-K). Qatlamning yotish azimuti 150 ⁰ , yotish burchagi 32 ⁰ .
13	To'q kulrang ohaktoshlar; tarkibida gil qatlamchalari uchraydi (yoshi-K). Qatlamning yotish azimuti 155 ⁰ , yotish burchagi 31 ⁰ .
14	Kulrang, och kulrang alevrolit va gillar (yoshi-paleogen). Qatlamning yotish azimuti 150 ⁰ , yotish burchagi 31 ⁰ .
15	Kulrang, och kulrang alevrolit va gillar (yoshi-paleogen). Qatlamning yotish azimuti 147 ⁰ , yotish burchagi 31 ⁰ .

16	Kulrang, och kulrang alevrolit va gillar (yoshi-paleogen). Qatlamning yotish azimuti 145^0 , yotish burchagi 33^0 .
17	Kulrang, och kulrang alevrolit va gillar (yoshi-paleogen). Qatlamning yotish azimuti 153^0 , yotish burchagi 33^0 .
18	Kulrang, och kulrang alevrolit va gillar (yoshi-paleogen). Qatlamning yotish azimuti 180^0 , yotish burchagi 33^0 .
19	Kulrang, och kulrang alevrolit va gillar (yoshi-paleogen). Qatlamning yotish azimuti 200^0 , yotish burchagi 35^0 .
20	Kulrang, och kulrang alevrolit va gillar (yoshi-paleogen). Qatlamning yotish azimuti 200^0 , yotish burchagi 33^0 .
21	Kulrang, och kulrang alevrolit va gillar (yoshi-paleogen). Qatlamning yotish azimuti 250^0 , yotish burchagi 34^0 .
22	Kulrang, och kulrang alevrolit va gillar (yoshi-paleogen). Qatlamning yotish azimuti 260^0 , yotish burchagi 35^0 .
23	Qizg'ish, saralanmagan qumtoshlar (yoshi-N). Qatlamning yotish azimuti 160^0 , yotish burchagi 28^0 .
24	Qizg'ish, saralanmagan qumtoshlar (yoshi-N). Qatlamning yotish azimuti 175^0 , yotish burchagi 28^0 .
25	Qizg'ish, saralanmagan qumtoshlar (yoshi-N). Qatlamning yotish azimuti 180^0 , yotish burchagi 29^0 .
26	Qizg'ish, saralanmagan qumtoshlar (yoshi-N). Qatlamning yotish azimuti 210^0 , yotish burchagi 27^0 .
27	Qizg'ish, saralanmagan qumtoshlar (yoshi-N). Qatlamning yotish azimuti 180^0 , yotish burchagi 27^0 .
28	To'q kulrang ohaktoshlar; tarkibida gil qatlamchalari uchraydi (yoshi-K).
29	To'q kulrang ohaktoshlar; tarkibida gil qatlamchalari uchraydi (yoshi-K). Qatlamning yotish azimuti 200^0 , yotish burchagi 33^0 .
30	To'q kulrang ohaktoshlar; tarkibida gil qatlamchalari uchraydi (yoshi-K). Qatlamning yotish azimuti 230^0 , yotish burchagi 31^0 .
31	To'q kulrang ohaktoshlar; tarkibida gil qatlamchalari uchraydi (yoshi-K). Qatlamning yotish azimuti 255^0 , yotish burchagi 32^0 .
32	To'q kulrang ohaktoshlar; tarkibida gil qatlamchalari uchraydi (yoshi-K). Qatlamning yotish azimuti 260^0 , yotish burchagi 32^0 .
33	To'q kulrang ohaktoshlar; tarkibida gil qatlamchalari uchraydi (yoshi-K). Qatlamning yotish azimuti 260^0 , yotish burchagi 31^0 .
34	To'q kulrang ohaktoshlar; tarkibida gil qatlamchalari uchraydi (yoshi-K).
35	To'q kulrang ohaktoshlar; tarkibida gil qatlamchalari uchraydi

10-Вариант (6)
Масштаб 1:50000



	270°, угол падения 30°.
79	Гравелиты (возраст - нижний карбон) . Азимут падения 255°, угол падения 32°.
80	Песчаники (возраст - верхний девон) . Азимут падения 260°, угол падения 29°.
81	Мергели (возраст - средний девон). Азимут падения 270°, угол падения 32°.

	(yoshi-K). Qatlamning yotish azimuti 330°, yotish burchagi 33°.
36	To‘q kulrang ohaktoshlar; tarkibida gil qatlamchalari uchraydi (yoshi-K). Qatlamning yotish azimuti 300°, yotish burchagi 35°.
37	To‘q kulrang ohaktoshlar; tarkibida gil qatlamchalari uchraydi (yoshi-K). Qatlamning yotish azimuti 270°, yotish burchagi 35°.
38	To‘q kulrang ohaktoshlar; tarkibida gil qatlamchalari uchraydi (yoshi-K). Qatlamning yotish azimuti 270°, yotish burchagi 34°.
39	To‘q kulrang ohaktoshlar; tarkibida gil qatlamchalari uchraydi (yoshi-K). Qatlamning yotish azimuti 245°, yotish burchagi 32°.
40	Kulrang dolomitlar (yoshi-J). Qatlamning yotish azimuti 235°, yotish burchagi 33°.
41	To‘q kulrang ohaktoshlar; tarkibida gil qatlamchalari uchraydi (yoshi-K). Qatlamning yotish azimuti 240°, yotish burchagi 35°. Nuqtadan 100 m shimolda uzilma o‘tadi. Uning yo‘nalish azimuti 70°.
42	To‘q kulrang ohaktoshlar; tarkibida gil qatlamchalari uchraydi (yoshi-K). Qatlamning yotish azimuti 220°, yotish burchagi 33°. Nuqtadan 50m shimolda uzilma o‘tadi. Uning yo‘nalish azimuti 75°.
43	To‘q kulrang ohaktoshlar; tarkibida gil qatlamchalari uchraydi (yoshi-K). Nuqtadan 40 m janubda uzilma o‘tadi. Uning yo‘nalish azimuti 75°.
44	To‘q kulrang ohaktoshlar; tarkibida gil qatlamchalari uchraydi (yoshi-K). Qatlamning yotish azimuti 330°, yotish burchagi 34°.
45	To‘q kulrang ohaktoshlar; tarkibida gil qatlamchalari uchraydi (yoshi-K). Bu nuqtadan uzilma o‘tadi.
46	Kulrang, och kulrang alevrolit va gillar (yoshi-paleogen). Qatlamning yotish azimuti 55°, yotish burchagi 35°.
47	Kulrang, och kulrang alevrolit va gillar (yoshi-paleogen). Qatlamning yotish azimuti 25°, yotish burchagi 35°.
48	Kulrang, och kulrang alevrolit va gillar (yoshi-paleogen). Qatlamning yotish azimuti 30°, yotish burchagi 31°.
49	Kulrang, och kulrang alevrolit va gillar (yoshi-paleogen). Qatlamning yotish azimuti 10°, yotish burchagi 32°.
50	Kulrang, och kulrang alevrolit va gillar (yoshi-paleogen). Qatlamning yotish azimuti 350°, yotish burchagi 32°.
51	Kulrang, och kulrang alevrolit va gillar (yoshi-paleogen). Qatlamning yotish azimuti 330°, yotish burchagi 33°.

52	Bu nuqtadan ikki qatlam kontakti (chegarasi) o'tadi. G'arbda kulrang, och kulrang alevrolit va gillar (yoshi-paleogen), sharqda to'q kulrang ohaktoshlar, tarkibida gil qatlamchalar uchraydi (yoshi-K). Qatlamning yotish azimuti 270° , yotish burchagi 35° .
53	Bu nuqtadan ikki qatlam kontakti (chegarasi) o'tadi. G'arbda kulrang, och kulrang alevrolit va gillar (yoshi-paleogen), sharqda to'q kulrang ohaktoshlar, tarkibida gil qatlamchalar uchraydi (yoshi-K). Qatlamning yotish azimuti 250° , yotish burchagi 34° .
54	Kulrang, och kulrang alevrolit va gillar (yoshi-paleogen). Qatlamning yotish azimuti 270° , yotish burchagi 33° .
55	Kulrang, och kulrang alevrolit va gillar (yoshi-paleogen). Qatlamning yotish azimuti 245° , yotish burchagi 33° .
56	Kulrang, och kulrang alevrolit va gillar (yoshi-paleogen). Qatlamning yotish azimuti 230° , yotish burchagi 33° .
57	Kulrang, och kulrang alevrolit va gillar (yoshi-paleogen). Qatlamning yotish azimuti 190° , yotish burchagi 31° .
58	Kulrang, och kulrang alevrolit va gillar (yoshi-paleogen). Qatlamning yotish azimuti 180° , yotish burchagi 25° .
59	Kulrang, och kulrang alevrolit va gillar (yoshi-paleogen). Qatlamning yotish azimuti 180° , yotish burchagi 35° .
60	Kulrang, och kulrang alevrolit va gillar (yoshi-paleogen). Qatlamning yotish azimuti 5° , yotish burchagi 34° .
61	Kulrang, och kulrang alevrolit va gillar (yoshi-paleogen). Qatlamning yotish azimuti 10° , yotish burchagi 32° .
62	Kulrang, och kulrang alevrolit va gillar (yoshi-paleogen). Qatlamning yotish azimuti 90° , yotish burchagi 32° .
63	Kulrang, och kulrang alevrolit va gillar (yoshi-paleogen). Qatlamning yotish azimuti 130° , yotish burchagi 29° .
64	Kulrang, och kulrang alevrolit va gillar (yoshi-paleogen). Qatlamning yotish azimuti 280° , yotish burchagi 29° .
65	Kulrang, och kulrang alevrolit va gillar (yoshi-paleogen). Qatlamning yotish azimuti 290° , yotish burchagi 32° .
66	Kulrang, och kulrang alevrolit va gillar (yoshi-paleogen). Qatlamning yotish azimuti 110° , yotish burchagi 31° .
67	Kulrang, och kulrang alevrolit va gillar (yoshi-paleogen). Qatlamning yotish azimuti 300° , yotish burchagi 31° .
68	Kulrang, och kulrang alevrolit va gillar (yoshi-paleogen). Qatlamning yotish azimuti 300° , yotish burchagi 29° .
69	Kulrang, och kulrang alevrolit va gillar (yoshi-paleogen).

	точки наблюдения распространены Гравелиты (возраст - нижний карбон), на западе - Песчаники (возраст - верхний девон).
66	Разлом. Восточнее от точки наблюдения распространены Конгломераты (возраст - средний карбон), на западе - Гравелиты (возраст - нижний карбон)
67	Разлом. Восточнее от точки наблюдения распространены Конгломераты (возраст - средний карбон), на западе - Конгломераты (возраст - средний карбон).
68	Разлом. Азимут падения 80° , угол падения 75° . Восточнее от точки наблюдения распространены Конгломераты (возраст - средний карбон), на западе - Гравелиты (возраст - нижний карбон)
69	Разлом. Азимут падения 80° , угол падения 70° . Восточнее от точки наблюдения распространены Гравелиты (возраст - нижний карбон), на западе - Песчаники (возраст - верхний девон).
70	Гравелиты (возраст - нижний карбон). Азимут падения 300° , угол падения 30° .
71	Песчаники (возраст - верхний девон). Азимут падения 270° , угол падения 30° .
72	Разлом. Азимут падения 100° , угол падения 75° . Восточнее от точки наблюдения распространены Гравелиты (возраст - нижний карбон), на западе - Песчаники (возраст - верхний девон).
73	Гравелиты (возраст - нижний карбон). Азимут падения 250° , угол падения 32° .
74	Разлом. Азимут падения 115° , угол падения 75° . Восточнее от точки наблюдения распространены Конгломераты (возраст - средний карбон), на западе - Гравелиты (возраст - нижний карбон)
75	Песчаники (возраст - верхний девон). Азимут падения 250° , угол падения 30° .
76	Мергели (возраст - средний девон). Азимут падения 270° , угол падения 30° .
77	Песчаники (возраст - верхний девон). Азимут падения 300° , угол падения 32° .
78	Конгломераты (возраст - средний карбон). Азимут падения

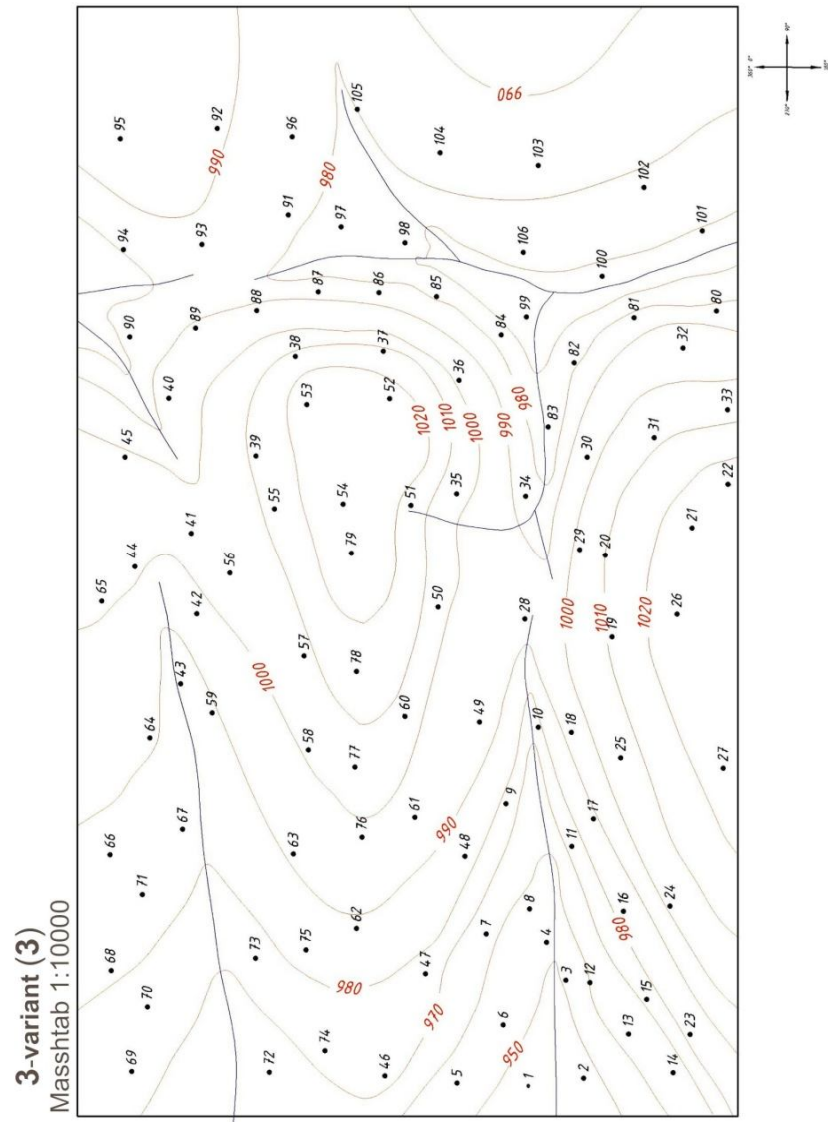
	карбон)
47	Глины (возраст - верхний карбон) . Синклиналь
48	Конгломераты (возраст - средний карбон) . Азимут падения 125^0 , угол падения 30^0 .
49	Гравелиты (возраст - нижний карбон) . Азимут падения 255^0 , угол падения 30^0 .
50	Конгломераты (возраст - средний карбон) . Ось синклинали
51	Гравелиты (возраст - нижний карбон) . Азимут падения 120^0 , угол падения 30^0 .
52	Разлом. Азимут падения 107^0 , угол падения 75^0 . Восточнее от точки наблюдения распространены Песчаники (возраст - верхний девон), на западе - Мергели (возраст - средний девон).
53	Известняки органогенные (возраст - верхний силлур). Азимут падения 113^0 , угол падения 30^0 .
54	Известняки органогенные (возраст - верхний силлур). Азимут падения 105^0 , угол падения 30^0 .
55	Разлом. Азимут падения 90^0 , угол падения 75^0 . Восточнее от точки наблюдения распространены Песчаники (возраст - верхний девон), на западе - Алевролиты (возраст - нижний девон).
56	Гравелиты (возраст - нижний карбон) . Азимут падения 90^0 , угол падения 32^0 .
57	Конгломераты (возраст - средний карбон) . Азимут падения 90^0 , угол падения 32^0 .
58	Разлом. Азимут падения 85^0 , угол падения 75^0 . Восточнее от точки наблюдения распространены Мергели (возраст - средний девон), на западе - Алевролиты (возраст - нижний девон) .
59	Песчаники (возраст - верхний девон) . Азимут падения 85^0 , угол падения 30^0
60	Разлом. Восточнее от точки наблюдения распространены Песчаники (возраст - верхний девон), на западе - Алевролиты (возраст - нижний девон) .
61	Конгломераты (возраст - средний карбон) . Ось синклинали
62	Гравелиты (возраст - нижний карбон) .
63	Гравелиты (возраст - нижний карбон) . Ось синклинали
64	Разлом. Восточнее от точки наблюдения распространены Песчаники (возраст - верхний девон), на западе - Песчаники (возраст - верхний девон) .
65	Разлом. Азимут падения 110^0 , угол падения 75^0 . Восточнее от

	Qatlamning yotish azimuti 300^0 , yotish burchagi 31^0 .
70	Kulrang, och kulrang alevrolit va gillar (yoshi-paleogen). Qatlamning yotish azimuti 300^0 , yotish burchagi 33^0 .
71	Kulrang, och kulrang alevrolit va gillar (yoshi-paleogen). Qatlamning yotish azimuti 120^0 , yotish burchagi 33^0 .
72	Kulrang, och kulrang alevrolit va gillar (yoshi-paleogen). Qatlamning yotish azimuti 150^0 , yotish burchagi 34^0 . Nuqtadan 40 m shimolda uzilma o'tadi. Uning yo'nalish azimuti 75^0 .
73	Kulrang, och kulrang alevrolit va gillar (yoshi-paleogen). Qatlamning yotish azimuti 150^0 , yotish burchagi 35^0 . Nuqtadan 60m shimolda uzilma o'tadi. Uning yo'nalish azimuti 75^0 .
74	Kulrang, och kulrang alevrolit va gillar (yoshi-paleogen). Qatlamning yotish azimuti 130^0 , yotish burchagi 35^0 .
75	Kulrang, och kulrang alevrolit va gillar (yoshi-paleogen). Qatlamning yotish azimuti 120^0 , yotish burchagi 35^0 .
76	Qizg'ish, saralanmagan qumtoshlar (yoshi-N)
77	Qizg'ish, saralanmagan qumtoshlar (yoshi-N)
78	Qizg'ish, saralanmagan qumtoshlar (yoshi-N)
79	Qizg'ish, saralanmagan qumtoshlar (yoshi-N)
80	Kulrang dolomitlar (yoshi-J). Qatlamning yotish azimuti 260^0 , yotish burchagi 34^0 .
81	Kulrang dolomitlar (yoshi-J). Qatlamning yotish azimuti 255^0 , yotish burchagi 29^0 .
82	Kulrang dolomitlar (yoshi-J). Qatlamning yotish azimuti 230^0 , yotish burchagi 35^0 .
83	Kulrang dolomitlar (yoshi-J). Qatlamning yotish azimuti 270^0 , yotish burchagi 33^0 .
84	Kulrang dolomitlar (yoshi-J). Qatlamning yotish azimuti 285^0 , yotish burchagi 32^0 .
85	Kulrang dolomitlar (yoshi-J). Qatlamning yotish azimuti 280^0 , yotish burchagi 33^0 .
86	Kulrang dolomitlar (yoshi-J). Qatlamning yotish azimuti 270^0 , yotish burchagi 35^0 .
87	Kulrang dolomitlar (yoshi-J). Qatlamning yotish azimuti 265^0 , yotish burchagi 35^0 .
88	Kulrang dolomitlar (yoshi-J). Qatlamning yotish azimuti 265^0 , yotish burchagi 35^0 .
89	Kulrang dolomitlar (yoshi-J). Qatlamning yotish azimuti 265^0 ,

	yotish burchagi 34^0 .
90	Kulrang dolomitlar (yoshi-J). Qatlamning yotish azimuti 260^0 , yotish burchagi 29^0 .
91	Kulrang dolomitlar (yoshi-J). Qatlamning yotish azimuti 300^0 , yotish burchagi 33^0 .
92	Kulrang dolomitlar (yoshi-J). Qatlamning yotish azimuti 85^0 , yotish burchagi 31^0 .
93	Kulrang dolomitlar (yoshi-J). Qatlamning yotish azimuti 275^0 , yotish burchagi 31^0 .
94	Kulrang dolomitlar (yoshi-J). Qatlamning yotish azimuti 260^0 , yotish burchagi 27^0 .
95	Kulrang dolomitlar (yoshi-J). Qatlamning yotish azimuti 95^0 , yotish burchagi 25^0 .
96	Qora rangli gillar (yoshi-T). Qatlamning yotish azimuti 300^0 , yotish burchagi 33^0 .
97	Qora rangli gillar (yoshi-T). Qatlamning yotish azimuti 285^0 , yotish burchagi 29^0 .
98	Qora rangli gillar (yoshi-T). Qatlamning yotish azimuti 280^0 , yotish burchagi 31^0 .
99	Qora rangli gillar (yoshi-T). Qatlamning yotish azimuti 270^0 , yotish burchagi 32^0 .
100	Qora rangli gillar (yoshi-T). Qatlamning yotish azimuti 255^0 , yotish burchagi 32^0 .
101	Qora rangli gillar (yoshi-T). Qatlamning yotish azimuti 260^0 , yotish burchagi 31^0 .
102	Qora rangli gillar (yoshi-T). Qatlamning yotish azimuti 265^0 , yotish burchagi 33^0 .
103	Qora rangli gillar (yoshi-T). Qatlamning yotish azimuti 105^0 , yotish burchagi 35^0 .
104	Qora rangli gillar (yoshi-T). Qatlamning yotish azimuti 105^0 , yotish burchagi 35^0 .
105	Qora rangli gillar (yoshi-T). Qatlamning yotish azimuti 110^0 , yotish burchagi 33^0 .
106	Qora rangli gillar (yoshi-T). Qatlamning yotish azimuti 280^0 , yotish burchagi 35^0 .

	91^0 , угол падения 30^0
32	Контакт. Восточнее от точки наблюдения распространены Кремнистые породы (возраст - верхний ордовик), на западе – Интрузивные породы (возраст - протерозой) .
33	Глинистые сланцы (возраст - нижний силлур). Азимут падения 110^0 , угол падения 30^0
34	Контакт. Восточнее от точки наблюдения распространены Кремнистые породы (возраст - верхний ордовик), на западе – Интрузивные породы (возраст - протерозой) .
35	Глинистые сланцы (возраст - нижний силлур). Азимут падения 110^0 , угол падения 28^0
36	Контакт. Западнее от точки наблюдения распространены Кремнистые породы (возраст - верхний ордовик), на востоке – Интрузивные породы (возраст - протерозой) .
37	Контакт. Западнее от точки наблюдения распространены Кремнистые породы (возраст - верхний ордовик), на востоке – Интрузивные породы (возраст - протерозой) .
38	Контакт. Восточнее от точки наблюдения распространены Кремнистые породы (возраст - верхний ордовик), на западе – Интрузивные породы (возраст - протерозой) .
39	Глинистые сланцы (возраст - нижний силлур). Азимут падения 115^0 , угол падения 30^0
40	Известняки оргоногенные (возраст - верхний силлур). Азимут падения 113^0 , угол падения 30^0 .
41	Алевролиты (возраст - нижний девон) . Азимут падения 115^0 , угол падения 30^0
42	Мергели (возраст - средний девон). Азимут падения 115^0 , угол падения 30^0 .
43	Известняки оргоногенные (возраст - верхний силлур). Азимут падения 80^0 , угол падения 28^0 .
44	Алевролиты (возраст - нижний девон) . Азимут падения 80^0 , угол падения 31^0
45	Разлом. Азимут падения 85^0 , угол падения 70^0 . Западнее от точки наблюдения распространены Мергели (возраст - средний девон), на востоке - Гравелиты (возраст - нижний карбон)
46	Разлом. Азимут падения 90^0 , угол падения 70^0 . Западнее от точки наблюдения распространены Песчаники (возраст - верхний девон), на востоке - Конгломераты (возраст - средний

	нижний карбон), на западе - Конгломераты (возраст - средний карбон) .
15	Мергели (возраст - средний девон). Азимут падения 277^0 , угол падения 30^0 .
16	Известняки оргоногенные (возраст - верхний силлур) . Азимут падения 277^0 , угол падения 28^0 .
17	Контакт. Южнее от точки наблюдения распространены Кремнистые породы (возраст - верхний ордовик), на севере – Интрузивные породы (возраст - протерозой) .
18	Глинистые сланцы (возраст - нижний силлур). Азимут падения 275^0 , угол падения 31^0
19	Алевролиты (возраст - нижний девон) . Азимут падения 275^0 , угол падения 31^0
20	Мергели (возраст - средний девон). Азимут падения 270^0 , угол падения 30^0 .
21	Глинистые сланцы (возраст - нижний силлур). Азимут падения 268^0 , угол падения 30^0
22	Известняки оргоногенные (возраст - верхний силлур). Азимут падения 270^0 , угол падения 30^0 .
23	Контакт. Юго-западнее от точки наблюдения распространены Кремнистые породы (возраст-верхний ордовик), на северо-востоке–Интрузивные породы (возраст-протерозой).
24	Мергели (возраст - средний девон). Азимут падения 275^0 , угол падения 30^0 .
25	Известняки оргоногенные (возраст - верхний силлур). Азимут падения 275^0 , угол падения 30^0 .
26	Контакт. Западнее от точки наблюдения распространены Кремнистые породы (возраст - верхний ордовик), на востоке – Интрузивные породы (возраст - протерозой) .
27	Алевролиты (возраст - нижний девон) . Азимут падения 275^0 , угол падения 31^0
28	Контакт. Восточнее от точки наблюдения распространены Кремнистые породы (возраст - верхний ордовик), на западе – Интрузивные породы (возраст - протерозой) .
29	Известняки оргоногенные (возраст - верхний силлур). Азимут падения 80^0 , угол падения 28^0 .
30	Известняки оргоногенные (возраст - верхний силлур). Азимут падения 80^0 , угол падения 28^0 .
31	Глинистые сланцы (возраст - нижний силлур). Азимут падения



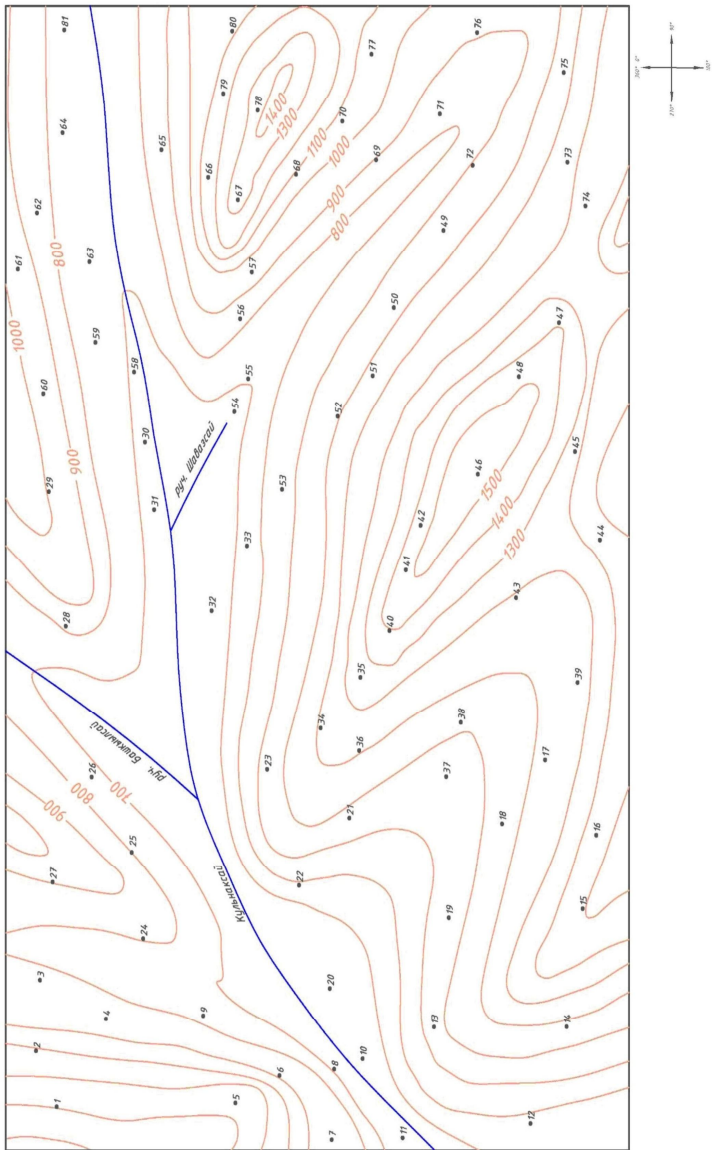
4-variant

Kuzatuv nuqasi	Kuzatuv nuqtasidan olingan ma'lumotlar
1	Yirik qatlamlı ohaktoshlar (yoshi-O). Qatlamning yotish azimuti 38^0 , yotish burchagi 30^0 .
2	Yirik qatlamlı ohaktoshlar (yoshi-O). Qatlamning yotish azimuti 40^0 , yotish burchagi 30^0 .
3	To'q kulrang gillar (yoshi-S). Qatlamning yotish azimuti 30^0 , yotish burchagi 27^0 .
4	To'q kulrang gillar (yoshi-S). Qatlamning yotish azimuti 30^0 , yotish burchagi 25^0 .
5	Sinklinal o'qi. Bu yerda och kulrang qumtoshlar (yoshi-D) tarqalgan.
6	5-nuqtadagi sinklinalning davomi. Qatlam och kulrang qumtoshlar (yoshi-D) dan tashkil topgan.
7	Och kulrang qumtoshlar (yoshi-D). Qatlamning yotish azimuti 27^0 , yotish burchagi 23^0 .
8	Och kulrang qumtoshlar (yoshi-D). Qatlamning yotish azimuti 32^0 , yotish burchagi 25^0 .
9	Qizg'ish rangli konglomeratlar (yoshi-C). Qatlamning yotish azimuti 55^0 , yotish burchagi 28^0 .
10	Qizg'ish rangli konglomeratlar (yoshi-C). Qatlamning yotish azimuti 80^0 , yotish burchagi 31^0 .
11	Qizg'ish rangli konglomeratlar (yoshi-C). Qatlamning yotish azimuti 20^0 , yotish burchagi 28^0 .
12	Och kulrang qumtoshlar (yoshi-D). Qatlamning yotish azimuti 37^0 , yotish burchagi 26^0 .
13	Och kulrang qumtoshlar (yoshi-D). Qatlamning yotish azimuti 37^0 , yotish burchagi 26^0 .
14	Och kulrang qumtoshlar (yoshi-D). Qatlamning yotish azimuti 41^0 , yotish burchagi 28^0 .
15	Och kulrang qumtoshlar (yoshi-D). Qatlamning yotish azimuti 90^0 , yotish burchagi 31^0 .
16	To'q kulrang gillar (yoshi-S). Qatlamning yotish azimuti 80^0 , yotish burchagi 27^0 .

10-вариант

Точки наблюдений	Геологические данные точек наблюдений
1	Алевролиты (возраст - нижний перм). Азимут падения 270^0 , угол падения 30^0 .
2	Глины (возраст - верхний карбон) . Азимут падения 277^0 , угол падения 30^0 .
3	Разлом. Восточнее от точки наблюдения распространены Песчаники (возраст - верхний девон), на западе – Конгломераты (возраст - средний карбон) .
4	Конгломераты (возраст - средний карбон) . Азимут падения 273^0 , угол падения 31^0 .
5	Алевролиты (возраст - нижний перм). Азимут падения 285^0 , угол падения 30^0 .
6	Глины (возраст - верхний карбон) . Азимут падения 285^0 , угол падения 30^0 .
7	Алевролиты (возраст - нижний перм). Азимут падения 350^0 , угол падения 27^0 .
8	Конгломераты (возраст - средний карбон) . Азимут падения 285^0 , угол падения 30^0 .
9	Разлом. Азимут падения 270^0 , угол падения 70^0 . Восточнее от точки наблюдения распространены Песчаники (возраст - верхний девон), на западе - Конгломераты (возраст - средний карбон) .
10	Разлом. Азимут падения 270^0 , угол падения 70^0 . Восточнее от точки наблюдения распространены Гравелиты (возраст - нижний карбон), на западе - Конгломераты (возраст - средний карбон) .
11	Глины (возраст - верхний карбон) . Ось синклинали
12	Глины (возраст - верхний карбон) . Ось синклинали
13	Разлом. Азимут падения 255^0 , угол падения 70^0 . Восточнее от точки наблюдения распространены Гравелиты (возраст - нижний карбон), на западе - Конгломераты (возраст - средний карбон) .
14	Разлом. Азимут падения 290^0 , угол падения 70^0 . Восточнее от точки наблюдения распространены Гравелиты (возраст -

9-вариант (6)
Масштаб 1:50000



17	To‘q kulrang gillar (yoshi-S). Qatlamning yotish azimuti 42^0 , yotish burchagi 31^0 .
18	To‘q kulrang gillar (yoshi-S). Qatlamning yotish azimuti 30^0 , yotish burchagi 27^0 .
19	To‘q kulrang gillar (yoshi-S). Qatlamning yotish azimuti 45^0 , yotish burchagi 27^0 .
20	To‘q kulrang gillar (yoshi-S). Qatlamning yotish azimuti 350^0 , yotish burchagi 32^0 .
21	Yirik qatlamlı ohaktoshlar (yoshi-O). Qatlamning yotish azimuti 350^0 , yotish burchagi 30^0 .
22	Yirik qatlamlı ohaktoshlar (yoshi-O). Qatlamning yotish azimuti 20^0 , yotish burchagi 30^0 .
23	Yirik qatlamlı ohaktoshlar (yoshi-O). Qatlamning yotish azimuti 48^0 , yotish burchagi 30^0 .
24	To‘q kulrang gillar (yoshi-S). Qatlamning yotish azimuti 95^0 , yotish burchagi 27^0 .
25	To‘q kulrang gillar (yoshi-S). Qatlamning yotish azimuti 80^0 , yotish burchagi 27^0 .
26	To‘q kulrang gillar (yoshi-S). Qatlamning yotish azimuti 80^0 , yotish burchagi 28^0 .
27	To‘q kulrang gillar (yoshi-S). Qatlamning yotish azimuti 40^0 , yotish burchagi 28^0 .
28	Och kulrang qumtoshlar (yoshi-D). Qatlamning yotish azimuti 100^0 , yotish burchagi 33^0 .
29	Och kulrang qumtoshlar (yoshi-D). Qatlamning yotish azimuti 77^0 , yotish burchagi 32^0 .
30	Och kulrang qumtoshlar (yoshi-D). Qatlamning yotish azimuti 90^0 , yotish burchagi 33^0 .
31	Och kulrang qumtoshlar (yoshi-D). Qatlamning yotish azimuti 80^0 , yotish burchagi 28^0 .
32	Och kulrang qumtoshlar (yoshi-D). Qatlamning yotish azimuti 100^0 , yotish burchagi 33^0 .
33	Qizg‘ish rangli konglomeratlar (yoshi-C). Qatlamning yotish azimuti 100^0 , yotish burchagi 28^0 .
34	Qizg‘ish rangli konglomeratlar (yoshi-C). Qatlamning yotish azimuti 90^0 , yotish burchagi 30^0 .
35	Qizg‘ish rangli konglomeratlar (yoshi-C). Qatlamning yotish azimuti 320^0 , yotish burchagi 28^0 .

36	Qizg'ish rangli konglomeratlar (yoshi-C). Qatlamning yotish azimuti 320° , yotish burchagi 28° .
37	Qizg'ish rangli konglomeratlar (yoshi-C). Qatlamning yotish azimuti 120° , yotish burchagi 25° .
38	Qizg'ish rangli konglomeratlar (yoshi-C). Qatlamning yotish azimuti 180° , yotish burchagi 31° .
39	Qizg'ish rangli konglomeratlar (yoshi-C). Qatlamning yotish azimuti 45° , yotish burchagi 28° .
40	Qizg'ish rangli konglomeratlar (yoshi-C). Qatlamning yotish azimuti 10° , yotish burchagi 27° .
41	Qizg'ish rangli konglomeratlar (yoshi-C). Qatlamning yotish azimuti 60° , yotish burchagi 28° .
42	Qizg'ish rangli konglomeratlar (yoshi-C). Qatlamning yotish azimuti 140° , yotish burchagi 35° .
43	Qizg'ish rangli konglomeratlar (yoshi-C). Qatlamning yotish azimuti 340° , yotish burchagi 28° .
44	Qizg'ish rangli konglomeratlar (yoshi-C). Qatlamning yotish azimuti 30° , yotish burchagi 31° .
45	Qizg'ish rangli konglomeratlar (yoshi-C). Qatlamning yotish azimuti 30° , yotish burchagi 27° .
46	Qizg'ish rangli konglomeratlar (yoshi-C). Qatlamning yotish azimuti 340° , yotish burchagi 30° .
47	Qizg'ish rangli konglomeratlar (yoshi-C). Qatlamning yotish azimuti 55° , yotish burchagi 28° .
48	Qizg'ish rangli konglomeratlar (yoshi-C). Qatlamning yotish azimuti 105° , yotish burchagi 26° .
49	Yirik qatlamlı ohaktoshlar (yoshi-O). Qatlamning yotish azimuti 38° , yotish burchagi 30° .
50	Yirik qatlamlı ohaktoshlar (yoshi-O). Qatlamning yotish azimuti 38° , yotish burchagi 33° .
51	Yirik qatlamlı ohaktoshlar (yoshi-O). Qatlamning yotish azimuti 350° , yotish burchagi 30° .
52	Yirik qatlamlı ohaktoshlar (yoshi-O). Qatlamning yotish azimuti 38° , yotish burchagi 31° .
53	Yirik qatlamlı ohaktoshlar (yoshi-O). Qatlamning yotish azimuti 25° , yotish burchagi 33° .
54	Yirik qatlamlı ohaktoshlar (yoshi-O). Qatlamning yotish azimuti 35° , yotish burchagi 30° .
55	To'q kulrang gillar (yoshi-S). Qatlamning yotish azimuti 30° , yotish

	32° .
80	Алевролиты с прослойми глин (возраст - карбон) . Азимут падения 260° , угол падения 29° .
81	Доломитизированные известняки (возраст - девон) . Азимут падения 270° , угол падения 32° .

64	Разлом. Восточнее от точки наблюдения распространены Алевролиты с прослойми глин (возраст - карбон), на западе - Алевролиты с прослойми глин (возраст - карбон) .
65	Разлом. Азимут падения 110^0 , угол падения 75^0 . Восточнее от точки наблюдения распространены Гравелиты (возраст - перм), на западе - Алевролиты с прослойми глин (возраст - карбон) .
66	Разлом. Восточнее от точки наблюдения распространены Доломиты (возраст - нижний триас) , на западе - Гравелиты (возраст - перм)
67	Разлом. Восточнее от точки наблюдения распространены Доломиты (возраст - нижний триас) , на западе - Доломиты (возраст - нижний триас) .
68	Разлом. Азимут падения 80^0 , угол падения 75^0 . Восточнее от точки наблюдения распространены Доломиты (возраст - нижний триас), на западе - Гравелиты (возраст - перм)
69	Разлом. Азимут падения 80^0 , угол падения 70^0 . Восточнее от точки наблюдения распространены Гравелиты (возраст - перм), на западе - Алевролиты с прослойми глин (возраст - карбон) .
70	Гравелиты (возраст - перм) . Азимут падения 300^0 , угол падения 30^0 .
71	Алевролиты с прослойми глин (возраст - карбон) . Азимут падения 270^0 , угол падения 30^0 .
72	Разлом. Азимут падения 100^0 , угол падения 75^0 . Восточнее от точки наблюдения распространены Гравелиты (возраст - перм), на западе - Алевролиты с прослойми глин (возраст - карбон) .
73	Гравелиты (возраст - перм) . Азимут падения 250^0 , угол падения 32^0 .
74	Разлом. Азимут падения 115^0 , угол падения 75^0 . Восточнее от точки наблюдения распространены Доломиты (возраст - нижний триас), на западе - Гравелиты (возраст - перм)
75	Алевролиты с прослойми глин (возраст - карбон) . Азимут падения 250^0 , угол падения 30^0 .
76	Доломитизированные известняки (возраст - девон) . Азимут падения 270^0 , угол падения 30^0 .
77	Алевролиты с прослойми глин (возраст - карбон) . Азимут падения 300^0 , угол падения 32^0 .
78	Доломиты (возраст - нижний триас) . Азимут падения 270^0 , угол падения 30^0 .
79	Гравелиты (возраст - перм) . Азимут падения 255^0 , угол падения

	burchagi 29^0 .
56	To‘q kulrang gillar (yoshi-S). Qatlamning yotish azimuti 40^0 , yotish burchagi 27^0 .
57	To‘q kulrang gillar (yoshi-S). Qatlamning yotish azimuti 35^0 , yotish burchagi 27^0 .
58	To‘q kulrang gillar (yoshi-S). Qatlamning yotish azimuti 27^0 , yotish burchagi 28^0 .
59	To‘q kulrang gillar (yoshi-S). Qatlamning yotish azimuti 20^0 , yotish burchagi 30^0 .
60	To‘q kulrang gillar (yoshi-S). Qatlamning yotish azimuti 25^0 , yotish burchagi 30^0 .
61	To‘q kulrang gillar (yoshi-S). Qatlamning yotish azimuti 25^0 , yotish burchagi 27^0 .
62	To‘q kulrang gillar (yoshi-S). Qatlamning yotish azimuti 70^0 , yotish burchagi 25^0 .
63	Och kulrang qumtoshlar (yoshi-D). Qatlamning yotish azimuti 85^0 , yotish burchagi 29^0 .
64	Och kulrang qumtoshlar (yoshi-D). Qatlamning yotish azimuti 70^0 , yotish burchagi 27^0 .
65	Och kulrang qumtoshlar (yoshi-D). Qatlamning yotish azimuti 60^0 , yotish burchagi 27^0 .
66	Och kulrang qumtoshlar (yoshi-D). Qatlamning yotish azimuti 27^0 , yotish burchagi 30^0 .
67	Och kulrang qumtoshlar (yoshi-D). Qatlamning yotish azimuti 45^0 , yotish burchagi 31^0 .
68	To‘q kulrang gillar (yoshi-S). Qatlamning yotish azimuti 65^0 , yotish burchagi 27^0 .
69	To‘q kulrang gillar (yoshi-S). Qatlamning yotish azimuti 350^0 , yotish burchagi 27^0 .
70	To‘q kulrang gillar (yoshi-S). Qatlamning yotish azimuti 350^0 , yotish burchagi 28^0 .
71	Och kulrang qumtoshlar (yoshi-D). Qatlamning yotish azimuti 45^0 , yotish burchagi 31^0 .
72	To‘q kulrang gillar (yoshi-S). Qatlamning yotish azimuti 330^0 , yotish burchagi 27^0 .
73	Och kulrang qumtoshlar (yoshi-D). Qatlamning yotish azimuti 340^0 , yotish burchagi 27^0 .
74	Och kulrang qumtoshlar (yoshi-D). Qatlamning yotish azimuti 15^0 ,

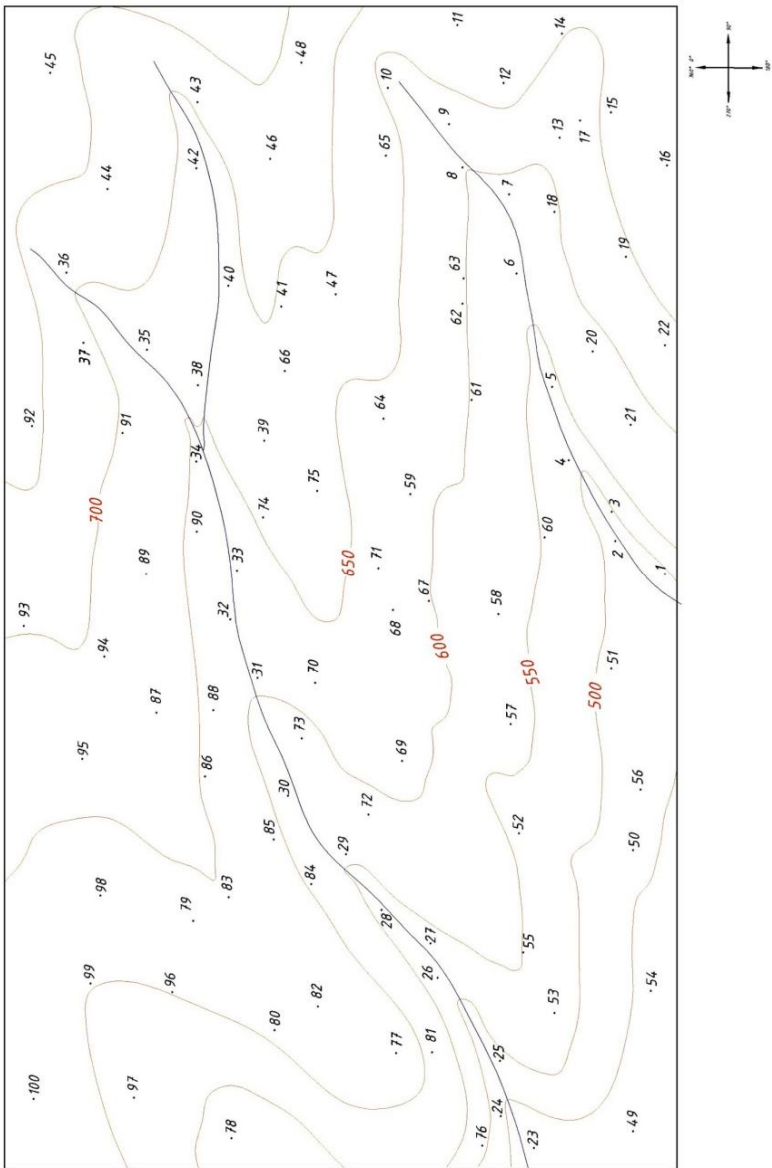
	yotish burchagi 28^0 .
75	Och kulrang qumtoshlar (yoshi-D). Qatlamning yotish azimuti 45^0 , yotish burchagi 28^0 .
76	Yirik qatlamlı ohaktoshlar (yoshi-O). Qatlamning yotish azimuti 100^0 , yotish burchagi 30^0 .
77	Yirik qatlamlı ohaktoshlar (yoshi-O). Qatlamning yotish azimuti 90^0 , yotish burchagi 32^0 .
78	Yirik qatlamlı ohaktoshlar (yoshi-O). Qatlamning yotish azimuti 38^0 , yotish burchagi 33^0 .
79	Yirik qatlamlı ohaktoshlar (yoshi-O). Qatlamning yotish azimuti 42^0 , yotish burchagi 30^0 .
80	Yirik qatlamlı ohaktoshlar (yoshi-O). Qatlamning yotish azimuti 50^0 , yotish burchagi 30^0 .
81	To'q kulrang gillar (yoshi-S). Qatlamning yotish azimuti 120^0 , yotish burchagi 29^0 .
82	To'q kulrang gillar (yoshi-S). Qatlamning yotish azimuti 110^0 , yotish burchagi 32^0 .
83	To'q kulrang gillar (yoshi-S). Qatlamning yotish azimuti 100^0 , yotish burchagi 29^0 .
84	To'q kulrang gillar (yoshi-S). Qatlamning yotish azimuti 120^0 , yotish burchagi 27^0 .
85	Och kulrang qumtoshlar (yoshi-D). Qatlamning yotish azimuti 90^0 , yotish burchagi 23^0 .
86	To'q kulrang gillar (yoshi-S). Qatlamning yotish azimuti 140^0 , yotish burchagi 28^0 .
87	To'q kulrang gillar (yoshi-S). Qatlamning yotish azimuti 90^0 , yotish burchagi 28^0 .
88	Och kulrang qumtoshlar (yoshi-D). Qatlamning yotish azimuti 127^0 , yotish burchagi 23^0 .
89	Och kulrang qumtoshlar (yoshi-D). Qatlamning yotish azimuti 110^0 , yotish burchagi 23^0 .
90	Qizg'ish rangli konglomeratlar (yoshi-C). Qatlamning yotish azimuti 105^0 , yotish burchagi 28^0 .
91	Qizg'ish rangli konglomeratlar (yoshi-C). Qatlamning yotish azimuti 115^0 , yotish burchagi 28^0 .
92	Och kulrang qumtoshlar (yoshi-D). Qatlamning yotish azimuti 127^0 , yotish burchagi 23^0 .
93	Och kulrang qumtoshlar (yoshi-D). Qatlamning yotish azimuti 70^0 , yotish burchagi 23^0 .

	глин (возраст - карбон), на востоке - Доломиты (возраст - нижний триас)
47	Светло-серые мергели (возраст - средний триас). Синклиналь
48	Доломиты (возраст - нижний триас). Азимут падения 125^0 , угол падения 30^0 .
49	Гравелиты (возраст - перм). Азимут падения 255^0 , угол падения 30^0 .
50	Доломиты (возраст - нижний триас). Ось синклинали
51	Гравелиты (возраст - перм). Азимут падения 120^0 , угол падения 30^0 .
52	Разлом. Азимут падения 107^0 , угол падения 75^0 . Восточнее от точки наблюдения распространены Алевролиты с прослойями глин (возраст - карбон), на западе – Доломитизированные известняки (возраст - девон).
53	Органогенные известняки (возраст - средний ордовик). Азимут падения 113^0 , угол падения 30^0 .
54	Органогенные известняки (возраст - средний ордовик). Азимут падения 105^0 , угол падения 30^0 .
55	Разлом. Азимут падения 90^0 , угол падения 75^0 . Восточнее от точки наблюдения распространены Алевролиты с прослойями глин (возраст - карбон), на западе – Алевролиты (возраст - силур).
56	Гравелиты (возраст - перм). Азимут падения 90^0 , угол падения 32^0 .
57	Доломиты (возраст - нижний триас). Азимут падения 90^0 , угол падения 32^0 .
58	Разлом. Азимут падения 85^0 , угол падения 75^0 . Восточнее от точки наблюдения распространены Доломитизированные известняки (возраст - девон), на западе – Алевролиты (возраст - силур).
59	Алевролиты с прослойями глин (возраст - карбон). Азимут падения 85^0 , угол падения 30^0
60	Разлом. Восточнее от точки наблюдения распространены Алевролиты с прослойями глин (возраст - карбон), на западе – Алевролиты (возраст - силур).
61	Доломиты (возраст - нижний триас). Ось синклинали
62	Гравелиты (возраст - перм).
63	Гравелиты (возраст - перм). Ось синклинали

31	Глинистые сланцы (возраст - нижний ордовик) . Азимут падения 91^0 , угол падения 30^0
32	Контакт. Восточнее от точки наблюдения распространены Кремнистые породы (возраст - кембрий) , на западе – Интрузивные породы (возраст - архей).
33	Глинистые сланцы (возраст - нижний ордовик) . Азимут падения 110^0 , угол падения 30^0
34	Контакт. Восточнее от точки наблюдения распространены Кремнистые породы (возраст - кембрий) , на западе – Интрузивные породы (возраст - архей).
35	Глинистые сланцы (возраст - нижний ордовик) . Азимут падения 110^0 , угол падения 28^0
36	Контакт. Западнее от точки наблюдения распространены Кремнистые породы (возраст - кембрий) , на востоке – Интрузивные породы (возраст - архей).
37	Контакт. Западнее от точки наблюдения распространены Кремнистые породы (возраст - кембрий) , на востоке – Интрузивные породы (возраст - архей).
38	Контакт. Восточнее от точки наблюдения распространены Кремнистые породы (возраст - кембрий) , на западе – Интрузивные породы (возраст - архей).
39	Глинистые сланцы (возраст - нижний ордовик) . Азимут падения 115^0 , угол падения 30^0
40	Органогенные известняки (возраст - средний ордовик). Азимут падения 113^0 , угол падения 30^0 .
41	Алевролиты (возраст - силлур) . Азимут падения 115^0 , угол падения 30^0
42	Доломитизированные известняки (возраст - девон). Азимут падения 115^0 , угол падения 30^0 .
43	Органогенные известняки (возраст - средний ордовик). Азимут падения 80^0 , угол падения 28^0 .
44	Алевролиты (возраст - силлур) . Азимут падения 80^0 , угол падения 31^0
45	Разлом. Азимут падения 85^0 , угол падения 70^0 . Западнее от точки наблюдения распространены Доломитизированные известняки (возраст - девон), на востоке – Гравели-ты (возраст - перм)
46	Разлом. Азимут падения 90^0 , угол падения 70^0 . Западнее от точки наблюдения распространены Алевролиты с прослоями

94	Och kulrang qumtoshlar (yoshi-D). Qatlamning yotish azimuti 80^0 , yotish burchagi 23^0 .
95	To'q kulrang gillar (yoshi-S). Qatlamning yotish azimuti 350^0 , yotish burchagi 27^0 .
96	To'q kulrang gillar (yoshi-S). Qatlamning yotish azimuti 50^0 , yotish burchagi 30^0 .
97	To'q kulrang gillar (yoshi-S). Qatlamning yotish azimuti 15^0 , yotish burchagi 27^0 .
98	To'q kulrang gillar (yoshi-S). Qatlamning yotish azimuti 330^0 , yotish burchagi 28^0 .
99	Och kulrang qumtoshlar (yoshi-D). Qatlamning yotish azimuti 10^0 , yotish burchagi 31^0 .
100	Och kulrang qumtoshlar (yoshi-D). Qatlamning yotish azimuti 10^0 , yotish burchagi 33^0 .

4-variant (1)
Masshtab 1:100000



	точки наблюдения распространены Гравелиты (возраст - перм), на западе - Доломиты (возраст - нижний триас).
15	Доломитизированные известняки (возраст - девон). Азимут падения 277^0 , угол падения 30^0 .
16	Органогенные известняки (возраст - средний ордовик). Азимут падения 277^0 , угол падения 28^0 .
17	Контакт. Южнее от точки наблюдения распространены Кремнистые породы (возраст - кембрий), на севере - Интрузивные породы (возраст - архей).
18	Глинистые сланцы (возраст - нижний ордовик). Азимут падения 275^0 , угол падения 31^0
19	Алевролиты (возраст - силлур). Азимут падения 275^0 , угол падения 31^0
20	Доломитизированные известняки (возраст - девон). Азимут падения 270^0 , угол падения 30^0 .
21	Глинистые сланцы (возраст - нижний ордовик). Азимут падения 268^0 , угол падения 30^0
22	Органогенные известняки (возраст - средний ордовик). Азимут падения 270^0 , угол падения 30^0 .
23	Контакт. Юго-западнее от точки наблюдения распространены Кремнистые породы (возраст - кембрий), северо-восточнее - Интрузивные породы (возраст - архей).
24	Доломитизированные известняки (возраст - девон). Азимут падения 275^0 , угол падения 30^0
25	Органогенные известняки (возраст - средний ордовик). Азимут падения 275^0 , угол падения 30^0
26	Контакт. Западнее от точки наблюдения распространены Кремнистые породы (возраст - кембрий), на востоке - Интрузивные породы (возраст - архей).
27	Алевролиты (возраст - силлур). Азимут падения 275^0 , угол падения 31^0
28	Контакт. Восточнее от точки наблюдения распространены Кремнистые породы (возраст - кембрий), на западе - Интрузивные породы (возраст - архей).
29	Органогенные известняки (возраст - средний ордовик). Азимут падения 80^0 , угол падения 28^0
30	Органогенные известняки (возраст - средний ордовик). Азимут падения 80^0 , угол падения 28^0

9-вариант

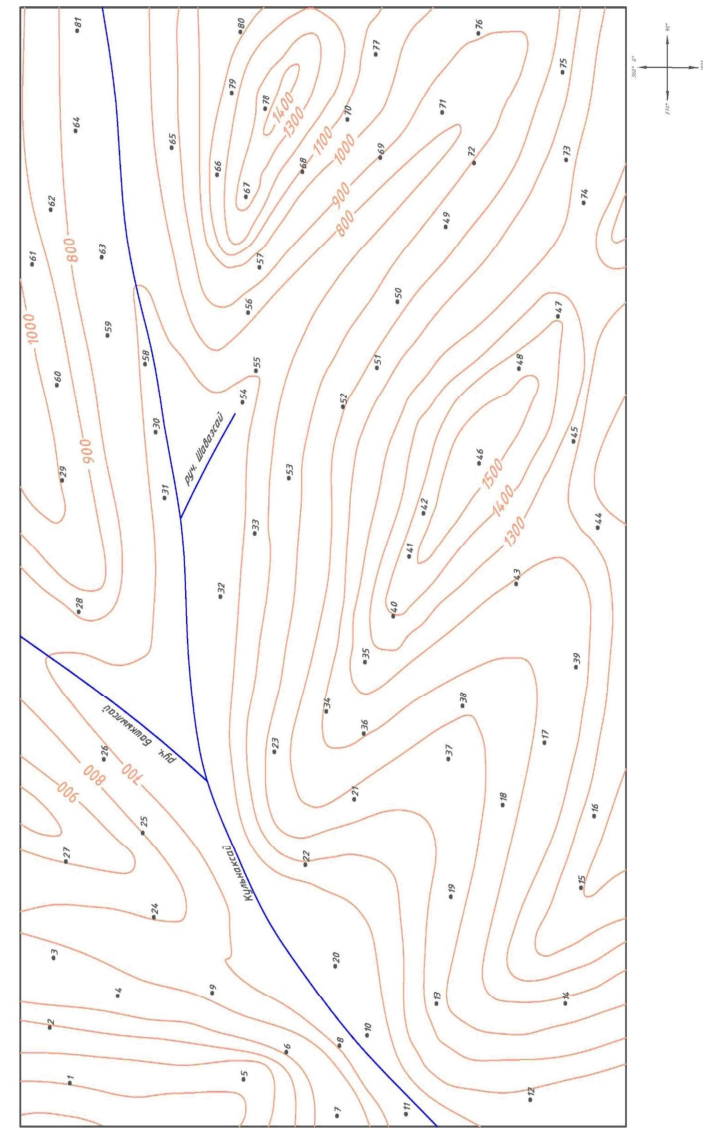
Точки наблюдений	Геологические данные точек наблюдений
1	Известняки с прослойями ангидритов (возраст - юра) . Азимут падения 270^0 , угол падения 30^0 .
2	Светло-серые мергели (возраст - средний триас) . Азимут падения 277^0 , угол падения 30^0 .
3	Разлом. Восточнее от точки наблюдения распространены Алевролиты с прослойями глин (возраст - карбон), на западе – Доломиты (возраст - нижний триас) .
4	Доломиты (возраст - нижний триас) . Азимут падения 273^0 , угол падения 31^0 .
5	Известняки с прослойями ангидритов (возраст - юра). Азимут падения 285^0 , угол падения 30^0 .
6	Светло-серые мергели (возраст - средний триас) . Азимут падения 285^0 , угол падения 30^0 .
7	Известняки с прослойями ангидритов (возраст - юра). Азимут падения 350^0 , угол падения 27^0 .
8	Доломиты (возраст - нижний триас) . Азимут падения 285^0 , угол падения 30^0 .
9	Разлом. Азимут падения 270^0 , угол падения 70^0 . Восточнее от точки наблюдения распространены Алевролиты с прослойями глин (возраст - карбон), на западе - Доломиты (возраст - нижний триас) .
10	Разлом. Азимут падения 270^0 , угол падения 70^0 . Восточнее от точки наблюдения распространены Гравелиты (возраст - перм), на западе - Доломиты (возраст - нижний триас)
11	Светло-серые мергели (возраст - средний триас) . Ось синклинали
12	Светло-серые мергели (возраст - средний триас) . Ось синклинали
13	Разлом. Азимут падения 255^0 , угол падения 70^0 . Восточнее от точки наблюдения распространены Гравелиты (возраст - перм), на западе - Доломиты (возраст - нижний триас) .
14	Разлом. Азимут падения 290^0 , угол падения 70^0 . Восточнее от

5-variant

Kuzatuv nuqtasi	Kuzatuv nuqtasidan olingan ma'lumotlar
1	Yirik qatlamlı ohaktoshlar (yoshi- quyi J). Qatlamning yotish azimuti 230^0 , yotish burchagi 28^0 .
2	Yirik qatlamlı ohaktoshlar (yoshi- quyi J). Qatlamning yotish azimuti 230^0 , yotish burchagi 30^0 .
3	Yirik qatlamlı ohaktoshlar (yoshi- quyi J). Qatlamning yotish azimuti 250^0 , yotish burchagi 28^0 .
4	Yirik qatlamlı ohaktoshlar (yoshi- quyi J). Qatlamning yotish azimuti 35^0 , yotish burchagi 28^0 .
5	Yirik qatlamlı ohaktoshlar (yoshi- quyi J). Qatlamning yotish azimuti 240^0 , yotish burchagi 28^0 .
6	Yirik qatlamlı ohaktoshlar (yoshi- quyi J).
7	Yirik qatlamlı ohaktoshlar (yoshi- quyi J).
8	Yirik qatlamlı ohaktoshlar (yoshi- quyi J). Qatlamning yotish azimuti 230^0 , yotish burchagi 28^0 .
9	Yirik qatlamlı ohaktoshlar (yoshi- quyi J). Qatlamning yotish azimuti 220^0 , yotish burchagi 28^0 .
10	To'q kulrang gillar (yoshi-o'rta J). Qatlamning yotish azimuti 260^0 , yotish burchagi 28^0 .
11	To'q kulrang gillar (yoshi-o'rta J). Qatlamning yotish azimuti 250^0 , yotish burchagi 28^0 .
12	Och kulrang qumtoshlar (yoshi- yuqori J). Qatlamning yotish azimuti 260^0 , yotish burchagi 31^0 .
13	Och kulrang qumtoshlar (yoshi- yuqori J). Qatlamning yotish azimuti 235^0 , yotish burchagi 31^0 .
14	Qizg'ish rangli konglomeratlar (yoshi- K). Qatlamning yotish azimuti 240^0 , yotish burchagi 31^0 .
15	Qizg'ish rangli konglomeratlar (yoshi- K). Qatlamning yotish azimuti 250^0 , yotish burchagi 31^0 .
16	Yirik qatlamlı ohaktoshlar (yoshi- quyi J). Qatlamning yotish azimuti 45^0 , yotish burchagi 28^0 .
17	To'q kulrang gillar (yoshi-o'rta J). Qatlamning yotish azimuti 40^0 ,

	yotish burchagi 28^0 .
18	Och kulrang qumtoshlar (yoshi- yuqori J). Qatlamning yotish azimuti 45^0 , yotish burchagi 31^0 .
19	Och kulrang qumtoshlar (yoshi- yuqori J). Qatlamning yotish azimuti 500^0 , yotish burchagi 31^0 .
20	Yirik qatlamlı ohaktoshlar (yoshi- quyi J). Qatlamning yotish azimuti 30^0 , yotish burchagi 28^0 .
21	To'q kulrang gillar (yoshi- o'rtal J). Qatlamning yotish azimuti 45^0 , yotish burchagi 28^0 .
22	Janubiy-g'arbda To'q kulrang gillar (yoshi- o'rtal J) qatlamlari bilan shimoli-sharqda Och kulrang qumtoshlar (yoshi- yuqori J) kontakti. Qatlamning yotish azimuti 50^0 , yotish burchagi 31^0 .
23	Och kulrang qumtoshlar (yoshi- yuqori J). Qatlamning yotish azimuti 45^0 , yotish burchagi 31^0 .
24	Och kulrang qumtoshlar (yoshi- yuqori J). Qatlamning yotish azimuti 45^0 , yotish burchagi 31^0 .
25	To'q kulrang gillar (yoshi- o'rtal J). Qatlamning yotish azimuti 40^0 , yotish burchagi 28^0 .
26	To'q kulrang gillar (yoshi- o'rtal J). Qatlamning yotish azimuti 220^0 , yotish burchagi 28^0 .
27	To'q kulrang gillar (yoshi- o'rtal J). Qatlamning yotish azimuti 260^0 , yotish burchagi 28^0 .
28	To'q kulrang gillar (yoshi- o'rtal J). Qatlamning yotish azimuti 260^0 , yotish burchagi 28^0 .
29	To'q kulrang gillar (yoshi-o'rtal J). Qatlamning yotish azimuti 270^0 , yotish burchagi 28^0 .
30	Och kulrang qumtoshlar (yoshi-yuqori J). Qatlamning yotish azimuti 280^0 , yotish burchagi 31^0 .
31	Och kulrang qumtoshlar (yoshi-yuqori J). Qatlamning yotish azimuti 260^0 , yotish burchagi 31^0 .
32	Och kulrang qumtoshlar (yoshi-yuqori J). Qatlamning yotish azimuti 260^0 , yotish burchagi 31^0 .
33	Och kulrang qumtoshlar (yoshi-yuqori J). Qatlamning yotish azimuti 275^0 , yotish burchagi 31^0 .
34	Och kulrang qumtoshlar (yoshi-yuqori J). Qatlamning yotish azimuti 260^0 , yotish burchagi 31^0 .
35	To'q kulrang gillar (yoshi- o'rtal J). Qatlamning yotish azimuti 255^0 , yotish burchagi 28^0 .
36	To'q kulrang gillar (yoshi-o'rtal J). Qatlamning yotish azimuti 265^0 ,

8-Вариант (6)
Масштаб 1:50000



77	Песчаники (возраст - верхний девон) . Азимут падения 300 ⁰ , угол падения 32 ⁰ .
78	Конгломераты (возраст - средний карбон) . Азимут падения 270 ⁰ , угол падения 30 ⁰ .
79	Гравелиты (возраст - нижний карбон) . Азимут падения 255 ⁰ , угол падения 32 ⁰ .
80	Песчаники (возраст - верхний девон) . Азимут падения 260 ⁰ , угол падения 29 ⁰ .
81	Доломиты (возраст - средний девон). Азимут падения 270 ⁰ , угол падения 32 ⁰ .

37	yotish burchagi 28 ⁰ .
38	To‘q kulrang gillar (yoshi-o‘rtal J). Qatlamning yotish azimuti 270 ⁰ , yotish burchagi 28 ⁰ .
39	Och kulrang qumtoshlar (yoshi-yuqori J). Qatlamning yotish azimuti 270 ⁰ , yotish burchagi 31 ⁰ .
40	Qizg‘ish rangli konglomeratlar (yoshi- K). Qatlamning yotish azimuti 270 ⁰ , yotish burchagi 31 ⁰ .
41	Qizg‘ish rangli konglomeratlar (yoshi- K). Qatlamning yotish azimuti 270 ⁰ , yotish burchagi 31 ⁰ .
42	Qizg‘ish rangli konglomeratlar (yoshi- K). Qatlamning yotish azimuti 275 ⁰ , yotish burchagi 31 ⁰ .
43	Qizg‘ish rangli konglomeratlar (yoshi- K). Qatlamning yotish azimuti 270 ⁰ , yotish burchagi 31 ⁰ .
44	Qizg‘ish rangli konglomeratlar (yoshi- K). Qatlamning yotish azimuti 280 ⁰ , yotish burchagi 31 ⁰ .
45	Qizg‘ish rangli konglomeratlar (yoshi- K). Qatlamning yotish azimuti 260 ⁰ , yotish burchagi 31 ⁰ .
46	Qizg‘ish rangli konglomeratlar (yoshi- K). Qatlamning yotish azimuti 285 ⁰ , yotish burchagi 31 ⁰ .
47	Yirik qatlamlı ohaktoshlar (yoshi- quyi J). Qatlamning yotish azimuti 90 ⁰ , yotish burchagi 28 ⁰ .
48	Yirik qatlamlı ohaktoshlar (yoshi- quyi J). Qatlamning yotish azimuti 50 ⁰ , yotish burchagi 28 ⁰ .
49	To‘q kulrang gillar (yoshi- o‘rtal J). Qatlamning yotish azimuti 35 ⁰ , yotish burchagi 28 ⁰ .
50	Och kulrang qumtoshlar (yoshi- yuqori J). Qatlamning yotish azimuti 50 ⁰ , yotish burchagi 31 ⁰ .
51	Och kulrang qumtoshlar (yoshi- yuqori J). Qatlamning yotish azimuti 225 ⁰ , yotish burchagi 31 ⁰ .
52	Och kulrang qumtoshlar (yoshi- yuqori J). Qatlamning yotish azimuti 70 ⁰ , yotish burchagi 31 ⁰ .
53	Och kulrang qumtoshlar (yoshi- yuqori J). Qatlamning yotish azimuti 210 ⁰ , yotish burchagi 31 ⁰ .
54	Och kulrang qumtoshlar (yoshi- yuqori J). Qatlamning yotish azimuti 260 ⁰ , yotish burchagi 31 ⁰ .
55	Och kulrang qumtoshlar (yoshi- yuqori J). Qatlamning yotish azimuti

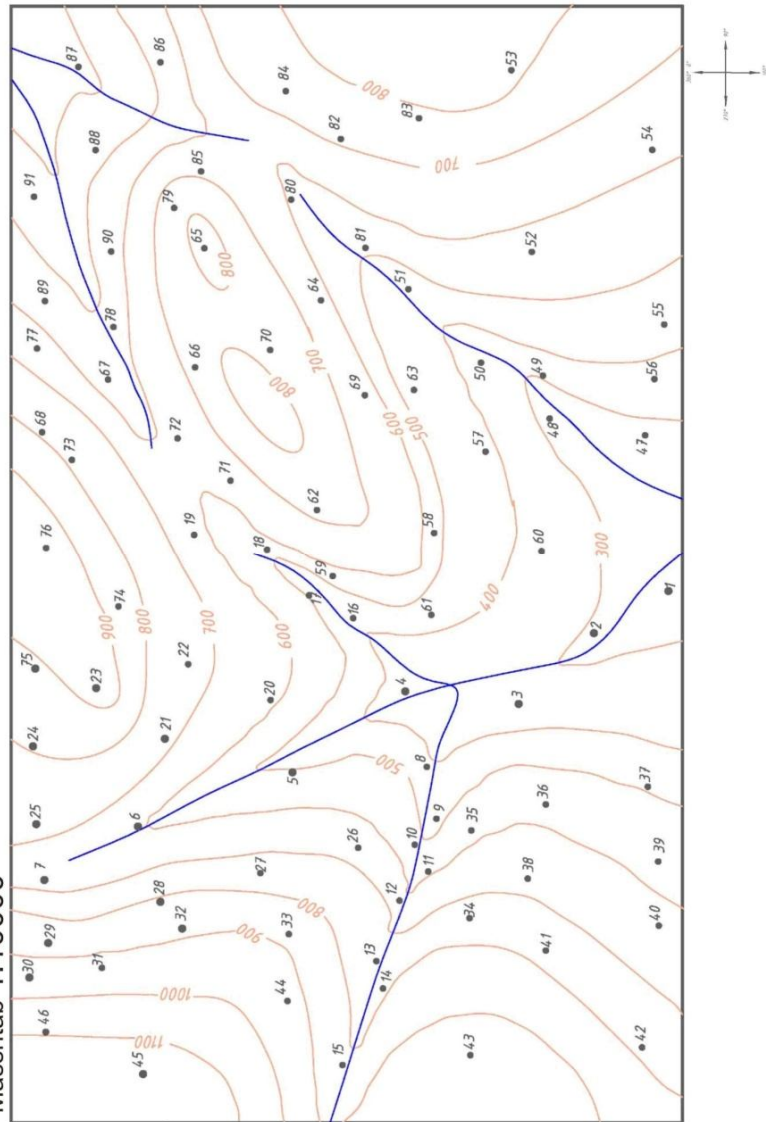
	100°, yotish burchagi 31°.
56	To'q kulrang gillar (yoshi- o'rtal J). Qatlamning yotish azimuti 95°, yotish burchagi 28°.
57	To'q kulrang gillar (yoshi- o'rtal J). Qatlamning yotish azimuti 45°, yotish burchagi 28°.
58	To'q kulrang gillar (yoshi- o'rtal J). Qatlamning yotish azimuti 45°, yotish burchagi 28°.
59	To'q kulrang gillar (yoshi- o'rtal J). Qatlamning yotish azimuti 30°, yotish burchagi 28°.
60	Yirik qatlamlı ohaktoshlar (yoshi- quyi J). Qatlamning yotish azimuti 40°, yotish burchagi 28°.
61	Yirik qatlamlı ohaktoshlar (yoshi- quyi J). Qatlamning yotish azimuti 105°, yotish burchagi 28°.
62	Och kulrang qumtoshlar (yoshi- yuqori J). Qatlamning yotish azimuti 50°, yotish burchagi 31°.
63	Och kulrang qumtoshlar (yoshi- yuqori J).
64	Och kulrang qumtoshlar (yoshi- yuqori J). Qatlamning yotish azimuti 280°, yotish burchagi 31°.
65	Och kulrang qumtoshlar (yoshi- yuqori J). Qatlamning yotish azimuti 245°, yotish burchagi 31°.
66	Och kulrang qumtoshlar (yoshi- yuqori J). Qatlamning yotish azimuti 245°, yotish burchagi 31°.
67	Och kulrang qumtoshlar (yoshi- yuqori J). Qatlamning yotish azimuti 260°, yotish burchagi 31°.
68	Och kulrang qumtoshlar (yoshi- yuqori J). Qatlamning yotish azimuti 240°, yotish burchagi 31°.
69	Qizg'ish rangli konglomeratlar (yoshi- K).
70	Qizg'ish rangli konglomeratlar (yoshi- K). Qatlamning yotish azimuti 245°, yotish burchagi 31°.
71	Qizg'ish rangli konglomeratlar (yoshi- K). Qatlamning yotish azimuti 90°, yotish burchagi 31°.
72	Qizg'ish rangli konglomeratlar (yoshi- K).
73	Qizg'ish rangli konglomeratlar (yoshi- K). Qatlamning yotish azimuti 240°, yotish burchagi 31°.
74	Qizg'ish rangli konglomeratlar (yoshi- K). Qatlamning yotish azimuti 40°, yotish burchagi 31°.
75	Qizg'ish rangli konglomeratlar (yoshi- K). Qatlamning yotish azimuti 45°, yotish burchagi 31°.
76	Qizg'ish rangli konglomeratlar (yoshi- K). Qatlamning yotish azimuti

	Песчаники (возраст - верхний девон), на западе - Песчаники (возраст - верхний девон).
65	Разлом. Азимут падения 110°, угол падения 75°. Восточнее от точки наблюдения распространены Гравелиты (возраст - нижний карбон), на западе - Песчаники (возраст - верхний девон).
66	Разлом. Восточнее от точки наблюдения распространены Конгломераты (возраст - средний карбон), на западе - Гравелиты (возраст - нижний карбон)
67	Разлом. Восточнее от точки наблюдения распространены Конгломераты (возраст - средний карбон), на западе - Конгломераты (возраст - средний карбон).
68	Разлом. Азимут падения 80°, угол падения 75°. Восточнее от точки наблюдения распространены Конгломераты (возраст - средний карбон), на западе - Гравелиты (возраст - нижний карбон)
69	Разлом. Азимут падения 80°, угол падения 70°. Восточнее от точки наблюдения распространены Гравелиты (возраст - нижний карбон), на западе - Песчаники (возраст - верхний девон).
70	Гравелиты (возраст - нижний карбон). Азимут падения 300°, угол падения 30°.
71	Песчаники (возраст - верхний девон). Азимут падения 270°, угол падения 30°.
72	Разлом. Азимут падения 100°, угол падения 75°. Восточнее от точки наблюдения распространены Гравелиты (возраст - нижний карбон), на западе - Песчаники (возраст - верхний девон).
73	Гравелиты (возраст - нижний карбон). Азимут падения 250°, угол падения 32°.
74	Разлом. Азимут падения 115°, угол падения 75°. Восточнее от точки наблюдения распространены Конгломераты (возраст - средний карбон), на западе - Гравелиты (возраст - нижний карбон)
75	Песчаники (возраст - верхний девон). Азимут падения 250°, угол падения 30°.
76	Доломиты (возраст - средний девон). Азимут падения 270°, угол падения 30°.

	верхний девон), на востоке - Конгломераты (возраст - средний карбон)
47	Мергели (возраст - верхний карбон). Синклиналь
48	Конгломераты (возраст - средний карбон) . Азимут падения 125 ⁰ , угол падения 30 ⁰ .
49	Гравелиты (возраст - нижний карбон) . Азимут падения 255 ⁰ , угол падения 30 ⁰ .
50	Конгломераты (возраст - средний карбон) . Ось синклинали
51	Гравелиты (возраст - нижний карбон) . Азимут падения 120 ⁰ , угол падения 30 ⁰ .
52	Разлом. Азимут падения 107 ⁰ , угол падения 75 ⁰ . Восточнее от точки наблюдения распространены Песчаники (возраст - верхний девон), на западе - Доломиты (возраст - средний девон).
53	Известняки оргоногенные (возраст - верхний силлур). Азимут падения 113 ⁰ , угол падения 30 ⁰ .
54	Известняки оргоногенные (возраст - верхний силлур). Азимут падения 105 ⁰ , угол падения 30 ⁰ .
55	Разлом. Азимут падения 90 ⁰ , угол падения 75 ⁰ . Восточнее от точки наблюдения распространены Песчаники (возраст - верхний девон), на западе - Алевролиты (возраст - нижний девон) .
56	Гравелиты (возраст - нижний карбон) . Азимут падения 90 ⁰ , угол падения 32 ⁰ .
57	Конгломераты (возраст - средний карбон) . Азимут падения 90 ⁰ , угол падения 32 ⁰ .
58	Разлом. Азимут падения 85 ⁰ , угол падения 75 ⁰ . Восточнее от точки наблюдения распространены Доломиты (возраст - средний девон), на западе - Алевролиты (возраст - нижний девон) .
59	Песчаники (возраст - верхний девон) . Азимут падения 85 ⁰ , угол падения 30 ⁰
60	Разлом. Восточнее от точки наблюдения распространены Песчаники (возраст - верхний девон), на западе - Алевролиты (возраст - нижний девон) .
61	Конгломераты (возраст - средний карбон) . Ось синклинали
62	Гравелиты (возраст - нижний карбон) .
63	Гравелиты (возраст - нижний карбон) . Ось синклинали
64	Разлом. Восточнее от точки наблюдения распространены

	240 ⁰ , yotish burchagi 31 ⁰ .
77	To‘q kulrang gillar (yoshi- o‘rta J). Qatlamning yotish azimuti 255 ⁰ , yotish burchagi 28 ⁰ .
78	To‘q kulrang gillar (yoshi- o‘rta J). Qatlamning yotish azimuti 255 ⁰ , yotish burchagi 28 ⁰ .
79	To‘q kulrang gillar (yoshi- o‘rta J). Qatlamning yotish azimuti 230 ⁰ , yotish burchagi 28 ⁰ .
80	To‘q kulrang gillar (yoshi- o‘rta J). Qatlamning yotish azimuti 230 ⁰ , yotish burchagi 28 ⁰ .
81	To‘q kulrang gillar (yoshi- o‘rta J). Qatlamning yotish azimuti 300 ⁰ , yotish burchagi 28 ⁰ .
82	To‘q kulrang gillar (yoshi- o‘rta J). Qatlamning yotish azimuti 230 ⁰ , yotish burchagi 28 ⁰ .
83	To‘q kulrang gillar (yoshi- o‘rta J). Qatlamning yotish azimuti 240 ⁰ , yotish burchagi 28 ⁰ .
84	Yirik qatlamlı ohaktoshlar (yoshi- quyi J). Qatlamning yotish azimuti 230 ⁰ , yotish burchagi 28 ⁰ .
85	Yirik qatlamlı ohaktoshlar (yoshi- quyi J). Qatlamning yotish azimuti 275 ⁰ , yotish burchagi 28 ⁰ .
86	Yirik qatlamlı ohaktoshlar (yoshi- quyi J).
87	Yirik qatlamlı ohaktoshlar (yoshi- quyi J).
88	Yirik qatlamlı ohaktoshlar (yoshi- quyi J). Qatlamning yotish azimuti 230 ⁰ , yotish burchagi 28 ⁰ .
89	Yirik qatlamlı ohaktoshlar (yoshi- quyi J). Qatlamning yotish azimuti 270 ⁰ , yotish burchagi 28 ⁰ .
90	Yirik qatlamlı ohaktoshlar (yoshi- quyi J). Qatlamning yotish azimuti 210 ⁰ , yotish burchagi 28 ⁰ .
91	Yirik qatlamlı ohaktoshlar (yoshi- quyi J).

5-variant (2)
Masshtab 1:10000



	91 ⁰ , угол падения 30 ⁰
32	Контакт. Восточнее от точки наблюдения распространены Кремнистые породы (возраст - верхний ордовик), на западе – Интрузивные породы (возраст - протерозой).
33	Глинистые сланцы (возраст - нижний силлур). Азимут падения 110 ⁰ , угол падения 30 ⁰
34	Контакт. Восточнее от точки наблюдения распространены Кремнистые породы (возраст - верхний ордовик), на западе – Интрузивные породы (возраст - протерозой).
35	Глинистые сланцы (возраст - нижний силлур). Азимут падения 110 ⁰ , угол падения 28 ⁰
36	Контакт. Западнее от точки наблюдения распространены Кремнистые породы (возраст - верхний ордовик), на востоке – Интрузивные породы (возраст - протерозой).
37	Контакт. Западнее от точки наблюдения распространены Кремнистые породы (возраст - верхний ордовик), на востоке – Интрузивные породы (возраст - протерозой).
38	Контакт. Восточнее от точки наблюдения распространены Кремнистые породы (возраст - верхний ордовик), на западе – Интрузивные породы (возраст - протерозой).
39	Глинистые сланцы (возраст - нижний силлур). Азимут падения 115 ⁰ , угол падения 30 ⁰
40	Известняки оргоногенные (возраст - верхний силлур). Азимут падения 113 ⁰ , угол падения 30 ⁰ .
41	Алевролиты (возраст - нижний девон) . Азимут падения 115 ⁰ , угол падения 30 ⁰
42	Доломиты (возраст - средний девон). Азимут падения 115 ⁰ , угол падения 30 ⁰ .
43	Известняки оргоногенные (возраст - верхний силлур). Азимут падения 80 ⁰ , угол падения 28 ⁰ .
44	Алевролиты (возраст - нижний девон) . Азимут падения 80 ⁰ , угол падения 31 ⁰
45	Разлом. Азимут падения 85 ⁰ , угол падения 70 ⁰ . Западнее от точки наблюдения распространены Доломиты (возраст - средний девон), на востоке - Гравелиты (возраст - нижний карбон)
46	Разлом. Азимут падения 90 ⁰ , угол падения 70 ⁰ . Западнее от точки наблюдения распространены Песчаники (возраст -

	нижний карбон), на западе - Конгломераты (возраст - средний карбон) .
15	Доломиты (возраст - средний девон). Азимут падения 277^0 , угол падения 30^0 .
16	Известняки органогенные (возраст - верхний силлур) . Азимут падения 277^0 , угол падения 28^0 .
17	Контакт. Южнее от точки наблюдения распространены Кремнистые породы (возраст - верхний ордовик), на севере – Интрузивные породы (возраст - протерозой) .
18	Глинистые сланцы (возраст - нижний силлур). Азимут падения 275^0 , угол падения 31^0
19	Алевролиты (возраст - нижний девон) . Азимут падения 275^0 , угол падения 31^0
20	Доломиты (возраст - средний девон). Азимут падения 270^0 , угол падения 30^0 .
21	Глинистые сланцы (возраст - нижний силлур). Азимут падения 268^0 , угол падения 30^0
22	Известняки органогенные (возраст - верхний силлур). Азимут падения 270^0 , угол падения 30^0 .
23	Контакт. Юго-западнее от точки наблюдения распространены Кремнистые породы (возраст-верхний ордовик), на северо-востоке–Интрузивные породы (возраст-протерозой).
24	Доломиты (возраст - средний девон). Азимут падения 275^0 , угол падения 30^0 .
25	Известняки органогенные (возраст - верхний силлур). Азимут падения 275^0 , угол падения 30^0 .
26	Контакт. Западнее от точки наблюдения распространены Кремнистые породы (возраст - верхний ордовик), на востоке – Интрузивные породы (возраст - протерозой) .
27	Алевролиты (возраст - нижний девон) . Азимут падения 275^0 , угол падения 31^0
28	Контакт. Восточнее от точки наблюдения распространены Кремнистые породы (возраст - верхний ордовик), на западе – Интрузивные породы (возраст - протерозой) .
29	Известняки органогенные (возраст - верхний силлур). Азимут падения 80^0 , угол падения 28^0 .
30	Известняки органогенные (возраст - верхний силлур). Азимут падения 80^0 , угол падения 28^0 .
31	Глинистые сланцы (возраст - нижний силлур). Азимут падения

6-variant

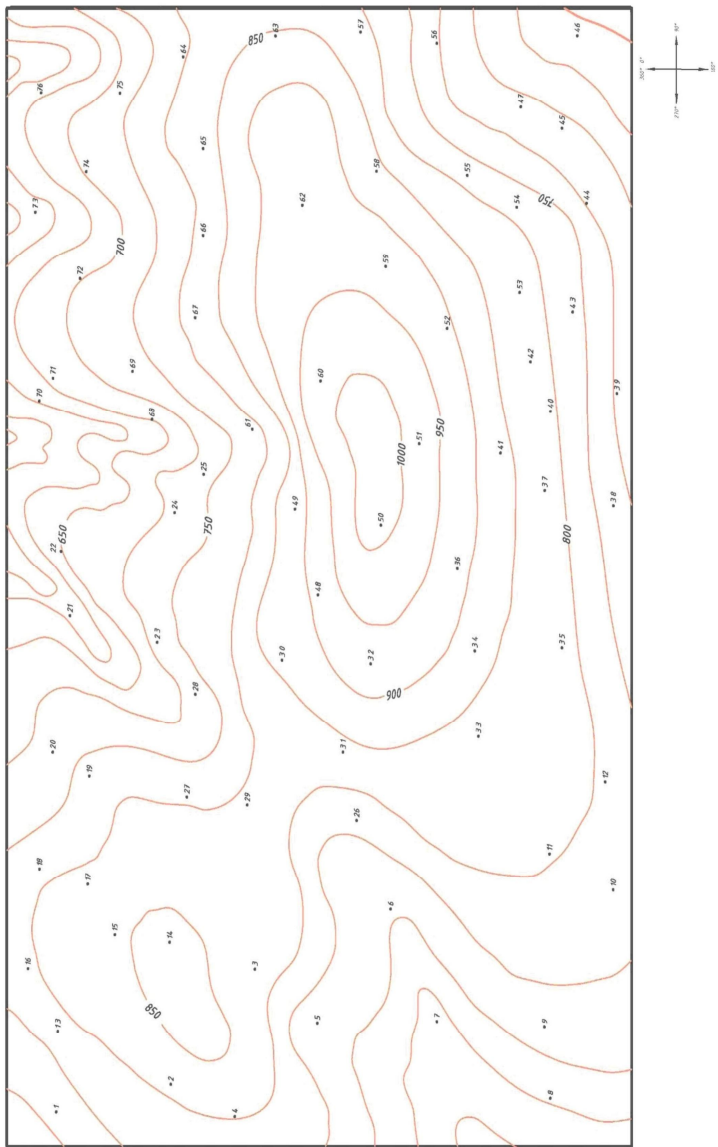
Kuzatuv nuqtasi	Kuzatuv nuqtasidan olingan ma'lumotlar
1	Och kulrang alevrolit va gil qatlamchalari (yoshi - yuqori S). Qatlamning yotish azimuti 15^0 , yotish burchagi 35^0 .
2	Och kulrang alevrolit va gil qatlamchalari (yoshi - yuqori S). Qatlamning yotish azimuti 180^0 , yotish burchagi 35^0 .
3	Och kulrang alevrolit va gil qatlamchalari (yoshi - yuqori S). Bu nuqtadan antiklinal o'qi o'tadi.Uning yo'nalish azimuti 90^0 .
4	Och kulrang alevrolit va gil qatlamchalari (yoshi - yuqori S). Qatlamning yotish azimuti 15^0 , yotish burchagi 35^0 .
5	To'q kulrang ohaktoshlar; tarkibida angidrit qatlamchalari uchraydi (yoshi - quyi D). Qatlamning yotish azimuti 20^0 , yotish burchagi 33^0 .
6	To'q kulrang ohaktoshlar; tarkibida angidrit qatlamchalari uchraydi (yoshi - quyi D). Qatlamning yotish azimuti 20^0 , yotish burchagi 31^0 .
7	To'q kulrang ohaktoshlar; tarkibida angidrit qatlamchalari uchraydi (yoshi - quyi D). Qatlamning yotish azimuti 25^0 , yotish burchagi 33^0 .
8	To'q kulrang ohaktoshlar; tarkibida angidrit qatlamchalari uchraydi (yoshi - quyi D). Qatlamning yotish azimuti 30^0 , yotish burchagi 32^0 .
9	To'q kulrang ohaktoshlar; tarkibida angidrit qatlamchalari uchraydi (yoshi - quyi D). Qatlamning yotish azimuti 15^0 , yotish burchagi 35^0 .
10	To'q kulrang ohaktoshlar; tarkibida angidrit qatlamchalari uchraydi (yoshi - quyi D). Bu nuqtadan antiklinal o'qi o'tadi. Uning yo'nalish azimuti 80^0 .
11	To'q kulrang ohaktoshlar; tarkibida angidrit qatlamchalari uchraydi (yoshi - quyi D). Qatlamning yotish azimuti 165^0 , yotish burchagi 33^0 .
12	To'q kulrang ohaktoshlar; tarkibida angidrit qatlamchalari uchraydi (yoshi - quyi D). Qatlamning yotish azimuti 150^0 , yotish burchagi 32^0 .
13	To'q kulrang ohaktoshlar; tarkibida angidrit qatlamchalari uchraydi (yoshi - quyi D). Qatlamning yotish azimuti 155^0 , yotish burchagi 31^0 .
14	Kulrang, och kulrang alevrolitlar (yoshi - o'rta D). Qatlamning yotish azimuti 150^0 , yotish burchagi 31^0 .
15	Kulrang, och kulrang alevrolitlar (yoshi - o'rta D). Qatlamning yotish

	azimuti 147^0 , yotish burchagi 31^0 .
16	Kulrang, och kulrang alevrolitlar (yoshi - o'rtal D). Qatlamning yotish azimuti 145^0 , yotish burchagi 33^0 .
17	Kulrang, och kulrang alevrolitlar (yoshi - o'rtal D). Qatlamning yotish azimuti 153^0 , yotish burchagi 33^0 .
18	Kulrang, och kulrang alevrolitlar (yoshi - o'rtal D). Qatlamning yotish azimuti 180^0 , yotish burchagi 33^0 .
19	Kulrang, och kulrang alevrolitlar (yoshi - o'rtal D). Qatlamning yotish azimuti 200^0 , yotish burchagi 35^0 .
20	Kulrang, och kulrang alevrolitlar (yoshi - o'rtal D). Qatlamning yotish azimuti 200^0 , yotish burchagi 33^0 .
21	Kulrang, och kulrang alevrolitlar (yoshi - o'rtal D). Qatlamning yotish azimuti 250^0 , yotish burchagi 34^0 .
22	Kulrang, och kulrang alevrolitlar (yoshi - o'rtal D). Qatlamning yotish azimuti 260^0 , yotish burchagi 35^0 .
23	Qizg'ish, saralanmagan qumtoshlar (yoshi - yuqori D). Qatlamning yotish azimuti 160^0 , yotish burchagi 28^0 .
24	Qizg'ish, saralanmagan qumtoshlar (yoshi - yuqori D). Qatlamning yotish azimuti 175^0 , yotish burchagi 28^0 .
25	Qizg'ish, saralanmagan qumtoshlar (yoshi - yuqori D). Qatlamning yotish azimuti 180^0 , yotish burchagi 29^0 .
26	Qizg'ish, saralanmagan qumtoshlar (yoshi - yuqori D). Qatlamning yotish azimuti 210^0 , yotish burchagi 27^0 .
27	Qizg'ish, saralanmagan qumtoshlar (yoshi - yuqori D). Qatlamning yotish azimuti 180^0 , yotish burchagi 27^0 .
28	To'q kulrang ohaktoshlar; tarkibida angidrit qatlamchalari uchraydi (yoshi - quyi D).
29	To'q kulrang ohaktoshlar; tarkibida angidrit qatlamchalari uchraydi (yoshi - quyi D). Qatlamning yotish azimuti 200^0 , yotish burchagi 33^0 .
30	To'q kulrang ohaktoshlar; tarkibida angidrit qatlamchalari uchraydi (yoshi - quyi D). Qatlamning yotish azimuti 230^0 , yotish burchagi 31^0 .
31	To'q kulrang ohaktoshlar; tarkibida angidrit qatlamchalari uchraydi (yoshi - quyi D). Qatlamning yotish azimuti 255^0 , yotish burchagi 32^0 .
32	To'q kulrang ohaktoshlar; tarkibida angidrit qatlamchalari uchraydi (yoshi - quyi D). Qatlamning yotish azimuti 260^0 , yotish burchagi 32^0 .
33	To'q kulrang ohaktoshlar; tarkibida angidrit qatlamchalari uchraydi (yoshi - quyi D). Qatlamning yotish azimuti 260^0 , yotish burchagi 31^0 .
34	To'q kulrang ohaktoshlar; tarkibida angidrit qatlamchalari uchraydi (yoshi - quyi D).

8-вариант

Точки наблюдений	Геологические данные точек наблюдений
1	Глины (возраст - нижний перм). Азимут падения 270^0 , угол падения 30^0 .
2	Мергели (возраст - верхний карбон) . Азимут падения 277^0 , угол падения 30^0 .
3	Разлом. Восточнее от точки наблюдения распространены Песчаники (возраст - верхний девон), на западе – Конгломераты (возраст - средний карбон) .
4	Конгломераты (возраст - средний карбон) . Азимут падения 273^0 , угол падения 31^0 .
5	Глины (возраст - нижний перм). Азимут падения 285^0 , угол падения 30^0 .
6	Мергели (возраст - верхний карбон) . Азимут падения 285^0 , угол падения 30^0 .
7	Глины (возраст - нижний перм). Азимут падения 350^0 , угол падения 27^0 .
8	Конгломераты (возраст - средний карбон) . Азимут падения 285^0 , угол падения 30^0 .
9	Разлом. Азимут падения 270^0 , угол падения 70^0 . Восточнее от точки наблюдения распространены Песчаники (возраст - верхний девон), на западе - Конгломераты (возраст - средний карбон) .
10	Разлом. Азимут падения 270^0 , угол падения 70^0 . Восточнее от точки наблюдения распространены Гравелиты (возраст - нижний карбон), на западе - Конгломераты (возраст - средний карбон) .
11	Мергели (возраст - верхний карбон) . Ось синклинали
12	Мергели (возраст - верхний карбон) . Ось синклинали
13	Разлом. Азимут падения 255^0 , угол падения 70^0 . Восточнее от точки наблюдения распространены Гравелиты (возраст - нижний карбон), на западе - Конгломераты (возраст - средний карбон) .
14	Разлом. Азимут падения 290^0 , угол падения 70^0 . Восточнее от точки наблюдения распространены Гравелиты (возраст -

7-вариант (5)
Масштаб 1:25000



35	To‘q kulrang ohaktoshlar; tarkibida angidrit qatlamchalari uchraydi (yoshi - quiyi D). Qatlamning yotish azimuti 330^0 , yotish burchagi 33^0 .
36	To‘q kulrang ohaktoshlar; tarkibida angidrit qatlamchalari uchraydi (yoshi - quiyi D). Qatlamning yotish azimuti 300^0 , yotish burchagi 35^0 .
37	To‘q kulrang ohaktoshlar; tarkibida angidrit qatlamchalari uchraydi (yoshi - quiyi D). Qatlamning yotish azimuti 270^0 , yotish burchagi 35^0 .
38	To‘q kulrang ohaktoshlar; tarkibida angidrit qatlamchalari uchraydi (yoshi - quiyi D). Qatlamning yotish azimuti 270^0 , yotish burchagi 34^0 .
39	To‘q kulrang ohaktoshlar; tarkibida angidrit qatlamchalari uchraydi (yoshi - quiyi D). Qatlamning yotish azimuti 245^0 , yotish burchagi 32^0 .
40	Och kulrang alevrolit va gil qatlamchalari (yoshi - yuqori S). Qatlamning yotish azimuti 235^0 , yotish burchagi 33^0 .
41	To‘q kulrang ohaktoshlar; tarkibida angidrit qatlamchalari uchraydi (yoshi - quiyi D). Qatlamning yotish azimuti 240^0 , yotish burchagi 35^0 . Nuqtadan 100m shimolda uzilma o’tadi. Uning yo’nalish azimuti 70^0 .
42	To‘q kulrang ohaktoshlar; tarkibida angidrit qatlamchalari uchraydi (yoshi - quiyi D). Qatlamning yotish azimuti 220^0 , yotish burchagi 33^0 . Nuqtadan 50m shimolda uzilma o’tadi. Uning yo’nalish azimuti 75^0 .
43	To‘q kulrang ohaktoshlar; tarkibida angidrit qatlamchalari uchraydi (yoshi - quiyi D). Nuqtadan 40m janubda uzilma o’tadi. Uning yo’nalish azimuti 75^0 .
44	To‘q kulrang ohaktoshlar; tarkibida angidrit qatlamchalari uchraydi (yoshi - quiyi D). Qatlamning yotish azimuti 330^0 , yotish burchagi 34^0 .
45	To‘q kulrang ohaktoshlar; tarkibida angidrit qatlamchalari uchraydi (yoshi - quiyi D). Bu nuqtadan uzilma o’tadi.
46	Kulrang, och kulrang alevrolitlar (yoshi - o’rta D). Qatlamning yotish azimuti 55^0 , yotish burchagi 35^0 .
47	Kulrang, och kulrang alevrolitlar (yoshi - o’rta D). Qatlamning yotish azimuti 25^0 , yotish burchagi 35^0 .
48	Kulrang, och kulrang alevrolitlar (yoshi - o’rta D). Qatlamning yotish azimuti 30^0 , yotish burchagi 31^0 .
49	Kulrang, och kulrang alevrolitlar (yoshi - o’rta D). Qatlamning yotish azimuti 10^0 , yotish burchagi 32^0 .
50	Kulrang, och kulrang alevrolitlar (yoshi - o’rta D). Qatlamning yotish azimuti 350^0 , yotish burchagi 32^0 .
51	Kulrang, och kulrang alevrolitlar (yoshi - o’rta D). Qatlamning yotish azimuti 330^0 , yotish burchagi 33^0 .
52	Bu nuqtadan ikki qatlam kontakti (chegarasi) o’tadi. G‘arbda kulrang,

	och kulrang alevrolitlar (yoshi - o'rtal D), sharqda to'q kulrang ohaktoshlar; tarkibida angidrit qatlamchalar uchraydi (yoshi - quyi D). Qatlamning yotish azimuti 270^0 , yotish burchagi 35^0 .
53	Bu nuqtadan ikki qatlam kontakti (chegarasi) o'tadi. G'arbda kulrang, och kulrang alevrolitlar (yoshi - o'rtal D), sharqda to'q kulrang ohaktoshlar; tarkibida angidrit qatlamchalar uchraydi (yoshi - quyi D). Qatlamning yotish azimuti 250^0 , yotish burchagi 34^0 .
54	Kulrang, och kulrang alevrolitlar (yoshi - o'rtal D). Qatlamning yotish azimuti 270^0 , yotish burchagi 33^0 .
55	Kulrang, och kulrang alevrolitlar (yoshi - o'rtal D). Qatlamning yotish azimuti 245^0 , yotish burchagi 33^0 .
56	Kulrang, och kulrang alevrolitlar (yoshi - o'rtal D). Qatlamning yotish azimuti 230^0 , yotish burchagi 33^0 .
57	Kulrang, och kulrang alevrolitlar (yoshi - o'rtal D). Qatlamning yotish azimuti 190^0 , yotish burchagi 31^0 .
58	Kulrang, och kulrang alevrolitlar (yoshi - o'rtal D). Qatlamning yotish azimuti 180^0 , yotish burchagi 25^0 .
59	Kulrang, och kulrang alevrolitlar (yoshi - o'rtal D). Qatlamning yotish azimuti 180^0 , yotish burchagi 35^0 .
60	Kulrang, och kulrang alevrolitlar (yoshi - o'rtal D). Qatlamning yotish azimuti 5^0 , yotish burchagi 34^0 .
61	Kulrang, och kulrang alevrolitlar (yoshi - o'rtal D). Qatlamning yotish azimuti 10^0 , yotish burchagi 32^0 .
62	Kulrang, och kulrang alevrolitlar (yoshi - o'rtal D). Qatlamning yotish azimuti 90^0 , yotish burchagi 32^0 .
63	Kulrang, och kulrang alevrolitlar (yoshi - o'rtal D). Qatlamning yotish azimuti 130^0 , yotish burchagi 29^0 .
64	Kulrang, och kulrang alevrolitlar (yoshi - o'rtal D). Qatlamning yotish azimuti 280^0 , yotish burchagi 29^0 .
65	Kulrang, och kulrang alevrolitlar (yoshi - o'rtal D). Qatlamning yotish azimuti 290^0 , yotish burchagi 32^0 .
66	Kulrang, och kulrang alevrolitlar (yoshi - o'rtal D). Qatlamning yotish azimuti 110^0 , yotish burchagi 31^0 .
67	Kulrang, och kulrang alevrolitlar (yoshi - o'rtal D). Qatlamning yotish azimuti 300^0 , yotish burchagi 31^0 .
68	Kulrang, och kulrang alevrolitlar (yoshi - o'rtal D). Qatlamning yotish azimuti 300^0 , yotish burchagi 29^0 .
69	Kulrang, och kulrang alevrolitlar (yoshi - o'rtal D). Qatlamning yotish azimuti 300^0 , yotish burchagi 31^0 .

71	Мергел (возраст - силлур) . Ось антиклинали.
72	Мергел (возраст - силлур) . Ось антиклинали.
73	Мергел (возраст - силлур) . Ось антиклинали.
74	Алевролиты (возраст - девон) . Азимут падения слоя 90^0 , угол падения слоя 33^0 .
75	Органогенные известняки (возраст - нижний карбон) . Азимут падения слоя 95^0 , угол падения слоя 30^0 .
76	Органогенные известняки (возраст - нижний карбон) . Азимут падения слоя 100^0 , угол падения слоя 30^0 .

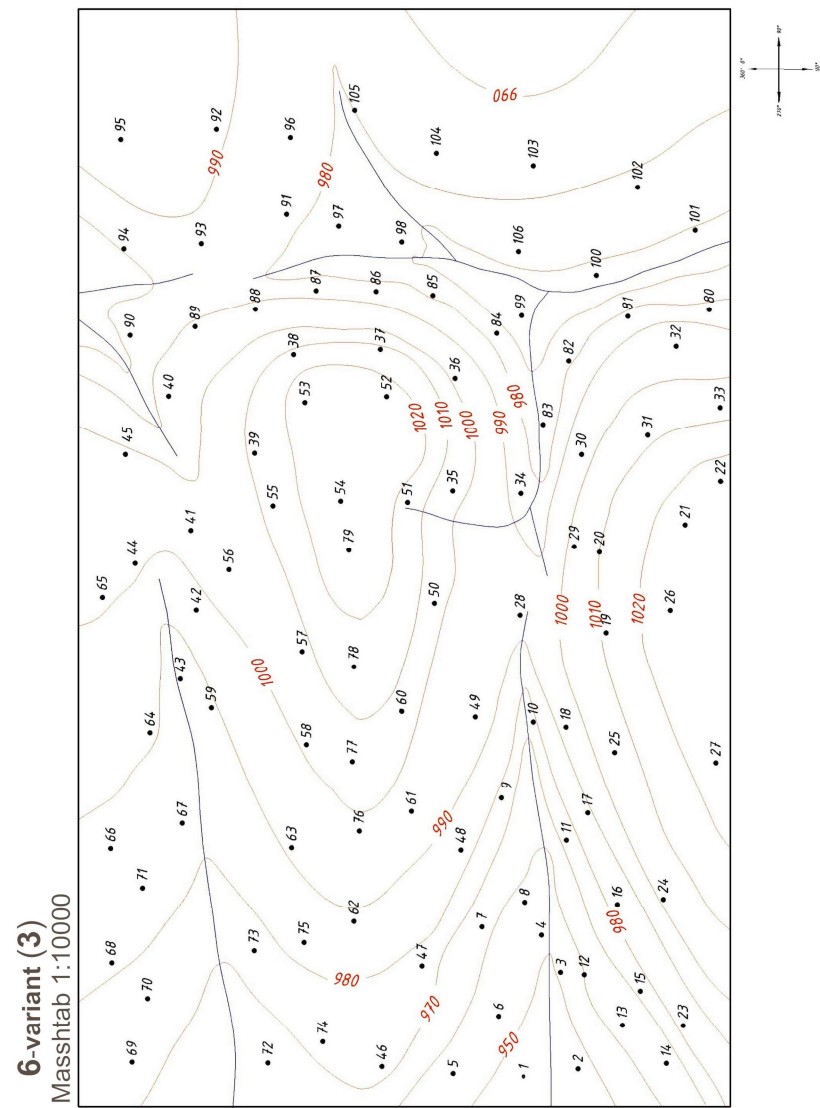
	падения слоя 92^0 , угол падения слоя 32^0 .
50	Органогенные известняки (возраст - нижний карбон) . Азимут падения слоя 90^0 , угол падения слоя 30^0 .
51	Алевролиты (возраст - девон) . Азимут падения слоя 80^0 , угол падения слоя 31^0 .
52	Мергел (возраст - силлур) . Ось антиклинали.
53	Мергел (возраст - силлур) . Антиклиналь
54	Мергел (возраст - силлур) . Антиклиналь
55	Алевролиты (возраст - девон) . Азимут падения слоя 80^0 , угол падения слоя 30^0 .
56	Органогенные известняки (возраст - нижний карбон) . Азимут падения слоя 78^0 , угол падения слоя 32^0 .
57	Органогенные известняки (возраст - нижний карбон) . Азимут падения слоя 65^0 , угол падения слоя 32^0 .
58	Органогенные известняки (возраст - нижний карбон) . Азимут падения слоя 75^0 , угол падения слоя 32^0 .
59	Алевролиты (возраст - девон) . Азимут падения слоя 80^0 , угол падения слоя 30^0 .
60	Мергел (возраст - силлур) . Ось антиклинали.
61	Алевролиты (возраст - девон) . Азимут падения слоя 80^0 , угол падения слоя 30^0 .
62	Органогенные известняки (возраст - нижний карбон) . Азимут падения слоя 80^0 , угол падения слоя 32^0 .
63	Глины (возраст - средний карбон). Азимут падения слоя 80^0 , угол падения слоя 32^0 .
64	Органогенные известняки (возраст - нижний карбон) . Азимут падения слоя 85^0 , угол падения слоя 31^0 .
65	Органогенные известняки (возраст - нижний карбон) . Азимут падения слоя 85^0 , угол падения слоя 31^0 .
66	Алевролиты (возраст - девон) . Азимут падения слоя 100^0 , угол падения слоя 30^0 .
67	Мергел (возраст - силлур) . Антиклиналь
68	Тектоническое нарушение. Надвиг. Западнее от точки наблюдения распространены Доломиты (возраст - триас), на востоке - Алевролиты (возраст - девон)
69	Мергел (возраст - силлур) .
70	Тектоническое нарушение. Надвиг. Западнее от точки наблюдения распространены Доломиты (возраст - триас), на востоке - Алевролиты (возраст - девон)

70	Kulrang, och kulrang alevrolitlar (yoshi - o'rtа D). Qatlamning yotish azimuti 300^0 , yotish burchagi 33^0 .
71	Kulrang, och kulrang alevrolitlar (yoshi - o'rtа D). Qatlamning yotish azimuti 120^0 , yotish burchagi 33^0 .
72	Kulrang, och kulrang alevrolitlar (yoshi - o'rtа D). Qatlamning yotish azimuti 150^0 , yotish burchagi 34^0 . Nuqtadan 40m shimolda uzilma o'tadi. Uning yo'nalish azimuti 75^0 .
73	Kulrang, och kulrang alevrolitlar (yoshi - o'rtа D). Qatlamning yotish azimuti 150^0 , yotish burchagi 35^0 . Nuqtadan 60m shimolda uzilma o'tadi. Uning yo'nalish azimuti 75^0 .
74	Kulrang, och kulrang alevrolitlar (yoshi - o'rtа D). Qatlamning yotish azimuti 130^0 , yotish burchagi 35^0 .
75	Kulrang, och kulrang alevrolitlar (yoshi - o'rtа D). Qatlamning yotish azimuti 120^0 , yotish burchagi 35^0 .
76	Qizg'ish, saralanmagan qumtoshlar (yoshi - yuqori D)
77	Qizg'ish, saralanmagan qumtoshlar (yoshi - yuqori D)
78	Qizg'ish, saralanmagan qumtoshlar (yoshi - yuqori D)
79	Qizg'ish, saralanmagan qumtoshlar (yoshi - yuqori D)
80	Och kulrang alevrolit va gil qatlamchalari (yoshi - yuqori S). Qatlamning yotish azimuti 260^0 , yotish burchagi 34^0 .
81	Och kulrang alevrolit va gil qatlamchalari (yoshi - yuqori S). Qatlamning yotish azimuti 255^0 , yotish burchagi 29^0 .
82	Och kulrang alevrolit va gil qatlamchalari (yoshi - yuqori S). Qatlamning yotish azimuti 230^0 , yotish burchagi 35^0 .
83	Och kulrang alevrolit va gil qatlamchalari (yoshi - yuqori S). Qatlamning yotish azimuti 270^0 , yotish burchagi 33^0 .
84	Och kulrang alevrolit va gil qatlamchalari (yoshi - yuqori S). Qatlamning yotish azimuti 285^0 , yotish burchagi 32^0 .
85	Och kulrang alevrolit va gil qatlamchalari (yoshi - yuqori S). Qatlamning yotish azimuti 280^0 , yotish burchagi 33^0 .
86	Och kulrang alevrolit va gil qatlamchalari (yoshi - yuqori S). Qatlamning yotish azimuti 270^0 , yotish burchagi 35^0 .
87	Och kulrang alevrolit va gil qatlamchalari (yoshi - yuqori S). Qatlamning yotish azimuti 265^0 , yotish burchagi 35^0 .
88	Och kulrang alevrolit va gil qatlamchalari (yoshi - yuqori S). Qatlamning yotish azimuti 265^0 , yotish burchagi 35^0 .
89	Och kulrang alevrolit va gil qatlamchalari (yoshi - yuqori S). Qatlamning yotish azimuti 265^0 , yotish burchagi 34^0 .

90	Och kulrang alevrolit va gil qatlamchalari (yoshi - yuqori S). Qatlamning yotish azimuti 260^0 , yotish burchagi 29^0 .
91	Och kulrang alevrolit va gil qatlamchalari (yoshi - yuqori S). Qatlamning yotish azimuti 300^0 , yotish burchagi 33^0 .
92	Och kulrang alevrolit va gil qatlamchalari (yoshi - yuqori S). Qatlamning yotish azimuti 85^0 , yotish burchagi 31^0 .
93	Och kulrang alevrolit va gil qatlamchalari (yoshi - yuqori S). Qatlamning yotish azimuti 275^0 , yotish burchagi 31^0 .
94	Och kulrang alevrolit va gil qatlamchalari (yoshi - yuqori S). Qatlamning yotish azimuti 260^0 , yotish burchagi 27^0 .
95	Och kulrang alevrolit va gil qatlamchalari (yoshi - yuqori S). Qatlamning yotish azimuti 95^0 , yotish burchagi 25^0 .
96	Och kulrang gillar (yoshi - quyi S). Qatlamning yotish azimuti 300^0 , yotish burchagi 33^0 .
97	Och kulrang gillar (yoshi - quyi S). Qatlamning yotish azimuti 285^0 , yotish burchagi 29^0 .
98	Och kulrang gillar (yoshi - quyi S). Qatlamning yotish azimuti 280^0 , yotish burchagi 31^0 .
99	Och kulrang gillar (yoshi - quyi S). Qatlamning yotish azimuti 270^0 , yotish burchagi 32^0 .
100	Och kulrang gillar (yoshi - quyi S). Qatlamning yotish azimuti 255^0 , yotish burchagi 32^0 .
101	Och kulrang gillar (yoshi - quyi S). Qatlamning yotish azimuti 260^0 , yotish burchagi 31^0 .
102	Och kulrang gillar (yoshi - quyi S). Qatlamning yotish azimuti 265^0 , yotish burchagi 33^0 .
103	Och kulrang gillar (yoshi - quyi S). Qatlamning yotish azimuti 105^0 , yotish burchagi 35^0 .
104	Och kulrang gillar (yoshi - quyi S). Qatlamning yotish azimuti 105^0 , yotish burchagi 35^0 .
105	Och kulrang gillar (yoshi - quyi S). Qatlamning yotish azimuti 110^0 , yotish burchagi 33^0 .
106	Och kulrang gillar (yoshi - quyi S). Qatlamning yotish azimuti 280^0 , yotish burchagi 35^0 .

34	Конгломераты красно-коричневого цвета (возраст - неоген) . Синклиналь .
35	Глины с прослойями песчаников (возраст - палеоген) . Азимут падения слоя 77^0 , угол падения слоя 28^0 .
36	Тектоническое нарушение. Надвиг. Юго-западнее от точки наблюдения распространены Конгломераты красно-коричневого цвета (возраст - неоген), на северо-востоке - Глины (возраст - средний карбон). Азимут падения слоя 85^0 , угол падения слоя 35^0 .
37	Конгломераты красно-коричневого цвета (возраст - неоген) . Синклиналь .
38	Глины с прослойями песчаников (возраст - палеоген) . Азимут падения слоя 60^0 , угол падения слоя 30^0 .
39	Глины с прослойями песчаников (возраст - палеоген) . Азимут падения слоя 285^0 , угол падения слоя 31^0 .
40	Глины с прослойями песчаников (возраст - палеоген) . Азимут падения слоя 265^0 , угол падения слоя 30^0 .
41	Тектоническое нарушение. Надвиг. Севернее от точки наблюдения распространены Органогенные известняки (возраст - нижний карбон), на юге - Глины с прослойями песчаников (возраст - палеоген)
42	Тектоническое нарушение. Надвиг. Севернее от точки наблюдения распространены Алевролиты (возраст - девон), на юге - Песчаники (возраст - мел).
43	Песчаники (возраст - мел) . Азимут падения слоя 275^0 , угол падения слоя 31^0 .
44	Известняки (возраст - юра) . Азимут падения слоя 275^0 , угол падения слоя 32^0 .
45	Доломиты (возраст - триас) . Азимут падения слоя 277^0 , угол падения слоя 30^0 .
46	Доломиты (возраст - триас) . Азимут падения слоя 281^0 , угол падения слоя 32^0 .
47	Тектоническое нарушение. Надвиг. Севернее от точки наблюдения распространены Алевролиты (возраст - девон) , на юге - Доломиты (возраст - триас) .
48	Глины (возраст - средний карбон). Азимут падения слоя 90^0 , угол падения слоя 32^0 .
49	Органогенные известняки (возраст - нижний карбон) . Азимут

17	Глины с прослойми песчаников (возраст-палеоген). Азимут падения слоя 235^0 , угол падения слоя 31^0
18	Песчаники (возраст - мел) . Азимут падения слоя 240^0 , угол падения слоя 29^0 .
19	Песчаники (возраст - мел) . Азимут падения слоя 230^0 , угол падения слоя 31^0 .
20	Известняки (возраст - юра) . Азимут падения слоя 215^0 , угол падения слоя 28^0 .
21	Известняки (возраст - юра) . Азимут падения слоя 210^0 , угол падения слоя 28^0 .
22	Доломиты (возраст - триас) . Азимут падения слоя 220^0 , угол падения слоя 32^0 .
23	Известняки (возраст - юра) . Азимут падения слоя 217^0 , угол падения слоя 32^0 .
24	Известняки (возраст - юра) . Азимут падения слоя 230^0 , угол падения слоя 32^0 .
25	Тектоническое нарушение. Надвиг. Севернее от точки наблюдения распространены Известняки (возраст - юра), на юге – Органогенные известняки (возраст - нижний карбон) .
26	Глины с прослойми песчаников (возраст - палеоген). Азимут падения слоя 77^0 , угол падения слоя 30^0 .
27	Глины с прослойми песчаников (возраст - палеоген). Азимут падения слоя 235^0 , угол падения слоя 31^0 .
28	Песчаники (возраст - мел). Азимут падения слоя 233^0 , угол падения слоя 31^0 .
29	Конгломераты красно-коричневого цвета (возраст - неоген). Синклиналь.
30	Тектоническое нарушение. Надвиг. Северо-западнее от точки наблюдения распространены Глины с прослойми песчаников (возраст - палеоген) , на юго-востоке - Доломиты (возраст - верхний карбон).
31	Конгломераты красно-коричневого цвета (возраст - неоген) . Синклиналь.
32	Тектоническое нарушение. Надвиг. Западнее от точки наблюдения распространены Конгломераты красно-коричневого цвета (возраст - неоген), на востоке - Доломиты (возраст - верхний карбон).
33	Глины с прослойми песчаников (возраст - палеоген) . Азимут падения слоя 75^0 , угол падения слоя 30^0 .



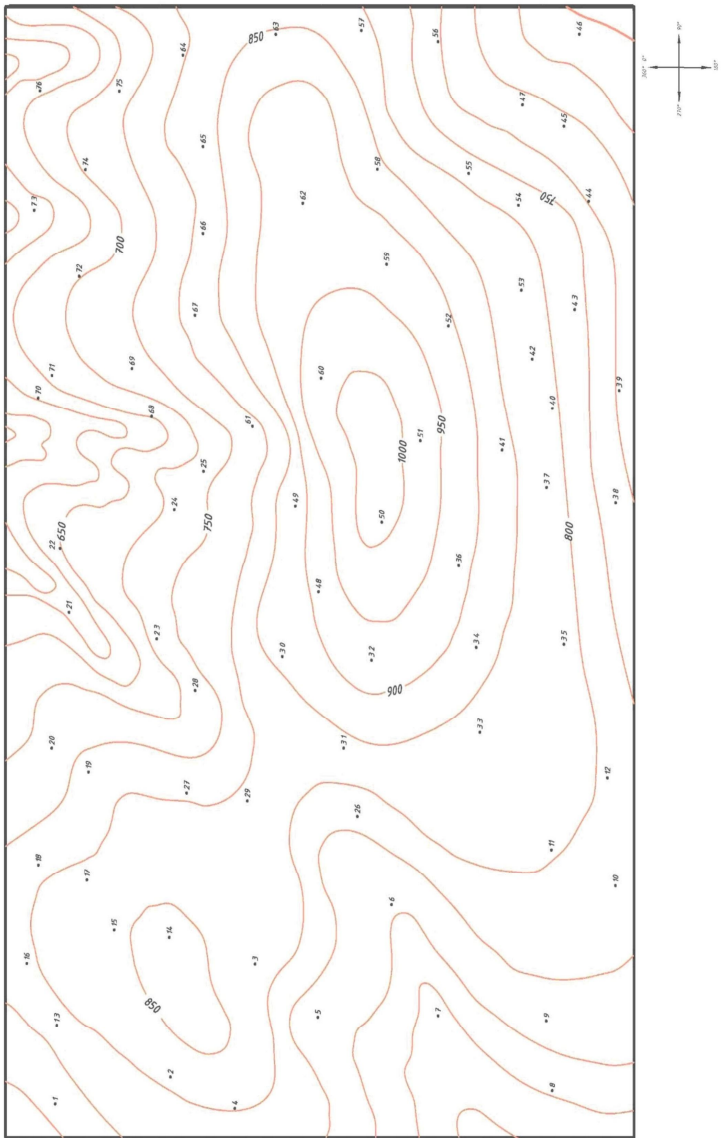
7-variant

Kuzatuv nuqtasi	Kuzatuv nuqtasidan olingan ma'lumotlar
1	Och kulrang qumtoshlar (yoshi - quyi D). Qatlarning yotish azimuti 38^0 , yotish burchagi 30^0 .
2	Och kulrang qumtoshlar (yoshi - quyi D). Qatlarning yotish azimuti 40^0 , yotish burchagi 30^0 .
3	Ketma-ket keluvchi gil va alevrolit qatlamlari (yoshi - o'rta D). Qatlarning yotish azimuti 30^0 , yotish burchagi 27^0 .
4	Ketma-ket keluvchi gil va alevrolit qatlamlari (yoshi - o'rta D). Qatlarning yotish azimuti 30^0 , yotish burchagi 25^0 .
5	Sinklinal o'qi. Bu yerda to'q kulrang ohaktoshlar (yoshi - yuqori D) tarqalgan.
6	5-nuqtadagi sinklinalning davomi. Qatlam to'q kulrang ohaktoshlar (yoshi - yuqori D) dan tashkil topgan.
7	To'q kulrang ohaktoshlar (yoshi - yuqori D). Qatlarning yotish azimuti 27^0 , yotish burchagi 23^0 .
8	To'q kulrang ohaktoshlar (yoshi - yuqori D). Qatlarning yotish azimuti 32^0 , yotish burchagi 25^0 .
9	Och kulrang dolomitlar (yoshi - quyi C). Qatlarning yotish azimuti 55^0 , yotish burchagi 28^0 .
10	Och kulrang dolomitlar (yoshi - quyi C). Qatlarning yotish azimuti 80^0 , yotish burchagi 31^0 .
11	Och kulrang dolomitlar (yoshi - quyi C). Qatlarning yotish azimuti 20^0 , yotish burchagi 28^0 .
12	To'q kulrang ohaktoshlar (yoshi - yuqori D). Qatlarning yotish azimuti 37^0 , yotish burchagi 26^0 .
13	To'q kulrang ohaktoshlar (yoshi - yuqori D). Qatlarning yotish azimuti 37^0 , yotish burchagi 26^0 .
14	To'q kulrang ohaktoshlar (yoshi - yuqori D). Qatlarning yotish azimuti 41^0 , yotish burchagi 28^0 .
15	To'q kulrang ohaktoshlar (yoshi - yuqori D). Qatlarning yotish azimuti 90^0 , yotish burchagi 31^0 .
16	Ketma-ket keluvchi gil va alevrolit qatlamlari (yoshi - o'rta D). Qatlarning yotish azimuti 80^0 , yotish burchagi 27^0 .

7-вариант.

Точки наблюдений	Геологические данные точек наблюдений
1	Глины с прослойями песчаников (возраст - палеоген). Азимут падения слоя 83^0 , угол падения слоя 30^0
2	Глины с прослойями песчаников (возраст - палеоген). Азимут падения слоя 80^0 , угол падения слоя 31^0
3	Глины с прослойями песчаников (возраст - палеоген). Азимут падения слоя 78^0 , угол падения слоя 31^0
4	Песчаники (возраст - мел) . Азимут падения слоя 75^0 , угол падения слоя 30^0 .
5	Песчаники (возраст - мел) . Азимут падения слоя 73^0 , угол падения слоя 29^0 .
6	Песчаники (возраст - мел) . Азимут падения слоя 75^0 , угол падения слоя 31^0 .
7	Известняки (возраст - юра) . Азимут падения слоя 76^0 , угол падения слоя 27^0 .
8	Доломиты (возраст - триас) . Азимут падения слоя 77^0 , угол падения слоя 27^0 .
9	Известняки (возраст - юра) . Азимут падения слоя 77^0 , угол падения слоя 31^0 .
10	Известняки (возраст - юра) . Азимут падения слоя 76^0 , угол падения слоя 32^0 .
11	Песчаники (возраст - мел) . Азимут падения слоя 78^0 , угол падения слоя 27^0 .
12	Песчаники (возраст - мел) . Азимут падения слоя 78^0 , угол падения слоя 26^0 .
13	Конгломераты красно-коричневого цвета (возраст - неоген) . Ось синклинали
14	Конгломераты красно-коричневого цвета (возраст - неоген) . Ось синклинали
15	Конгломераты красно-коричневого цвета (возраст - неоген) . Синклиналь .
16	Глины с прослойями песчаников (возраст-палеоген).Азимут падения слоя 230^0 ,угол падения слоя 28^0

6-вариант (5)
Масштаб 1:25000



17	Ketma-ket keluvchi gil va alevrolit qatlamlari (yoshi - o'rtal D). Qatlamning yotish azimuti 42^0 , yotish burchagi 31^0 .
18	Ketma-ket keluvchi gil va alevrolit qatlamlari (yoshi - o'rtal D). Qatlamning yotish azimuti 30^0 , yotish burchagi 27^0 .
19	Ketma-ket keluvchi gil va alevrolit qatlamlari (yoshi - o'rtal D). Qatlamning yotish azimuti 45^0 , yotish burchagi 27^0 .
20	Ketma-ket keluvchi gil va alevrolit qatlamlari (yoshi - o'rtal D). Qatlamning yotish azimuti 350^0 , yotish burchagi 32^0 .
21	Och kulrang qumtoshlar (yoshi - quyi D). Qatlamning yotish azimuti 350^0 , yotish burchagi 30^0 .
22	Och kulrang qumtoshlar (yoshi - quyi D). Qatlamning yotish azimuti 20^0 , yotish burchagi 30^0 .
23	Och kulrang qumtoshlar (yoshi - quyi D). Qatlamning yotish azimuti 48^0 , yotish burchagi 30^0 .
24	Ketma-ket keluvchi gil va alevrolit qatlamlari (yoshi - o'rtal D). Qatlamning yotish azimuti 95^0 , yotish burchagi 27^0 .
25	Ketma-ket keluvchi gil va alevrolit qatlamlari (yoshi - o'rtal D). Qatlamning yotish azimuti 80^0 , yotish burchagi 27^0 .
26	Ketma-ket keluvchi gil va alevrolit qatlamlari (yoshi - o'rtal D). Qatlamning yotish azimuti 80^0 , yotish burchagi 28^0 .
27	Ketma-ket keluvchi gil va alevrolit qatlamlari (yoshi - o'rtal D). Qatlamning yotish azimuti 40^0 , yotish burchagi 28^0 .
28	To'q kulrang ohaktoshlar (yoshi - yuqori D). Qatlamning yotish azimuti 100^0 , yotish burchagi 33^0 .
29	To'q kulrang ohaktoshlar (yoshi - yuqori D). Qatlamning yotish azimuti 77^0 , yotish burchagi 32^0 .
30	To'q kulrang ohaktoshlar (yoshi - yuqori D). Qatlamning yotish azimuti 900 , yotish burchagi 330 .
31	To'q kulrang ohaktoshlar (yoshi - yuqori D). Qatlamning yotish azimuti 80^0 , yotish burchagi 28^0 .
32	To'q kulrang ohaktoshlar (yoshi - yuqori D). Qatlamning yotish azimuti 100^0 , yotish burchagi 33^0 .
33	Och kulrang dolomitlar (yoshi - quyi C). Qatlamning yotish azimuti 100^0 , yotish burchagi 28^0 .
34	Och kulrang dolomitlar (yoshi - quyi C). Qatlamning yotish azimuti 90^0 , yotish burchagi 30^0 .
35	Och kulrang dolomitlar (yoshi - quyi C). Qatlamning yotish azimuti 320^0 , yotish burchagi 28^0 .

36	Och kulrang dolomitlar (yoshi - quyi C). Qatlamning yotish azimuti 320°, yotish burchagi 28°.
37	Och kulrang dolomitlar (yoshi - quyi C). Qatlamning yotish azimuti 120°, yotish burchagi 25°.
38	Och kulrang dolomitlar (yoshi - quyi C). Qatlamning yotish azimuti 180°, yotish burchagi 31°.
39	Och kulrang dolomitlar (yoshi - quyi C). Qatlamning yotish azimuti 45°, yotish burchagi 28°.
40	Och kulrang dolomitlar (yoshi - quyi C). Qatlamning yotish azimuti 10°, yotish burchagi 27°.
41	Och kulrang dolomitlar (yoshi - quyi C). Qatlamning yotish azimuti 60°, yotish burchagi 28°.
42	Och kulrang dolomitlar (yoshi - quyi C). Qatlamning yotish azimuti 140°, yotish burchagi 35°.
43	Och kulrang dolomitlar (yoshi - quyi C). Qatlamning yotish azimuti 340°, yotish burchagi 28°.
44	Och kulrang dolomitlar (yoshi - quyi C). Qatlamning yotish azimuti 30°, yotish burchagi 31°.
45	Och kulrang dolomitlar (yoshi - quyi C). Qatlamning yotish azimuti 30°, yotish burchagi 27°.
46	Och kulrang dolomitlar (yoshi - quyi C). Qatlamning yotish azimuti 340°, yotish burchagi 30°.
47	Och kulrang dolomitlar (yoshi - quyi C). Qatlamning yotish azimuti 55°, yotish burchagi 28°.
48	Och kulrang dolomitlar (yoshi - quyi C). Qatlamning yotish azimuti 105°, yotish burchagi 26°.
49	Och kulrang qumtoshlar (yoshi - quyi D). Qatlamning yotish azimuti 38°, yotish burchagi 30°.
50	Och kulrang qumtoshlar (yoshi - quyi D). Qatlamning yotish azimuti 38°, yotish burchagi 33°.
51	Och kulrang qumtoshlar (yoshi - quyi D). Qatlamning yotish azimuti 35°, yotish burchagi 30°.
52	Och kulrang qumtoshlar (yoshi - quyi D). Qatlamning yotish azimuti 38°, yotish burchagi 31°.
53	Och kulrang qumtoshlar (yoshi - quyi D). Qatlamning yotish azimuti 25°, yotish burchagi 33°.
54	Och kulrang qumtoshlar (yoshi - quyi D). Qatlamning yotish azimuti 35°, yotish burchagi 30°.
55	Ketma-ket keluvchi gil va alevrolit qatlamlari (yoshi - o'rtal D).

57	Мергели (возраст - верхний силлур) . Азимут падения слоя 65°, Угол падения слоя 32°.
58	Мергели (возраст - верхний силлур) . Азимут падения слоя 75°, Угол падения слоя 32°.
59	Известняки (возраст - нижний силлур) . Азимут падения слоя 80°, Угол падения слоя 30°.
60	Доломиты (возраст - ордовик) . Ось антиклинали.
61	Известняки (возраст - нижний силлур) . Азимут падения слоя 80°, Угол падения слоя 30°.
62	Мергели (возраст - верхний силлур) . Азимут падения слоя 80°, Угол падения слоя 32°.
63	Глины (возраст - нижний девон). Азимут падения слоя 80°, Угол падения слоя 32°.
64	Мергели (возраст - верхний силлур) . Азимут падения слоя 85°, Угол падения слоя 31°.
65	Мергели (возраст - верхний силлур) . Азимут падения слоя 85°, Угол падения слоя 31°.
66	Известняки (возраст - нижний силлур) . Азимут падения слоя 100°, Угол падения слоя 30°.
67	Доломиты (возраст - ордовик) . Антиклиналь
68	Тектоническое нарушение. Надвиг. На западе распространены - Конгломераты (возраст - верхняя юра), на востоке - Известняки (возраст - нижний силлур)
69	Доломиты (возраст - ордовик) .
70	Тектоническое нарушение. Надвиг. На западе распространены Конгломераты (возраст - верхняя юра), на востоке - Известняки (возраст - нижний силлур)
71	Доломиты (возраст - ордовик) . Ось антиклинали.
72	Доломиты (возраст - ордовик) . Ось антиклинали.
73	Доломиты (возраст - ордовик) . Ось антиклинали.
74	Известняки (возраст - нижний силлур) . Азимут падения слоя 90°, Угол падения слоя 33°.
75	Мергели (возраст - верхний силлур) . Азимут падения слоя 95°, Угол падения слоя 30°.
76	Мергели (возраст - верхний силлур) . Азимут падения слоя 100°, Угол падения слоя 30°.

37	Песчаники (возраст - эоцен) . Синклиналь .
38	Алевролиты (возраст - палеоцен) . Азимут падения слоя 60°, Угол падения слоя 30°.
39	Алевролиты (возраст - палеоцен) . Азимут падения слоя 285°, Угол падения слоя 31°.
40	Алевролиты (возраст - палеоцен) . Азимут падения слоя 265°, Угол падения слоя 30°.
41	Тектоническое нарушение. Надвиг. На севере распространены Мергели (возраст - верхний силлур), на юге - Алевролиты (возраст - палеоцен)
42	Тектоническое нарушение. Надвиг. На севере распространены - Известняки (возраст - нижний силлур), на юге - Известняки (возраст - верхний мел).
43	Известняки (возраст - верхний мел) . Азимут падения слоя 275°, Угол падения слоя 31°.
44	Глины (возраст - нижний мел) . Азимут падения слоя 275°, Угол падения слоя 32°.
45	Конгломераты (возраст - верхняя юра) . Азимут падения слоя 277°, Угол падения слоя 30°.
46	Конгломераты (возраст - верхняя юра) . Азимут падения слоя 281°, Угол падения слоя 32°.
47	Тектоническое нарушение. Надвиг. На севере распространены Известняки (возраст - нижний силлур) , на юге - Конгломераты (возраст - верхняя юра) .
48	Глины (возраст - нижний девон). Азимут падения слоя 90°, Угол падения слоя 32°.
49	Мергели (возраст - верхний силлур) . Азимут падения слоя 92°, Угол падения слоя 32°.
50	Мергели (возраст - верхний силлур) . Азимут падения слоя 90°, Угол падения слоя 30°.
51	Известняки (возраст - нижний силлур) . Азимут падения слоя 80°, Угол падения слоя 31°.
52	Доломиты (возраст - ордовик) . Ось антиклинали.
53	Доломиты (возраст - ордовик) . Антиклиналь
54	Доломиты (возраст - ордовик) . Антиклиналь
55	Известняки (возраст - нижний силлур) . Азимут падения слоя 80°, Угол падения слоя 30°.
56	Мергели (возраст - верхний силлур) . Азимут падения слоя 78°, Угол падения слоя 32°.

	Qatlamning yotish azimuti 30°, yotish burchagi 29°.
56	Ketma-ket keluvchi gil va alevrolit qatlamlari (yoshi - o'rtal D). Qatlamning yotish azimuti 40°, yotish burchagi 27°.
57	Ketma-ket keluvchi gil va alevrolit qatlamlari (yoshi - o'rtal D). Qatlamning yotish azimuti 35°, yotish burchagi 27°.
58	Ketma-ket keluvchi gil va alevrolit qatlamlari (yoshi - o'rtal D). Qatlamning yotish azimuti 27°, yotish burchagi 28°.
59	Ketma-ket keluvchi gil va alevrolit qatlamlari (yoshi - o'rtal D). Qatlamning yotish azimuti 20°, yotish burchagi 30°.
60	Ketma-ket keluvchi gil va alevrolit qatlamlari (yoshi - o'rtal D). Qatlamning yotish azimuti 25°, yotish burchagi 30°.
61	Ketma-ket keluvchi gil va alevrolit qatlamlari (yoshi - o'rtal D). Qatlamning yotish azimuti 25°, yotish burchagi 27°.
62	Ketma-ket keluvchi gil va alevrolit qatlamlari (yoshi - o'rtal D). Qatlamning yotish azimuti 70°, yotish burchagi 25°.
63	To‘q kulrang ohaktoshlar (yoshi - yuqori D). Qatlamning yotish azimuti 85°, yotish burchagi 29°.
64	To‘q kulrang ohaktoshlar (yoshi - yuqori D). Qatlamning yotish azimuti 70°, yotish burchagi 27°.
65	To‘q kulrang ohaktoshlar (yoshi - yuqori D). Qatlamning yotish azimuti 60°, yotish burchagi 27°.
66	To‘q kulrang ohaktoshlar (yoshi - yuqori D). Qatlamning yotish azimuti 27°, yotish burchagi 30°.
67	To‘q kulrang ohaktoshlar (yoshi - yuqori D). Qatlamning yotish azimuti 45°, yotish burchagi 31°.
68	Ketma-ket keluvchi gil va alevrolit qatlamlari (yoshi - o'rtal D). Qatlamning yotish azimuti 65°, yotish burchagi 27°.
69	Ketma-ket keluvchi gil va alevrolit qatlamlari (yoshi - o'rtal D). Qatlamning yotish azimuti 350°, yotish burchagi 27°.
70	Ketma-ket keluvchi gil va alevrolit qatlamlari (yoshi - o'rtal D). Qatlamning yotish azimuti 350°, yotish burchagi 28°.
71	To‘q kulrang ohaktoshlar (yoshi - yuqori D). Qatlamning yotish azimuti 45°, yotish burchagi 31°.
72	Ketma ket keluvchi gil va alevrolit qatlamlari (yoshi - o'rtal D). Qatlamning yotish azimuti 330°, yotish burchagi 27°.
73	To‘q kulrang ohaktoshlar (yoshi-yuqori D). Qatlamning yotish azimuti 340°, yotish burchagi 27°.
74	To‘q kulrang ohaktoshlar (yoshi - yuqori D). Qatlamning yotish

	azimuti 15° , yotish burchagi 28° .
75	To‘q kulrang ohaktoshlar (yoshi - yuqori D). Qatlamning yotish azimuti 45° , yotish burchagi 28° .
76	Och kulrang qumtoshlar (yoshi - quyi D). Qatlamning yotish azimuti 100° , yotish burchagi 30° .
77	Och kulrang qumtoshlar (yoshi - quyi D). Qatlamning yotish azimuti 90° , yotish burchagi 32° .
78	Och kulrang qumtoshlar (yoshi - quyi D). Qatlamning yotish azimuti 38° , yotish burchagi 33° .
79	Och kulrang qumtoshlar (yoshi - quyi D). Qatlamning yotish azimuti 42° , yotish burchagi 30° .
80	Och kulrang qumtoshlar (yoshi - quyi D). Qatlamning yotish azimuti 50° , yotish burchagi 30° .
81	Ketma ket keluvchi gil va alevrolit qatlamlari (yoshi - o‘rta D). Qatlamning yotish azimuti 120° , yotish burchagi 29° .
82	Ketma ket keluvchi gil va alevrolit qatlamlari (yoshi - o‘rta D). Qatlamning yotish azimuti 110° , yotish burchagi 32° .
83	Ketma ket keluvchi gil va alevrolit qatlamlari (yoshi - o‘rta D). Qatlamning yotish azimuti 100° , yotish burchagi 29° .
84	Ketma ket keluvchi gil va alevrolit qatlamlari (yoshi - o‘rta D). Qatlamning yotish azimuti 120° , yotish burchagi 27° .
85	To‘q kulrang ohaktoshlar (yoshi - yuqori D). Qatlamning yotish azimuti 90° , yotish burchagi 23° .
86	Ketma ket keluvchi gil va alevrolit qatlamlari (yoshi - o‘rta D). Qatlamning yotish azimuti 140° , yotish burchagi 28° .
87	Ketma ket keluvchi gil va alevrolit qatlamlari (yoshi - o‘rta D). Qatlamning yotish azimuti 90° , yotish burchagi 28° .
88	To‘q kulrang ohaktoshlar (yoshi- yuqori D). Qatlamning yotish azimuti 127° , yotish burchagi 23° .
89	To‘q kulrang ohaktoshlar (yoshi- yuqori D). Qatlamning yotish azimuti 110° , yotish burchagi 23° .
90	Och kulrang dolomitlar (yoshi - quyi C.). Qatlamning yotish azimuti 105° , yotish burchagi 28° .
91	Och kulrang dolomitlar (yoshi - quyi C.). Qatlamning yotish azimuti 115° , yotish burchagi 28° .
92	To‘q kulrang ohaktoshlar (yoshi- yuqori D). Qatlamning yotish azimuti 127° , yotish burchagi 23° .
93	To‘q kulrang ohaktoshlar (yoshi - yuqori D). Qatlamning yotish azimuti 70° , yotish burchagi 23° .

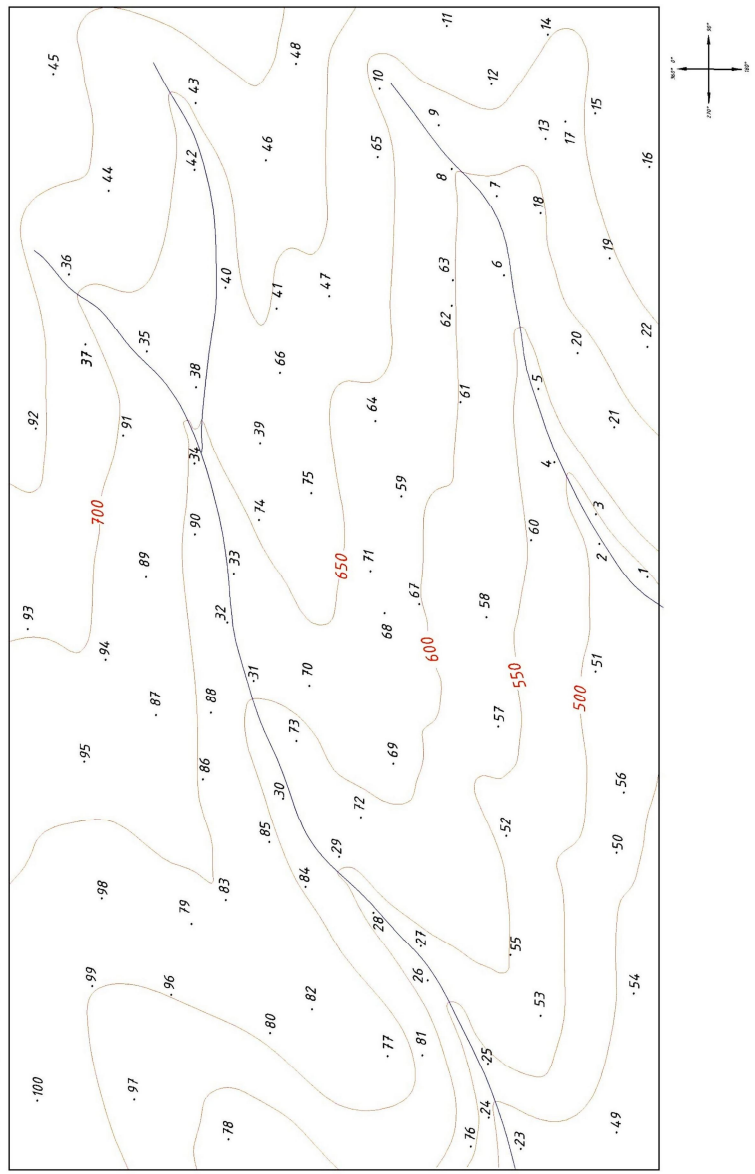
19	Известняки (возраст - верхний мел) . Азимут падения слоя 230° , Угол падения слоя 31° .
20	Глины (возраст - нижний мел) . Азимут падения слоя 215° , Угол падения слоя 28° .
21	Глины (возраст - нижний мел) . Азимут падения слоя 210° , Угол падения слоя 28° .
22	Конгломераты (возраст - верхняя юра) . Азимут падения слоя 220° , Угол падения слоя 32° .
23	Глины (возраст - нижний мел) . Азимут падения слоя 217° , Угол падения слоя 32° .
24	Глины (возраст - нижний мел) . Азимут падения слоя 230° , Угол падения слоя 32° .
25	Тектоническое нарушение. Надвиг. На севере распространены Глины (возраст - нижний мел), на юге - Мергели (возраст - верхний силлур).
26	Алевролиты (возраст - палеоцен) . Азимут падения слоя 77° , Угол падения слоя 30° .
27	Алевролиты (возраст - палеоцен) . Азимут падения слоя 235° , Угол падения слоя 31° .
28	Известняки (возраст - верхний мел) . Азимут падения слоя 233° , Угол падения слоя 31° .
29	Песчаники (возраст - эоцен) . Синклиналь.
30	Тектоническое нарушение. Надвиг. На северо-западе распространены Алевролиты (возраст - палеоцен) , на юго-востоке - Песчаники (возраст - средний девон).
31	Песчаники (возраст - эоцен) . Синклиналь.
32	Тектоническое нарушение. Надвиг. На западе распространены Песчаники (возраст - эоцен), на востоке - Песчаники (возраст - средний девон).
33	Алевролиты (возраст - палеоцен) . Азимут падения слоя 75° , Угол падения слоя 30° .
34	Песчаники (возраст - эоцен) . Синклиналь.
35	Алевролиты (возраст - палеоцен) . Азимут падения слоя 77° , Угол падения слоя 28° .
36	Тектоническое нарушение. Надвиг. На юго-западе распространены Песчаники (возраст - эоцен), на северо-востоке - Глины (возраст - нижний девон). Азимут падения слоя 85° , Угол падения слоя 35° .

6-вариант

Точки наблюдений	Геологические данные точек наблюдений
1	Алевролиты (возраст - палеоцен). Азимут падения слоя 83 ⁰ , Угол падения слоя 30 ⁰ .
2	Алевролиты (возраст - палеоцен) . Азимут падения слоя 80 ⁰ , Угол падения слоя 31 ⁰ .
3	Алевролиты (возраст - палеоцен) . Азимут падения слоя 78 ⁰ , Угол падения слоя 31 ⁰ .
4	Известняки (возраст - верхний мел) . Азимут падения слоя 75 ⁰ , Угол падения слоя 30 ⁰ .
5	Известняки (возраст - верхний мел) . Азимут падения слоя 73 ⁰ , Угол падения слоя 29 ⁰ .
6	Известняки (возраст - верхний мел) . Азимут падения слоя 75 ⁰ , Угол падения слоя 31 ⁰ .
7	Глины (возраст - нижний мел) . Азимут падения слоя 76 ⁰ , Угол падения слоя 27 ⁰ .
8	Конгломераты (возраст - верхняя юра). Азимут падения слоя 77 ⁰ , Угол падения слоя 27 ⁰ .
9	Глины (возраст - нижний мел) . Азимут падения слоя 77 ⁰ , Угол падения слоя 31 ⁰ .
10	Глины (возраст - нижний мел) . Азимут падения слоя 76 ⁰ , Угол падения слоя 32 ⁰ .
11	Известняки (возраст - верхний мел) . Азимут падения слоя 78 ⁰ , Угол падения слоя 27 ⁰ .
12	Известняки (возраст - верхний мел) . Азимут падения слоя 78 ⁰ , Угол падения слоя 26 ⁰ .
13	Песчаники (возраст - эоцен) . Ось синклинали.
14	Песчаники (возраст - эоцен) . Ось синклинали.
15	Песчаники (возраст - эоцен) . Синклиналь .
16	Алевролиты (возраст - палеоцен) . Азимут падения слоя 230 ⁰ , Угол падения слоя 28 ⁰ .
17	Алевролиты (возраст - палеоцен) . Азимут падения слоя 235 ⁰ , Угол падения слоя 31 ⁰ .
18	Известняки (возраст - верхний мел) . Азимут падения слоя 240 ⁰ , Угол падения слоя 29 ⁰ .

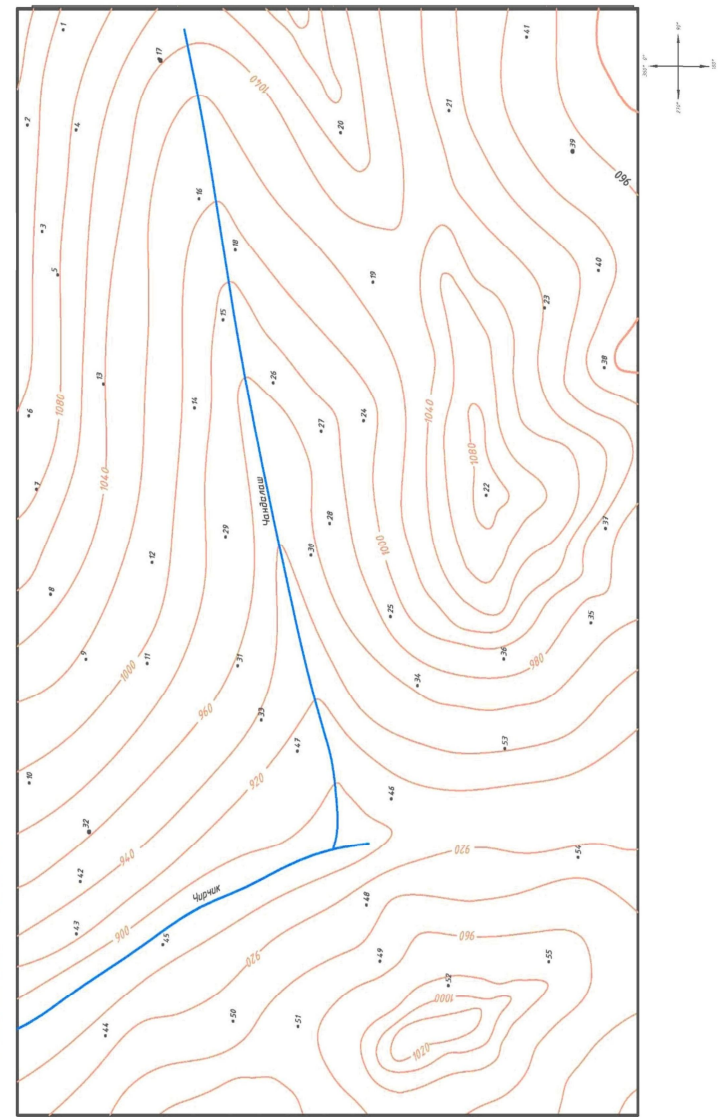
94	To‘q kulrang ohaktoshlar (yoshi - yuqori D). Qatlamning yotish azimuti 80 ⁰ , yotish burchagi 23 ⁰ .
95	Ketma ket keluvchi gil va alevrolit qatlamlari (yoshi - o‘rta D). Qatlamning yotish azimuti 350 ⁰ , yotish burchagi 27 ⁰ .
96	Ketma ket keluvchi gil va alevrolit qatlamlari (yoshi - o‘rta D). Qatlamning yotish azimuti 50 ⁰ , yotish burchagi 30 ⁰ .
97	Ketma ket keluvchi gil va alevrolit qatlamlari (yoshi - o‘rta D). Qatlamning yotish azimuti 15 ⁰ , yotish burchagi 27 ⁰ .
98	Ketma ket keluvchi gil va alevrolit qatlamlari (yoshi - o‘rta D). Qatlamning yotish azimuti 330 ⁰ , yotish burchagi 28 ⁰ .
99	To‘q kulrang ohaktoshlar (yoshi - yuqori D). Qatlamning yotish azimuti 10 ⁰ , yotish burchagi 31 ⁰
100	To‘q kulrang ohaktoshlar (yoshi - yuqori D). Qatlamning yotish azimuti 10 ⁰ , yotish burchagi 33 ⁰

7-вариант (1)
Масштаб 1:10000



56

5-вариант (12)
Масштаб 1:5000



185

	распространены горизонтально залегающие Алевролиты (возраст - юра), на юго-востоке - Известняки (возраст - верхний карбон).
41	Доломиты (возраст - средний карбон) . Азимут падения слоя 255 ⁰ , Угол падения слоя 30 ⁰ .
42	Переслаивание глин и алевролитов (возраст - средний девон). Азимут падения слоя 80 ⁰ , Угол падения слоя 25 ⁰ .
43	Песчаники темносерые (возраст - нижний девон). Антиклиналь
44	Песчаники темносерые (возраст - нижний девон). Антиклиналь.
45	Песчаники темносерые (возраст - нижний девон). Ось антиклинали..
46	Песчаники темносерые (возраст - нижний девон). Ось антиклинали..
47	Переслаивание глин и алевролитов (возраст - средний девон) . Азимут падения слоя 90 ⁰ , Угол падения слоя 27 ⁰ .
48	Переслаивание глин и алевролитов (возраст - средний девон) . Азимут падения слоя 250 ⁰ , Угол падения слоя 28 ⁰ .
49	Органогенные известняки (возраст - верхний девон). Азимут падения слоя 250 ⁰ , Угол падения слоя 28 ⁰ .
50	Переслаивание глин и алевролитов (возраст - средний девон) . Азимут падения слоя 250 ⁰ , Угол падения слоя 27 ⁰ .
51	Органогенные известняки (возраст - верхний девон). Азимут падения слоя 260 ⁰ , Угол падения слоя 30 ⁰ .
52	Мергелы (возраст - нижний карбон) . Азимут падения слоя 260 ⁰ , Угол падения слоя 30 ⁰ .
53	Переслаивание глин и алевролитов (возраст - средний девон) . Ось антиклинали.
54	Органогенные известняки (возраст - верхний девон). Азимут падения слоя 261 ⁰ , Угол падения слоя 27 ⁰ .
55	Мергелы (возраст - нижний карбон) . Азимут падения слоя 260 ⁰ , Угол падения слоя 30 ⁰ .

8-variant

Kuzatuv nuqtasi	Kuzatuv nuqtasidan olingan ma'lumotlar
1	Och kulrang qumtoshlar (yoshi- o'rtा D). Qatlamning yotish azimuti 230 ⁰ , yotish burchagi 28 ⁰ .
2	Och kulrang qumtoshlar (yoshi- o'rtा D). Qatlamning yotish azimuti 230 ⁰ , yotish burchagi 30 ⁰ .
3	Och kulrang qumtoshlar (yoshi- o'rtा D). Qatlamning yotish azimuti 250 ⁰ , yotish burchagi 28 ⁰ .
4	Och kulrang qumtoshlar (yoshi- o'rtा D). Qatlamning yotish azimuti 35 ⁰ , yotish burchagi 28 ⁰ .
5	Och kulrang qumtoshlar (yoshi- o'rtा D). Qatlamning yotish azimuti 240 ⁰ , yotish burchagi 28 ⁰ .
6	Och kulrang qumtoshlar (yoshi- o'rtा D).
7	Och kulrang qumtoshlar (yoshi- o'rtा D).
8	Och kulrang qumtoshlar (yoshi- o'rtा D). Qatlamning yotish azimuti 230 ⁰ , yotish burchagi 28 ⁰ .
9	Och kulrang qumtoshlar (yoshi- o'rtा D). Qatlamning yotish azimuti 220 ⁰ , yotish burchagi 28 ⁰ .
10	Ketma-ket keluvchi gil va alevrolit qatlamlari (yoshi- yuqori D). Qatlamning yotish azimuti 260 ⁰ , yotish burchagi 28 ⁰ .
11	Ketma-ket keluvchi gil va alevrolit qatlamlari (yoshi- yuqori D). Qatlamning yotish azimuti 250 ⁰ , yotish burchagi 28 ⁰ .
12	To'q kulrang ohaktoshlar (yoshi- quyi C). Qatlamning yotish azimuti 260 ⁰ , yotish burchagi 31 ⁰ .
13	To'q kulrang ohaktoshlar (yoshi- quyi C). Qatlamning yotish azimuti 235 ⁰ , yotish burchagi 31 ⁰ .
14	Och kulrang dolomitlar (yoshi- o'rtा C). Qatlamning yotish azimuti 240 ⁰ , yotish burchagi 31 ⁰ .
15	Och kulrang dolomitlar (yoshi- o'rtा C). Qatlamning yotish azimuti 250 ⁰ , yotish burchagi 31 ⁰ .
16	Och kulrang qumtoshlar (yoshi- o'rtा D). Qatlamning yotish azimuti 45 ⁰ , yotish burchagi 28 ⁰ .

17	Ketma ket keluvchi gil va alevrolit qatlamlari (yoshi- yuqori D). Qatlamning yotish azimuti 40^0 , yotish burchagi 28^0 .
18	To‘q kulrang ohaktoshlar (yoshi- quyi C). Qatlamning yotish azimuti 45^0 , yotish burchagi 31^0 .
19	To‘q kulrang ohaktoshlar (yoshi- quyi C). Qatlamning yotish azimuti 500^0 , yotish burchagi 31^0 .
20	Och kulrang qumtoshlar (yoshi- o‘rta D). Qatlamning yotish azimuti 30^0 , yotish burchagi 28^0 .
21	Ketma ket keluvchi gil va alevrolit qatlamlari (yoshi- yuqori D). Qatlamning yotish azimuti 45^0 , yotish burchagi 28^0 .
22	Janubiy-g‘arbdan Ketma ket keluvchi gil va alevrolit qatlamlari (yoshi- yuqori D) qatlamlari bilan shimoli-sharqda To‘q kulrang ohaktoshlar (yoshi - quyi C) kontakti. Qatlamning yotish azimuti 50^0 , yotish burchagi 31^0 .
23	To‘q kulrang ohaktoshlar (yoshi- quyi C). Qatlamning yotish azimuti 45^0 , yotish burchagi 31^0 .
24	To‘q kulrang ohaktoshlar (yoshi- quyi C). Qatlamning yotish azimuti 45^0 , yotish burchagi 31^0 .
25	Ketma-ket keluvchi gil va alevrolit qatlamlari (yoshi- yuqori D). Qatlamning yotish azimuti 40^0 , yotish burchagi 28^0 .
26	Ketma ket keluvchi gil va alevrolit qatlamlari (yoshi- yuqori D). Qatlamning yotish azimuti 220^0 , yotish burchagi 28^0 .
27	Ketma ket keluvchi gil va alevrolit qatlamlari (yoshi- yuqori D). Qatlamning yotish azimuti 260^0 , yotish burchagi 28^0 .
28	Ketma ket keluvchi gil va alevrolit qatlamlari (yoshi- yuqori D). Qatlamning yotish azimuti 260^0 , yotish burchagi 28^0 .
29	Ketma ket keluvchi gil va alevrolit qatlamlari (yoshi- yuqori D). Qatlamning yotish azimuti 270^0 , yotish burchagi 28^0 .
30	To‘q kulrang ohaktoshlar (yoshi- quyi C). Qatlamning yotish azimuti 280^0 , yotish burchagi 31^0 .
31	To‘q kulrang ohaktoshlar (yoshi- quyi C). Qatlamning yotish azimuti 260^0 , yotish burchagi 31^0 .
32	To‘q kulrang ohaktoshlar (yoshi- quyi C). Qatlamning yotish azimuti 260^0 , yotish burchagi 31^0 .
33	To‘q kulrang ohaktoshlar (yoshi- quyi C). Qatlamning yotish azimuti 275^0 , yotish burchagi 31^0 .
34	To‘q kulrang ohaktoshlar (yoshi- quyi C). Qatlamning yotish azimuti 260^0 , yotish burchagi 31^0 .
35	Ketma ket keluvchi gil va alevrolit qatlamlari (yoshi- yuqori D).

21	Алевролиты (возраст - юра). Слои залегают горизонтально.
22	Глины (возраст - мел). Слои залегают горизонтально.
23	Алевролиты (возраст - юра). Слои залегают горизонтально.
24	Тектоническое нарушение. Надвиг. На севере распространены Известняки (возраст - верхний карбон), на юге - Алевролиты (возраст - юра).
25	Тектоническое нарушение. Надвиг. На северо-западе распространены Мергели (возраст - нижний карбон) на юго-востоке Алевролиты (возраст - юра).
26	Доломиты (возраст - средний карбон) . Азимут падения слоя 250^0 , Угол падения слоя 27^0 .
27	Известняки (возраст - верхний карбон). Правое крыло синклинали.
28	Известняки (возраст - верхний карбон). Левое крыло синклинали.
29	Известняки (возраст - верхний карбон). Ось синклинали.
30	Доломиты (возраст - средний карбон) . Азимут падения слоя 80^0 , Угол падения слоя 27^0 .
31	Мергели (возраст - нижний карбон) . Азимут падения слоя 83^0 , Угол падения слоя 25^0 .
32	Органогенные известняки (возраст - верхний девон). Азимут падения слоя 85^0 , Угол падения слоя 27^0 .
33	Органогенные известняки (возраст - верхний девон). Азимут падения слоя 85^0 , Угол падения слоя 27^0 .
34	Органогенные известняки (возраст - верхний девон). Азимут падения слоя 85^0 , Угол падения слоя 25^0 .
35	Органогенные известняки (возраст - верхний девон). Азимут падения слоя 88^0 , Угол падения слоя 28^0 .
36	Тектоническое нарушение. Надвиг. На востоке распространены Алевролиты (возраст - юра), на западе - Органогенные известняки (возраст - верхний девон).
37	Тектоническое нарушение. Надвиг. На северо-востоке распространены горизонтально залегающие Алевролиты (возраст - юра), на юго-западе - Мергели (возраст - нижний карбон).
38	Известняки (возраст - верхний карбон). Синклиналь.
39	Известняки (возраст - верхний карбон). Синклиналь.
40	Тектоническое нарушение. Надвиг. На северо-западе

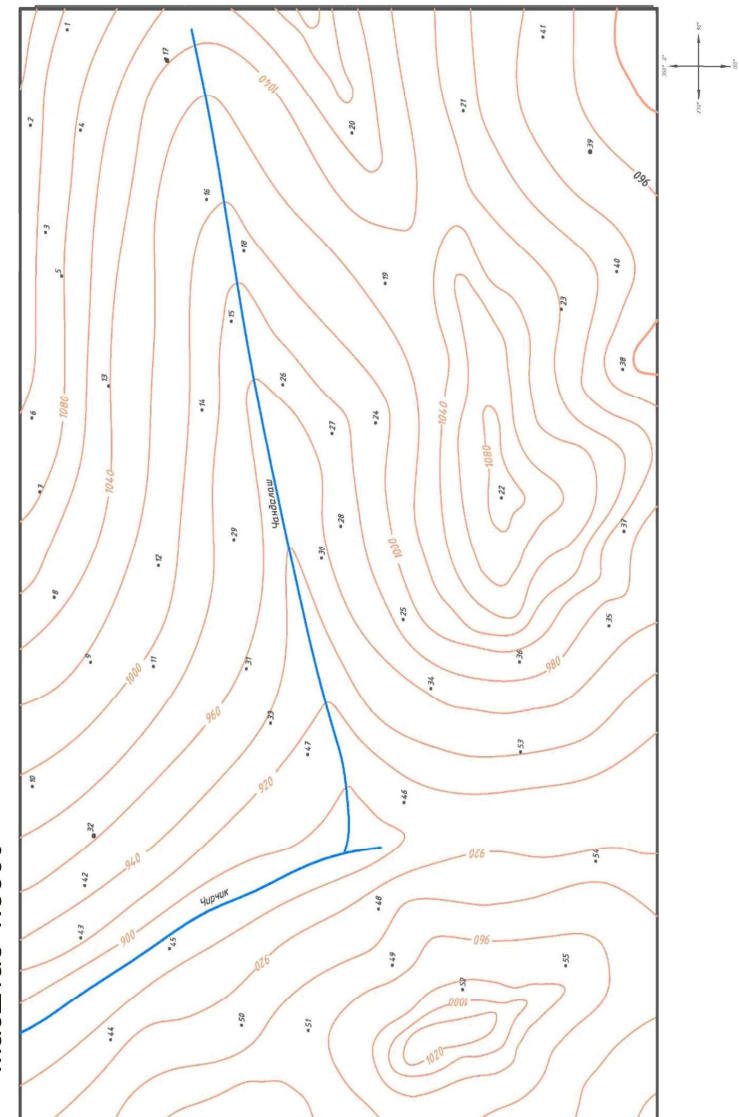
5-вариант

Точки наблюдений	Геологические данные точек наблюдений
1	Песчаники темно-серые (возраст - палеоген). Слои залегают горизонтально.
2	Песчаники темно-серые (возраст - палеоген). Слои залегают горизонтально.
3	Песчаники темно-серые (возраст - палеоген). Слои залегают горизонтально.
4	Глины (возраст - мел). Слои залегают горизонтально.
5	Глины (возраст - мел). Слои залегают горизонтально.
6	Песчаники темно-серые (возраст - палеоген). Слои залегают горизонтально.
7	Глины (возраст - мел). Слои залегают горизонтально.
8	Глины (возраст - мел). Слои залегают горизонтально.
9	Алевролиты (возраст - юра). Слои залегают горизонтально.
10	Тектоническое нарушение. Надвиг. На востоке распространены Алевролиты (возраст - юра), на западе - Мергелы (возраст - нижний карбон).
11	Тектоническое нарушение. Надвиг. На северо-востоке распространены Алевролиты (возраст - юра), юго-западе - Доломиты (возраст - средний карбон).
12	Алевролиты (возраст - юра). Слои залегают горизонтально.
13	Глины (возраст - мел). Слои залегают горизонтально.
14	Тектоническое нарушение. Надвиг. На севере распространены Алевролиты (возраст - юра), на юге - Доломиты (возраст - средний карбон).
15	Мергелы (возраст - нижний карбон) . Азимут падения слоя 255^0 . Угол падения слоя 25^0 .
16	Алевролиты (возраст - юра). Слои залегают горизонтально.
17	Глины (возраст - мел). Слои залегают горизонтально.
18	Тектоническое нарушение. Надвиг. На востоке распространены Алевролиты (возраст - юра), на юге - Мергелы (возраст - нижний карбон).
19	Алевролиты (возраст - юра). Слои залегают горизонтально.
20	Глины (возраст - мел). Слои залегают горизонтально.

36	Qatlamning yotish azimuti 255^0 , yotish burchagi 28^0 . Ketma ket keluvchi gil va alevrolit qatlamlari (yoshi- yuqori D). Qatlamning yotish azimuti 265^0 , yotish burchagi 28^0 .
37	Ketma ket keluvchi gil va alevrolit qatlamlari (yoshi- yuqori D). Qatlamning yotish azimuti 270^0 , yotish burchagi 28^0 .
38	To‘q kulrang ohaktoshlar (yoshi- quyi C). Qatlamning yotish azimuti 270^0 , yotish burchagi 31^0 .
39	To‘q kulrang ohaktoshlar (yoshi- quyi C). Qatlamning yotish azimuti 265^0 , yotish burchagi 31^0 .
40	Och kulrang dolomitlar (yoshi- o‘rtta C). Qatlamning yotish azimuti 270^0 , yotish burchagi 31^0 .
41	Och kulrang dolomitlar (yoshi- o‘rtta C). Qatlamning yotish azimuti 270^0 , yotish burchagi 31^0 .
42	Och kulrang dolomitlar (yoshi- o‘rtta C). Qatlamning yotish azimuti 275^0 , yotish burchagi 31^0 .
43	Och kulrang dolomitlar (yoshi- o‘rtta C). Qatlamning yotish azimuti 270^0 , yotish burchagi 31^0 .
44	Och kulrang dolomitlar (yoshi- o‘rtta C). Qatlamning yotish azimuti 280^0 , yotish burchagi 31^0 .
45	Och kulrang dolomitlar (yoshi- o‘rtta C). Qatlamning yotish azimuti 260^0 , yotish burchagi 31^0 .
46	Och kulrang dolomitlar (yoshi- o‘rtta C). Qatlamning yotish azimuti 285^0 , yotish burchagi 31^0 .
47	Och kulrang qumtoshlar (yoshi- o‘rtta D). Qatlamning yotish azimuti 90^0 , yotish burchagi 28^0 .
48	Och kulrang qumtoshlar (yoshi- o‘rtta D). Qatlamning yotish azimuti 50^0 , yotish burchagi 28^0 .
49	Ketma ket keluvchi gil va alevrolit qatlamlari (yoshi- yuqori D). Qatlamning yotish azimuti 35^0 , yotish burchagi 28^0 .
50	To‘q kulrang ohaktoshlar (yoshi- quyi C). Qatlamning yotish azimuti 50^0 , yotish burchagi 31^0 .
51	To‘q kulrang ohaktoshlar (yoshi- quyi C). Qatlamning yotish azimuti 225^0 , yotish burchagi 31^0 .
52	To‘q kulrang ohaktoshlar (yoshi- quyi C). Qatlamning yotish azimuti 70^0 , yotish burchagi 31^0 .
53	To‘q kulrang ohaktoshlar (yoshi- quyi C). Qatlamning yotish azimuti 210^0 , yotish burchagi 31^0 .
54	To‘q kulrang ohaktoshlar (yoshi- quyi C). Qatlamning yotish azimuti

	260°, yotish burchagi 31°.
55	To‘q kulrang ohaktoshlar (yoshi- quyi C). Qatlamning yotish azimuti 100°, yotish burchagi 31°.
56	Ketma ket keluvchi gil va alevrolit qatlamlari (yoshi- yuqori D). Qatlamning yotish azimuti 95°, yotish burchagi 28°.
57	Ketma ket keluvchi gil va alevrolit qatlamlari (yoshi- yuqori D). Qatlamning yotish azimuti 45°, yotish burchagi 28°.
58	Ketma ket keluvchi gil va alevrolit qatlamlari (yoshi- yuqori D). Qatlamning yotish azimuti 45°, yotish burchagi 28°.
59	Ketma ket keluvchi gil va alevrolit qatlamlari (yoshi- yuqori D). Qatlamning yotish azimuti 30°, yotish burchagi 28°.
60	Och kulrang qumtoshlar (yoshi- o‘rtal D). Qatlamning yotish azimuti 40°, yotish burchagi 28°.
61	Och kulrang qumtoshlar (yoshi- o‘rtal D). Qatlamning yotish azimuti 105°, yotish burchagi 28°.
62	To‘q kulrang ohaktoshlar (yoshi- quyi C). Qatlamning yotish azimuti 50°, yotish burchagi 31°.
63	To‘q kulrang ohaktoshlar (yoshi- quyi C).
64	To‘q kulrang ohaktoshlar (yoshi- quyi C). Qatlamning yotish azimuti 280°, yotish burchagi 31°.
65	To‘q kulrang ohaktoshlar (yoshi- quyi C). Qatlamning yotish azimuti 245°, yotish burchagi 31°.
66	To‘q kulrang ohaktoshlar (yoshi- quyi C). Qatlamning yotish azimuti 245°, yotish burchagi 31°.
67	To‘q kulrang ohaktoshlar (yoshi- quyi C). Qatlamning yotish azimuti 260°, yotish burchagi 31°.
68	To‘q kulrang ohaktoshlar (yoshi- quyi C). Qatlamning yotish azimuti 240°, yotish burchagi 31°.
69	Och kulrang dolomitlar (yoshi- o‘rtal C).
70	Och kulrang dolomitlar (yoshi- o‘rtal C). Qatlamning yotish azimuti 245°, yotish burchagi 31°.
71	Och kulrang dolomitlar (yoshi- o‘rtal C). Qatlamning yotish azimuti 90°, yotish burchagi 31°.
72	Och kulrang dolomitlar (yoshi- o‘rtal C).
73	Och kulrang dolomitlar (yoshi- o‘rtal C). Qatlamning yotish azimuti 240°, yotish burchagi 31°.
74	Och kulrang dolomitlar (yoshi- o‘rtal C). Qatlamning yotish azimuti 40°, yotish burchagi 31°.
75	Och kulrang dolomitlar (yoshi- o‘rtal C). Qatlamning yotish azimuti

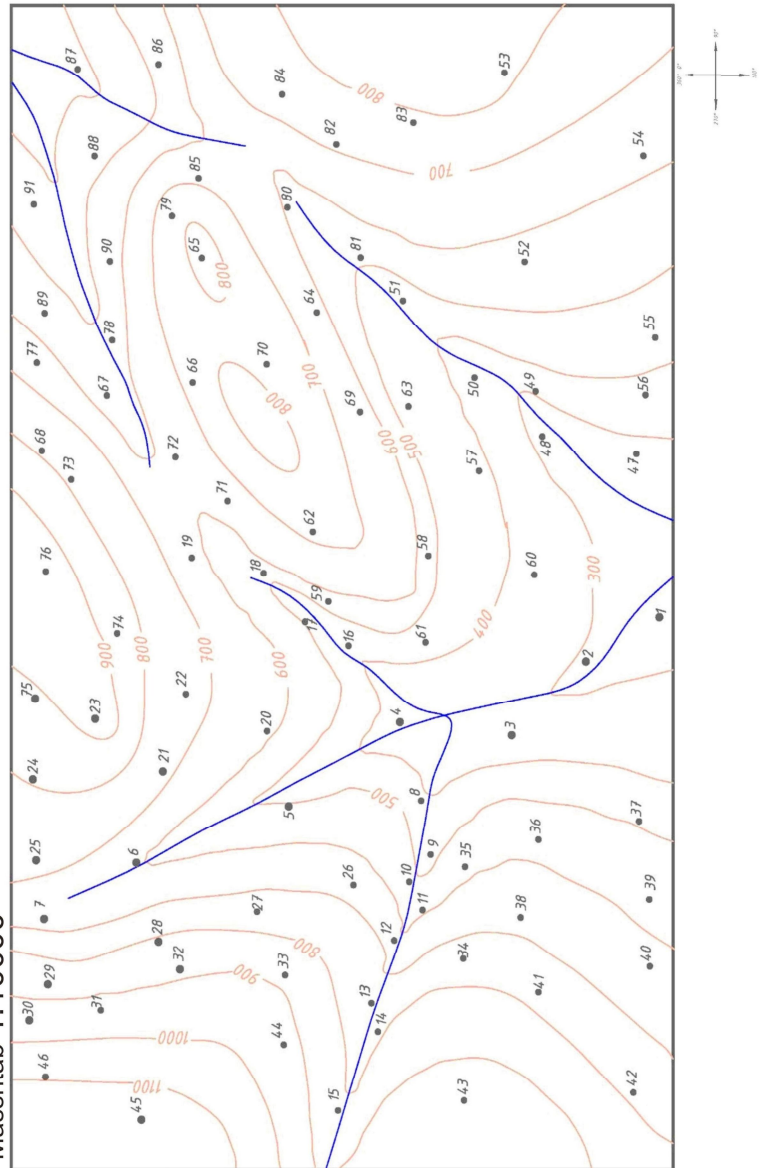
4-вариант (12)
Масштаб 1:5000



39	Песчаники (возраст верхний мел). Синклиналь.
40	Тектоническое нарушение. Надвиг. На северо-западе распространены горизонтально залегающие Песчаники (возраст - Эоцен), на юго-востоке - Песчаники (возраст - верхний мел).
41	Глины (возраст нижний мел). Азимут падения слоя 255°, Угол падения слоя 30°.
42	Алевролиты (возраст - верхний триас) . Азимут падения слоя 80°, Угол падения слоя 25°.
43	Известняки (возраст - средний триас). Антиклиналь.
44	Известняки (возраст - средний триас). Антиклиналь.
45	Известняки (возраст - средний триас). Ось антиклинали.
46	Известняки (возраст - средний триас). Ось антиклинали.
47	Алевролиты (возраст - верхний триас) . Азимут падения слоя 90°, Угол падения слоя 27°.
48	Алевролиты (возраст - верхний триас) . Азимут падения слоя 250°, Угол падения слоя 28°.
49	Песчаники (возраст - нижняя юра) . Азимут падения слоя 250°, Угол падения слоя 28°.
50	Алевролиты (возраст - верхний триас) . Азимут падения слоя 250°, Угол падения слоя 27°.
51	Песчаники (возраст - нижняя юра) . Азимут падения слоя 260°, Угол падения слоя 30°.
52	Доломиты (возраст верхняя юра) . Азимут падения слоя 260°, Угол падения слоя 30°.
53	Алевролиты (возраст - верхний триас) . Ось антиклинали.
54	Песчаники (возраст - нижняя юра) . Азимут падения слоя 261°, Угол падения слоя 27°.
55	Доломиты (возраст верхняя юра) . Азимут падения слоя 260°, Угол падения слоя 30°.

	45°, yotish burchagi 31°.
76	Och kulrang dolomitlar (yoshi- o'rtा C). Qatlamning yotish azimuti 240°, yotish burchagi 31°.
77	Ketma ket keluvchi gil va alevrolit qatlamlari (yoshi- yuqori D). Qatlamning yotish azimuti 255°, yotish burchagi 28°.
78	Ketma ket keluvchi gil va alevrolit qatlamlari (yoshi- yuqori D). Qatlamning yotish azimuti 255°, yotish burchagi 28°.
79	Ketma ket keluvchi gil va alevrolit qatlamlari (yoshi- yuqori D). Qatlamning yotish azimuti 230°, yotish burchagi 28°.
80	Ketma ket keluvchi gil va alevrolit qatlamlari (yoshi- yuqori D). Qatlamning yotish azimuti 230°, yotish burchagi 28°.
81	Ketma ket keluvchi gil va alevrolit qatlamlari (yoshi- yuqori D). Qatlamning yotish azimuti 300°, yotish burchagi 28°.
82	Ketma ket keluvchi gil va alevrolit qatlamlari (yoshi- yuqori D). Qatlamning yotish azimuti 230°, yotish burchagi 28°.
83	Ketma ket keluvchi gil va alevrolit qatlamlari (yoshi- yuqori D). Qatlamning yotish azimuti 240°, yotish burchagi 28°.
84	Och kulrang qumtoshlar (yoshi- o'rtा D). Qatlamning yotish azimuti 230°, yotish burchagi 28°.
85	Och kulrang qumtoshlar (yoshi- o'rtा D). Qatlamning yotish azimuti 275°, yotish burchagi 28°.
86	Och kulrang qumtoshlar (yoshi- o'rtा D).
87	Och kulrang qumtoshlar (yoshi- o'rtा D).
88	Och kulrang qumtoshlar (yoshi- o'rtा D). Qatlamning yotish azimuti 230°, yotish burchagi 28°.
89	Och kulrang qumtoshlar (yoshi- o'rtа D). Qatlamning yotish azimuti 270°, yotish burchagi 28°.
90	Och kulrang qumtoshlar (yoshi- o'rtа D). Qatlamning yotish azimuti 210°, yotish burchagi 28°.
91	Och kulrang qumtoshlar (yoshi- o'rtа D).

8-variant (2)
Massstab 1:10000



19	Песчаники (возраст - Эоцен). Слои залегают горизонтально.
20	Алевролиты (возраст - Олигоцен). Слои залегают горизонтально.
21	Песчаники (возраст - Эоцен). Слои залегают горизонтально.
22	Алевролиты (возраст - Олигоцен). Слои залегают горизонтально.
23	Песчаники (возраст - Эоцен). Слои залегают горизонтально.
24	Тектоническое нарушение. Надвиг. На севере распространены Песчаники (возраст верхний мел), на юге - горизонтально залегающие Песчаники (возраст - Эоцен).
25	Тектоническое нарушение. Надвиг. На северо-западе распространены Доломиты (возраст верхняя юра) юго-востоке - Песчаники (возраст - Эоцен).
26	Глины (возраст нижний мел). Азимут падения слоя 250^0 , Угол падения слоя 27^0 .
27	Песчаники (возраст верхний мел). Правое крыло синклинали.
28	Песчаники (возраст верхний мел). Левое крыло синклинали.
29	Песчаники (возраст верхний мел). Ось синклиналии
30	Глины (возраст нижний мел). Азимут падения слоя 80^0 , Угол падения слоя 27^0 .
31	Доломиты (возраст верхняя юра). Азимут падения слоя 83^0 , Угол падения слоя 25^0 .
32	Песчаники (возраст - нижняя юра). Азимут падения слоя 85^0 , Угол падения слоя 27^0 .
33	Песчаники (возраст - нижняя юра). Азимут падения слоя 85^0 , Угол падения слоя 27^0 .
34	Песчаники (возраст - нижняя юра). Азимут падения слоя 85^0 , Угол падения слоя 25^0 .
35	Песчаники (возраст - нижняя юра). Азимут падения слоя 88^0 , Угол падения слоя 28^0 .
36	Тектоническое нарушение. Надвиг. На востоке распространены Песчаники (возраст - Эоцен), на западе - Песчаники (возраст - нижняя юра).
37	Тектоническое нарушение. Надвиг. На северо-востоке распространены горизонтально залегающие Песчаники (возраст-Эоцен), на юго-западе - Доломиты (возраст- верхняя юра).
38	Песчаники (возраст верхний мел). Синклиналь.

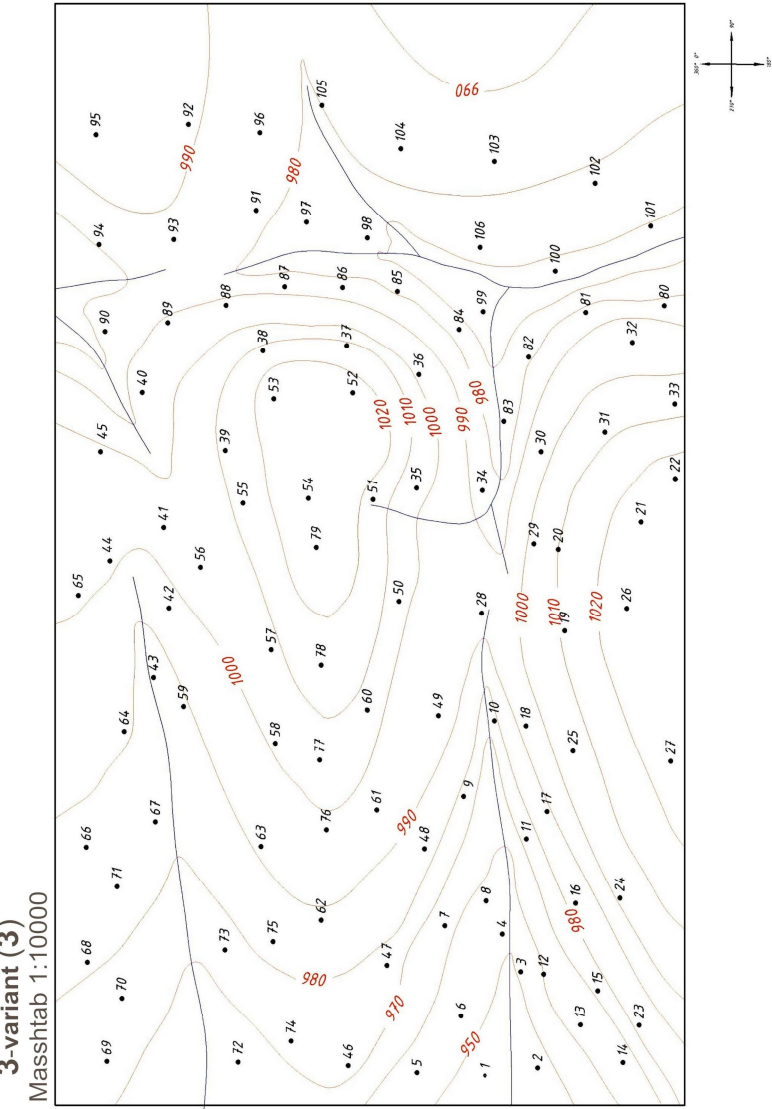
4-вариант .

Точки наблюдений	Геологические данные точек наблюдений
1	Глины (возраст - N). Слои залегают горизонтально.
2	Глины (возраст - N). Слои залегают горизонтально.
3	Глины (возраст - N). Слои залегают горизонтально.
4	Алевролиты (возраст - Олигоцен). Слои залегают горизонтально.
5	Алевролиты (возраст - Олигоцен). Слои залегают горизонтально.
6	Глины (возраст - N). Слои залегают горизонтально.
7	Алевролиты (возраст - Олигоцен). Слои залегают горизонтально.
8	Алевролиты (возраст - Олигоцен). Слои залегают горизонтально.
9	Песчаники (возраст - Эоцен). Слои залегают горизонтально.
10	Тектоническое нарушение. Надвиг. На востоке распространены Песчаники (возраст - Эоцен), на западе Доломиты (возраст верхняя юра).
11	Тектоническое нарушение. Надвиг. На северо-востоке распространены Песчаники (возраст - Эоцен), на юго-западе Глины (возраст нижний мел).
12	Песчаники (возраст - Эоцен). Слои залегают горизонтально.
13	Алевролиты (возраст - Олигоцен). Слои залегают горизонтально.
14	Тектоническое нарушение. Надвиг. На севере распространены Песчаники (возраст- Эоцен), на юге - Глины (возраст нижний мел).
15	Доломиты (возраст верхняя юра) . Азимут падения слоя 255^0 , Угол падения слоя 25^0 .
16	Песчаники (возраст - Эоцен). Слои залегают горизонтально.
17	Алевролиты (возраст - Олигоцен). Слои залегают горизонтально.
18	Тектоническое нарушение. Надвиг. На востоке распространены Песчаники (возраст - Эоцен), на западе - Доломиты (возраст верхняя юра).

9-variant

Kuzatuv nuqtasi	Kuzatuv nuqtasidan olingan ma'lumotlar
1	Alevrolitlar (yoshi -yuqori K). Qatlamning yotish azimuti 15^0 , yotish burchagi 35^0 .
2	Alevrolitlar (yoshi -yuqori K). Qatlamning yotish azimuti 180^0 , yotish burchagi 35^0 .
3	Alevrolitlar (yoshi -yuqori K). Bu nuqtadan antiklinal o'qi o'tadi.Uning yo'nalish azimuti 90^0 .
4	Alevrolitlar (yoshi -yuqori K). Qatlamning yotish azimuti 15^0 , yotish burchagi 35^0 .
5	Qumtoshlar (yoshi - quyi Paleogen). Qatlamning yotish azimuti 20^0 , yotish burchagi 33^0 .
6	Qumtoshlar (yoshi - quyi Paleogen). Qatlamning yotish azimuti 20^0 , yotish burchagi 31^0 .
7	Qumtoshlar (yoshi - quyi Paleogen). Qatlamning yotish azimuti 25^0 , yotish burchagi 33^0 .
8	Qumtoshlar (yoshi - quyi Paleogen). Qatlamning yotish azimuti 30^0 , yotish burchagi 32^0 .
9	Qumtoshlar (yoshi - quyi Paleogen). Qatlamning yotish azimuti 15^0 , yotish burchagi 35^0 .
10	Qumtoshlar (yoshi - quyi Paleogen). Bu nuqtadan antiklinal o'qi o'tadi.Uning yo'nalish azimuti 80^0 .
11	Qumtoshlar (yoshi - quyi Paleogen). Qatlamning yotish azimuti 165^0 , yotish burchagi 33^0 .
12	Qumtoshlar (yoshi - quyi Paleogen). Qatlamning yotish azimuti 150^0 , yotish burchagi 32^0 .
13	Qumtoshlar (yoshi - quyi Paleogen). Qatlamning yotish azimuti 155^0 , yotish burchagi 31^0 .
14	Konglomeratlar (yoshi - o'rta Paleogen). Qatlamning yotish azimuti 150^0 , yotish burchagi 31^0 .
15	Konglomeratlar (yoshi - o'rta Paleogen). Qatlamning yotish azimuti 147^0 , yotish burchagi 31^0 .
16	Konglomeratlar (yoshi - o'rta Paleogen). Qatlamning yotish azimuti

	145°, yotish burchagi 33°.
17	Konglomeratlar (yoshi - o'rta Paleogen). Qatlamning yotish azimuti 153°, yotish burchagi 33°.
18	Konglomeratlar (yoshi - o'rta Paleogen). Qatlamning yotish azimuti 180°, yotish burchagi 33°.
19	Konglomeratlar (yoshi - o'rta Paleogen). Qatlamning yotish azimuti 200°, yotish burchagi 35°.
20	Konglomeratlar (yoshi - o'rta Paleogen). Qatlamning yotish azimuti 200°, yotish burchagi 33°.
21	Konglomeratlar (yoshi - o'rta Paleogen). Qatlamning yotish azimuti 250°, yotish burchagi 34°.
22	Konglomeratlar (yoshi - o'rta Paleogen). Qatlamning yotish azimuti 260°, yotish burchagi 35°.
23	Angidrit, tarkibida gips qatlamchalari bor (yoshi - yuqori Paleogen). Qatlamning yotish azimuti 160°, yotish burchagi 28°.
24	Angidrit, tarkibida gips qatlamchalari bor (yoshi - yuqori Paleogen). Qatlamning yotish azimuti 175°, yotish burchagi 28°.
25	Angidrit, tarkibida gips qatlamchalari bor (yoshi - yuqori Paleogen). Qatlamning yotish azimuti 180°, yotish burchagi 29°.
26	Angidrit, tarkibida gips qatlamchalari bor (yoshi - yuqori Paleogen). Qatlamning yotish azimuti 210°, yotish burchagi 27°.
27	Angidrit, tarkibida gips qatlamchalari bor (yoshi - yuqori Paleogen). Qatlamning yotish azimuti 180°, yotish burchagi 27°.
28	Qumtoshlar (yoshi - quiy Paleogen).
29	Qumtoshlar (yoshi - quiy Paleogen). Qatlamning yotish azimuti 200°, yotish burchagi 33°.
30	Qumtoshlar (yoshi - quiy Paleogen). Qatlamning yotish azimuti 230°, yotish burchagi 31°.
31	Qumtoshlar (yoshi - quiy Paleogen). Qatlamning yotish azimuti 255°, yotish burchagi 32°.
32	Qumtoshlar (yoshi - quiy Paleogen). Qatlamning yotish azimuti 260°, yotish burchagi 32°.
33	Qumtoshlar (yoshi - quiy Paleogen). Qatlamning yotish azimuti 260°, yotish burchagi 31°.
34	Qumtoshlar (yoshi - quiy Paleogen).
35	Qumtoshlar (yoshi - quiy Paleogen). Qatlamning yotish azimuti 330°, yotish burchagi 33°.
36	Qumtoshlar (yoshi - quiy Paleogen). Qatlamning yotish azimuti 300°, yotish burchagi 35°.



	Угол падения слоя 29 ⁰ .
91	Доломиты серого цвета (возраст - J). Азимут падения слоя 300 ⁰ , Угол падения слоя 33 ⁰ .
92	Доломиты серого цвета (возраст - J). Азимут падения слоя 85 ⁰ , Угол падения слоя 31 ⁰ .
93	Доломиты серого цвета (возраст - J). Азимут падения слоя 275 ⁰ , Угол падения слоя 31 ⁰ .
94	Доломиты серого цвета (возраст - J). Азимут падения слоя 260 ⁰ , Угол падения слоя 27 ⁰ .
95	Доломиты серого цвета (возраст - J). Азимут падения слоя 95 ⁰ , Угол падения слоя 25 ⁰ .
96	Глины церного цвета (возраст -T). Азимут падения слоя 300 ⁰ , Угол падения слоя 33 ⁰ .
97	Глины церного цвета (возраст -T). Азимут падения слоя 285 ⁰ , Угол падения слоя 29 ⁰ .
98	Глины церного цвета (возраст -T). Азимут падения слоя 280 ⁰ , Угол падения слоя 31 ⁰ .
99	Глины церного цвета (возраст -T). Азимут падения слоя 270 ⁰ , Угол падения слоя 32 ⁰ .
100	Глины церного цвета (возраст -T). Азимут падения слоя 255 ⁰ , Угол падения слоя 32 ⁰ .
101	Глины церного цвета (возраст -T). Азимут падения слоя 260 ⁰ , Угол падения слоя 31 ⁰ .
102	Глины церного цвета (возраст -T). Азимут падения слоя 265 ⁰ , Угол падения слоя 33 ⁰ .
103	Глины церного цвета (возраст -T). Азимут падения слоя 105 ⁰ , Угол падения слоя 35 ⁰ .
104	Глины церного цвета (возраст -T). Азимут падения слоя 105 ⁰ , Угол падения слоя 35 ⁰ .
105	Глины церного цвета (возраст -T). Азимут падения слоя 110 ⁰ , Угол падения слоя 33 ⁰ .
106	Глины церного цвета (возраст -T). Азимут падения слоя 280 ⁰ , Угол падения слоя 35 ⁰ .

37	Qumtoshlar (yoshi - quyi Paleogen). Qatlamning yotish azimuti 270 ⁰ , yotish burchagi 35 ⁰ .
38	Qumtoshlar (yoshi - quyi Paleogen). Qatlamning yotish azimuti 270 ⁰ , yotish burchagi 34 ⁰ .
39	Qumtoshlar (yoshi - quyi Paleogen). Qatlamning yotish azimuti 245 ⁰ , yotish burchagi 32 ⁰ .
40	Alevrolitlar (yoshi - yuqori K). Qatlamning yotish azimuti 235 ⁰ , yotish burchagi 33 ⁰ .
41	Qumtoshlar (yoshi - quyi Paleogen). Qatlamning yotish azimuti 240 ⁰ , yotish burchagi 35 ⁰ . Nuqtadan 100m shimolda uzilma o'tadi. Uning yo'nalish azimuti 70 ⁰ .
42	Qumtoshlar (yoshi - quyi Paleogen). Qatlamning yotish azimuti 220 ⁰ , yotish burchagi 33 ⁰ . Nuqtadan 50m shimolda uzilma o'tadi. Uning yo'nalish azimuti 75 ⁰ .
43	Qumtoshlar (yoshi - quyi Paleogen). Nuqtadan 40m janubda uzilma o'tadi. Uning yo'nalish azimuti 75 ⁰ .
44	Qumtoshlar (yoshi - quyi Paleogen). Qatlamning yotish azimuti 330 ⁰ , yotish burchagi 34 ⁰ .
45	Qumtoshlar (yoshi - quyi Paleogen). Bu nuqtadan uzilma o'tadi.
46	Konglomeratlar (yoshi - o'rtal Paleogen). Qatlamning yotish azimuti 55 ⁰ , yotish burchagi 35 ⁰ .
47	Konglomeratlar (yoshi - o'rtal Paleogen). Qatlamning yotish azimuti 25 ⁰ , yotish burchagi 35 ⁰ .
48	Konglomeratlar (yoshi - o'rtal Paleogen). Qatlamning yotish azimuti 30 ⁰ , yotish burchagi 31 ⁰ .
49	Konglomeratlar (yoshi - o'rtal Paleogen). Qatlamning yotish azimuti 10 ⁰ , yotish burchagi 32 ⁰ .
50	Konglomeratlar (yoshi - o'rtal Paleogen). Qatlamning yotish azimuti 350 ⁰ , yotish burchagi 32 ⁰ .
51	Konglomeratlar (yoshi - o'rtal Paleogen). Qatlamning yotish azimuti 330 ⁰ , yotish burchagi 33 ⁰ .
52	Bu nuqtadan ikki qatlam kontakti (chegarasi) o'tadi. G'arbda Konglomeratlar (yoshi - o'rtal Paleogen), sharqda – Qumtosh-lar (yoshi - quyi Paleogen). Qatlamning yotish azimuti 270 ⁰ , yotish burchagi 35 ⁰ .
53	Bu nuqtadan ikki qatlam kontakti (chegarasi) o'tadi. G'arbda Konglomeratlar (yoshi - o'rtal Paleogen), sharqda Qumtoshlar (yoshi - quyi Paleogen). Qatlamning yotish azimuti 250 ⁰ , yotish burchagi 34 ⁰ .

54	Konglomeratlar (yoshi - o'rtal Paleogen). Qatlamning yotish azimuti 270°, yotish burchagi 33°.
55	Konglomeratlar (yoshi - o'rtal Paleogen). Qatlamning yotish azimuti 245°, yotish burchagi 33°.
56	Konglomeratlar (yoshi - o'rtal Paleogen). Qatlamning yotish azimuti 230°, yotish burchagi 33°.
57	Konglomeratlar (yoshi - o'rtal Paleogen). Qatlamning yotish azimuti 190°, yotish burchagi 31°.
58	Konglomeratlar (yoshi - o'rtal Paleogen). Qatlamning yotish azimuti 180°, yotish burchagi 25°.
59	Konglomeratlar (yoshi - o'rtal Paleogen). Qatlamning yotish azimuti 180°, yotish burchagi 35°.
60	Konglomeratlar (yoshi - o'rtal Paleogen). Qatlamning yotish azimuti 5°, yotish burchagi 34°.
61	Konglomeratlar (yoshi - o'rtal Paleogen). Qatlamning yotish azimuti 10°, yotish burchagi 32°.
62	Konglomeratlar (yoshi - o'rtal Paleogen). Qatlamning yotish azimuti 90°, yotish burchagi 32°.
63	Konglomeratlar (yoshi - o'rtal Paleogen). Qatlamning yotish azimuti 130°, yotish burchagi 29°.
64	Konglomeratlar (yoshi - o'rtal Paleogen). Qatlamning yotish azimuti 280°, yotish burchagi 29°.
65	Konglomeratlar (yoshi - o'rtal Paleogen). Qatlamning yotish azimuti 290°, yotish burchagi 32°.
66	Konglomeratlar (yoshi - o'rtal Paleogen). Qatlamning yotish azimuti 110°, yotish burchagi 31°.
67	Konglomeratlar (yoshi - o'rtal Paleogen). Qatlamning yotish azimuti 300°, yotish burchagi 31°.
68	Konglomeratlar (yoshi - o'rtal Paleogen). Qatlamning yotish azimuti 300°, yotish burchagi 29°.
69	Konglomeratlar (yoshi - o'rtal Paleogen). Qatlamning yotish azimuti 300°, yotish burchagi 31°.
70	Konglomeratlar (yoshi - o'rtal Paleogen). Qatlamning yotish azimuti 300°, yotish burchagi 33°.
71	Konglomeratlar (yoshi - o'rtal Paleogen). Qatlamning yotish azimuti 120°, yotish burchagi 33°.
72	Konglomeratlar (yoshi - o'rtal Paleogen). Qatlamning yotish azimuti 150°, yotish burchagi 34°. Nuqtadan 40m shimolda uzilma o'tadi. Uning yo'nalish azimuti 75°.

	пaleоген). Азимут падения слоя 150°, Угол падения слоя 34°. Нуктадан 40м шимолда узилма ўтади. Унинг йўналиш азимути 75°.
73	Алевролиты и глины серого, светло-серого цвета (возраст - палеоген). Азимут падения слоя 150°, Угол падения слоя 35°. Нуктадан 60м шимолда узилма ўтади. Унинг йўналиш азимути 75°.
74	Алевролиты и глины серого, светло-серого цвета (возраст - палеоген). Азимут падения слоя 130°, Угол падения слоя 35°.
75	Алевролиты и глины серого, светло-серого цвета (возраст - палеоген). Азимут падения слоя 120°, Угол падения слоя 35°.
76	Песчаники красно-коричневого цвета, неотсортированные (возраст - N)
77	Песчаники красно-коричневого цвета, неотсортированные (возраст - N)
78	Песчаники красно-коричневого цвета, неотсортированные (возраст - N)
79	Песчаники красно-коричневого цвета, неотсортированные (возраст - N)
80	Доломиты серого цвета (возраст - J). Азимут падения слоя 260°, Угол падения слоя 34°.
81	Доломиты серого цвета (возраст - J). Азимут падения слоя 255°, Угол падения слоя 29°.
82	Доломиты серого цвета (возраст - J). Азимут падения слоя 230°, Угол падения слоя 35°.
83	Доломиты серого цвета (возраст - J). Азимут падения слоя 270°, Угол падения слоя 33°.
84	Доломиты серого цвета (возраст - J). Азимут падения слоя 285°, Угол падения слоя 32°.
85	Доломиты серого цвета (возраст - J). Азимут падения слоя 280°, Угол падения слоя 33°.
86	Доломиты серого цвета (возраст - J). Азимут падения слоя 270°, Угол падения слоя 35°.
87	Доломиты серого цвета (возраст - J). Азимут падения слоя 265°, Угол падения слоя 35°.
88	Доломиты серого цвета (возраст - J). Азимут падения слоя 265°, Угол падения слоя 35°.
89	Доломиты серого цвета (возраст - J). Азимут падения слоя 265°, Угол падения слоя 34°.
90	Доломиты серого цвета (возраст - J). Азимут падения слоя 260°, Угол падения слоя 34°.

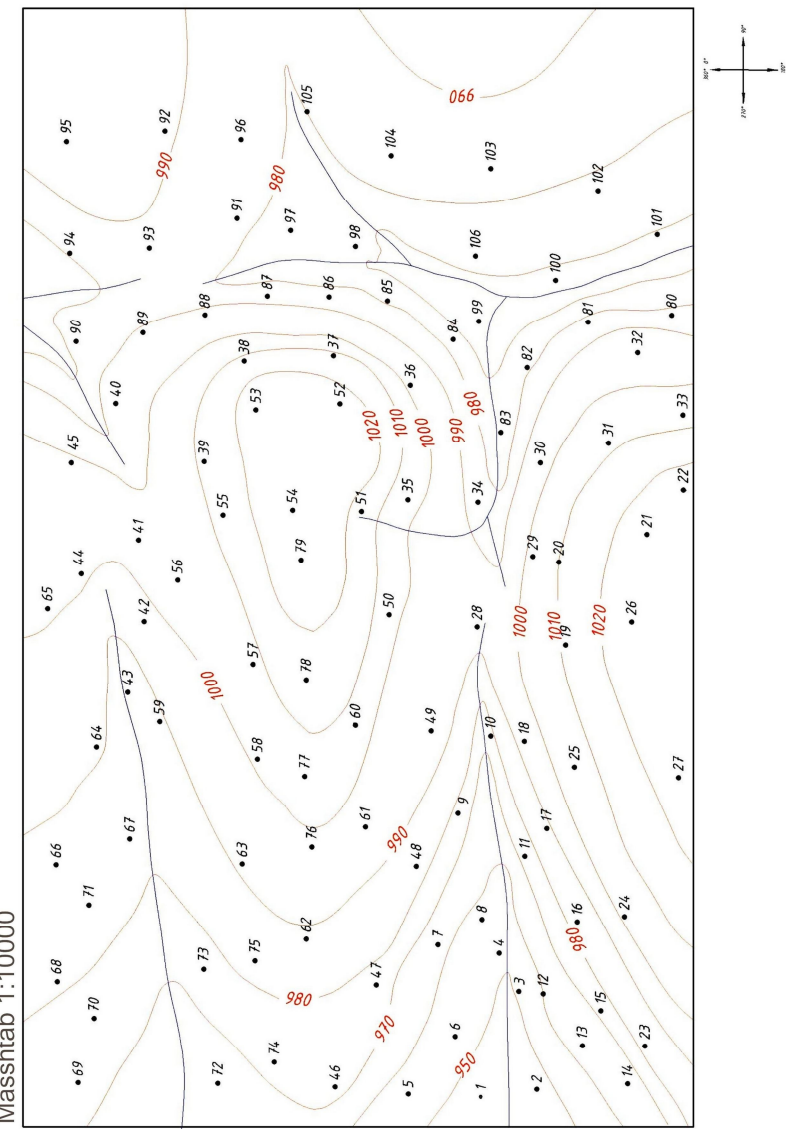
73	Konglomeratlar (yoshi - o'rtal Paleogen). Qatlarning yotish azimuti 150^0 , yotish burchagi 35^0 . Nuqtadan 60m shimalda uzilma o'tadi. Uning yo'nalish azimuti 75^0 .
74	Konglomeratlar (yoshi - o'rtal Paleogen). Qatlarning yotish azimuti 130^0 , yotish burchagi 35^0 .
75	Konglomeratlar (yoshi - o'rtal Paleogen). Qatlarning yotish azimuti 120^0 , yotish burchagi 35^0 .
76	Angidrit, tarkibida gips qatlamchalari bor (yoshi - yuqori Paleogen)
77	Angidrit, tarkibida gips qatlamchalari bor (yoshi - yuqori Paleogen)
78	Angidrit, tarkibida gips qatlamchalari bor (yoshi - yuqori Paleogen)
79	Angidrit, tarkibida gips qatlamchalari bor (yoshi - yuqori Paleogen)
80	Alevrolitlar (yoshi - yuqori K). Qatlarning yotish azimuti 260^0 , yotish burchagi 34^0 .
81	Alevrolitlar (yoshi - yuqori K). Qatlarning yotish azimuti 255^0 , yotish burchagi 29^0 .
82	Alevrolitlar (yoshi - yuqori K). Qatlarning yotish azimuti 230^0 , yotish burchagi 35^0 .
83	Alevrolitlar (yoshi - yuqori K). Qatlarning yotish azimuti 270^0 , yotish burchagi 33^0 .
84	Alevrolitlar (yoshi - yuqori K). Qatlarning yotish azimuti 285^0 , yotish burchagi 32^0 .
85	Alevrolitlar (yoshi - yuqori K). Qatlarning yotish azimuti 280^0 , yotish burchagi 33^0 .
86	Alevrolitlar (yoshi - yuqori K). Qatlarning yotish azimuti 270^0 , yotish burchagi 35^0 .
87	Alevrolitlar (yoshi - yuqori K). Qatlarning yotish azimuti 265^0 , yotish burchagi 35^0 .
88	Alevrolitlar (yoshi - yuqori K). Qatlarning yotish azimuti 265^0 , yotish burchagi 35^0 .
89	Alevrolitlar (yoshi - yuqori K). Qatlarning yotish azimuti 265^0 , yotish burchagi 34^0 .
90	Alevrolitlar (yoshi - yuqori K). Qatlarning yotish azimuti 260^0 , yotish burchagi 29^0 .
91	Alevrolitlar (yoshi - yuqori K). Qatlarning yotish azimuti 300^0 , yotish burchagi 33^0 .
92	Alevrolitlar (yoshi - yuqori K). Qatlarning yotish azimuti 85^0 , yotish burchagi 31^0 .
93	Alevrolitlar (yoshi - yuqori K). Qatlarning yotish azimuti 275^0 ,

	yotish burchagi 31 ⁰ .
94	Alevrolitlar (yoshi - yuqori K). Qatlamning yotish azimuti 260 ⁰ , yotish burchagi 27 ⁰ .
95	Alevrolitlar (yoshi - yuqori K). Qatlamning yotish azimuti 95 ⁰ , yotish burchagi 25 ⁰ .
96	To‘q kulrang gillar (yoshi - quyi K). Qatlamning yotish azimuti 300 ⁰ , yotish burchagi 33 ⁰ .
97	To‘q kulrang gillar (yoshi - quyi K). Qatlamning yotish azimuti 285 ⁰ , yotish burchagi 29 ⁰ .
98	To‘q kulrang gillar (yoshi - quyi K). Qatlamning yotish azimuti 280 ⁰ , yotish burchagi 31 ⁰ .
99	To‘q kulrang gillar (yoshi - quyi K). Qatlamning yotish azimuti 270 ⁰ , yotish burchagi 32 ⁰ .
100	To‘q kulrang gillar (yoshi - quyi K). Qatlamning yotish azimuti 255 ⁰ , yotish burchagi 32 ⁰ .
101	To‘q kulrang gillar (yoshi - quyi K). Qatlamning yotish azimuti 260 ⁰ , yotish burchagi 31 ⁰ .
102	To‘q kulrang gillar (yoshi - quyi K). Qatlamning yotish azimuti 265 ⁰ , yotish burchagi 33 ⁰ .
103	To‘q kulrang gillar (yoshi - quyi K). Qatlamning yotish azimuti 105 ⁰ , yotish burchagi 35 ⁰ .
104	To‘q kulrang gillar (yoshi - quyi K). Qatlamning yotish azimuti 105 ⁰ , yotish burchagi 35 ⁰ .
105	To‘q kulrang gillar (yoshi - quyi K). Qatlamning yotish azimuti 110 ⁰ , yotish burchagi 33 ⁰ .
106	To‘q kulrang gillar (yoshi - quyi K). Qatlamning yotish azimuti 280 ⁰ , yotish burchagi 35 ⁰ .

38	Темно серые известняки с прослойми глин (возраст - K). Азимут падения слоя 270 ⁰ , Угол падения слоя 34 ⁰
39	Темно серые известняки с прослойми глин (возраст - K). Азимут падения слоя 245 ⁰ , Угол падения слоя 32 ⁰
40	Доломиты серого цвета (возраст - J). Азимут падения слоя 235 ⁰ , Угол падения слоя 33 ⁰ .
41	Темно серые известняки с прослойми глин (возраст - K). Азимут падения слоя 240 ⁰ , Угол падения слоя 35 ⁰ . 100м севернее от точки проходит разлом. Его азимут простирания 70 ⁰ .
42	Темно серые известняки с прослойми глин (возраст - K). Азимут падения слоя 220 ⁰ , Угол падения слоя 33 ⁰ . 50м севернее от точки проходит разлом. Его азимут простирания 75 ⁰ .
43	Темно серые известняки с прослойми глин (возраст - K). 40м южнее от точки проходит разлом. Его азимут простирания 75 ⁰ .
44	Темно серые известняки с прослойми глин (возраст - K). Азимут падения слоя 330 ⁰ , Угол падения слоя 34 ⁰ .
45	Темно серые известняки с прослойми глин (возраст - K). Здесь проходит разлом
46	Алевролиты и глины серого, светло-серого цвета (возраст - палеоген). Азимут падения слоя 55 ⁰ , Угол падения слоя 35 ⁰ .
47	Алевролиты и глины серого, светло-серого цвета (возраст - палеоген). Азимут падения слоя 25 ⁰ , Угол падения слоя 35 ⁰ .
48	Алевролиты и глины серого, светло-серого цвета (возраст - палеоген). Азимут падения слоя 30 ⁰ , Угол падения слоя 31 ⁰ .
49	Алевролиты и глины серого, светло-серого цвета (возраст - палеоген). Азимут падения слоя 10 ⁰ , Угол падения слоя 32 ⁰ .
50	Алевролиты и глины серого, светло-серого цвета (возраст - палеоген). Азимут падения слоя 350 ⁰ , Угол падения слоя 32 ⁰ .
51	Алевролиты и глины серого, светло-серого цвета (возраст - палеоген). Азимут падения слоя 330 ⁰ , Угол падения слоя 33 ⁰ .
52	Здесь проходит контакт разновозрастных слоев. На западе Алевролиты и глины серого, светло-серого цвета (возраст - палеоген), на востоке встречаются Темно серые известняки с прослойми глин (возраст - K). Азимут падения слоя 270 ⁰ , Угол падения слоя 35 ⁰ .
53	Здесь проходит контакт разновозрастных слоев. На западе Алевролиты и глины серого, светло-серого цвета (возраст - палеоген), на востоке встречаются Темно серые известняки с

	палеоген). Азимут падения слоя 153^0 , угол падения слоя 33^0 .
18	Алевролиты и глины серого, светло-серого цвета (возраст - палеоген). Азимут падения слоя 180^0 , угол падения слоя 33^0 .
19	Алевролиты и глины серого, светло-серого цвета (возраст - палеоген). Азимут падения слоя 200^0 , угол падения слоя 35^0 .
20	Алевролиты и глины серого, светло-серого цвета (возраст - палеоген). Азимут падения слоя 200^0 , угол падения слоя 33^0 .
21	Алевролиты и глины серого, светло-серого цвета (возраст - палеоген). Азимут падения слоя 250^0 , угол падения слоя 34^0 .
22	Алевролиты и глины серого, светло-серого цвета (возраст - палеоген). Азимут падения слоя 260^0 , угол падения слоя 35^0 .
23	Песчаники красно-коричневого цвета, неотсортированные (возраст - N). Азимут падения слоя 160^0 , угол падения слоя 28^0 .
24	Песчаники красно-коричневого цвета, неотсортированные (возраст - N). Азимут падения слоя 175^0 , угол падения слоя 28^0 .
25	Песчаники красно-коричневого цвета, неотсортированные (возраст - N). Азимут падения слоя 180^0 , угол падения слоя 29^0 .
26	Песчаники красно-коричневого цвета, неотсортированные (возраст - N). Азимут падения слоя 210^0 , угол падения слоя 27^0 .
27	Песчаники красно-коричневого цвета, неотсортированные (возраст - N). Азимут падения слоя 180^0 , угол падения слоя 27^0 .
28	Темно серые известняки с прослойями глин (возраст - K).
29	Темно серые известняки с прослойями глин (возраст - K). Азимут падения слоя 200^0 , Угол падения слоя 33^0
30	Темно серые известняки с прослойями глин (возраст - K). Азимут падения слоя 230^0 , угол падения слоя 31^0
31	Темно серые известняки с прослойями глин (возраст - K). Азимут падения слоя 255^0 , угол падения слоя 32^0
32	Темно серые известняки с прослойями глин (возраст - K). Азимут падения слоя 260^0 , Угол падения слоя 32^0
33	Темно серые известняки с прослойями глин (возраст - K). Азимут падения слоя 260^0 , Угол падения слоя 31^0
34	Темно серые известняки с прослойями глин (возраст - K).
35	Темно серые известняки с прослойями глин (возраст - K). Азимут падения слоя 330^0 , Угол падения слоя 33^0
36	Темно серые известняки с прослойями глин (возраст - K). Азимут падения слоя 300^0 , Угол падения слоя 35^0
37	Темно серые известняки с прослойями глин (возраст - K). Азимут падения слоя 270^0 , Угол падения слоя 35^0

9-variant (3)
Massstab 1:100000



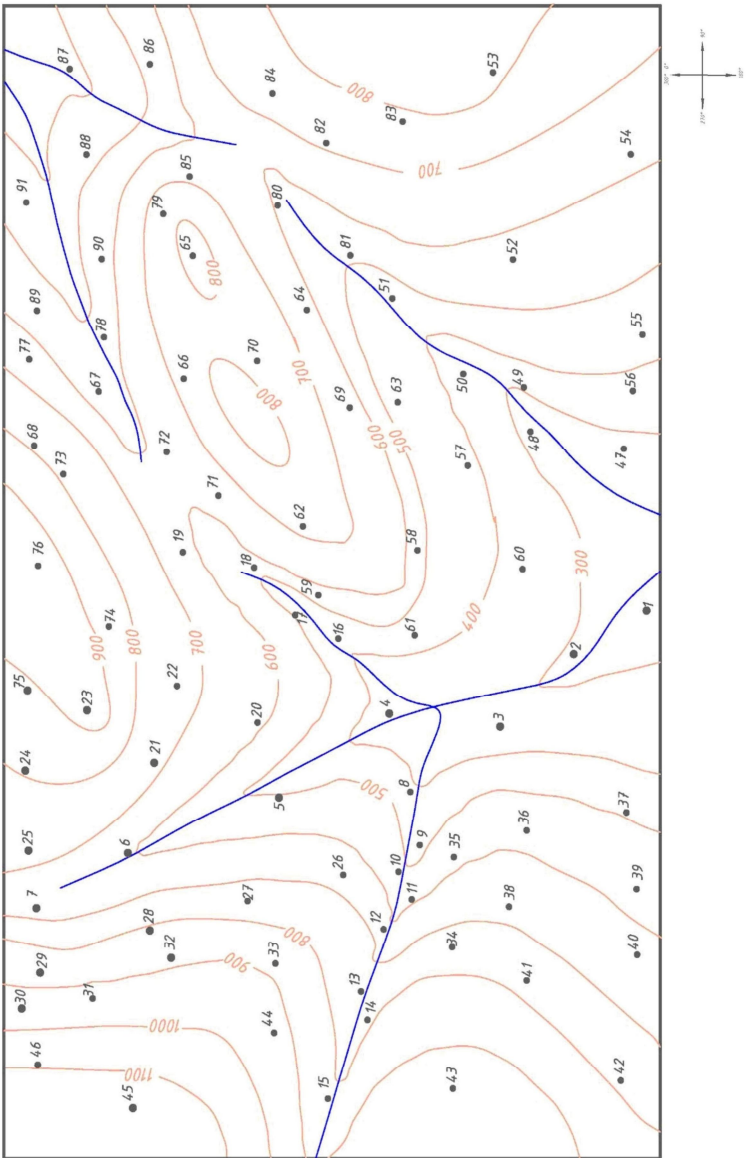
10-variant

Kuzatuv nuqtasi	Kuzatuv nuqtasidan olingan ma'lumotlar
1	Och kulrang mergellar (yoshi - o'rtal J). Qatlamning yotish azimuti 38^0 , yotish burchagi 30^0 .
2	Och kulrang mergellar (yoshi - o'rtal J). Qatlamning yotish azimuti 40^0 , yotish burchagi 30^0 .
3	To'q kulrang gillar (yoshi - yuqori J). Qatlamning yotish azimuti 30^0 , yotish burchagi 27^0 .
4	To'q kulrang gillar (yoshi - yuqori J). Qatlamning yotish azimuti 30^0 , yotish burchagi 25^0 .
5	Sinklinal o'qi. Bu yerda kulrang alevrolitlar (yoshi - quyi K) tarqalgan.
6	5 nuqtadagi sinklinalning davomi. Qatlam kulrang alevrolitlar (yoshi - quyi K) dan tashkil topgan.
7	Kulrang alevrolitlar (yoshi - quyi K). Qatlamning yotish azimuti 27^0 , yotish burchagi 23^0 .
8	Kulrang alevrolitlar (yoshi - quyi K). Qatlamning yotish azimuti 32^0 , yotish burchagi 25^0 .
9	Kulrang qumtoshlar (yoshi - yuqori K). Qatlamning yotish azimuti 55^0 , yotish burchagi 28^0 .
10	Kulrang qumtoshlar (yoshi - yuqori K). Qatlamning yotish azimuti 80^0 , yotish burchagi 31^0 .
11	Kulrang qumtoshlar (yoshi - yuqori K). Qatlamning yotish azimuti 20^0 , yotish burchagi 28^0 .
12	Kulrang alevrolitlar (yoshi - quyi K). Qatlamning yotish azimuti 37^0 , yotish burchagi 26^0 .
13	Kulrang alevrolitlar (yoshi - quyi K). Qatlamning yotish azimuti 37^0 , yotish burchagi 26^0 .
14	Kulrang alevrolitlar (yoshi - quyi K). Qatlamning yotish azimuti 41^0 , yotish burchagi 28^0 .
15	Kulrang alevrolitlar (yoshi - quyi K). Qatlamning yotish azimuti 90^0 , yotish burchagi 31^0 .
16	To'q kulrang gillar (yoshi - yuqori J). Qatlamning yotish azimuti 80^0 , yotish burchagi 27^0 .

3-вариант

Точки наблюдений	Геологические данные точек наблюдений
1	Доломиты серого цвета (возраст - J). Азимут падения слоя 15^0 , Угол падения слоя 35^0 .
2	Доломиты серого цвета (возраст - J). Азимут падения слоя 180^0 , Угол падения слоя 35^0 .
3	Доломиты серого цвета (возраст - J). Здесь проходит ось антиклинали. Азимут простирации 90^0 .
4	Доломиты серого цвета (возраст - J). Азимут падения слоя 15^0 , угол падения слоя 35^0 .
5	Темно серые известняки с прослойми глин (возраст - K). Азимут падения слоя 20^0 , угол падения слоя 33^0 .
6	Темно серые известняки с прослойми глин (возраст - K). Азимут падения слоя 20^0 , угол падения слоя 31^0 .
7	Темно серые известняки с прослойми глин (возраст - K). Азимут падения слоя 25^0 , угол падения слоя 33^0 .
8	Темно серые известняки с прослойми глин (возраст - K). Азимут падения слоя 30^0 , угол падения слоя 32^0 .
9	Темно серые известняки с прослойми глин (возраст - K). Азимут падения слоя 15^0 , угол падения слоя 35^0 .
10	Темно серые известняки с прослойми глин (возраст - K). Здесь проходит ось антиклинали. Азимут простирации 80^0 .
11	Темно серые известняки с прослойми глин (возраст -). Азимут падения слоя 165^0 , угол падения слоя 33^0 .
12	Темно серые известняки с прослойми глин (возраст - K). Азимут падения слоя 150^0 , угол падения слоя 32^0 .
13	Темно серые известняки с прослойми глин (возраст - K). Азимут падения слоя 155^0 , угол падения слоя 31^0 .
14	Алевролиты и глины серого, светло-серого цвета (возраст - палеоген). Азимут падения слоя 150^0 , угол падения слоя 31^0 .
15	Алевролиты и глины серого, светло-серого цвета (возраст - палеоген). Азимут падения слоя 147^0 , угол падения слоя 31^0 .
16	Алевролиты и глины серого, светло-серого цвета (возраст - палеоген). Азимут падения слоя 145^0 , угол падения слоя 33^0 .
17	Алевролиты и глины серого, светло-серого цвета (возраст -

2-variant (2)
Masshtab 1:100000



17	To‘q kulrang gillar (yoshi - yuqori J). Qatlamning yotish azimuti 42^0 , yotish burchagi 31^0 .
18	To‘q kulrang gillar (yoshi - yuqori J). Qatlamning yotish azimuti 30^0 , yotish burchagi 27^0 .
19	To‘q kulrang gillar (yoshi - yuqori J). Qatlamning yotish azimuti 45^0 , yotish burchagi 27^0 .
20	To‘q kulrang gillar (yoshi - yuqori J). Qatlamning yotish azimuti 350^0 , yotish burchagi 32^0 .
21	Och kulrang mergellar (yoshi - o‘rta J). Qatlamning yotish azimuti 350^0 , yotish burchagi 30^0 .
22	Och kulrang mergellar (yoshi - o‘rta J). Qatlamning yotish azimuti 20^0 , yotish burchagi 30^0 .
23	Och kulrang mergellar (yoshi - o‘rta J). Qatlamning yotish azimuti 48^0 , yotish burchagi 30^0 .
24	To‘q kulrang gillar (yoshi - yuqori J). Qatlamning yotish azimuti 95^0 , yotish burchagi 27^0 .
25	To‘q kulrang gillar (yoshi - yuqori J). Qatlamning yotish azimuti 80^0 , yotish burchagi 27^0 .
26	To‘q kulrang gillar (yoshi - yuqori J). Qatlamning yotish azimuti 80^0 , yotish burchagi 28^0 .
27	To‘q kulrang gillar (yoshi - yuqori J). Qatlamning yotish azimuti 40^0 , yotish burchagi 28^0 .
28	Kulrang alevrolitlar (yoshi - quyi K). Qatlamning yotish azimuti 100^0 , yotish burchagi 33^0 .
29	Kulrang alevrolitlar (yoshi - quyi K). Qatlamning yotish azimuti 77^0 , yotish burchagi 32^0 .
30	Kulrang alevrolitlar (yoshi - quyi K). Qatlamning yotish azimuti 90^0 , yotish burchagi 33^0 .
31	Kulrang alevrolitlar (yoshi - quyi K). Qatlamning yotish azimuti 80^0 , yotish burchagi 28^0 .
32	Kulrang alevrolitlar (yoshi - quyi K). Qatlamning yotish azimuti 100^0 , yotish burchagi 33^0 .
33	Kulrang qumtoshlar (yoshi - yuqori K). Qatlamning yotish azimuti 100^0 , yotish burchagi 28^0 .
34	Kulrang qumtoshlar (yoshi - yuqori K). Qatlamning yotish azimuti 90^0 , yotish burchagi 30^0 .
35	Kulrang qumtoshlar (yoshi - yuqori K). Qatlamning yotish azimuti 320^0 , yotish burchagi 28^0 .

36	Kulrang qumtoshlar (yoshi - yuqori K). Qatlamning yotish azimuti 320^0 , yotish burchagi 28^0 .
37	Kulrang qumtoshlar (yoshi - yuqori K). Qatlamning yotish azimuti 120^0 , yotish burchagi 25^0 .
38	Kulrang qumtoshlar (yoshi - yuqori K). Qatlamning yotish azimuti 180^0 , yotish burchagi 31^0 .
39	Kulrang qumtoshlar (yoshi - yuqori K). Qatlamning yotish azimuti 45^0 , yotish burchagi 28^0 .
40	Kulrang qumtoshlar (yoshi - yuqori K). Qatlamning yotish azimuti 10^0 , yotish burchagi 27^0 .
41	Kulrang qumtoshlar (yoshi - yuqori K). Qatlamning yotish azimuti 60^0 , yotish burchagi 28^0 .
42	Kulrang qumtoshlar (yoshi - yuqori K). Qatlamning yotish azimuti 140^0 , yotish burchagi 35^0 .
43	Kulrang qumtoshlar (yoshi - yuqori K). Qatlamning yotish azimuti 340^0 , yotish burchagi 28^0 .
44	Kulrang qumtoshlar (yoshi - yuqori K). Qatlamning yotish azimuti 30^0 , yotish burchagi 31^0 .
45	Kulrang qumtoshlar (yoshi - yuqori K). Qatlamning yotish azimuti 30^0 , yotish burchagi 27^0 .
46	Kulrang qumtoshlar (yoshi - yuqori K). Qatlamning yotish azimuti 340^0 , yotish burchagi 30^0 .
47	Kulrang qumtoshlar (yoshi - yuqori K). Qatlamning yotish azimuti 55^0 , yotish burchagi 28^0 .
48	Kulrang qumtoshlar (yoshi - yuqori K). Qatlamning yotish azimuti 105^0 , yotish burchagi 26^0 .
49	Och kulrang mergellar (yoshi - o'rta J). Qatlamning yotish azimuti 38^0 , yotish burchagi 30^0 .
50	Och kulrang mergellar (yoshi - o'rta J). Qatlamning yotish azimuti 38^0 , yotish burchagi 33^0 .
51	Och kulrang mergellar (yoshi - o'rta J). Qatlamning yotish azimuti 350^0 , yotish burchagi 30^0 .
52	Och kulrang mergellar (yoshi - o'rta J). Qatlamning yotish azimuti 38^0 , yotish burchagi 31^0 .
53	Och kulrang mergellar (yoshi - o'rta J). Qatlamning yotish azimuti 25^0 , yotish burchagi 33^0 .
54	Och kulrang mergellar (yoshi - o'rta J). Qatlamning yotish azimuti 35^0 , yotish burchagi 30^0 .
55	To'q kulrang gillar (yoshi - yuqori J). Qatlamning yotish azimuti 30^0 ,

	падения слоя 240^0 , Угол падения слоя 31^0
77	Мел с прослойми глины (возраст - D). Азимут падения слоя 255^0 , Угол падения слоя 28^0 .
78	Мел с прослойми глины (возраст - D). Азимут падения слоя 255^0 , Угол падения слоя 28^0 .
79	Мел с прослойми глины (возраст - D). Азимут падения слоя 230^0 , Угол падения слоя 28^0 .
80	Мел с прослойми глины (возраст - D). Азимут падения слоя 230^0 , Угол падения слоя 28^0 .
81	Мел с прослойми глины (возраст - D). Азимут падения слоя 300^0 , Угол падения слоя 28^0 .
82	Мел с прослойми глины (возраст - D). Азимут падения слоя 230^0 , Угол падения слоя 28^0 .
83	Мел с прослойми глины (возраст - D). Азимут падения слоя 240^0 , Угол падения слоя 28^0 .
84	Сероцветные песчаники (возраст - S). Азимут падения слоя 230^0 , Угол падения слоя 28^0 .
85	Сероцветные песчаники (возраст - S). Азимут падения слоя 275^0 , Угол падения слоя 28^0 .
86	Сероцветные песчаники (возраст - S).
87	Сероцветные песчаники (возраст - S).
88	Сероцветные песчаники (возраст - S). Азимут падения слоя 230^0 , Угол падения слоя 28^0 .
89	Сероцветные песчаники (возраст - S). Азимут падения слоя 270^0 , Угол падения слоя 28^0 .
90	Сероцветные песчаники (возраст - S). Азимут падения слоя 210^0 , Угол падения слоя 28^0 .
91	Сероцветные песчаники (возраст - S).

	падения слоя 100 ⁰ , Угол падения слоя 31 ⁰
56	Мел с прослойми глины (возраст - D). Азимут падения слоя 95 ⁰ , Угол падения слоя 28 ⁰ .
57	Мел с прослойми глины (возраст - D). Азимут падения слоя 45 ⁰ , Угол падения слоя 28 ⁰ .
58	Мел с прослойми глины (возраст - D). Азимут падения слоя 45 ⁰ , Угол падения слоя 28 ⁰ .
59	Мел с прослойми глины (возраст - D). Азимут падения слоя 30 ⁰ , Угол падения слоя 28 ⁰ .
60	Сероцветные песчаники (возраст - S). Азимут падения слоя 40 ⁰ , Угол падения слоя 28 ⁰ .
61	Сероцветные песчаники (возраст - S). Азимут падения слоя 105 ⁰ , Угол падения слоя 28 ⁰ .
62	Мергели темносерого цвета (возраст - нижний карбон). Азимут падения слоя 50 ⁰ , Угол падения слоя 31 ⁰
63	Мергели темносерого цвета (возраст - нижний карбон).
64	Мергели темносерого цвета (возраст-нижний карбон). Азимут падения слоя 280 ⁰ , Угол падения слоя 31 ⁰
65	Мергели темносерого цвета (возраст-нижний карбон). Азимут падения слоя 245 ⁰ , Угол падения слоя 31 ⁰
66	Мергели темносерого цвета (возраст-нижний карбон). Азимут падения слоя 245 ⁰ , Угол падения слоя 31 ⁰
67	Мергели темносерого цвета (возраст-нижний карбон). Азимут падения слоя 260 ⁰ , Угол падения слоя 31 ⁰
68	Мергели темносерого цвета (возраст-нижний карбон). Азимут падения слоя 240 ⁰ , Угол падения слоя 31 ⁰
69	Глины с прослойками угля (возраст - средний карбон).
70	Глины с прослойками угля (возраст-средний карбон). Азимут падения слоя 245 ⁰ , Угол падения слоя 31 ⁰
71	Глины с прослойками угля (возраст - средний карбон). Азимут падения слоя 90 ⁰ , Угол падения слоя 31 ⁰
72	Глины с прослойками угля (возраст - средний карбон).
73	Глины с прослойками угля (возраст - средний карбон). Азимут падения слоя 240 ⁰ , Угол падения слоя 31 ⁰
74	Глины с прослойками угля (возраст - средний карбон). Азимут падения слоя 40 ⁰ , Угол падения слоя 31 ⁰
75	Глины с прослойками угля (возраст - средний карбон). Азимут падения слоя 45 ⁰ , Угол падения слоя 31 ⁰
76	Глины с прослойками угля (возраст - средний карбон). Азимут

	yotish burchagi 29 ⁰ .
56	To‘q kulrang gillar (yoshi - yuqori J). Qatlamning yotish azimuti 40 ⁰ , yotish burchagi 27 ⁰ .
57	To‘q kulrang gillar (yoshi - yuqori J). Qatlamning yotish azimuti 35 ⁰ , yotish burchagi 27 ⁰ .
58	To‘q kulrang gillar (yoshi - yuqori J). Qatlamning yotish azimuti 27 ⁰ , yotish burchagi 28 ⁰ .
59	To‘q kulrang gillar (yoshi - yuqori J). Qatlamning yotish azimuti 20 ⁰ , yotish burchagi 30 ⁰ .
60	To‘q kulrang gillar (yoshi - yuqori J). Qatlamning yotish azimuti 25 ⁰ , yotish burchagi 30 ⁰ .
61	To‘q kulrang gillar (yoshi - yuqori J). Qatlamning yotish azimuti 25 ⁰ , yotish burchagi 27 ⁰ .
62	To‘q kulrang gillar (yoshi - yuqori J). Qatlamning yotish azimuti 70 ⁰ , yotish burchagi 25 ⁰ .
63	Kulrang alevrolitlar (yoshi - quyi K). Qatlamning yotish azimuti 85 ⁰ , yotish burchagi 29 ⁰ .
64	Kulrang alevrolitlar (yoshi - quyi K). Qatlamning yotish azimuti 70 ⁰ , yotish burchagi 27 ⁰ .
65	Kulrang alevrolitlar (yoshi - quyi K). Qatlamning yotish azimuti 60 ⁰ , yotish burchagi 27 ⁰ .
66	Kulrang alevrolitlar (yoshi - quyi K). Qatlamning yotish azimuti 27 ⁰ , yotish burchagi 30 ⁰ .
67	Kulrang alevrolitlar (yoshi - quyi K). Qatlamning yotish azimuti 45 ⁰ , yotish burchagi 31 ⁰ .
68	To‘q kulrang gillar (yoshi - yuqori J). Qatlamning yotish azimuti 65 ⁰ , yotish burchagi 27 ⁰ .
69	To‘q kulrang gillar (yoshi - yuqori J). Qatlamning yotish azimuti 350 ⁰ , yotish burchagi 27 ⁰ .
70	To‘q kulrang gillar (yoshi - yuqori J). Qatlamning yotish azimuti 350 ⁰ , yotish burchagi 28 ⁰ .
71	Kulrang alevrolitlar (yoshi - quyi K). Qatlamning yotish azimuti 45 ⁰ , yotish burchagi 31 ⁰ .
72	To‘q kulrang gillar (yoshi - yuqori J). Qatlamning yotish azimuti 330 ⁰ , yotish burchagi 27 ⁰ .
73	Kulrang alevrolitlar (yoshi - quyi K). Qatlamning yotish azimuti 340 ⁰ , yotish burchagi 27 ⁰ .
74	Kulrang alevrolitlar (yoshi - quyi K). Qatlamning yotish azimuti 15 ⁰ ,

	yotish burchagi 28^0 .
75	Kulrang alevrolitlar (yoshi - quyi K). Qatlamning yotish azimuti 45^0 , yotish burchagi 28^0 .
76	Och kulrang mergellar (yoshi - o'rtta J). Qatlamning yotish azimuti 100^0 , yotish burchagi 30^0 .
77	Och kulrang mergellar (yoshi - o'rtta J). Qatlamning yotish azimuti 90^0 , yotish burchagi 32^0 .
78	Och kulrang mergellar (yoshi - o'rtta J). Qatlamning yotish azimuti 38^0 , yotish burchagi 33^0 .
79	Och kulrang mergellar (yoshi - o'rtta J). Qatlamning yotish azimuti 42^0 , yotish burchagi 30^0 .
80	Och kulrang mergellar (yoshi - o'rtta J). Qatlamning yotish azimuti 50^0 , yotish burchagi 30^0 .
81	To'q kulrang gillar (yoshi - yuqori J). Qatlamning yotish azimuti 120^0 , yotish burchagi 29^0 .
82	To'q kulrang gillar (yoshi - yuqori J). Qatlamning yotish azimuti 110^0 , yotish burchagi 32^0 .
83	To'q kulrang gillar (yoshi - yuqori J). Qatlamning yotish azimuti 100^0 , yotish burchagi 29^0 .
84	To'q kulrang gillar (yoshi - yuqori J). Qatlamning yotish azimuti 120^0 , yotish burchagi 27^0 .
85	Kulrang alevrolitlar (yoshi - quyi K). Qatlamning yotish azimuti 90^0 , yotish burchagi 23^0 .
86	To'q kulrang gillar (yoshi - yuqori J). Qatlamning yotish azimuti 140^0 , yotish burchagi 28^0 .
87	To'q kulrang gillar (yoshi - yuqori J). Qatlamning yotish azimuti 90^0 , yotish burchagi 28^0 .
88	Kulrang alevrolitlar (yoshi - quyi K). Qatlamning yotish azimuti 127^0 , yotish burchagi 23^0 .
89	Kulrang alevrolitlar (yoshi - quyi K). Qatlamning yotish azimuti 110^0 , yotish burchagi 23^0 .
90	Kulrang qumtoshlar (yoshi - yuqori K). Qatlamning yotish azimuti 105^0 , yotish burchagi 28^0 .
91	Kulrang qumtoshlar (yoshi - yuqori K). Qatlamning yotish azimuti 115^0 , yotish burchagi 28^0 .
92	Kulrang alevrolitlar (yoshi - quyi K). Qatlamning yotish azimuti 127^0 , yotish burchagi 23^0 .
93	Kulrang alevrolitlar (yoshi - quyi K). Qatlamning yotish azimuti 70^0 , yotish burchagi 23^0 .

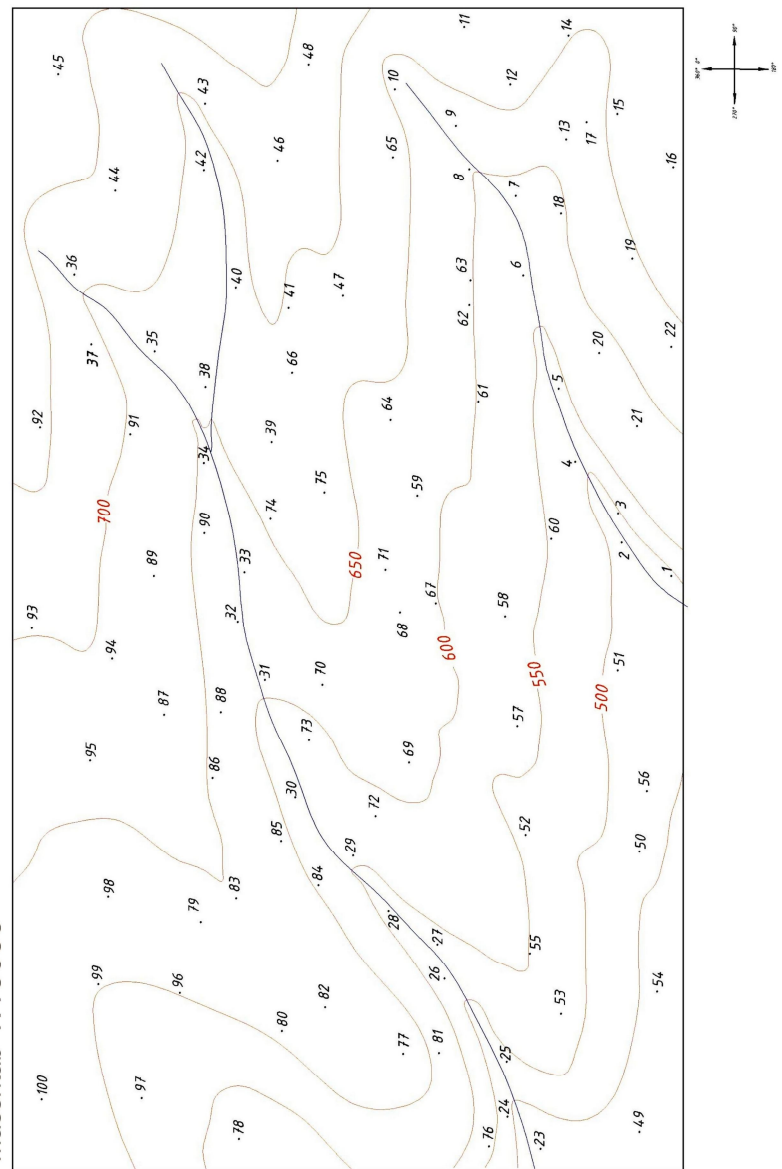
	265^0 , Угол падения слоя 28^0 .
37	Мел с прослойками глины (возраст - D). Азимут падения слоя 270^0 , Угол падения слоя 28^0 .
38	Мергели темносерого цвета (возраст - нижний карбон). Азимут падения слоя 270^0 , Угол падения слоя 31^0
39	Мергели темносерого цвета (возраст-нижний карбон). Азимут падения слоя 265^0 , Угол падения слоя 31^0
40	Глины с прослойками угля (возраст-средний карбон). Азимут падения слоя 270^0 , Угол падения слоя 31^0
41	Глины с прослойками угля (возраст-средний карбон). Азимут падения слоя 270^0 , Угол падения слоя 31^0
42	Глины с прослойками угля (возраст-средний карбон). Азимут падения слоя 275^0 , Угол падения слоя 31^0
43	Глины с прослойками угля (возраст-средний карбон). Азимут падения слоя 270^0 , Угол падения слоя 31^0
44	Глины с прослойками угля (возраст-средний карбон). Азимут падения слоя 280^0 , Угол падения слоя 31^0
45	Глины с прослойками угля (возраст-средний карбон). Азимут падения слоя 260^0 , Угол падения слоя 31^0
46	Глины с прослойками угля (возраст-средний карбон). Азимут падения слоя 285^0 , Угол падения слоя 31^0
47	Сероцветные песчаники (возраст - S). Азимут падения слоя 90^0 , Угол падения слоя 28^0 .
48	Сероцветные песчаники (возраст - S). Азимут падения слоя 50^0 , Угол падения слоя 28^0 .
49	Мел с прослойками глины (возраст - D). Азимут падения слоя 35^0 , Угол падения слоя 28^0 .
50	Мергели темносерого цвета (возраст - нижний карбон). Азимут падения слоя 50^0 , Угол падения слоя 31^0
51	Мергели темносерого цвета (возраст-нижний карбон). Азимут падения слоя 225^0 , Угол падения слоя 31^0
52	Мергелт темносерого цвета (возраст-нижний карбон). Азимут падения слоя 70^0 , Угол падения слоя 31^0
53	Мергели темносерого цвета (возраст-нижний карбон). Азимут падения слоя 210^0 , Угол падения слоя 31^0
54	Мергели темносерого цвета (возраст-нижний карбон). Азимут падения слоя 260^0 , Угол падения слоя 31^0
55	Мергели темносерого цвета (возраст-нижний карбон). Азимут

18	Мергели темносерого цвета (возраст - нижний карбон).Азимут падения слоя 45 ⁰ ,Угол падения слоя 31 ⁰
19	Мергели темносерого цвета (возраст - нижний карбон).Азимут падения слоя 50 ⁰ ,Угол падения слоя 31 ⁰
20	Сероцветные песчаники (возраст - S). Азимут падения слоя 30 ⁰ , Угол падения слоя 28 ⁰ .
21	Мел с прослойми глины (возраст - D). Азимут падения слоя 45 ⁰ , Угол падения слоя 28 ⁰ .
22	Контакт. На юго-западе Мел с прослойми глины (возраст - D) , на севера-востоке Мергели темносерого цвета (возраст - нижний карбон). Азимут падения слоя 50 ⁰ , Угол падения слоя 31 ⁰ .
23	Мергели темносерого цвета (возраст - нижний карбон).Азимут падения слоя 45 ⁰ ,Угол падения слоя 31 ⁰
24	Мергели темносерого цвета (возраст - нижний карбон).Азимут падения слоя 45 ⁰ ,Угол падения слоя 31 ⁰
25	Мел с прослойми глины (возраст - D). Азимут падения слоя 40 ⁰ , Угол падения слоя 28 ⁰ .
26	Мел с прослойми глины (возраст - D). Азимут падения слоя 220 ⁰ , Угол падения слоя 28 ⁰ .
27	Мел с прослойми глины (возраст - D). Азимут падения слоя 260 ⁰ , Угол падения слоя 28 ⁰ .
28	Мел с прослойми глины (возраст - D). Азимут падения слоя 260 ⁰ , Угол падения слоя 28 ⁰ .
29	Мел с прослойми глины (возраст - D). Азимут падения слоя 370 ⁰ , Угол падения слоя 28 ⁰ .
30	Мергели темносерого цвета (возраст-нижний карбон).Азимут падения слоя 280 ⁰ ,Угол падения слоя 31 ⁰
31	Мергели темносерого цвета (возраст-нижний карбон).Азимут падения слоя 260 ⁰ ,Угол падения слоя 31 ⁰
32	Мергели темносерого цвета (возраст-нижний карбон).Азимут падения слоя 260 ⁰ ,Угол падения слоя 31 ⁰
33	Мергели темносерого цвета (возраст-нижний карбон).Азимут падения слоя 275 ⁰ ,Угол падения слоя 31 ⁰
34	Мергели темносерого цвета (возраст-нижний карбон).Азимут падения слоя 260 ⁰ ,Угол падения слоя 31 ⁰
35	Мел с прослойми глины (возраст - D). Азимут падения слоя 255 ⁰ , Угол падения слоя 28 ⁰ .
36	Мел с прослойми глины (возраст - D). Азимут падения слоя

94	Kulrang alevrolitlar (yoshi - quyi K). Qatlamning yotish azimuti 80 ⁰ , yotish burchagi 23 ⁰ .
95	To‘q kulrang gillar (yoshi - yuqori J). Qatlamning yotish azimuti 350 ⁰ , yotish burchagi 27 ⁰ .
96	To‘q kulrang gillar (yoshi - yuqori J). Qatlamning yotish azimuti 50 ⁰ , yotish burchagi 30 ⁰ .
97	To‘q kulrang gillar (yoshi - yuqori J). Qatlamning yotish azimuti 15 ⁰ , yotish burchagi 27 ⁰ .
98	To‘q kulrang gillar (yoshi - yuqori J). Qatlamning yotish azimuti 330 ⁰ , yotish burchagi 28 ⁰ .
99	Kulrang alevrolitlar (yoshi - quyi K). Qatlamning yotish azimuti 10 ⁰ , yotish burchagi 31 ⁰ .
100	Kulrang alevrolitlar (yoshi - quyi K). Qatlamning yotish azimuti 10 ⁰ , yotish burchagi 33 ⁰ .

2-вариант

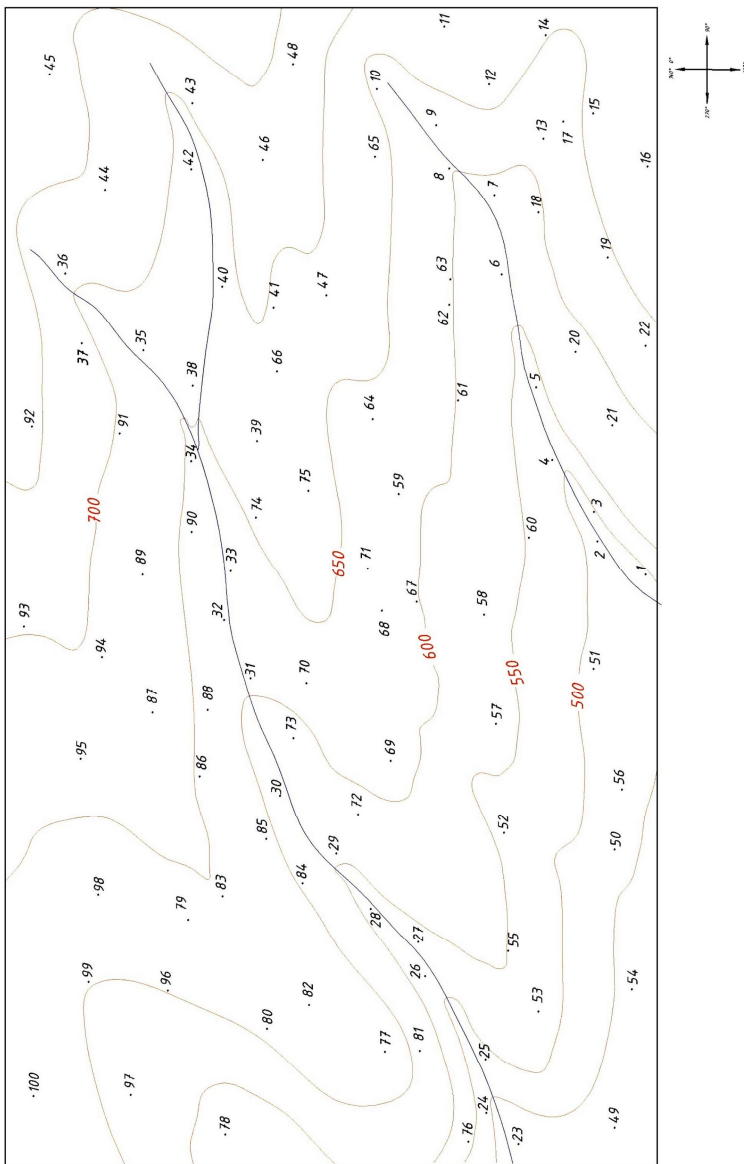
10-variant (1)
Massstab 1:10000



Точки наблюдений	Геологические данные точек наблюдений
1	Сероцветные песчаники (возраст - S). Азимут падения слоя 230^0 , Угол падения слоя 28^0 .
2	Сероцветные песчаники (возраст - S). Азимут падения слоя 230^0 , Угол падения слоя 30^0 .
3	Сероцветные песчаники (возраст - S). Азимут падения слоя 250^0 , Угол падения слоя 28^0 .
4	Сероцветные песчаники (возраст - S). Азимут падения слоя 35^0 , Угол падения слоя 28^0 .
5	Сероцветные песчаники (возраст - S). Азимут падения слоя 240^0 , Угол падения слоя 28^0 .
6	Сероцветные песчаники (возраст - S).
7	Сероцветные песчаники (возраст - S).
8	Сероцветные песчаники (возраст - S). Азимут падения слоя 230^0 , Угол падения слоя 28^0 .
9	Сероцветные песчаники (возраст - S). Азимут падения слоя 220^0 , Угол падения слоя 28^0 .
10	Мел с прослойями глины (возраст - D). Азимут падения слоя 260^0 , Угол падения слоя 28^0 .
11	Мел с прослойями глины (возраст - D). Азимут падения слоя 250^0 , Угол падения слоя 28^0 .
12	Мергели темносерого цвета (возраст - нижний карбон). Азимут падения слоя 260^0 , Угол падения слоя 31^0 .
13	Мергели темносерого цвета (возраст-нижний карбон). Азимут падения слоя 235^0 , Угол падения слоя 31^0 .
14	Глины с прослойками угля (возраст-средний карбон). Азимут падения слоя 240^0 , Угол падения слоя 31^0 .
15	Глины с прослойками угля (возраст-средний карбон). Азимут падения слоя 250^0 , Угол падения слоя 31^0 .
16	Сероцветные песчаники (возраст - S). Азимут падения слоя 45^0 , Угол падения слоя 28^0 .
17	Мел с прослойями глины (возраст - D). Азимут падения слоя 40^0 , Угол падения слоя 28^0 .

11-variant

1-variant (1)
Mashtab 1:100000



Kuzatuv nuqtasidan olingan ma'lumotlar

Kuzatuv nuqtasi	
1	Dolomitlar (yoshi - yuqori K). Qatlamning yotish azimuti 230^0 , yotish burchagi 28^0 .
2	Dolomitlar (yoshi - yuqori K). Qatlamning yotish azimuti 230^0 , yotish burchagi 30^0 .
3	Dolomitlar (yoshi - yuqori K). Qatlamning yotish azimuti 250^0 , yotish burchagi 28^0 .
4	Dolomitlar (yoshi - yuqori K). Qatlamning yotish azimuti 35^0 , yotish burchagi 28^0 .
5	Dolomitlar (yoshi - yuqori K). Qatlamning yotish azimuti 240^0 , yotish burchagi 28^0 .
6	Dolomitlar (yoshi - yuqori K).
7	Dolomitlar (yoshi - yuqori K).
8	Dolomitlar (yoshi - yuqori K). Qatlamning yotish azimuti 230^0 , yotish burchagi 28^0 .
9	Dolomitlar (yoshi - yuqori K). Qatlamning yotish azimuti 220^0 , yotish burchagi 28^0 .
10	Och rangli gillar (yoshi - Paleosen). Qatlamning yotish azimuti 260^0 , yotish burchagi 28^0 .
11	Och rangli gillar (yoshi - Paleosen). Qatlamning yotish azimuti 250^0 , yotish burchagi 28^0 .
12	Qumtoshlar (yoshi - Eosen). Qatlamning yotish azimuti 260^0 , yotish burchagi 31^0 .
13	Qumtoshlar (yoshi - Eosen). Qatlamning yotish azimuti 235^0 , yotish burchagi 31^0 .
14	Ohaktoshlar (yoshi - Oligosen). Qatlamning yotish azimuti 240^0 , yotish burchagi 31^0 .
15	Ohaktoshlar (yoshi - Oligosen). Qatlamning yotish azimuti 250^0 , yotish burchagi 31^0 .
16	Dolomitlar (yoshi - yuqori K). Qatlamning yotish azimuti 45^0 , yotish burchagi 28^0 .
17	Och rangli gillar (yoshi - Paleosen). Qatlamning yotish azimuti 40^0 ,

	yotish burchagi 28^0 .
18	Qumtoshlar (yoshi - Eotsen). Qatlamning yotish azimuti 45^0 , yotish burchagi 31^0 .
19	Qumtoshlar (yoshi - Eotsen). Qatlamning yotish azimuti 50^0 , yotish burchagi 31^0 .
20	Dolomitlar (yoshi - yuqori K). Qatlamning yotish azimuti 30^0 , yotish burchagi 28^0 .
21	Och rangli gillar (yoshi - Paleosen). Qatlamning yotish azimuti 45^0 , yotish burchagi 28^0 .
22	Janubiy-g'arbda och rangli gillar (yoshi - Paleosen) qatlamlari bilan shimoli-sharqda qumtoshlar (yoshi- Эосен) kontakti. Qatlamning yotish azimuti 50^0 , yotish burchagi 31^0 .
23	Qumtoshlar (yoshi - Eosen). Qatlamning yotish azimuti 45^0 , yotish burchagi 31^0 .
24	Qumtoshlar (yoshi - Eosen). Qatlamning yotish azimuti 45^0 , yotish burchagi 31^0 .
25	Och rangli gillar (yoshi - Paleosen). Qatlamning yotish azimuti 40^0 , yotish burchagi 28^0 .
26	Och rangli gillar (yoshi - Paleosen). Qatlamning yotish azimuti 220^0 , yotish burchagi 28^0 .
27	Och rangli gillar (yoshi - Paleosen). Qatlamning yotish azimuti 260^0 , yotish burchagi 28^0 .
28	Och rangli gillar (yoshi - Paleosen). Qatlamning yotish azimuti 260^0 , yotish burchagi 28^0 .
29	Och rangli gillar (yoshi - Paleosen). Qatlamning yotish azimuti 270^0 , yotish burchagi 28^0 .
30	Qumtoshlar (yoshi - Eosen). Qatlamning yotish azimuti 280^0 , yotish burchagi 31^0 .
31	Qumtoshlar (yoshi - Eosen). Qatlamning yotish azimuti 260^0 , yotish burchagi 31^0 .
32	Qumtoshlar (yoshi - Eosen). Qatlamning yotish azimuti 260^0 , yotish burchagi 31^0 .
33	Qumtoshlar (yoshi - Eosen). Qatlamning yotish azimuti 275^0 , yotish burchagi 31^0 .
34	Qumtoshlar (yoshi - Eosen). Qatlamning yotish azimuti 260^0 , yotish burchagi 31^0 .
35	Och rangli gillar (yoshi - Paleosen). Qatlamning yotish azimuti 255^0 , yotish burchagi 28^0 .
36	Och rangli gillar (yoshi - Paleosen). Qatlamning yotish azimuti 265^0 ,

95	Песчаники бледно-серого цвета (возраст - J). Азимут падения слоя 350^0 , Угол падения слоя 27^0
96	Песчаники бледно-серого цвета (возраст - J). Азимут падения слоя 50^0 , Угол падения слоя 30^0 .
97	Песчаники бледно-серого цвета (возраст - J). Азимут падения слоя 15^0 , Угол падения слоя 27^0 .
98	Песчаники бледно-серого цвета (возраст - J). Азимут падения слоя 330^0 , Угол падения слоя 28^0
99	Глины темно-серого цвета (возраст - K). Азимут падения слоя 10^0 , Угол падения слоя 31^0 .
100	Глины темно-серого цвета (возраст - K). Азимут падения слоя 10^0 , Угол падения слоя 33^0 .

	45^0 , Угол падения слоя 28^0 .
76	Конгломераты красно-коричневого цвета (возраст - Т). Азимут падения слоя 100^0 , Угол падения слоя 30^0
77	Конгломераты красно-коричневого цвета (возраст - Т). Азимут падения слоя 90^0 , Угол падения слоя 32^0
78	Конгломераты красно-коричневого цвета (возраст - Т). Азимут падения слоя 38^0 , Угол падения слоя 33^0
79	Конгломераты красно-коричневого цвета (возраст - Т). Азимут падения слоя 42^0 , Угол падения слоя 30^0
80	Конгломераты красно-коричневого цвета (возраст - Т). Азимут падения слоя 50^0 , Угол падения слоя 30^0
81	Песчаники бледно-серого цвета (возраст - J). Азимут падения слоя 120^0 , Угол падения слоя 29^0
82	Песчаники бледно-серого цвета (возраст - J). Азимут падения слоя 110^0 , Угол падения слоя 32^0
83	Песчаники бледно-серого цвета (возраст - J). Азимут падения слоя 100^0 , Угол падения слоя 29^0
84	Песчаники бледно-серого цвета (возраст - J). Азимут падения слоя 120^0 , Угол падения слоя 27^0
85	Глины темно-серого цвета (возраст - K). Азимут падения слоя 90^0 , Угол падения слоя 23^0 .
86	Песчаники бледно-серого цвета (возраст - J). Азимут падения слоя 140^0 , Угол падения слоя 28^0 .
87	Песчаники бледно-серого цвета (возраст - J). Азимут падения слоя 90^0 , Угол падения слоя 28^0 .
88	Глины темно-серого цвета (возраст - K). Азимут падения слоя 127^0 , Угол падения слоя 23^0 .
89	Глины темно-серого цвета (возраст - K). Азимут падения слоя 110^0 , Угол падения слоя 23^0 .
90	Доломитизированные известняки серого цвета (возраст - палеоген). Азимут падения слоя 105^0 , Угол падения слоя 28^0 .
91	Доломитизированные известняки серого цвета (возраст - палеоген). Азимут падения слоя 115^0 , Угол падения слоя 28^0 .
92	Глины темно-серого цвета (возраст - K). Азимут падения слоя 127^0 , Угол падения слоя 23^0 .
93	Глины темно-серого цвета (возраст - K). Азимут падения слоя 70^0 , Угол падения слоя 23^0 .
94	Глины темно-серого цвета (возраст - K). Азимут падения слоя 80^0 , Угол падения слоя 23^0 .

	yotish burchagi 28^0 .
37	Och rangli gillar (yoshi - Paleosen). Qatlamning yotish azimuti 270^0 , yotish burchagi 28^0 .
38	Qumtoshlar (yoshi - Eosen). Qatlamning yotish azimuti 270^0 , yotish burchagi 31^0 .
39	Qumtoshlar (yoshi - Eosen). Qatlamning yotish azimuti 265^0 , yotish burchagi 31^0 .
40	Oxaktoshlar (yoshi - Oligosen). Qatlamning yotish azimuti 270^0 , yotish burchagi 31^0 .
41	Ohaktoshlar (yoshi - Oligosen). Qatlamning yotish azimuti 270^0 , yotish burchagi 31^0 .
42	Ohaktoshlar (yoshi - Oligosen). Qatlamning yotish azimuti 275^0 , yotish burchagi 31^0 .
43	Ohaktoshlar (yoshi - Oligosen). Qatlamning yotish azimuti 270^0 , yotish burchagi 31^0 .
44	Oxaktoshlar (yoshi - Oligosen). Qatlamning yotish azimuti 280^0 , yotish burchagi 31^0 .
45	Ohaktoshlar (yoshi - Oligosen). Qatlamning yotish azimuti 260^0 , yotish burchagi 31^0 .
46	Ohaktoshlar (yoshi - Oligosen). Qatlamning yotish azimuti 285^0 , yotish burchagi 31^0 .
47	Dolomitlar (yoshi - yuqori K). Qatlamning yotish azimuti 90^0 , yotish burchagi 28^0 .
48	Dolomitlar (yoshi - yuqori K). Qatlamning yotish azimuti 50^0 , yotish burchagi 28^0 .
49	Och rangli gillar (yoshi - Paleosen). Qatlamning yotish azimuti 35^0 , yotish burchagi 28^0 .
50	Qumtoshlar (yoshi - Эosen). Qatlamning yotish azimuti 50^0 , yotish burchagi 31^0 .
51	Qumtoshlar (yoshi - Эosen). Qatlamning yotish azimuti 225^0 , yotish burchagi 31^0 .
52	Qumtoshlar (yoshi - Эosen). Qatlamning yotish azimuti 70^0 , yotish burchagi 31^0 .
53	Qumtoshlar (yoshi - Эosen). Qatlamning yotish azimuti 210^0 , yotish burchagi 31^0 .
54	Qumtoshlar (yoshi - Эosen). Qatlamning yotish azimuti 260^0 , yotish burchagi 31^0 .
55	Qumtoshlar (yoshi - Эosen). Qatlamning yotish azimuti 100^0 , yotish burchagi 31^0 .

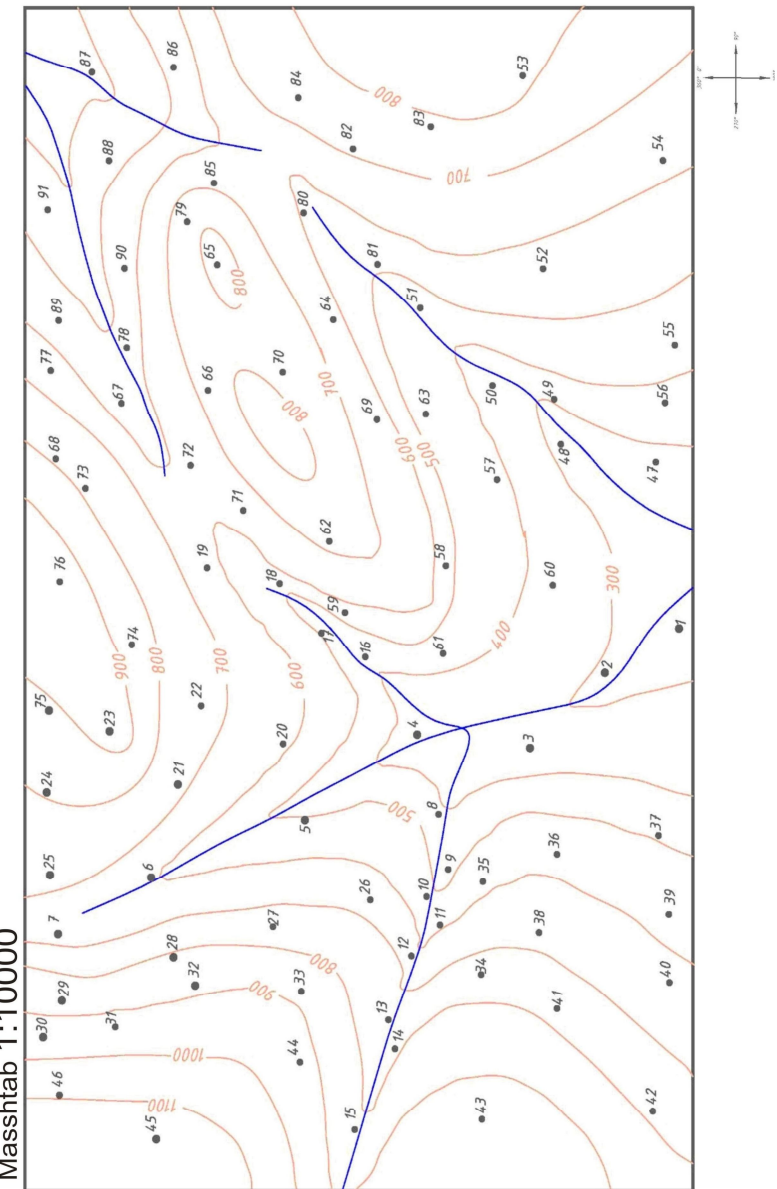
	burchagi 31°.
56	Och rangli gillar (yoshi - Paleosen). Qatlamning yotish azimuti 95°, yotish burchagi 28°.
57	Och rangli gillar (yoshi - Paleosen). Qatlamning yotish azimuti 45°, yotish burchagi 28°.
58	Och rangli gillar (yoshi - Paleosen). Qatlamning yotish azimuti 45°, yotish burchagi 28°.
59	Och rangli gillar (yoshi - Paleosen). Qatlamning yotish azimuti 30°, yotish burchagi 28°.
60	Dolomitlar (yoshi - yuqori K). Qatlamning yotish azimuti 40°, yotish burchagi 28°.
61	Dolomitlar (yoshi - yuqori K). Qatlamning yotish azimuti 105°, yotish burchagi 28°.
62	Qumtoshlar (yoshi - Эosen). Qatlamning yotish azimuti 50°, yotish burchagi 31°.
63	Qumtoshlar (yoshi - Эosen).
64	Qumtoshlar (yoshi - Эosen). Qatlamning yotish azimuti 280°, yotish burchagi 31°.
65	Qumtoshlar (yoshi - Эosen). Qatlamning yotish azimuti 245°, yotish burchagi 31°.
66	Qumtoshlar (yoshi - Эosen). Qatlamning yotish azimuti 245°, yotish burchagi 31°.
67	Qumtoshlar (yoshi - Эosen). Qatlamning yotish azimuti 260°, yotish burchagi 31°.
68	Qumtoshlar (yoshi - Эosen). Qatlamning yotish azimuti 240°, yotish burchagi 31°.
69	Ohaktoshlar (yoshi - Oligosen).
70	Ohaktoshlar (yoshi - Oligosen). Qatlamning yotish azimuti 245°, yotish burchagi 31°.
71	Ohaktoshlar (yoshi - Oligosen). Qatlamning yotish azimuti 90°, yotish burchagi 31°.
72	Ohaktoshlar (yoshi - Oligosen).
73	Ohaktoshlar (yoshi - Oligosen). Qatlamning yotish azimuti 240°, yotish burchagi 31°.
74	Ohaktoshlar (yoshi - Oligosen). Qatlamning yotish azimuti 40°, yotish burchagi 31°.
75	Ohaktoshlar (yoshi - Oligosen). Qatlamning yotish azimuti 45°, yotish burchagi 31°.
76	Ohaktoshlar (yoshi - Oligosen). Qatlamning yotish azimuti 240°,

	слоя 40°, Угол падения слоя 27°.
57	Песчаники бледно-серого цвета (возраст - J). Азимут падения слоя 35°, Угол падения слоя 27°.
58	Песчаники бледно-серого цвета (возраст - J). Азимут падения слоя 27°, Угол падения слоя 28°.
59	Песчаники бледно-серого цвета (возраст - J). Азимут падения слоя 20°, Угол падения слоя 30°.
60	Песчаники бледно-серого цвета (возраст - J). Азимут падения слоя 25°, Угол падения слоя 30°.
61	Песчаники бледно-серого цвета (возраст - J). Азимут падения слоя 25°, Угол падения слоя 27°.
62	Песчаники бледно-серого цвета (возраст - J). Азимут падения слоя 70°, Угол падения слоя 25°.
63	Глины темно-серого цвета (возраст - K). Азимут падения слоя 85°, Угол падения слоя 29°.
64	Глины темно-серого цвета (возраст - K). Азимут падения слоя 70°, Угол падения слоя 27°.
65	Глины темно-серого цвета (возраст - K). Азимут падения слоя 60°, Угол падения слоя 27°.
66	Глины темно-серого цвета (возраст - K). Азимут падения слоя 27°, Угол падения слоя 30°.
67	Глины темно-серого цвета (возраст - K). Азимут падения слоя 45°, Угол падения слоя 31°.
68	Песчаники бледно-серого цвета (возраст - J). Азимут падения слоя 65°, Угол падения слоя 27°
69	Песчаники бледно-серого цвета (возраст - J). Азимут падения слоя 350°, Угол падения слоя 27°
70	Песчаники бледно-серого цвета (возраст - J). Азимут падения слоя 350°, Угол падения слоя 28°
71	Глины темно-серого цвета (возраст - K). Азимут падения слоя 45°, Угол падения слоя 31°.
72	Песчаники бледно-серого цвета (возраст - J). Азимут падения слоя 330°, Угол падения слоя 27°
73	Глины темно-серого цвета (возраст - K). Азимут падения слоя 340°, Угол падения слоя 27°.
74	Глины темно-серого цвета (возраст - K). Азимут падения слоя 15°, Угол падения слоя 28°.
75	Глины темно-серого цвета (возраст - K). Азимут падения слоя

37	Доломитизированные известняки серого цвета (возраст - палеоген). Азимут падения слоя 120 ⁰ , Угол падения слоя 25 ⁰ .
38	Доломитизированные известняки серого цвета (возраст - палеоген). Азимут падения слоя 180 ⁰ , Угол падения слоя 31 ⁰ .
39	Доломитизированные известняки серого цвета (возраст - палеоген). Азимут падения слоя 45 ⁰ , Угол падения слоя 28 ⁰ .
40	Доломитизированные известняки серого цвета (возраст - палеоген). Азимут падения слоя 10 ⁰ , Угол падения слоя 27 ⁰ .
41	Доломитизированные известняки серого цвета (возраст - палеоген). Азимут падения слоя 60 ⁰ , Угол падения слоя 28 ⁰ .
42	Доломитизированные известняки серого цвета (возраст - палеоген). Азимут падения слоя 140 ⁰ , Угол падения слоя 35 ⁰ .
43	Доломитизированные известняки серого цвета (возраст - палеоген). Азимут падения слоя 340 ⁰ , Угол падения слоя 28 ⁰ .
44	Доломитизированные известняки серого цвета (возраст - палеоген). Азимут падения слоя 30 ⁰ , Угол падения слоя 31 ⁰ .
45	Доломитизированные известняки серого цвета (возраст - палеоген). Азимут падения слоя 30 ⁰ , Угол падения слоя 27 ⁰ .
46	Доломитизированные известняки серого цвета (возраст - палеоген). Азимут падения слоя 340 ⁰ , Угол падения слоя 30 ⁰ .
47	Доломитизированные известняки серого цвета (возраст - палеоген). Азимут падения слоя 55 ⁰ , Угол падения слоя 28 ⁰ .
48	Доломитизированные известняки серого цвета (возраст - палеоген). Азимут падения слоя 105 ⁰ , Угол падения слоя 26 ⁰ .
49	Конгломераты красно-коричневого цвета (возраст - Т). Азимут падения слоя 38 ⁰ , Угол падения слоя 30 ⁰ .
50	Конгломераты красно-коричневого цвета (возраст - Т). Азимут падения слоя 38 ⁰ , Угол падения слоя 33 ⁰ .
51	Конгломераты красно-коричневого цвета (возраст - Т). Азимут падения слоя 350 ⁰ , Угол падения слоя 30 ⁰ .
52	Конгломераты красно-коричневого цвета (возраст - Т). Азимут падения слоя 38 ⁰ , Угол падения слоя 31 ⁰ .
53	Конгломераты красно-коричневого цвета (возраст - Т). Азимут падения слоя 25 ⁰ , Угол падения слоя 33 ⁰ .
54	Конгломераты красно-коричневого цвета (возраст - Т). Азимут падения слоя 35 ⁰ , Угол падения слоя 30 ⁰ .
55	Песчаники бледно-серого цвета (возраст - J). Азимут падения слоя 30 ⁰ , Угол падения слоя 29 ⁰ .
56	Песчаники бледно-серого цвета (возраст - J). Азимут падения

	yotish burchagi 31 ⁰ .
77	Och rangli gillar (yoshi - Paleosen). Qatlamning yotish azimuti 255 ⁰ , yotish burchagi 28 ⁰ .
78	Och rangli gillar (yoshi - Paleosen). Qatlamning yotish azimuti 255 ⁰ , yotish burchagi 28 ⁰ .
79	Och rangli gillar (yoshi - Paleosen). Qatlamning yotish azimuti 230 ⁰ , yotish burchagi 28 ⁰ .
80	Och rangli gillar (yoshi - Paleosen). Qatlamning yotish azimuti 230 ⁰ , yotish burchagi 28 ⁰ .
81	Och rangli gillar (yoshi - Paleosen). Qatlamning yotish azimuti 300 ⁰ , yotish burchagi 28 ⁰ .
82	Och rangli gillar (yoshi - Paleosen). Qatlamning yotish azimuti 230 ⁰ , yotish burchagi 28 ⁰ .
83	Och rangli gillar (yoshi - Paleosen). Qatlamning yotish azimuti 240 ⁰ , yotish burchagi 28 ⁰ .
84	Dolomitlar (yoshi - yuqori K). Qatlamning yotish azimuti 230 ⁰ , yotish burchagi 28 ⁰ .
85	Dolomitlar (yoshi - yuqori K). Qatlamning yotish azimuti 275 ⁰ , yotish burchagi 28 ⁰ .
86	Dolomitlar (yoshi - yuqori K).
87	Dolomitlar (yoshi - yuqori K).
88	Dolomitlar (yoshi - yuqori K). Qatlamning yotish azimuti 230 ⁰ , yotish burchagi 28 ⁰ .
89	Dolomitlar (yoshi - yuqori K). Qatlamning yotish azimuti 270 ⁰ , yotish burchagi 28 ⁰ .
90	Dolomitlar (yoshi - yuqori K). Qatlamning yotish azimuti 210 ⁰ , yotish burchagi 28 ⁰ .
91	Dolomitlar (yoshi - yuqori K).

11-variant (2)



18	Песчаники бледно-серого цвета (возраст - J). Азимут падения слоя 30^0 , Угол падения слоя 27^0
19	Песчаники бледно-серого цвета (возраст - J). Азимут падения слоя 45^0 , Угол падения слоя 27^0
20	Песчаники бледно-серого цвета (возраст - J). Азимут падения слоя 350^0 , Угол падения слоя 32^0 .
21	Конгломераты красно-коричневого цвета (возраст - T). Азимут падения слоя 350^0 , Угол падения слоя 30^0
22	Конгломераты красно-коричневого цвета (возраст - T). Азимут падения слоя 20^0 , Угол падения слоя 30^0
23	Конгломераты красно-коричневого цвета (возраст - T). Азимут падения слоя 48^0 , Угол падения слоя 30^0
24	Песчаники бледно-серого цвета (возраст - J). Азимут падения слоя 95^0 , Угол падения слоя 27^0
25	Песчаники бледно-серого цвета (возраст - J). Азимут падения слоя 80^0 , Угол падения слоя 27^0 .
26	Песчаники бледно-серого цвета (возраст - J). Азимут падения слоя 80^0 , Угол падения слоя 28^0 .
27	Песчаники бледно-серого цвета (возраст - J). Азимут падения слоя 40^0 , Угол падения слоя 28^0 .
28	Глины темно-серого цвета (возраст - K). Азимут падения слоя 100^0 , Угол падения слоя 33^0 .
29	Глины темно-серого цвета (возраст - K). Азимут падения слоя 77^0 , Угол падения слоя 32^0 .
30	Глины темно-серого цвета (возраст - K). Азимут падения слоя 90^0 , Угол падения слоя 33^0 .
31	Глины темно-серого цвета (возраст - K). Азимут падения слоя 80^0 , Угол падения слоя 28^0 .
32	Глины темно-серого цвета (возраст - K). Азимут падения слоя 100^0 , Угол падения слоя 33^0 .
33	Доломитизированные известняки серого цвета (возраст - палеоген). Азимут падения слоя 100^0 , Угол падения слоя 28^0 .
34	Доломитизированные известняки серого цвета (возраст - палеоген). Азимут падения слоя 90^0 , Угол падения слоя 30^0 .
35	Доломитизированные известняки серого цвета (возраст - палеоген). Азимут падения слоя 320^0 , Угол падения слоя 28^0 .
36	Доломитизированные известняки серого цвета (возраст - палеоген). Азимут падения слоя 320^0 , Угол падения слоя 28^0 .

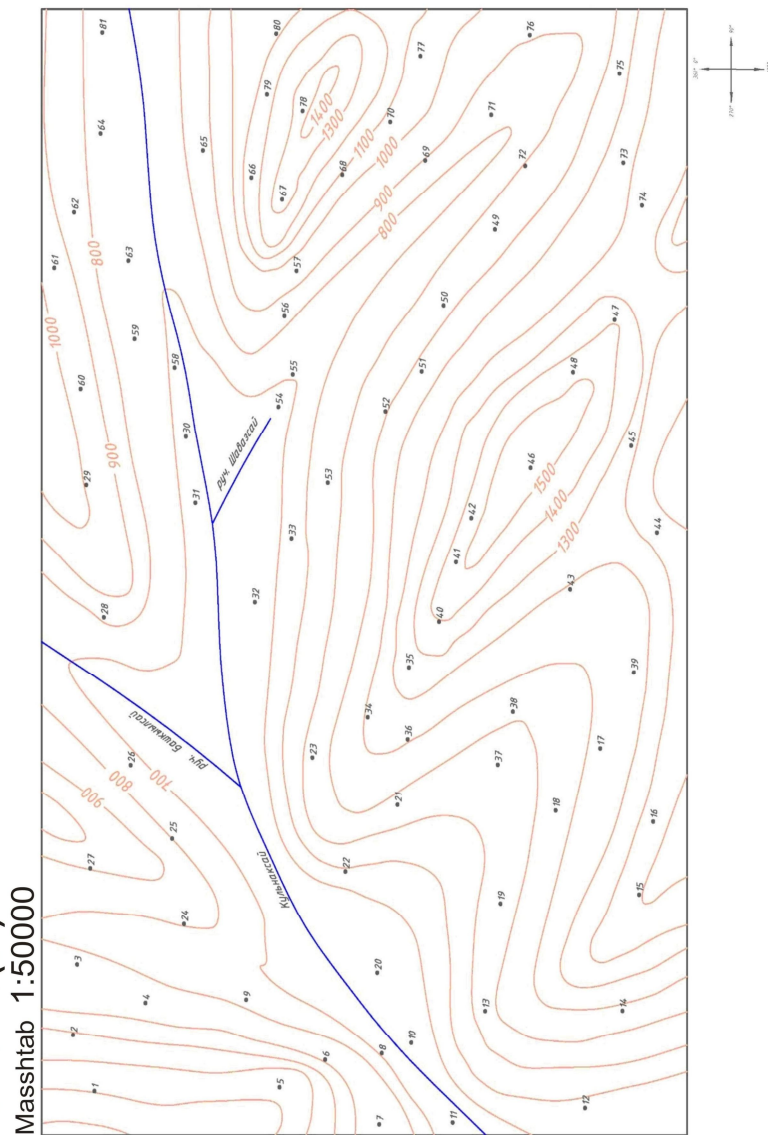
1-вариант

Точки наблюдений	Геологические данные точек наблюдений
1	Конгломераты красно-коричневого цвета (возраст - Т). Азимут падения слоя 38°. Угол падения слоя 30°
2	Конгломераты красно-коричневого цвета (возраст - Т). Азимут падения слоя 40°. Угол падения слоя 30°
3	Песчаники бледно-серого цвета (возраст - J). Азимут падения слоя 30°, Угол падения слоя 27°
4	Песчаники бледно-серого цвета (возраст - J). Азимут падения слоя 30°, Угол падения слоя 25°
5	Ось синклинали. Здесь распространены Глины темно-серого цвета (возраст - K).
6	Продолжение синклинали точки 5. Породы представлены Глинами темно-серого цвета (возраст - K).
7	Глины темно-серого цвета (возраст - K). Азимут падения слоя 27°, Угол падения слоя 23°.
8	Глины темно-серого цвета (возраст - K). Азимут падения слоя 32°, Угол падения слоя 25°.
9	Доломитизированные известняки серого цвета (возраст - палеоген). Азимут падения слоя 55°, Угол падения слоя 28°.
10	Доломитизированные известняки серого цвета (возраст - палеоген). Азимут падения слоя 80°, Угол падения слоя 31°.
11	Доломитизированные известняки серого цвета (возраст - палеоген). Азимут падения слоя 20°, Угол падения слоя 28°.
12	Глины темно-серого цвета (возраст - K). Азимут падения слоя 37°, Угол падения слоя 26°.
13	Глины темно-серого цвета (возраст - K). Азимут падения слоя 37°, Угол падения слоя 26°.
14	Глины темно-серого цвета (возраст - K). Азимут падения слоя 41°, Угол падения слоя 28°.
15	Глины темно-серого цвета (возраст - K). Азимут падения слоя 90°, Угол падения слоя 31°.
16	Песчаники бледно-серого цвета (возраст - J). Азимут падения слоя 80°, Угол падения слоя 27°
17	Песчаники бледно-серого цвета (возраст - J). Азимут падения слоя 42°, Угол падения слоя 31°

12-variant

Kuzatuv nuqtasi	Kuzatuv nuqtasidan olingan ma'lumotlar
1	Gillar (yoshi - o'rtal J). Qatlamning yotish azimuti 15°, yotish burchagi 35°.
2	Gillar (yoshi - o'rtal J). Qatlamning yotish azimuti 180°, yotish burchagi 35°.
3	Gillar (yoshi - o'rtal J). Bu nuqtadan antiklinalъ о'qi o'tadi.Uning yo'nalish azimuti 90°.
4	Gillar (yoshi - o'rtal J). Qatlamning yotish azimuti 15°, yotish burchagi 35°.
5	Qumtoshlar (yoshi - yuqori J). Qatlamning yotish azimuti 20°, yotish burchagi 33°.
6	Qumtoshlar (yoshi - yuqori J). Qatlamning yotish azimuti 20°, yotish burchagi 31°.
7	Qumtoshlar (yoshi - yuqori J). Qatlamning yotish azimuti 25°, yotish burchagi 33°.
8	Qumtoshlar (yoshi - yuqori J). Qatlamning yotish azimuti 30°, yotish burchagi 32°.
9	Qumtoshlar (yoshi - yuqori J). Qatlamning yotish azimuti 15°, yotish burchagi 35°.
10	Qumtoshlar (yoshi - yuqori J). Bu nuqtadan antiklinalъ о'qi o'tadi.Uning yo'nalish azimuti 80°.
11	Qumtoshlar (yoshi - yuqori J). Qatlamning yotish azimuti 165°, yotish burchagi 33°.
12	Qumtoshlar (yoshi - yuqori J). Qatlamning yotish azimuti 150°, yotish burchagi 32°.
13	Qumtoshlar (yoshi - yuqori J). Qatlamning yotish azimuti 155°, yotish burchagi 31°.
14	Gillar (yoshi - quyi K). Qatlamning yotish azimuti 150°, yotish burchagi 31°.
15	Gillar (yoshi - quyi K). Qatlamning yotish azimuti 147°, yotish burchagi 31°.
16	Gillar (yoshi - quyi K). Qatlamning yotish azimuti 145°, yotish burchagi 31°.

	burchagi 33^0 .
17	Gillar (yoshi - quyi K). Qatlamning yotish azimuti 153^0 , yotish burchagi 33^0 .
18	Gillar (yoshi - quyi K). Qatlamning yotish azimuti 180^0 , yotish burchagi 33^0 .
19	Gillar (yoshi - quyi K). Qatlamning yotish azimuti 200^0 , yotish burchagi 35^0 .
20	Gillar (yoshi - quyi K). Qatlamning yotish azimuti 200^0 , yotish burchagi 33^0 .
21	Gillar (yoshi - quyi K). Qatlamning yotish azimuti 250^0 , yotish burchagi 34^0 .
22	Gillar (yoshi - quyi K). Qatlamning yotish azimuti 260^0 , yotish burchagi 35^0 .
23	Ohaktoshlar (yoshi - yuqori K). Qatlamning yotish azimuti 160^0 , yotish burchagi 28^0 .
24	Ohaktoshlar (yoshi - yuqori K). Qatlamning yotish azimuti 175^0 , yotish burchagi 28^0 .
25	Ohaktoshlar (yoshi - yuqori K). Qatlamning yotish azimuti 180^0 , yotish burchagi 29^0 .
26	Ohaktoshlar (yoshi - yuqori K). Qatlamning yotish azimuti 210^0 , yotish burchagi 27^0 .
27	Ohaktoshlar (yoshi - yuqori K). Qatlamning yotish azimuti 180^0 , yotish burchagi 27^0 .
28	Qumtoshlar (yoshi - yuqori J).
29	Qumtoshlar (yoshi - yuqori J). Qatlamning yotish azimuti 200^0 , yotish burchagi 33^0 .
30	Qumtoshlar (yoshi - yuqori J). Qatlamning yotish azimuti 230^0 , yotish burchagi 31^0 .
31	Qumtoshlar (yoshi - yuqori J). Qatlamning yotish azimuti 255^0 , yotish burchagi 32^0 .
32	Qumtoshlar (yoshi - yuqori J). Qatlamning yotish azimuti 260^0 , yotish burchagi 32^0 .
33	Qumtoshlar (yoshi - yuqori J). Qatlamning yotish azimuti 260^0 , yotish burchagi 31^0 .
34	Qumtoshlar (yoshi - yuqori J).
35	Qumtoshlar (yoshi - yuqori J). Qatlamning yotish azimuti 330^0 , yotish burchagi 33^0 .
36	Qumtoshlar (yoshi - yuqori J). Qatlamning yotish azimuti 300^0 , yotish burchagi 35^0 .



27-variant (21)
Massstab 1:500000

75	Qumtoshlar (yoshi – yuqori D). Yotish azimuti 250^0 , yotish burchagi 30^0 .
76	Dolomitlar (yoshi – o‘rtal D). Yotish azimuti 270^0 , yotish burchagi 30^0 .
77	Qumtoshlar (yoshi – yuqori D). Yotish azimuti 300^0 , yotish burchagi 32^0 .
78	Konglomeratlar (yoshi – o‘rtal C). Yotish azimuti 270^0 , yotish burchagi 30^0 .
79	Gravelitlar (yoshi – quyi C). Yotish azimuti 255^0 , yotish burchagi 32^0 .
80	Qumtoshlar (yoshi – yuqori D). Yotish azimuti 260^0 , yotish burchagi 29^0 .
81	Dolomitlar (yoshi – o‘rtal D). Yotish azimuti 270^0 , yotish burchagi 32^0 .

37	Qumtoshlar (yoshi - yuqori J). Qatlamning yotish azimuti 270^0 , yotish burchagi 35^0 .
38	Qumtoshlar (yoshi - yuqori J). Qatlamning yotish azimuti 270^0 , yotish burchagi 34^0 .
39	Qumtoshlar (yoshi - yuqori J). Qatlamning yotish azimuti 245^0 , yotish burchagi 32^0 .
40	Gillar (yoshi - o‘rtal J). Qatlamning yotish azimuti 235^0 , yotish burchagi 33^0 .
41	Qumtoshlar (yoshi - yuqori J). Qatlamning yotish azimuti 240^0 , yotish burchagi 35^0 . Nuqtadan 100m shimolda uzilma o‘tadi. Uning yo‘nalish azimuti 70^0 .
42	Qumtoshlar (yoshi - yuqori J). Qatlamning yotish azimuti 220^0 , yotish burchagi 33^0 . Nuqtadan 50m shimolda uzilma o‘tadi. Uning yo‘nalish azimuti 75^0 .
43	Qumtoshlar (yoshi - yuqori J). Nuqtadan 40m janubda uzilma o‘tadi. Uning yo‘nalish azimuti 75^0 .
44	Qumtoshlar (yoshi - yuqori J). Qatlamning yotish azimuti 330^0 , yotish burchagi 34^0 .
45	Qumtoshlar (yoshi - yuqori J). Bu nuqtadan uzilma o‘tadi.
46	Gillar (yoshi - quyi K). Qatlamning yotish azimuti 55^0 , yotish burchagi 35^0 .
47	Gillar (yoshi - quyi K). Qatlamning yotish azimuti 25^0 , yotish burchagi 35^0 .
48	Gillar (yoshi - quyi K). Qatlamning yotish azimuti 30^0 , yotish burchagi 31^0 .
49	Gillar (yoshi - quyi K). Qatlamning yotish azimuti 10^0 , yotish burchagi 32^0 .
50	Gillar (yoshi - quyi K). Qatlamning yotish azimuti 350^0 , yotish burchagi 32^0 .
51	Gillar (yoshi - quyi K). Qatlamning yotish azimuti 330^0 , yotish burchagi 33^0 .
52	Bu nuqtadan ikki qatlam kontakti (cheгараси) o‘tadi. G‘arbda Gillar (yoshi - quyi K), sharqda Qumtoshlar (yoshi - yuqori J). Qatlamning yotish azimuti 270^0 , yotish burchagi 35^0 .
53	Bu nuqtadan ikki qatlam kontakti (cheгараси) o‘tadi. G‘arbda Gillar (yoshi - quyi K), sharqda Qumtoshlar (yoshi - yuqori J). Qatlamning yotish azimuti 250^0 , yotish burchagi 34^0 .
54	Gillar (yoshi - quyi K). Qatlamning yotish azimuti 270^0 , yotish

	burchagi 33^0 .
55	Gillar (yoshi - quyi K). Qatlamning yotish azimuti 245^0 , yotish burchagi 33^0 .
56	Gillar (yoshi - quyi K). Qatlamning yotish azimuti 230^0 , yotish burchagi 33^0 .
57	Gillar (yoshi - quyi K). Qatlamning yotish azimuti 190^0 , yotish burchagi 31^0 .
58	Gillar (yoshi - quyi K). Qatlamning yotish azimuti 180^0 , yotish burchagi 25^0 .
59	Gillar (yoshi - quyi K). Qatlamning yotish azimuti 180^0 , yotish burchagi 35^0 .
60	Gillar (yoshi - quyi K). Qatlamning yotish azimuti 5^0 , yotish burchagi 34^0 .
61	Gillar (yoshi - quyi K). Qatlamning yotish azimuti 10^0 , yotish burchagi 32^0 .
62	Gillar (yoshi - quyi K). Qatlamning yotish azimuti 90^0 , yotish burchagi 32^0 .
63	Gillar (yoshi - quyi K). Qatlamning yotish azimuti 130^0 , yotish burchagi 29^0 .
64	Gillar (yoshi - quyi K). Qatlamning yotish azimuti 280^0 , yotish burchagi 29^0 .
65	Gillar (yoshi - quyi K). Qatlamning yotish azimuti 290^0 , yotish burchagi 32^0 .
66	Gillar (yoshi - quyi K). Qatlamning yotish azimuti 110^0 , yotish burchagi 31^0 .
67	Gillar (yoshi - quyi K). Qatlamning yotish azimuti 300^0 , yotish burchagi 31^0 .
68	Gillar (yoshi - quyi K). Qatlamning yotish azimuti 300^0 , yotish burchagi 29^0 .
69	Gillar (yoshi - quyi K). Qatlamning yotish azimuti 300^0 , yotish burchagi 31^0 .
70	Gillar (yoshi - quyi K). Qatlamning yotish azimuti 300^0 , yotish burchagi 33^0 .
71	Gillar (yoshi - quyi K). Qatlamning yotish azimuti 120^0 , yotish burchagi 33^0 .
72	Gillar (yoshi - quyi K). Qatlamning yotish azimuti 150^0 , yotish burchagi 34^0 . Nuqtadan 40m shimolda uzilma o'tadi. Uning yo'nalish azimuti 75^0 .
73	Gillar (yoshi - quyi K). Qatlamning yotish azimuti 150^0 , yotish

56	Gravelitlar (yoshi - quyi C). Yotish azimuti 90^0 , yotish burchagi 32^0 .
57	Konglomeratlar (yoshi - o'rtal C). Yotish azimuti 90^0 , yotish burchagi 32^0 .
58	Uzilma. Yotish azimuti 85^0 , yotish burchagi 75^0 . Sharqda - dolomitlar (yoshi - o'rtal D), g'arbda - alevrolitlar (yoshi - quyi D).
59	Qumtoshlar (yoshi - yuqori D). Yotish azimuti 85^0 , yotish burchagi 30^0
60	Uzilma. Sharqda - qumtoshlar (yoshi - yuqori D), g'arbda - alevrolitlar (yoshi - quyi D).
61	Konglomeratlar (yoshi - o'rtal C). Sinklinal o'qi.
62	Gravelitlar (yoshi - quyi C).
63	Gravelitlar (yoshi - quyi C). Sinklinal o'qi.
64	Uzilma. Sharqda - qumtoshlar (yoshi - yuqori D), g'arbda - qumtoshlar (yoshi - yuqori D).
65	Uzilma. Yotish azimuti 110^0 , yotish burchagi 75^0 . Sharqda - gravelitlar (yoshi - quyi C), g'arbda - qumtoshlar (yoshi - yuqori D).
66	Uzilma. Sharqda - Konglomeratlar (yoshi - o'rtal C), g'arbda - gravelitlar (yoshi - quyi C)
67	Uzilma. Sharqda - konglomeratlar (yoshi - o'rtal karbon), g'arbda - konglomeratlar (yoshi - o'rtal C).
68	Uzilma. Yotish azimuti 80^0 , yotish burchagi 75^0 . Sharqda - konglomeratlar (yoshi - o'rtal C), g'arbda - gravelitlar (yoshi - quyi C)
69	Uzilma. Yotish azimuti 80^0 , yotish burchagi 70^0 . Sharqda - Gravelitlar (yoshi - quyi C), G'arbda - Qumtoshlar (yoshi - yuqori devon).
70	Gravelitlar (yoshi - quyi C). Yotish azimuti 300^0 , yotish burchagi 30^0 .
71	Qumtoshlar (yoshi - yuqori D). Yotish azimuti 270^0 , yotish burchagi 30^0 .
72	Uzilma. Yotish azimuti 100^0 , yotish burchagi 75^0 . Sharqda - gravelitlar (yoshi - quyi C), g'arbda - qumtoshlar (yoshi - yuqori D).
73	Gravelitlar (yoshi - quyi C). Yotish azimuti 250^0 , yotish burchagi 32^0 .
74	Uzilma. Yotish azimuti 115^0 , yotish burchagi 75^0 . Sharqda - konglomeratlar (yoshi - o'rtal C), g'arbda - gravelitlar (yoshi - quyi C)

	– intruziv jinslar (yoshi – proterozoy).
37	Kontakt. G'arbda kremniyi jinslar (yoshi – yuqori O), sharqda – intruziv jinslar (yoshi – proterozoy).
38	Kontakt. Sharqda kremniyi jinslar (yoshi – yuqori O), g'arbda – intruziv jinslar (yoshi – proterozoy).
39	Gilli slaneslar (yoshi – quyi S). Yotish azimuti 115^0 , yotish burchagi 30^0
40	Organogenli ohaktoshlar (yoshi – yuqori S). Yotish azimuti 113^0 , yotish burchagi 30^0 .
41	Alevrolitlar (yoshi – quyi D). Yotish azimuti 115^0 , yotish burchagi 30^0
42	Dolomitlar (yoshi – o'rta D). Yotish azimuti 115^0 , yotish burchagi 30^0 .
43	Organogenli ohaktoshlar (yoshi – yuqori S). Yotish azimuti 80^0 , yotish burchagi 28^0 .
44	Alevrolitlar (yoshi – quyi D). Yotish azimuti 80^0 , yotish burchagi 31^0
45	Uzilma. Yotish azimuti 85^0 , yotish burchagi 70^0 . G'arbda - dolomitlar (yoshi – o'rta D), sharqda - gravelitlar (yoshi – quyi C).
46	Uzilma. Yotish azimuti 90^0 , yotish burchagi 70^0 . G'arbda - qumtoshlar (yoshi – yuqori D), sharqda - konglomeratlar (yoshi – o'rta C).
47	Mergellar (yoshi – yuqori C). Sinklinal.
48	Konglomeratlar (yoshi – o'rta C). Yotish azimuti 125^0 , yotish burchagi 30^0 .
49	Gravelitlar (yoshi – quyi C). Yotish azimuti 255^0 , yotish burchagi 30^0 .
50	Konglomeratlar (yoshi – o'rta C). Sinklinal o'qi.
51	Gravelitlar (yoshi – quyi C). Yotish azimuti 120^0 , yotish burchagi 30^0 .
52	Uzilma. Yotish azimuti 107^0 , yotish burchagi 75^0 . Sharqda - qumtoshlar (yoshi – yuqori D), g'arbda - dolomitlar (yoshi – o'rta D).
53	Organogenli ohaktoshlar (yoshi – yuqori S). Yotish azimuti 113^0 , yotish burchagi 30^0 .
54	Organogenli ohaktoshlar (yoshi – yuqori S). Yotish azimuti 105^0 , yotish burchagi 30^0 .
55	Uzilma. Yotish azimuti 90^0 , yotish burchagi 75^0 . Sharqda - qumtoshlar (yoshi – yuqori D), g'arbda - alevrolitlar (yoshi – quyi D).

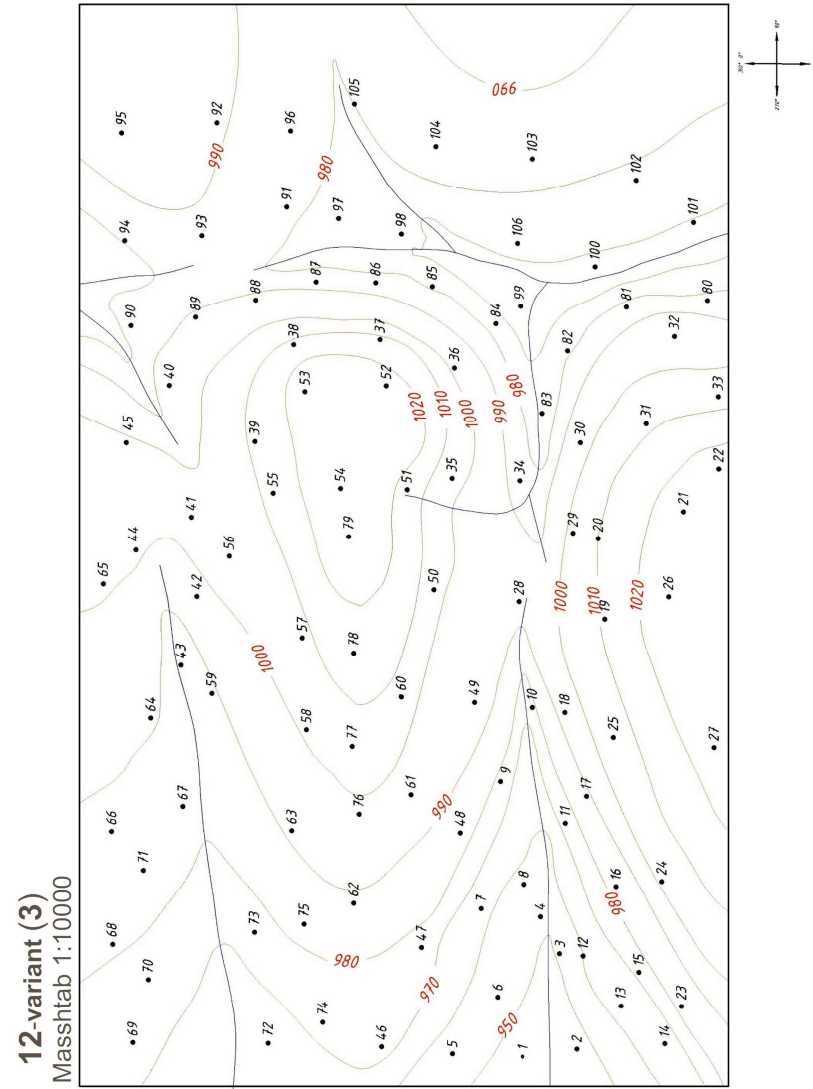
	burchagi 35^0 . Nuqtadan 60m shimolda uzilma o'tadi. Uning yo'nalish azimuti 75^0 .
74	Gillar (yoshi - quyi K). Qatlamning yotish azimuti 130^0 , yotish burchagi 35^0 .
75	Gillar (yoshi - quyi K). Qatlamning yotish azimuti 120^0 , yotish burchagi 35^0 .
76	Ohaktoshlar (yoshi - yuqori K)
77	Ohaktoshlar (yoshi - yuqori K)
78	Ohaktoshlar (yoshi - yuqori K)
79	Ohaktoshlar (yoshi - yuqori K)
80	Gillar (yoshi - o'rta J). Qatlamning yotish azimuti 260^0 , yotish burchagi 34^0 .
81	Gillar (yoshi - o'rta J). Qatlamning yotish azimuti 255^0 , yotish burchagi 29^0 .
82	Gillar (yoshi - o'rta J). Qatlamning yotish azimuti 230^0 , yotish burchagi 35^0 .
83	Gillar (yoshi - o'rta J). Qatlamning yotish azimuti 270^0 , yotish burchagi 33^0 .
84	Gillar (yoshi - o'rta J). Qatlamning yotish azimuti 285^0 , yotish burchagi 32^0 .
85	Gillar (yoshi - o'rta J). Qatlamning yotish azimuti 280^0 , yotish burchagi 33^0 .
86	Gillar (yoshi - o'rta J). Qatlamning yotish azimuti 270^0 , yotish burchagi 35^0 .
87	Gillar (yoshi - o'rta J). Qatlamning yotish azimuti 265^0 , yotish burchagi 35^0 .
88	Gillar (yoshi - o'rta J). Qatlamning yotish azimuti 265^0 , yotish burchagi 35^0 .
89	Gillar (yoshi - o'rta J). Qatlamning yotish azimuti 265^0 , yotish burchagi 34^0 .
90	Gillar (yoshi - o'rta J). Qatlamning yotish azimuti 260^0 , yotish burchagi 29^0 .
91	Gillar (yoshi - o'rta J). Qatlamning yotish azimuti 300^0 , yotish burchagi 33^0 .
92	Gillar (yoshi - o'rta J). Qatlamning yotish azimuti 85^0 , yotish burchagi 31^0 .
93	Gillar (yoshi - o'rta J). Qatlamning yotish azimuti 275^0 , yotish burchagi 31^0 .

94	Gillar (yoshi - o'rtal J). Qatlamning yotish azimuti 260^0 , yotish burchagi 27^0 .
95	Gillar (yoshi - o'rtal J). Qatlamning yotish azimuti 95^0 , yotish burchagi 25^0 .
96	Och kulrang ohaktoshlar (yoshi - quyi J). Qatlamning yotish azimuti 300^0 , yotish burchagi 33^0 .
97	Och kulrang ohaktoshlar (yoshi - quyi J). Qatlamning yotish azimuti 285^0 , yotish burchagi 29^0 .
98	Och kulrang ohaktoshlar (yoshi - quyi J). Qatlamning yotish azimuti 280^0 , yotish burchagi 31^0 .
99	Och kulrang ohaktoshlar (yoshi - quyi J). Qatlamning yotish azimuti 270^0 , yotish burchagi 32^0 .
100	Och kulrang ohaktoshlar (yoshi - quyi J). Qatlamning yotish azimuti 255^0 , yotish burchagi 32^0 .
101	Och kulrang ohaktoshlar (yoshi - quyi J). Qatlamning yotish azimuti 260^0 , yotish burchagi 31^0 .
102	Och kulrang ohaktoshlar (yoshi - quyi J). Qatlamning yotish azimuti 265^0 , yotish burchagi 33^0 .
103	Och kulrang ohaktoshlar (yoshi - quyi J). Qatlamning yotish azimuti 105^0 , yotish burchagi 35^0 .
104	Och kulrang ohaktoshlar (yoshi - quyi J). Qatlamning yotish azimuti 105^0 , yotish burchagi 35^0 .
105	Och kulrang ohaktoshlar (yoshi - quyi J). Qatlamning yotish azimuti 110^0 , yotish burchagi 33^0 .
106	Och kulrang ohaktoshlar (yoshi - quyi J). Qatlamning yotish azimuti 280^0 , yotish burchagi 35^0 .

	intruziv jinslar (yoshi - proterozoy).
18	Gilli slaneslar (yoshi - quyi S). Yotish azimuti 275^0 , yotish burchagi 31^0
19	Alevrolitlar (yoshi - quyi D). Yotish azimuti 275^0 , yotish burchagi 31^0
20	Dolomitlar (yoshi - o'rtal D). Yotish azimuti 270^0 , yotish burchagi 30^0 .
21	Gilli slaneslar (yoshi - quyi S). Yotish azimuti 268^0 , yotish burchagi 30^0
22	Organogenli ohaktoshlar (yoshi - yuqori S). Yotish azimuti 270^0 , yotish burchagi 30^0 .
23	Kontakt. Janubi g'arbda kremniyli jinslar (yoshi-yuqori O), shimoli-sharqda intruziv jinslar(yoshi- proterozoy)
24	Dolomitlar (yoshi - o'rtal D). Yotish azimuti 275^0 , yotish burchagi 30^0 .
25	Organogenli ohaktoshlar (yoshi - yuqori S). Yotish azimuti 275^0 , yotish burchagi 30^0 .
26	Kontakt. G'arbda Kremniyli jinslar (yoshi - yuqori O), sharqda – intruziv jinslar (yoshi – proterozoy).
27	Alevrolitlar (yoshi - quyi D). Yotish azimuti 275^0 , yotish burchagi 31^0
28	Kontakt. Sharqda Kremniyli jinslar (yoshi – yuqori O), g'arbda – intruziv jinslar (yoshi – proterozoy).
29	Organogenli ohaktoshlar (yoshi – yuqori S). Yotish azimuti 80^0 , yotish burchagi 28^0 .
30	Organogenli ohaktoshlar (yoshi – yuqori S). Yotish azimuti 80^0 , yotish burchagi 28^0 .
31	Gilli slaneslar (yoshi – quyi S). Yotish azimuti 91^0 , yotish burchagi 30^0
32	Kontakt. Sharqda kremniyli jinslar (yoshi – yuqori O), g'arbda – intruziv jinslar (yoshi – proterozoy).
33	Gilli slaneslar (yoshi – quyi S). Yotish azimuti 110^0 , yotish burchagi 30^0
34	Kontakt. Sharqda kremniyli jinslar (yoshi – yuqori O), g'arbda – intruziv jinslar (yoshi – proterozoy).
35	Gilli slaneslar (yoshi – quyi S). Yotish azimuti 110^0 , yotish burchagi 28^0
36	Kontakt. G'arbda kremniyli jinslar (yoshi – yuqori ordovik), sharqda

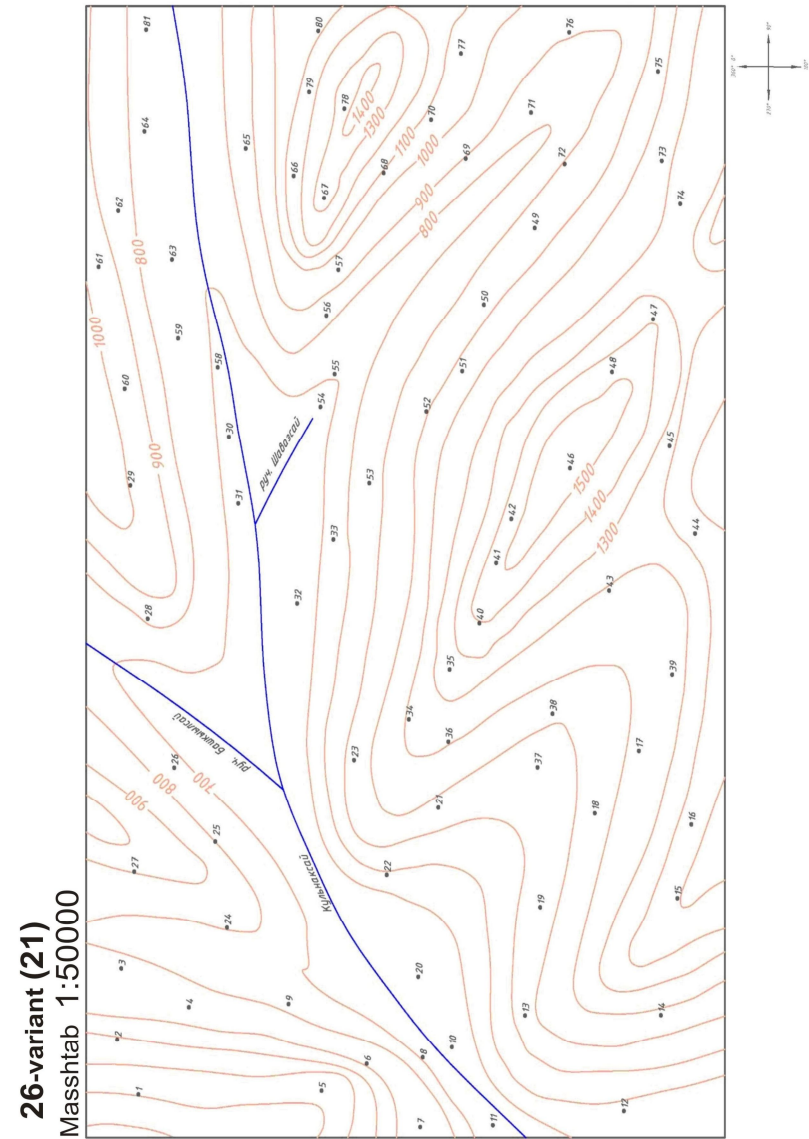
27-variant

Kuzatuv nuqtasi	Kuzatuv nuqtasidan olingan ma'lumotlar
1	Gillar (yoshi – quyi P). Yotish azimuti 270^0 , yotish burchagi 30^0 .
2	Mergellar (yoshi – yuqori C). Yotish azimuti 277^0 , yotish burchagi 30^0 .
3	Uzilma. Sharqda – Qumtoshlar (yoshi – yuqori D), g'arbda – konglomeratlar (yoshi – o'rta C)
4	Konglomeratlar (yoshi – o'rta C). Yotish azimuti 273^0 , yotish burchagi 31^0 .
5	Gillar (yoshi – quyi P). Yotish azimuti 285^0 , yotish burchagi 30^0 .
6	Mergellar (yoshi – yuqori C). Yotish azimuti 285^0 , yotish burchagi 30^0 .
7	Gillar (yoshi – quyi P). Yotish azimuti 350^0 , yotish burchagi 27^0 .
8	Konglomeratlar (yoshi – o'rta C). Yotish azimuti 285^0 , yotish burchagi 30^0 .
9	Uzilma. Yotish azimuti 270^0 , yotish burchagi 70^0 . Sharqda – qumtoshlar (yoshi-yuqori D), g'arbda - konglomeratlar (yoshi – o'rta C).
10	Uzilma. Yotish azimuti 270^0 , yotish burchagi 70^0 . Sharqda – gravelitlar (yoshi – quyi C), g'arbda - konglomeratlar (yoshi – o'rta C).
11	Mergellar (yoshi – yuqori C). Sinklinal o'qi.
12	Mergellar (yoshi – yuqori karbon). Sinklinal o'qi.
13	Uzilma. Yotish azimuti 255^0 , yotish burchagi 70^0 . Sharqda – gravelitlar (yoshi – quyi C), g'arbda - konglomeratlar (yoshi – o'rta C).
14	Uzilma. Yotish azimuti 290^0 , yotish burchagi 70^0 . Sharqda – gravelitlar (yoshi – quyi C), g'arbda - konglomeratlar (yoshi – o'rta C).
15	Dolomitlar (yoshi – o'rta D). Yotish azimuti 277^0 , yotish burchagi 30^0 .
16	Organogenli ohaktoshlar (yoshi – yuqori S). Yotish azimuti 277^0 , yotish burchagi 28^0 .
17	Kontakt. Janubda kremniyli jinslar (yoshi-yuqori O), shimolda –



13-variant

Kuzatuv nuqtasi	Kuzatuv nuqtasidan olingan ma'lumotlar
1	Gillar (yoshi – N). Qatlamlar gorizontal holatda joylashgan.
2	Gillar (yoshi – N). Qatlamlar gorizontal holatda joylashgan.
3	Gillar (yoshi – N). Qatlamlar gorizontal holatda joylashgan.
4	Alevrolitlar (yoshi – Oligosen). Qatlamlar gorizontal holatda joylashgan.
5	Alevrolitlar (yoshi – Oligosen). Qatlamlar gorizontal holatda joylashgan.
6	Gillar (yoshi – N). Qatlamlar gorizontal holatda joylashgan.
7	Alevrolitlar (yoshi – Oligosen). Qatlamlar gorizontal holatda joylashgan.
8	Alevrolitlar (yoshi – Oligosen). Qatlamlar gorizontal holatda joylashgan.
9	Qumtoshlar (yoshi – Eosen). Qatlamlar gorizontal holatda joylashgan.
10	Tektonik buzilish. Surilma. Uning sharqida qumtoshlar (yoshi – Eosen), g'arbida dolomitlar (yoshi – yuqori J) joylashgan.
11	Tektonik buzilish. Surilma. Uning shimoli-sharqida qumtoshlar (yoshi – Eosen), janubi-g'arbida gillar (yoshi – quyi K) joylashgan.
12	Qumtoshlar (yoshi – Eosen). Qatlamlar gorizontal holatda joylashgan.
13	Alevrolitlar (yoshi – Oligosen). Qatlamlar gorizontal holatda joylashgan.
14	Tektonik buzilish. Surilma. Uning shimalida qumtoshlar (yoshi – Eosen), janubida gillar (yoshi – quyi K) joylashgan.
15	Dolomitlar (yoshi – yuqori J). Yotish azimuti 255^0 , yotish burchagi 25^0 .
16	Qumtoshlar (yoshi – Eosen). Qatlamlar gorizontal holatda joylashgan.
17	Alevrolitlar (yoshi – Oligosen). Qatlamlar gorizontal holatda joylashgan.
18	Tektonik buzilish. Surilma. Uning sharqida qumtoshlar (yoshi – Eosen), g'arbida dolomitlar (yoshi – yuqori J) joylashgan.
19	Qumtoshlar (yoshi – Eosen). Qatlamlar gorizontal holatda joylashgan.
20	Alevrolitlar (yoshi – Oligosen). Qatlamlar gorizontal holatda joylashgan.



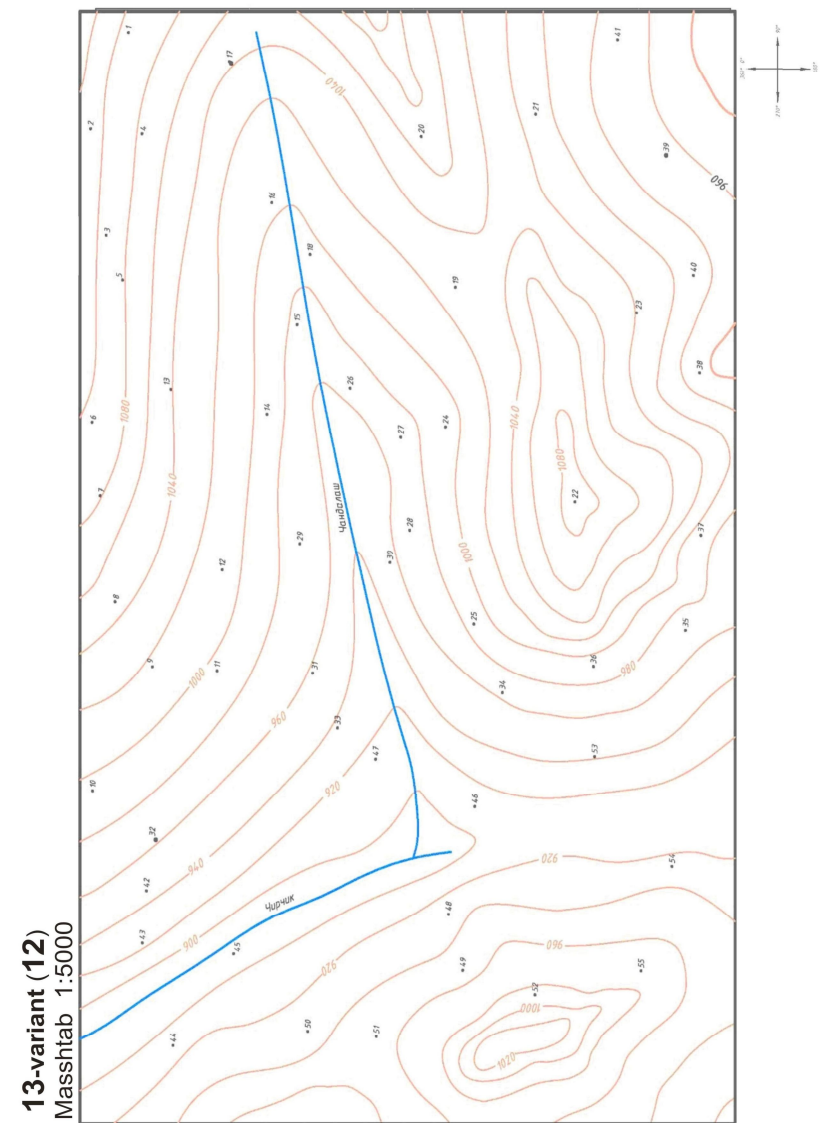
66	Uzilma. Sharqda - konglomeratlar (yoshi – quyi T), g‘arbda - gravelitlar (yoshi – P).
67	Uzilma. Sharqda - konglomeratlar (yoshi – quyi T), g‘arbda - konglomeratlar (yoshi – quyi T).
68	Uzilma. Yotish azimuti 80^0 , yotish burchagi 75^0 . Sharqda - konglomeratlar (yoshi – quyi T), g‘arbda - gravelitlar (yoshi – P).
69	Uzilma. Yotish azimuti 80^0 , yotish burchagi 70^0 . Sharqda - gravelitlar (yoshi – P), G‘arbda - qumtoshlar (yoshi – C).
70	Gravelitlar (yoshi – P). Yotish azimuti 300^0 , yotish burchagi 30^0 .
71	Qumtoshlar (yoshi – C). Yotish azimuti 270^0 , yotish burchagi 30^0 .
72	Uzilma. Yotish azimuti 100^0 , yotish burchagi 75^0 . Sharqda - gravelitlar (yoshi – P), g‘arbda - qumtoshlar (yoshi – C).
73	Gravelitlar (yoshi – P). Yotish azimuti 250^0 , yotish burchagi 32^0 .
74	Uzilma. Yotish azimuti 115^0 , yotish burchagi 75^0 . Sharqda - konglomeratlar (yoshi – quyi T), g‘arbda - gravelitlar (yoshi – P)
75	Qumtoshlar (yoshi – C). Yotish azimuti 250^0 , yotish burchagi 30^0 .
76	Dolomitlar (yoshi – D). Yotish azimuti 270^0 , yotish burchagi 30^0 .
77	Qumtoshlar (yoshi – C). Yotish azimuti 300^0 , yotish burchagi 32^0 .
78	Konglomeratlar (yoshi – quyi T). Yotish azimuti 270^0 , yotish burchagi 30^0 .
79	Gravelitlar (yoshi – P). Yotish azimuti 255^0 , yotish burchagi 32^0 .
80	Qumtoshlar (yoshi – C). Yotish azimuti 260^0 , yotish burchagi 29^0 .
81	Dolomitlar (yoshi – D). Yotish azimuti 270^0 , yotish burchagi 32^0 .

21	Qumtoshlar (yoshi – Eosen). Qatlamlar gorizontal holatda joylashgan.
22	Alevrolitlar (yoshi – Oligosen). Qatlamlar gorizontal holatda joylashgan.
23	Qumtoshlar (yoshi – Eosen). Qatlamlar gorizontal holatda joylashgan.
24	Tektonik buzilish. Surilma. Uning shimolida qumtoshlar (yoshi – yuqori K), janubida gorizontal holatda qumtoshlar (yoshi – Eosen) joylashgan.
25	Tektonik buzilish. Surilma. Uning shimoli-g‘arbida dolomitlar (yoshi – yuqori J) janubi-sharqida qumtoshlar (yoshi – Eosen) joylashgan.
26	Gillar (yoshi – quyi K). Yotish azimuti 250^0 , yotish burchagi 27^0 .
27	Qumtoshlar (yoshi – yuqori K). Sinklinal o‘ng qanoti.
28	Qumtoshlar (yoshi – yuqori K). Sinklinal chap qanoti.
29	Qumtoshlar (yoshi – yuqori K). Sinklinal o‘qi.
30	Gillar (yoshi – quyi K). Yotish azimuti 80^0 , yotish burchagi 27^0 .
31	Dolomitlar (yoshi – yuqori J). Yotish azimuti 83^0 , yotish burchagi 25^0 .
32	Qumtoshlar (yoshi – quyi J). Yotish azimuti 85^0 , yotish burchagi 27^0 .
33	Qumtoshlar (yoshi – quyi J). Yotish azimuti 85^0 , yotish burchagi 27^0 .
34	Qumtoshlar (yoshi – quyi J). Yotish azimuti 85^0 , yotish burchagi 25^0 .
35	Qumtoshlar (yoshi – quyi J). Yotish azimuti 88^0 , yotish burchagi 28^0 .
36	Tektonik buzilish. Surilma. Uning sharqida qumtoshlar (yoshi – Eosen), g‘arbida qumtoshlar (yoshi – quyi J) joylashgan.
37	Tektonik buzilish. Surilma. Uning shimoli-sharqida gorizontal joylashgan qumtoshlar (yoshi – Eosen), janubi-g‘arbida dolomitlar (yoshi – yuqori J) joylashgan.
38	Qumtoshlar (yoshi – yuqori K). Sinklinal.
39	Qumtoshlar (yoshi – yuqori K). Sinklinal.
40	Tektonik buzilish. Surilma. Uning shimoli-g‘arbida gorizontal joylashgan qumtoshlar (yoshi – Eosen), janubi-sharqida qumtoshlar (yoshi – yuqori K) joylashgan.
41	Gillar (yoshi – quyi K). Yotish azimuti 255^0 , yotish burchagi 30^0 .
42	Alevrolitlar (yoshi – yuqori T). Yotish azimuti 80^0 , yotish burchagi 25^0 .
43	Ohaktoshlar (yoshi – o‘rtal T). Antiklinal o‘qi
44	Ohaktoshlar (yoshi – o‘rtal T). Antiklinal o‘qi
45	Ohaktoshlar (yoshi – o‘rtal T). Antiklinal o‘qi
46	Ohaktoshlar (yoshi – o‘rtal T). Antiklinal o‘qi
47	Alevrolitlar (yoshi – yuqori T). Yotish azimuti 90^0 , yotish

	burchagi 27°.
48	Alevrolitlar (yoshi – yuqori T). Yotish azimuti 250°, yotish burchagi 28°.
49	Qumtoshlar (yoshi – quyi J). Yotish azimuti 250°, yotish burchagi 28°.
50	Alevrolitlar (yoshi – yuqori T). Yotish azimuti 250°, yotish burchagi 27°.
51	Qumtoshlar (yoshi – quyi J). Yotish azimuti 260°, yotish burchagi 30°.
52	Dolomitlar (yoshi – yuqori J). Yotish azimuti 260°, yotish burchagi 30°.
53	Alevrolitlar (yoshi – yuqori T). Antiklinal o'qi.
54	Qumtoshlar (yoshi – quyi J). Yotish azimuti 261°, yotish burchagi 27°.
55	Dolomitlar (yoshi – yuqori J). Yotish azimuti 260°, yotish burchagi 30°.

41	Alevrolitlar (yoshi – S). Yotish azimuti 115°, yotish burchagi 30°
42	Dolomitlar (yoshi – D). Yotish azimuti 115°, yotish burchagi 30°.
43	Organogenli ohaktoshlar (yoshi – o'rtा O). Yotish azimuti 80°, yotish burchagi 28°.
44	Alevrolitlar (yoshi – S). Yotish azimuti 80°, yotish burchagi 31°
45	Uzilma. Yotish azimuti 85°, yotish burchagi 70°. G'arbda - dolomitlar (yoshi – D), sharqda - gravelitlar (yoshi – P)
46	Uzilma. Yotish azimuti 90°, yotish burchagi 70°. G'arbda - qumtoshlar (yoshi – C), sharqda - konglomeratlar (yoshi – quyi T)
47	Mergellar (yoshi – o'rtа T). Sinklinal o'qi.
48	Konglomeratlar (yoshi – quyi T). Yotish azimuti 125°, yotish burchagi 30°.
49	Gravelitlar (yoshi – P). Yotish azimuti 255°, yotish burchagi 30°.
50	Konglomeratlar (yoshi – quyi T). Sinklinal o'qi.
51	Gravelitlar (yoshi – P). Yotish azimuti 120°, yotish burchagi 30°.
52	Uzilma. Yotish azimuti 107°, yotish burchagi 75°. Sharqda - qumtoshlar (yoshi – C), g'arbda - dolomitlar (yoshi – D).
53	Organogenli ohaktoshlar (yoshi – o'rtа O). Yotish azimuti 113°, yotish burchagi 30°.
54	Organogenli ohaktoshlar (yoshi – o'rtа O). Yotish azimuti 105°, yotish burchagi 30°.
55	Uzilma. Yotish azimuti 90°, yotish burchagi 75°. Sharqda - qumtoshlar (yoshi – C), g'arbda - alevrolitlar (yoshi – S).
56	Gravelitlar (yoshi – P). Yotish azimuti 90°, yotish burchagi 32°.
57	Konglomeratlar (yoshi – quyi T). Yotish azimuti 90°, yotish burchagi 32°.
58	Uzilma. Yotish azimuti 85°, yotish burchagi 75°. Sharqda - dolomitlar (yoshi – D), g'arbda - alevrolitlar (yoshi – S).
59	Qumtoshlar (yoshi – C). Yotish azimuti 85°, yotish burchagi 30°
60	Uzilma. Sharqda - qumtoshlar (yoshi – C), g'arbda - alevrolitlar (yoshi – S).
61	Konglomeratlar (yoshi – quyi T). Sinklinal o'qi.
62	Gravelitlar (yoshi – P).
63	Gravelitlar (yoshi – P). Sinklinal o'qi.
64	Uzilma. Sharqda - qumtoshlar (yoshi – C), G'arbda - qumtoshlar (yoshi – C).
65	Uzilma. Yotish azimuti 110°, yotish burchagi 75°. Sharqda - gravelitlar (yoshi – P), g'arbda - qumtoshlar (yoshi – C).

20	Dolomitlar (yoshi – D). Yotish azimuti 270^0 , yotish burchagi 30^0 .
21	Gilli slaneslar (yoshi – quyi O). Yotish azimuti 268^0 , yotish burchagi 30^0 .
22	Organogenli ohaktoshlar (yoshi – o’rta O). Yotish azimuti 270^0 , yotish burchagi 30^0 .
23	Kontakt. Janubi g’arbda Kremniyli jinslar (yoshi- Ǝ), shimoli-sharqda-intruziv jinslar (yoshi – arxey).
24	Dolomitlar (yoshi – D). Yotish azimuti 275^0 , yotish burchagi 30^0 .
25	Organogenli ohaktoshlar (yoshi – o’rta O). Yotish azimuti 275^0 , yotish burchagi 30^0 .
26	Kontakt. G’arbda Kremniyli jinslar (yoshi – Ǝ), sharqda – intruziv jinslar (yoshi – arxey).
27	Alevrolitlar (yoshi – S). Yotish azimuti 275^0 , yotish burchagi 31^0
28	Kontakt. Sharqda Kremniyli jinslar (yoshi – Ǝ), g’arbda – intruziv jinslar (yoshi – arxey).
29	Organogenli ohaktoshlar (yoshi – o’rta O). Yotish azimuti 80^0 , yotish burchagi 28^0 .
30	Organogenli ohaktoshlar (yoshi – o’rta O). Yotish azimuti 80^0 , yotish burchagi 28^0 .
31	Gilli slaneslar (yoshi – quyi O). Yotish azimuti 91^0 , yotish burchagi 30^0 .
32	Kontakt. Sharqda Kremniyli jinslar (yoshi – Ǝ), g’arbda – intruziv jinslar (yoshi – arxey).
33	Gilli slaneslar (yoshi – quyi O). Yotish azimuti 110^0 , yotish burchagi 30^0 .
34	Kontakt. Sharqda Kremniyli jinslar (yoshi – Ǝ), g’arbda – intruziv jinslar (yoshi – arxey).
35	Gilli slaneslar (yoshi – quyi O). Yotish azimuti 110^0 , yotish burchagi 28^0 .
36	Kontakt. G’arbda Kremniyli jinslar (yoshi – Ǝ), sharqda – intruziv jinslar (yoshi – arxey).
37	Kontakt. G’arbda Kremniyli jinslar (yoshi – Ǝ), sharqda – intruziv jinslar (yoshi – arxey).
38	Kontakt. Sharqda Kremniyli jinslar (yoshi – Ǝ), g’arbda – intruziv jinslar (yoshi – arxey).
39	Gilli slaneslar (yoshi – quyi O). Yotish azimuti 115^0 , yotish burchagi 30^0 .
40	Organogenli ohaktoshlar (yoshi – o’rta O). Yotish azimuti 113^0 , yotish burchagi 30^0 .



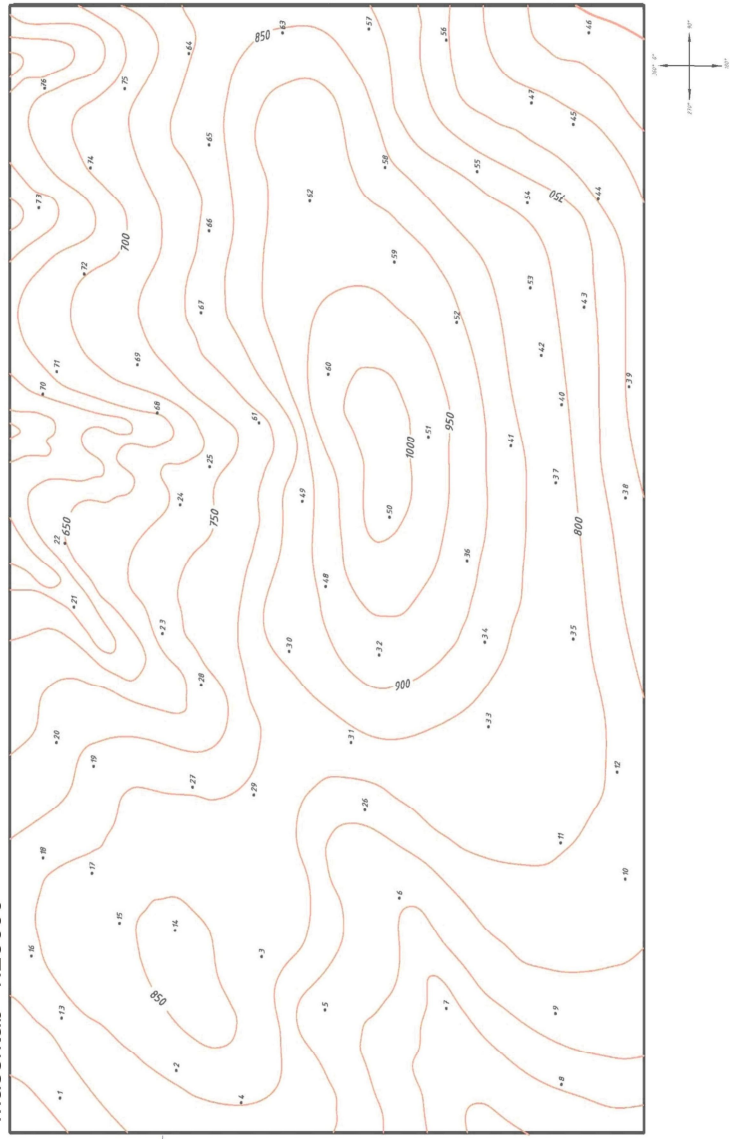
14-variant

Kuzatuv nuqtasi	Kuzatuv nuqtasidan olingan ma'lumotlar
1	Alevrolitlar (yoshi – paleosen). Yotish azimuti 83^0 , yotish burchagi 30^0 .
2	Alevrolitlar (yoshi – paleosen). Yotish azimuti 80^0 , yotish burchagi 31^0 .
3	Alevrolitlar (yoshi – paleosen). Yotish azimuti 78^0 , yotish burchagi 31^0 .
4	Ohaktoshlar (yoshi – yuqori K). Yotish azimuti 75^0 , yotish burchagi 30^0 .
5	Ohaktoshlar (yoshi – yuqori K). Yotish azimuti 73^0 , yotish burchagi 29^0 .
6	Ohaktoshlar (yoshi – yuqori K). Yotish azimuti 75^0 , yotish burchagi 31^0 .
7	Gillar (yoshi – quyi K). Yotish azimuti 76^0 , yotish burchagi 27^0 .
8	Konglomeratlar (yoshi – yuqori J). Yotish azimuti 77^0 , yotish burchagi 27^0 .
9	Gillar (yoshi – quyi K). Yotish azimuti 77^0 , yotish burchagi 31^0 .
10	Gillar (yoshi – quyi K). Yotish azimuti 76^0 , yotish burchagi 32^0 .
11	Ohaktoshlar (yoshi – yuqori K). Yotish azimuti 78^0 , yotish burchagi 27^0 .
12	Ohaktoshlar (yoshi – yuqori K). Yotish azimuti 78^0 , yotish burchagi 26^0 .
13	Qumtoshlar (yoshi – eosen). Sinklinal o'qi.
14	Qumtoshlar (yoshi – eosen). Sinklinal o'qi.
15	Qumtoshlar (yoshi – eosen). Sinklinal o'qi.
16	Alevrolitlar (yoshi – paleosen). Yotish azimuti 230^0 , yotish burchagi 28^0 .
17	Alevrolitlar (yoshi – paleosen). Yotish azimuti 235^0 , yotish burchagi 31^0 .
18	Ohaktoshlar (yoshi – yuqori K). Yotish azimuti 240^0 , yotish burchagi 29^0 .
19	Ohaktoshlar (yoshi – yuqori K). Yotish azimuti 230^0 , yotish burchagi 31^0 .
20	Gillar (yoshi – quyi K). Yotish azimuti 215^0 , yotish burchagi 28^0 .
21	Gillar (yoshi – quyi K). Yotish azimuti 210^0 , yotish burchagi 28^0 .
22	Konglomeratlar (yoshi – yuqori J). Yotish azimuti 220^0 , yotish burchagi 32^0 .
23	Gillar (yoshi – quyi K). Yotish azimuti 217^0 , yotish burchagi 32^0 .

26-variant

Kuzatuv nuqtasi	Kuzatuv nuqtasidan olingan ma'lumotlar
1	Gillar (yoshi-yura). Yotishazimuti 270^0 , yotish burchagi 30^0 .
2	Mergellar (yoshi – o'rtal T). Yotish azimuti 277^0 , yotish burchagi 30^0 .
3	Uzilma. Sharqda – Qumtoshlar (yoshi – C), g'arbda – konglomeratlar (yoshi – quyi T).
4	Konglomeratlar (yoshi – quyi T). Yotish azimuti 273^0 , yotish burchagi 31^0 .
5	Gillar (yoshi - J). Yotish azimuti 285^0 , yotish burchagi 30^0 .
6	Mergellar (yoshi – o'rtal T). Yotish azimuti 285^0 , yotish burchagi 30^0 .
7	Gillar (yoshi- J).Yotish azimuti 350^0 , yotish burchagi 27^0 .
8	Konglomeratlar (yoshi – quyi T). Yotish azimuti 285^0 , yotish burchagi 30^0 .
9	Uzilma. Yotish azimuti 270^0 , yotish burchagi 70^0 . Sharqda – qumtoshlar (yoshi – C), g'arbda - konglomeratlar (yoshi – quyi T).
10	Uzilma. Yotish azimuti 270^0 , yotish burchagi 70^0 . Sharqda – gravelitlar (yoshi – P), g'arbda - konglomeratlar (yoshi – quyi T).
11	Mergellar (yoshi – o'rtal T). Sinklinal o'qi.
12	Mergellar (yoshi – o'rtal T). Sinklinal o'qi.
13	Uzilma. Yotish azimuti 255^0 , yotish burchagi 70^0 . Sharqda – gravelitlar (yoshi – P), g'arbda - konglomeratlar (yoshi – quyi T).
14	Uzilma. Yotish azimuti 290^0 , yotish burchagi 70^0 . Sharqda – gravelitlar (yoshi – P), g'arbda - konglomeratlar (yoshi – quyi T).
15	Dolomitlar (yoshi – D). Yotish azimuti 277^0 , yotish burchagi 30^0 .
16	Organogenli ohaktoshlar (yoshi – o'rtal O). Yotish azimuti 277^0 , yotish burchagi 28^0 .
17	Kontakt. Janubda Kremniyli jinslar (yoshi – Ǝ), shimolda – intruziv jinslar (yoshi – arxey).
18	Gilli slaneslar (yoshi – quyi O). Yotish azimuti 275^0 , yotish burchagi 31^0
19	Alevrolitlar (yoshi – S). Yotish azimuti 275^0 , yotish burchagi 31^0

25-variant (14)
Masshtab 1:25000

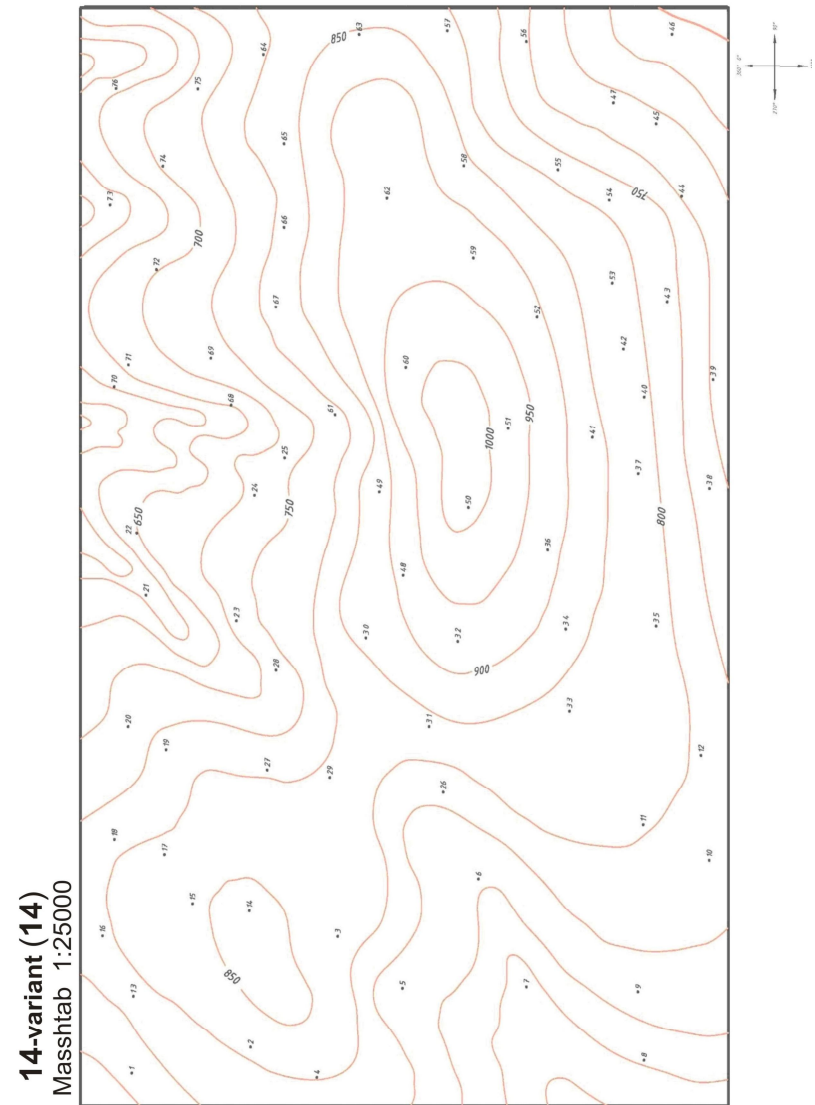


24	Gillar (yoshi-quyi K). Yotish azimuti 230^0 , yotish burchagi 32^0 .
25	Tektonik buzilish. Surilma. Kuzatuv nuqtasidan shimolda gillar (yoshi - quyi K), janubda - mergellar (yoshi - yuqori sillur).
26	Alevrolitlar (yoshi - paleosen). Yotish azimuti 77^0 , yotish burchagi 30^0 .
27	Alevrolitlar (yoshi - paleosen). Yotish azimuti 235^0 , yotish burchagi 31^0 .
28	Ohaktoshlar (yoshi - yuqori K). Yotish azimuti 233^0 , yotish burchagi 31^0 .
29	Qumtoshlar (yoshi - eosen). Sinklinal.
30	Tektonik buzilish. Surilma. Shimoli-g'arbda alevrolitlar (yoshi - paleosen), janubi-shraqda qumtoshlar (yoshi - o'rtal devon).
31	Qumtoshlar (yoshi - eosen). Sinklinal.
32	Tektonik buzilish. Surilma. G'arbda qumtoshlar (yoshi - eosen), sharqda - qumtoshlar (yoshi - o'rtal devon).
33	Alevrolitlar (yoshi - paleosen). Yotish azimuti 75^0 , yotish burchagi 30^0 .
34	Qumtoshlar (yoshi - eosen). Sinklinal.
35	Alevrolitlar (yoshi - paleosen). Yotish azimuti 77^0 , yotish burchagi 28^0 .
36	Tektonik buzilish. Surilma. Janubi-g'arbda Qumtoshlar (yoshi - eosen), sinklinal o'qi. Shimoli-shraqda - Gillar (yoshi - quyi devon). Yotish azimuti 85^0 , yotish burchagi 35^0 .
37	Qumtoshlar (yoshi - eosen). Sinklinal.
38	Alevrolitlar (yoshi - paleosen). Yotish azimuti 60^0 , yotish burchagi 30^0 .
39	Alevrolitlar (yoshi - paleosen). Yotish azimuti 285^0 , yotish burchagi 31^0 .
40	Alevrolitlar (yoshi - paleosen). Yotish azimuti 265^0 , yotish burchagi 30^0 .
41	Tektonik buzilish. Surilma. Shimolda mergellar (yoshi - yuqori sillur), janubda - alevrolitlar (yoshi - paleosen).
42	Tektonik buzilish. Surilma. Shimolda - ohaktoshlar (yoshi - quyi sillur), janubda - ohaktoshlar (yoshi - yuqori bo'r).
43	Ohaktoshlar (yoshi - yuqori K). Yotish azimuti 275^0 , yotish burchagi 31^0 .
44	Gillar (yoshi - quyi K). Yotish azimuti 275^0 , yotish burchagi 32^0 .
45	Konglomeratlar (yoshi - yuqori J). Yotish azimuti 277^0 , yotish burchagi 30^0 .
46	Konglomeratlar (yoshi - yuqori J). Yotish azimuti 281^0 , yotish burchagi 32^0 .
47	Tektonik buzilish. Surilma. Shimolda - ohaktoshlar (yoshi - quyi S), janubda - konglomeratlar (yoshi - yuqori J).

48	Gillar (yoshi – quyi D). Yotish azimuti 90^0 , yotish burchagi 32^0 .
49	Mergellar (yoshi – yuqori S). Yotish azimuti 92^0 , yotish burchagi 32^0 .
50	Mergellar (yoshi – yuqori S). Yotish azimuti 90^0 , yotish burchagi 30^0 .
51	Ohaktoshlar (yoshi – quyi S). Yotish azimuti 80^0 , yotish burchagi 31^0 .
52	Dolomitlar (yoshi – O). Antiklinal o'qi. O'q tekkisligi qiyshiq.
53	Dolomitlar (yoshi – O). Antiklinal o'qi.
54	Dolomitlar (yoshi – O). Antiklinal o'qi
55	Ohaktoshlar (yoshi – quyi S). Yotish azimuti 80^0 , yotish burchagi 30^0 .
56	Mergellar (yoshi – yuqori S). Yotish azimuti 78^0 , yotish burchagi 32^0 .
57	Mergellar (yoshi – yuqori S). Yotish azimuti 65^0 , yotish burchagi 32^0 .
58	Mergellar (yoshi – yuqori S). Yotish azimuti 75^0 , yotish burchagi 32^0 .
59	Ohaktoshlar (yoshi – quyi S). Yotish azimuti 80^0 , yotish burchagi 30^0 .
60	Dolomitlar (yoshi – O). Antiklinal o'qi. O'q tekkisligi qiyshiq.
61	Ohaktoshlar (yoshi – quyi S). Yotish azimuti 80^0 , yotish burchagi 30^0 .
62	Mergellar (yoshi – yuqori S). Yotish azimuti 80^0 , yotish burchagi 32^0 .
63	Gillar (yoshi – quyi D). Yotish azimuti 80^0 , yotish burchagi 32^0 .
64	Mergellar (yoshi – yuqori sillur). Yotish azimuti 85^0 , yotish burchagi 31^0 .
65	Mergellar (yoshi – yuqori S). Yotish azimuti 85^0 , yotish burchagi 31^0 .
66	Ohaktoshlar (yoshi – quyi S). Yotish azimuti 100^0 , yotish burchagi 30^0 .
67	Dolomitlar (yoshi – O). Antiklinal.
68	Tektonik buzilish. Surilma. G'arbda - konglomeratlar (yoshi – yuqori yura), sharqda - ohaktoshlar (yoshi – quyi sillur)
69	Dolomitlar (yoshi – ordovik).
70	Tektonik buzilish. Surilma. G'arbda - konglomeratlar (yoshi – yuqori J), sharqda - ohaktoshlar (yoshi – quyi S)
71	Dolomitlar (yoshi – O). Antiklinal o'qi. O'q tekkisligi qiyshiq.
72	Dolomitlar (yoshi – O). Antiklinal o'qi. O'q tekkisligi qiyshiq.
73	Dolomitlar (yoshi – O). Antiklinal o'qi. O'q tekkisligi qiyshiq.
74	Ohaktoshlar (yoshi – quyi S). Yotish azimuti 90^0 , yotish burchagi 33^0 .
75	Mergellar (yoshi – yuqori S). Yotish azimuti 95^0 , yotish burchagi 30^0 .
76	Mergellar (yoshi – yuqori S). Yotish azimuti 100^0 , yotish burchagi 30^0 .

48	Gillar (yoshi – o'rtal C). Yotish azimuti 90^0 , yotish burchagi 32^0 .
49	Mergellar (yoshi – quyi C). Yotish azimuti 92^0 , yotish burchagi 32^0 .
50	Mergellar (yoshi – quyi C). Yotish azimuti 90^0 , yotish burchagi 30^0 .
51	Ohaktoshlar (yoshi – D). Yotish azimuti 80^0 , yotish burchagi 31^0 .
52	Dolomitlar (yoshi – S). Antiklinal o'qi. O'q tekkisligi qiyshiq.
53	Dolomitlar (yoshi – S). Antiklinal o'qi.
54	Dolomitlar (yoshi – S). Antiklinal o'qi.
55	Ohaktoshlar (yoshi – D). Yotish azimuti 80^0 , yotish burchagi 30^0 .
56	Mergellar (yoshi – quyi C). Yotish azimuti 78^0 , yotish burchagi 32^0 .
57	Mergellar (yoshi – quyi C). Yotish azimuti 65^0 , yotish burchagi 32^0 .
58	Mergellar (yoshi – quyi C). Yotish azimuti 75^0 , yotish burchagi 32^0 .
59	Ohaktoshlar (yoshi – D). Yotish azimuti 80^0 , yotish burchagi 30^0 .
60	Dolomitlar (yoshi – S). Antiklinal o'qi. O'q tekkisligi qiyshiq.
61	Ohaktoshlar (yoshi – D). Yotish azimuti 80^0 , yotish burchagi 30^0 .
62	Mergellar (yoshi – quyi C). Yotish azimuti 80^0 , yotish burchagi 32^0 .
63	Gillar (yoshi – o'rtal C). Yotish azimuti 80^0 , yotish burchagi 32^0 .
64	Mergellar (yoshi – quyi C). Yotish azimuti 85^0 , yotish burchagi 31^0 .
65	Mergellar (yoshi – quyi C). Yotish azimuti 85^0 , yotish burchagi 31^0 .
66	Ohaktoshlar (yoshi – D). Yotish azimuti 100^0 , yotish burchagi 30^0 .
67	Dolomitlar (yoshi – S). Antiklinal o'qi.
68	Tektonik buzilish. Surilma. G'arbda - konglomeratlar (yoshi – T), sharqda - ohaktoshlar (yoshi – D)
69	Dolomitlar (yoshi – S).
70	Tektonik buzilish. Surilma. G'arbda - konglomeratlar (yoshi – T), sharqda - ohaktoshlar (yoshi – D)
71	Dolomitlar (yoshi – S). Antiklinal o'qi. O'q tekkisligi qiyshiq.
72	Dolomitlar (yoshi – S). Antiklinal o'qi. O'q tekkisligi qiyshiq.
73	Dolomitlar (yoshi – S). Antiklinal o'qi. O'q tekkisligi qiyshiq.
74	Ohaktoshlar (yoshi – D). Yotish azimuti 90^0 , yotish burchagi 33^0 .
75	Mergellar (yoshi – quyi C). Yotish azimuti 95^0 , yotish burchagi 30^0 .
76	Mergellar (yoshi – quyi C). Yotish azimuti 100^0 , yotish burchagi 30^0 .

	(yoshi – J), janubda – mergellar (yoshi – quyi C).
26	Alevrolitlar (yoshi – paleogen). Yotish azimuti 77^0 , yotish burchagi 30^0 .
27	Alevrolitlar (yoshi – paleogen). Yotish azimuti 235^0 , yotish burchagi 31^0 .
28	Ohaktoshlar (yoshi – K). Yotish azimuti 233^0 , yotish burchagi 31^0 .
29	Qumtoshlar (yoshi – N). Sinklinal.
30	Tektonik buzilish. Surilma. Shimoli-g'arbda - alevrolitlar (yoshi – paleogen), janubi-sharqda qumtoshlar (yoshi – yuqori C).
31	Qumtoshlar (yoshi – N). Sinklinal.
32	Tektonik buzilish. Surilma. g'arbda qumtoshlar (yoshi – N), sharqda - qumtoshlar (yoshi – yuqori C).
33	Alevrolitlar (yoshi – paleogen). Yotish azimuti 75^0 , yotish burchagi 30^0 .
34	Qumtoshlar (yoshi – N). Sinklinal.
35	Alevrolitlar (yoshi – paleogen). Yotish azimuti 77^0 , yotish burchagi 28^0 .
36	Tektonik buzilish. Surilma. Janubi-g'arbda qumtoshlar (yoshi – N), sinklinal o'qi. Shimoli-sharqda - gillar (yoshi – o'rta C). Yotish azimuti 85^0 , yotish burchagi 35^0 .
37	Qumtoshlar (yoshi – N). Sinklinal.
38	Alevrolitlar (yoshi – paleogen). Yotish azimuti 60^0 , yotish burchagi 30^0 .
39	Alevrolitlar (yoshi – paleogen). Yotish azimuti 285^0 , yotish burchagi 31^0 .
40	Alevrolitlar (yoshi – paleogen). Yotish azimuti 265^0 , yotish burchagi 30^0 .
41	Tektonik buzilish. Surilma. Shimolda mergellar (yoshi – quyi C), janubda - alevrolitlar (yoshi – paleogen)
42	Tektonik buzilish. Surilma. Shimolda - ohaktoshlar (yoshi – D), janubda - ohaktoshlar (yoshi – K).
43	Ohaktoshlar (yoshi – K). Yotish azimuti 275^0 , yotish burchagi 31^0 .
44	Gillar (yoshi – J). Yotish azimuti 275^0 , yotish burchagi 32^0 .
45	Konglomeratlar (yoshi – T). Yotish azimuti 277^0 , yotish burchagi 30^0 .
46	Konglomeratlar (yoshi – T). Yotish azimuti 281^0 , yotish burchagi 32^0 .
47	Tektonik buzilish. Surilma. Shimolda - ohaktoshlar (yoshi – D), janubda - Konglomeratlar (yoshi – T).



15-variant

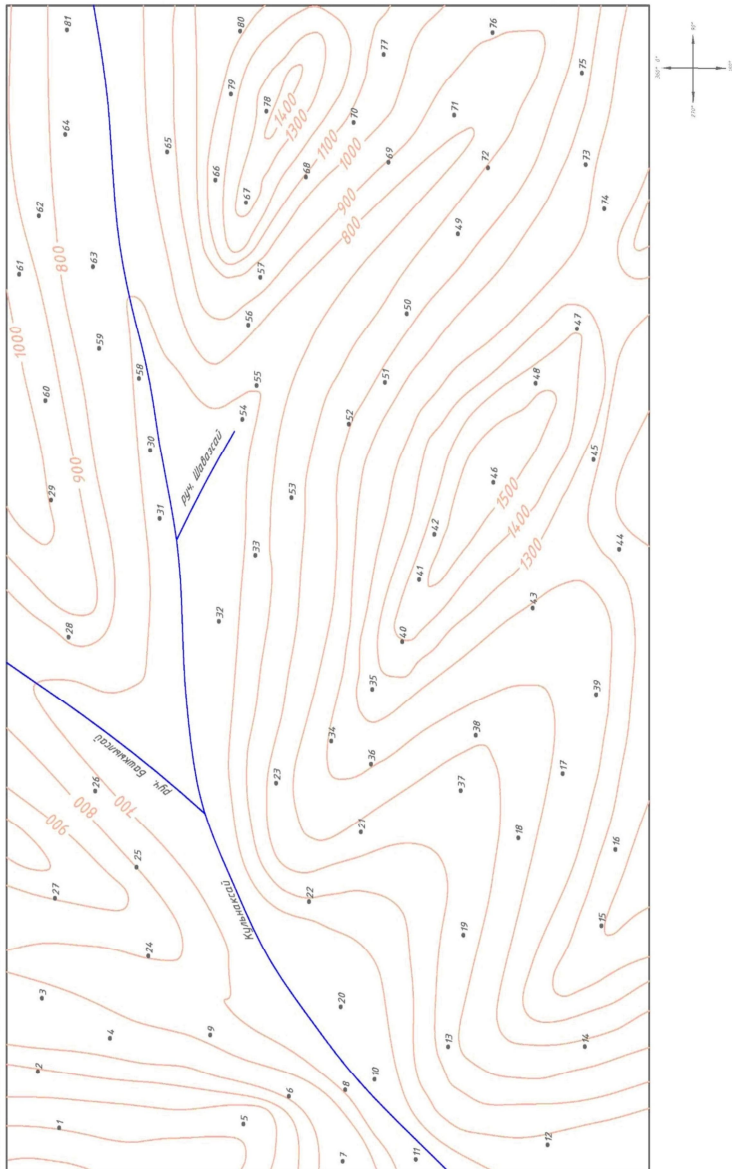
Kuzatuv nuqtasi	Kuzatuv nuqtasidan olingan ma'lumotlar
1	Gillar (yoshi – quyi P). Yotish azimuti 270^0 , yotish burchagi 30^0 .
2	Mergellar (yoshi – yuqori C). Yotish azimuti 277^0 , yotish burchagi 30^0 .
3	Uzilma. Sharqda – Qumtoshlar (yoshi – yuqori D), g'arbda – konglomeratlar (yoshi – o'rta C)
4	Konglomeratlar (yoshi – o'rta C). Yotish azimuti 273^0 , yotish burchagi 31^0 .
5	Gillar (yoshi – quyi P). Yotish azimuti 285^0 , yotish burchagi 30^0 .
6	Mergellar (yoshi – yuqori C). Yotish azimuti 285^0 , yotish burchagi 30^0 .
7	Gillar (yoshi – quyi P). Yotish azimuti 350^0 , yotish burchagi 27^0 .
8	Konglomeratlar (yoshi – o'rta C). Yotish azimuti 285^0 , yotish burchagi 30^0 .
9	Uzilma. Yotish azimuti 270^0 , yotish burchagi 70^0 . Sharqda – Qumtoshlar (yoshi – yuqori D), g'arbda - konglomeratlar (yoshi – o'rta C).
10	Uzilma. Yotish azimuti 270^0 , yotish burchagi 70^0 . Sharqda – gravelitlar (yoshi – quyi C), g'arbda – konglomeratlar (yoshi – o'rta C).
11	Mergellar (yoshi – yuqori C). Sinklinal o'qi.
12	Mergellar (yoshi – yuqori C). Sinklinal o'qi.
13	Uzilma. Yotish azimuti 255^0 , yotish burchagi 70^0 . Sharqda – gravelitlar (yoshi – quyi C), g'arbda - konglomeratlar (yoshi – o'rta C).
14	Uzilma. Yotish azimuti 290^0 , yotish burchagi 70^0 . Sharqda – gravelitlar (yoshi – quyi C), g'arbda - konglomeratlar (yoshi – o'rta C).
15	Dolomitlar (yoshi – o'rta D). Yotish azimuti 277^0 , yotish burchagi 30^0 .
16	Organogenli ohaktoshlar (yoshi – yuqori S). Yotish azimuti 277^0 , yotish burchagi 28^0 .
17	Kontakt. Janubda kremniyli jinslar (yoshi – yuqori O), shimolda – intruziv jinslar (yoshi – Proterozoy).
18	Gilli slaneslar (yoshi – quyi S). Yotish azimuti 275^0 , yotish burchagi 31^0

25-variant

Kuzatuv nuqtasi	Kuzatuv nuqtasidan olingan ma'lumotlar
1	Alevrolitlar (yoshi – paleogen). Yotish azimuti 83^0 , yotish burchagi 30^0 .
2	Alevrolitlar (yoshi – paleogen). Yotish azimuti 80^0 , yotish burchagi 31^0 .
3	Alevrolitlar (yoshi – paleogen). Yotish azimuti 78^0 , yotish burchagi 31^0 .
4	Ohaktoshlar (yoshi – K). Yotish azimuti 75^0 , yotish burchagi 30^0 .
5	Ohaktoshlar (yoshi – K). Yotish azimuti 73^0 , yotish burchagi 29^0 .
6	Ohaktoshlar (yoshi – K). Yotish azimuti 75^0 , yotish burchagi 31^0 .
7	Gillar (yoshi – J). Yotish azimuti 76^0 , yotish burchagi 27^0 .
8	Konglomeratlar (yoshi – T). Yotish azimuti 77^0 , yotish burchagi 27^0 .
9	Gillar (yoshi – J). Yotish azimuti 77^0 , yotish burchagi 31^0 .
10	Gillar (yoshi – J). Yotish azimuti 76^0 , yotish burchagi 32^0 .
11	Ohaktoshlar (yoshi – K). Yotish azimuti 78^0 , yotish burchagi 27^0 .
12	Ohaktoshlar (yoshi – K). Yotish azimuti 78^0 , yotish burchagi 26^0 .
13	Qumtoshlar (yoshi – neogen). Sinklinal o'qi.
14	Qumtoshlar (yoshi – neogen). Sinklinal o'qi.
15	Qumtoshlar (yoshi – neogen). Sinklinal o'qi .
16	Alevrolitlar (yoshi – paleogen). Yotish azimuti 230^0 , yotish burchagi 28^0 .
17	Alevrolitlar (yoshi – paleogen). Yotish azimuti 235^0 , yotish burchagi 31^0 .
18	Ohaktoshlar (yoshi – K). Yotish azimuti 240^0 , yotish burchagi 29^0 .
19	Ohaktoshlar (yoshi – K). Yotish azimuti 230^0 , yotish burchagi 31^0 .
20	Gillar (yoshi – J). Yotish azimuti 215^0 , yotish burchagi 28^0 .
21	Gillar (yoshi – J). Yotish azimuti 210^0 , yotish burchagi 28^0 .
22	Konglomeratlar (yoshi –T). Yotish azimuti 220^0 , yotish burchagi 32^0 .
23	Gillar (yoshi – J). Yotish azimuti 217^0 , yotish burchagi 32^0 .
24	Gillar(yoshi– J).Yotish azimuti 230^0 ,yotish burchagi 32^0 .
25	Tektonik buzilish. Surilma. Kuzatuv nuqtasidan shimolda gillar

24-variant (21)

Massstab 1:500000



19	Alevrolitlar (yoshi – quyi D). Yotish azimuti 275^0 , yotish burchagi 31^0
20	Dolomitlar (yoshi – o‘rta D). Yotish azimuti 270^0 , yotish burchagi 30^0 .
21	Gilli slaneslar (yoshi – quyi S). Yotish azimuti 268^0 , yotish burchagi 30^0
22	Organogenli ohaktoshlar (yoshi – yuqori S). Yotish azimuti 270^0 , yotish burchagi 30^0 .
23	Kontakt. Janubi-g‘arbda kremniyli jinslar (yoshi – yuqori O), shimoli-sharqda intruziv jinslar (yoshi – Proterozoy).
24	Dolomitlar (yoshi – o‘rta D). Yotish azimuti 275^0 , yotish burchagi 30^0 .
25	Organogenli ohaktoshlar (yoshi – yuqori S). Yotish azimuti 275^0 , yotish burchagi 30^0 .
26	Kontakt. G‘arbda kremniyli jinslar (yoshi – yuqori O), sharqda – intruziv jinslar (yoshi – Proterozoy).
27	Alevrolitlar (yoshi – quyi D). Yotish azimuti 275^0 , yotish burchagi 31^0
28	Kontakt. Sharqda kremniyli jinslar (yoshi – yuqori O), g‘arbda – intruziv jinslar (yoshi – Proterozoy) .
29	Organogenli ohaktoshlar (yoshi – yuqori S). Yotish azimuti 80^0 , yotish burchagi 28^0 .
30	Organogenli ohaktoshlar (yoshi – yuqori S). Yotish azimuti 80^0 , yotish burchagi 28^0 .
31	Gilli slaneslar (yoshi – quyi S). Yotish azimuti 91^0 , yotish burchagi 30^0
32	Kontakt. Sharqda kremniyli jinslar (yoshi – yuqori O), g‘arbda – intruziv jinslar (yoshi – Proterozoy).
33	Gilli slaneslar (yoshi – quyi S). Yotish azimuti 110^0 , yotish burchagi 30^0
34	Kontakt. Sharqda kremniyli jinslar (yoshi – yuqori ordovik), g‘arbda – intruziv jinslar (yoshi – proterozoy).
35	Gilli slaneslar (yoshi – quyi S). Yotish azimuti 110^0 , yotish burchagi 28^0
36	Kontakt. G‘arbda kremniyli jinslar (yoshi – yuqori O), sharqda – intruziv jinslar (yoshi – Proterozoy).
37	Kontakt. G‘arbda kremniyli jinslar (yoshi – yuqori O), sharqda – intruziv jinslar (yoshi – Proterozoy).

38	Kontakt. Sharqda kremniyli jinslar (yoshi – yuqori ordovik), g‘arbda – intruziv jinslar (yoshi – Proterozoy) .
39	Gilli slaneslar (yoshi – quyi S). Yotish azimuti 115^0 , yotish burchagi 30^0
40	Organogenli ohaktoshlar (yoshi – yuqori S). Yotish azimuti 113^0 , yotish burchagi 30^0 .
41	Alevrolitlar (yoshi – quyi D). Yotish azimuti 115^0 , yotish burchagi 30^0
42	Dolomitlar (yoshi – o‘rtal D). Yotish azimuti 115^0 , yotish burchagi 30^0 .
43	Organogenli ohaktoshlar (yoshi – yuqori S). Yotish azimuti 80^0 , yotish burchagi 28^0 .
44	Alevrolitlar (yoshi – quyi D). Yotish azimuti 80^0 , yotish burchagi 31^0
45	Uzilma. Yotish azimuti 85^0 , yotish burchagi 70^0 . G‘arbda - Dolomitlar (yoshi – o‘rtal D), sharqda - gravelitlar (yoshi – quyi C)
46	Uzilma. Yotish azimuti 90^0 , yotish burchagi 70^0 . G‘arbda - qumtoshlar (yoshi – yuqori D), sharqda - konglomeratlar (yoshi – o‘rtal C)
47	Mergellar (yoshi – yuqori C). Sinklinal.
48	Konglomeratlar (yoshi – o‘rtal C). Yotish azimuti 125^0 , yotish burchagi 30^0 .
49	Gravelitlar (yoshi – quyi C). Yotish azimuti 255^0 , yotish burchagi 30^0 .
50	Konglomeratlar (yoshi – o‘rtal C). Sinklinal o‘qi.
51	Gravelitlar (yoshi – quyi C). Yotish azimuti 120^0 , yotish burchagi 30^0 .
52	Uzilma. Yotish azimuti 107^0 , yotish burchagi 75^0 . Sharqda - Qumtoshlar (yoshi – yuqori D), G‘arbda – dolomitlar (yoshi – o‘rtal D).
53	Organogenli ohaktoshlar (yoshi – yuqori S). Yotish azimuti 113^0 , yotish burchagi 30^0 .
54	Organogenli ohaktoshlar (yoshi – yuqori S). Yotish azimuti 105^0 , yotish burchagi 30^0 .
55	Uzilma. Yotish azimuti 90^0 , yotish burchagi 75^0 . Sharqda - qumtoshlar (yoshi – yuqori D), g‘arbda - alevrolitlar (yoshi – quyi D).
56	Gravelitlar (yoshi – quyi C). Yotish azimuti 90^0 , yotish burchagi 32^0 .
57	Konglomeratlar (yoshi – o‘rtal C). Yotish azimuti 90^0 , yotish burchagi 32^0 .
58	Uzilma. Yotish azimuti 85^0 , yotish burchagi 75^0 . Sharqda -

	30^0 .
76	Dolomitlar (yoshi – o‘rtal D). Yotish azimuti 270^0 , yotish burchagi 30^0 .
77	Qumtoshlar (yoshi – yuqori D). Yotish azimuti 300^0 , yotish burchagi 32^0 .
78	Konglomeratlar (yoshi – o‘rtal C). Yotish azimuti 270^0 , yotish burchagi 30^0 .
79	Gravelitlar (yoshi – quyi C). Yotish azimuti 255^0 , yotish burchagi 32^0 .
80	Qumtoshlar (yoshi – yuqori D). Yotish azimuti 260^0 , yotish burchagi 29^0 .
81	Dolomitlar (yoshi – o‘rtal D). Yotish azimuti 270^0 , yotish burchagi 32^0 .

	qumtoshlar (yoshi – yuqori D), g‘arbda - alevrolitlar (yoshi – quyi D).
56	Gravelitlar (yoshi – quyi C). Yotish azimuti 90^0 , yotish burchagi 32^0 .
57	Konglomeratlar (yoshi – o‘rta C). Yotish azimuti 90^0 , yotish burchagi 32^0 .
58	Uzilma. Yotish azimuti 85^0 , yotish burchagi 75^0 . Sharqda - dolomitlar (yoshi – o‘rta D), g‘arbda - alevrolitlar (yoshi – quyi D).
59	Qumtoshlar (yoshi – yuqori D). Yotish azimuti 85^0 , yotish burchagi 30^0
60	Uzilma. Sharqda - qumtoshlar (yoshi – yuqori D), g‘arbda - alevrolitlar (yoshi – quyi D).
61	Konglomeratlar (yoshi – o‘rta C). Sinklinal o‘qi.
62	Gravelitlar (yoshi – quyi C).
63	Gravelitlar (yoshi – quyi C). Sinklinal o‘qi.
64	Uzilma. Sharqda - Qumtoshlar (yoshi – yuqori D), g‘arbda - qumtoshlar (yoshi – yuqori D).
65	Uzilma. Yotish azimuti 110^0 , yotish burchagi 75^0 . Sharqda - gravelitlar (yoshi – quyi C), g‘arbda - qumtoshlar (yoshi – yuqori D).
66	Uzilma. Sharqda - konglomeratlar (yoshi – o‘rta C), g‘arbda - gravelitlar (yoshi – quyi C).
67	Uzilma. Sharqda - konglomeratlar (yoshi – o‘rta C), g‘arbda - konglomeratlar (yoshi – o‘rta C).
68	Uzilma. Yotish azimuti 80^0 , yotish burchagi 75^0 . Sharqda - konglomeratlar (yoshi – o‘rta C), g‘arbda - gravelitlar (yoshi – quyi C)
69	Uzilma. Yotish azimuti 80^0 , yotish burchagi 70^0 . Sharqda - gravelitlar (yoshi – quyi C), g‘arbda - qumtoshlar (yoshi – yuqori D).
70	Gravelitlar (yoshi – quyi C). Yotish azimuti 300^0 , yotish burchagi 30^0 .
71	Qumtoshlar (yoshi – yuqori D). Yotish azimuti 270^0 , yotish burchagi 30^0 .
72	Uzilma. Yotish azimuti 100^0 , yotish burchagi 75^0 . Sharqda - gravelitlar (yoshi – quyi C), g‘arbda - qumtoshlar (yoshi – yuqori D).
73	Gravelitlar (yoshi – quyi C). Yotish azimuti 250^0 , yotish burchagi 32^0 .
74	Uzilma. Yotish azimuti 115^0 , yotish burchagi 75^0 . Sharqda - konglomeratlar (yoshi – o‘rta C), g‘arbda - Gravelitlar (yoshi – quyi C)
75	Qumtoshlar (yoshi – yuqori D). Yotish azimuti 250^0 , yotish burchagi 30^0 .

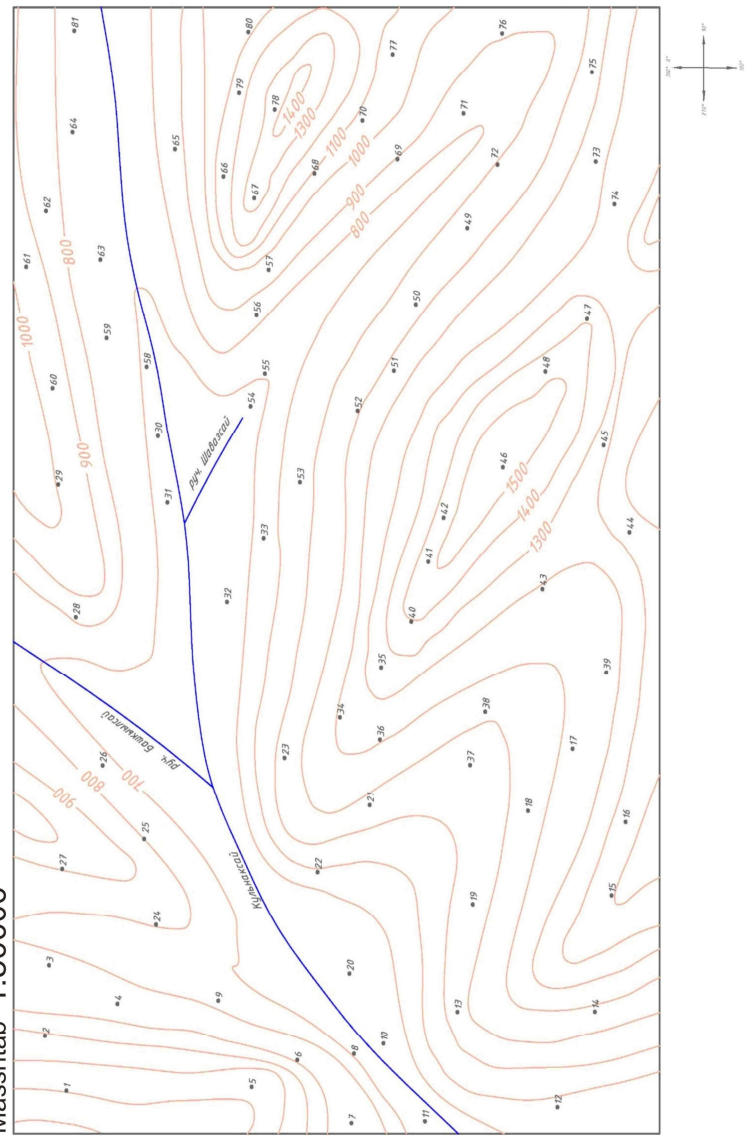
	Dolomitlar (yoshi – o‘rta D), G‘arbda - Alevrolitlar (yoshi – quyi devon).
59	Qumtoshlar (yoshi – yuqori D). Yotish azimuti 85^0 , yotish burchagi 30^0
60	Uzilma. Sharqda - qumtoshlar (yoshi – yuqori D), g‘arbda - alevrolitlar (yoshi – quyi D).
61	Konglomeratlar (yoshi – o‘rta C). Sinklinal o‘qi.
62	Gravelitlar (yoshi – quyi C).
63	Gravelitlar (yoshi – quyi C). Sinklinal o‘qi.
64	Uzilma. Sharqda - qumtoshlar (yoshi – yuqori D), g‘arbda - qumtoshlar (yoshi – yuqori D).
65	Uzilma. Yotish azimuti 110^0 , yotish burchagi 75^0 . Sharqda - gravelitlar (yoshi – quyi C), G‘arbda - qumtoshlar (yoshi – yuqori C).
66	Uzilma. Sharqda - konglomeratlar (yoshi – o‘rta C), g‘arbda - gravelitlar (yoshi – quyi C)
67	Uzilma. Sharqda - konglomeratlar (yoshi – o‘rta C), g‘arbda - konglomeratlar (yoshi – o‘rta C).
68	Uzilma. Yotish azimuti 80^0 , yotish burchagi 75^0 . Sharqda - konglomeratlar (yoshi – o‘rta C), g‘arbda - gravelitlar (yoshi – quyi C)
69	Uzilma. Yotish azimuti 80^0 , yotish burchagi 70^0 . Sharqda - gravelitlar (yoshi – quyi C), g‘arbda - qumtoshlar (yoshi – yuqori D).
70	Gravelitlar (yoshi – quyi C). Yotish azimuti 300^0 , yotish burchagi 30^0 .
71	Qumtoshlar (yoshi – yuqori D). Yotish azimuti 270^0 , yotish burchagi 30^0 .
72	Uzilma. Yotish azimuti 100^0 , yotish burchagi 75^0 . Sharqda - gravelitlar (yoshi – quyi C), g‘arbda - qumtoshlar (yoshi – yuqori D).
73	Gravelitlar (yoshi – quyi C). Yotish azimuti 250^0 , yotish burchagi 32^0 .
74	Uzilma. Yotish azimuti 115^0 , yotish burchagi 75^0 . Sharqda - Konglomeratlar (yoshi – o‘rta C), G‘arbda - Gravelitlar (yoshi – quyi C)
75	Qumtoshlar (yoshi – yuqori D). Yotish azimuti 250^0 , yotish burchagi 30^0 .
76	Dolomitlar (yoshi – o‘rta D). Yotish azimuti 270^0 , yotish burchagi 30^0 .
77	Qumtoshlar (yoshi – yuqori D). Yotish azimuti 300^0 , yotish

	burchagi 32^0 .
78	Konglomeratlar (yoshi – o'rta C). Yotish azimuti 270^0 , yotish burchagi 30^0 .
79	Gravelitlar (yoshi – quyi C). Yotish azimuti 255^0 , yotish burchagi 32^0 .
80	Qumtoshlar (yoshi – yuqori D). Yotish azimuti 260^0 , yotish burchagi 29^0 .
81	Dolomitlar (yoshi – o'rta D). Yotish azimuti 270^0 , yotish burchagi 32^0 .

	intruziv jinslar (yoshi – proterozoy).
37	Kontakt. G'arbda kremniyli jinslar (yoshi-yuqori O), sharqda – intruziv jinslar (yoshi – proterozoy).
38	Kontakt. Sharqda Kremniyli jinslar (yoshi-yuqori O), g'arbda – intruziv jinslar (yoshi – proterozoy).
39	Gilli slaneslar (yoshi – quyi S). Yotish azimuti 115^0 , yotish burchagi 30^0
40	Organogenli ohaktoshlar (yoshi – yuqori S). Yotish azimuti 113^0 , yotish burchagi 30^0 .
41	Alevrolitlar (yoshi – quyi D). Yotish azimuti 115^0 , yotish burchagi 30^0 .
42	Dolomitlar (yoshi – o'rta D). Yotish azimuti 115^0 , yotish burchagi 30^0 .
43	Organogenli ohaktoshlar (yoshi – yuqori S). Yotish azimuti 80^0 , yotish burchagi 28^0 .
44	Alevrolitlar (yoshi – quyi D). Yotish azimuti 80^0 , yotish burchagi 31^0
45	Uzilma. Yotish azimuti 85^0 , yotish burchagi 70^0 . G'arbda - dolomitlar (yoshi – o'rta D), sharqda - gravelitlar (yoshi – quyi C)
46	Uzilma. Yotish azimuti 90^0 , yotish burchagi 70^0 . G'arbda - qumtoshlar (yoshi – yuqori D), sharqda - konglomeratlar (yoshi – o'rta C)
47	Mergellar (yoshi – yuqori C). Sinklinal
48	Konglomeratlar (yoshi – o'rta C). Yotish azimuti 125^0 , yotish burchagi 30^0 .
49	Gravelitlar (yoshi – quyi C). Yotish azimuti 255^0 , yotish burchagi 30^0 .
50	Konglomeratlar (yoshi – o'rta C). Sinklinal o'qi.
51	Gravelitlar (yoshi – quyi C). Yotish azimuti 120^0 , yotish burchagi 30^0 .
52	Uzilma. Yotish azimuti 107^0 , yotish burchagi 75^0 . Sharqda - qumtoshlar (yoshi – yuqori D), g'arbda - dolomitlar (yoshi – o'rta D).
53	Organogenli ohaktoshlar (yoshi – yuqori S). Yotish azimuti 113^0 , yotish burchagi 30^0 .
54	Organogenli ohaktoshlar (yoshi – yuqori S). Yotish azimuti 105^0 , yotish burchagi 30^0 .
55	Uzilma. Yotish azimuti 90^0 , yotish burchagi 75^0 . Sharqda -

17	Kontakt. Janubda Kremniyli jinslar (yoshi – yuqori O), shimolda – intruziv jinslar (yoshi – proterozoy).
18	Gilli slaneslar (yoshi – quyi S). Yotish azimuti 275^0 , yotish burchagi 31^0
19	Alevrolitlar (yoshi – quyi D). Yotish azimuti 275^0 , yotish burchagi 31^0
20	Dolomitlar (yoshi – o'rta D). Yotish azimuti 270^0 , yotish burchagi 30^0 .
21	Gilli slaneslar (yoshi – quyi S). Yotish azimuti 268^0 , yotish burchagi 30^0
22	Organogenli ohaktoshlar (yoshi – yuqori S). Yotish azimuti 270^0 , yotish burchagi 30^0 .
23	Kontakt. Janubi g'arbda Kremniyli jinslar (yoshi – yuqori O), shimoli-sharqda – intruziv jinslar (yoshi – proterozoy).
24	Dolomitlar (yoshi – o'rta D). Yotish azimuti 275^0 , yotish burchagi 30^0 .
25	Organogenli ohaktoshlar (yoshi – yuqori S). Yotish azimuti 275^0 , yotish burchagi 30^0 .
26	Kontakt. G'arbda kremniyli jinslar (yoshi – yuqori O), sharqda – intruziv jinslar (yoshi – proterozoy).
27	Alevrolitlar (yoshi – quyi D). Yotish azimuti 275^0 , yotish burchagi 31^0
28	Kontakt. Sharqda kremniyli jinslar (yoshi-yuqori O), g'arbda – intruziv jinslar (yoshi – proterozoy).
29	Organogenli ohaktoshlar (yoshi-yuqori S). Yotish azimuti 80^0 , yotish burchagi 28^0 .
30	Organogenli ohaktoshlar (yoshi – yuqori silur). Yotish azimuti 80^0 , yotish burchagi 28^0 .
31	Gilli slaneslar (yoshi – quyi S). Yotish azimuti 91^0 , yotish burchagi 30^0
32	Kontakt. Sharqda kremniyli jinslar (yoshi-yuqori O), g'arbda – intruziv jinslar (yoshi – proterozoy).
33	Gilli slaneslar (yoshi – quyi S). Yotish azimuti 110^0 , yotish burchagi 30^0
34	Kontakt. Sharqda kremniyli jinslar (yoshi-yuqori O), g'arbda – intruziv jinslar (yoshi – proterozoy)
35	Gilli slaneslar (yoshi – quyi S). Yotish azimuti 110^0 , yotish burchagi 28^0
36	Kontakt. G'arbda kremniyli jinslar (yoshi-yuqori O), sharqda –

15-variant (21)
Masshtab 1:500000



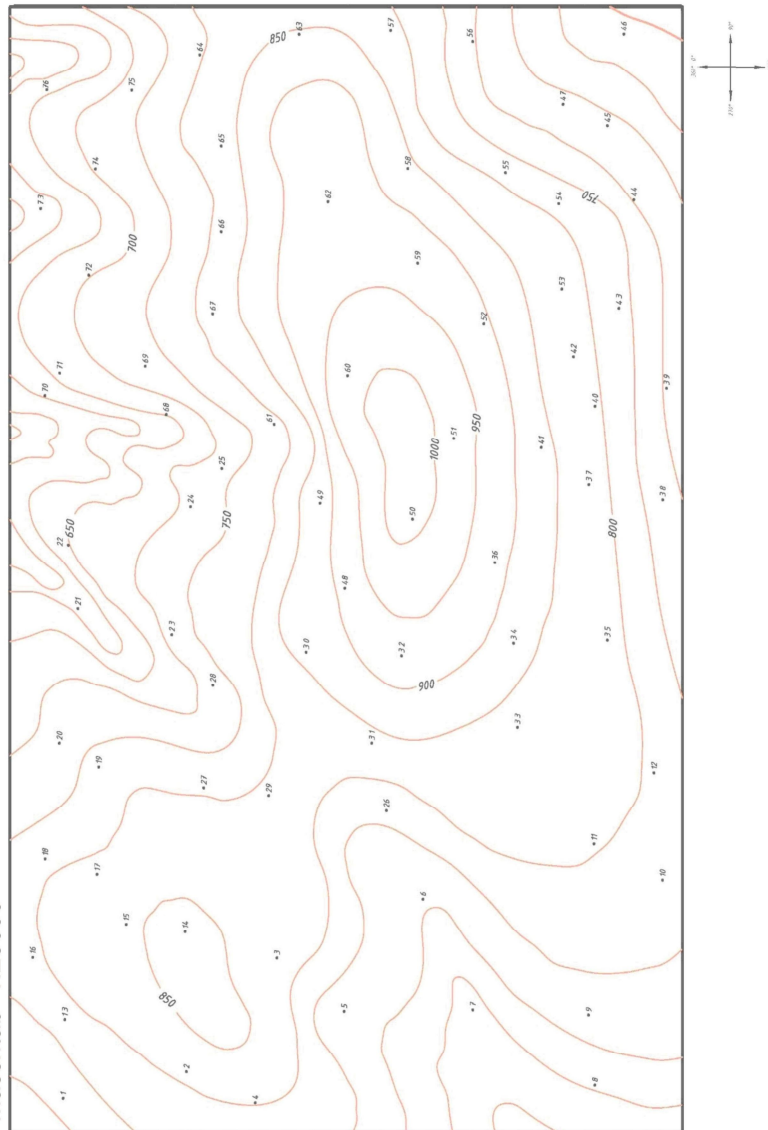
16-variant

Kuzatuv nuqtasi	Kuzatuv nuqtasidan olingan ma'lumotlar
1	Gillar (yoshi – paleogen). Qatlamlar gorizontal holatda joylashgan.
2	Gillar (yoshi – paleogen). Qatlamlar gorizontal holatda joylashgan.
3	Gillar (yoshi – paleogen). Qatlamlar gorizontal holatda joylashgan.
4	Alevrolitlar (yoshi – K). Qatlamlar gorizontal holatda joylashgan.
5	Alevrolitlar (yoshi – K). Qatlamlar gorizontal holatda joylashgan.
6	Gillar (yoshi – paleogen). Qatlamlar gorizontal holatda joylashgan.
7	Alevrolitlar (yoshi – K). Qatlamlar gorizontal holatda joylashgan.
8	Alevrolitlar (yoshi – K). Qatlamlar gorizontal holatda joylashgan.
9	Qumtoshlar (yoshi – J). Qatlamlar gorizontal holatda joylashgan.
10	Tektonik buzilish. Surilma. Uning sharqida qumtoshlar (yoshi – Yura), g'arbida dolomitlar (yoshi – quyi C) joylashgan.
11	Tektonik buzilish. Surilma. Uning shimoli-sharqida qumtoshlar (yoshi – yura), janubi-g'arbida gillar (yoshi – o'rta C) joylashgan.
12	Qumtoshlar (yoshi – J). Qatlamlar gorizontal holatda joylashgan.
13	Alevrolitlar (yoshi – K). Qatlamlar gorizontal holatda joylashgan.
14	Tektonik buzilish. Surilma. Uning shimolida qumtoshlar (yoshi – J), janubida gillar (yoshi – o'rta C) joylashgan.
15	Dolomitlar (yoshi – quyi C). Yotish azimuti 255^0 , yotish burchagi 25^0 .
16	Qumtoshlar (yoshi – J). Qatlamlar gorizontal holatda joylashgan.
17	Alevrolitlar (yoshi – K). Qatlamlar gorizontal holatda joylashgan.
18	Tektonik buzilish. Surilma. Uning sharqida qumtoshlar (yoshi – Yura), g'arbida dolomitlar (yoshi – quyi C) joylashgan.
19	Qumtoshlar (yoshi – J). Qatlamlar gorizontal holatda joylashgan.
20	Alevrolitlar (yoshi – K). Qatlamlar gorizontal holatda joylashgan.
21	Qumtoshlar (yoshi – J). Qatlamlar gorizontal holatda joylashgan.
22	Alevrolitlar (yoshi – K). Qatlamlar gorizontal holatda joylashgan.
23	Qumtoshlar (yoshi – J). Qatlamlar gorizontal holatda joylashgan.
24	Tektonik buzilish. Surilma. Uning shimolida qumtoshlar (yoshi – yuqori C), janubida gorizontal holatda qumtoshlar (yoshi – J) joylashgan.
25	Tektonik buzilish. Surilma. Uning shimoli-g'arbida dolomitlar (yoshi –

24-variant

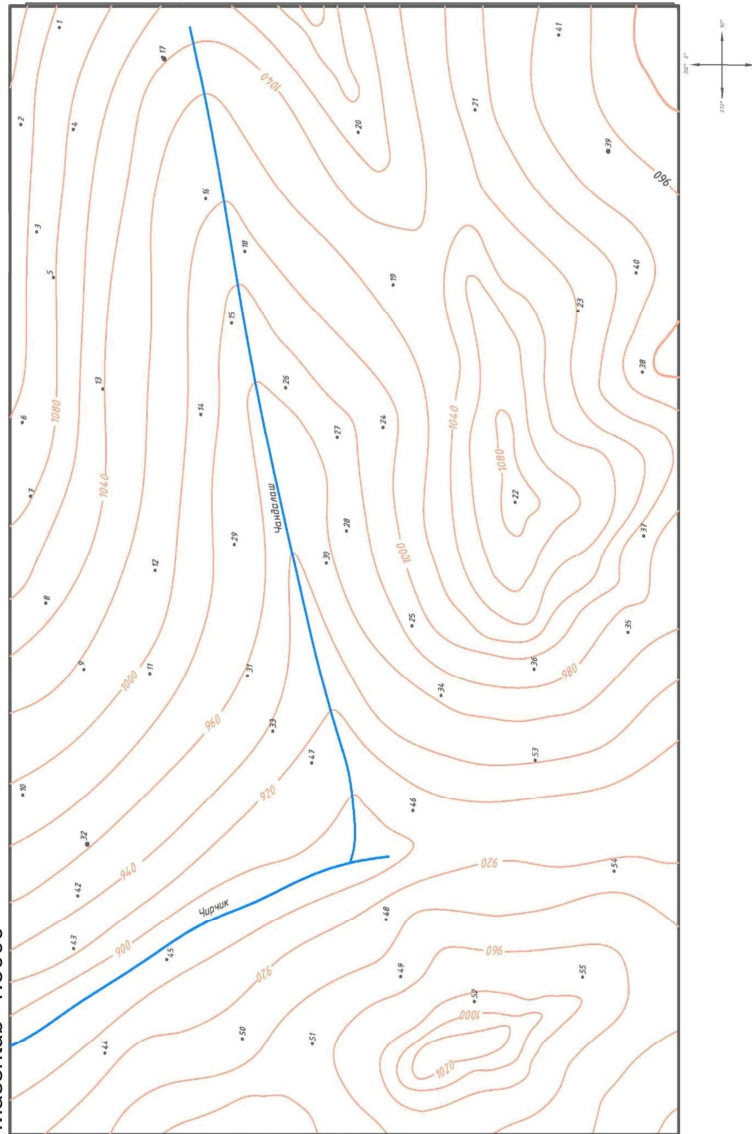
Kuzatuv nuqtasi	Kuzatuv nuqtasidan olingan ma'lumotlar
1	Gillar (yoshi – quyi P). Yotish azimuti 270^0 , yotish burchagi 30^0 .
2	Mergellar (yoshi – yuqori C). Yotish azimuti 277^0 , yotish burchagi 30^0 .
3	Uzilma. Sharqda qumtoshlar (yoshi – yuqori D), g'arbida – konglomeratlar (yoshi – o'rta C)
4	Konglomeratlar (yoshi – o'rta C). Yotish azimuti 273^0 , yotish burchagi 31^0 .
5	Gillar (yoshi – quyi P). Yotish azimuti 285^0 , yotish burchagi 30^0 .
6	Mergellar (yoshi – yuqori C). Yotish azimuti 285^0 , yotish burchagi 30^0 .
7	Gillar (yoshi – quyi P). Yotish azimuti 350^0 , yotish burchagi 27^0 .
8	Konglomeratlar (yoshi – o'rta C). Yotish azimuti 285^0 , yotish burchagi 30^0 .
9	Uzilma. Yotish azimuti 270^0 , yotish burchagi 70^0 . Sharqda – qumtoshlar (yoshi – yuqori D), g'arbida - konglomeratlar (yoshi – o'rta C).
10	Uzilma. Yotish azimuti 270^0 , yotish burchagi 70^0 . Sharqda – gravelitlar (yoshi – quyi C), g'arbida - konglomeratlar (yoshi – o'rta C).
11	Mergellar (yoshi – yuqori C). Sinklinal o'qi.
12	Mergellar (yoshi – yuqori C). Sinklinal o'qi.
13	Uzilma. Yotish azimuti 255^0 , yotish burchagi 70^0 . Sharqda gravelitlar (yoshi – quyi C), g'arbida - konglomeratlar (yoshi – o'rta C).
14	Uzilma. Yotish azimuti 290^0 , yotish burchagi 70^0 . Sharqda gravelitlar (yoshi – quyi C), g'arbida - konglomeratlar (yoshi – o'rta C).
15	Dolomitlar (yoshi – o'rta D). Yotish azimuti 277^0 , yotish burchagi 30^0 .
16	Organogenli ohaktoshlar (yoshi – yuqori S). Yotish azimuti 277^0 , yotish burchagi 28^0 .

23-variant (14)
Masshtab 1:25000



	quiyi C) janubi-sharqida qumtoshlar (yoshi – J) joylashgan.
26	Gillar (yoshi – o'rtta C). Yotish azimuti 250^0 , yotish burchagi 27^0 .
27	Qumtoshlar (yoshi – yuqori C). Sinklinal o'ng qanoti.
28	Qumtoshlar (yoshi – yuqori C). Sinklinal chap qanoti.
29	Qumtoshlar (yoshi – yuqori C). Sinklinal o'qi.
30	Gillar (yoshi – o'rtta C). Yotish azimuti 80^0 , yotish burchagi 27^0 .
31	Dolomitlar (yoshi – quiyi C). Yotish azimuti 83^0 , yotish burchagi 25^0 .
32	Qumtoshlar (yoshi – yuqori D). Yotish azimuti 85^0 , yotish burchagi 27^0 .
33	Qumtoshlar (yoshi – yuqori D). Yotish azimuti 85^0 , yotish burchagi 27^0 .
34	Qumtoshlar (yoshi – yuqori D). Yotish azimuti 85^0 , yotish burchagi 25^0 .
35	Qumtoshlar (yoshi – yuqori D). Yotish azimuti 88^0 , yotish burchagi 28^0 .
36	Tektonik buzilish. Surilma. Uning sharqida qumtoshlar (yoshi – J), g'arbida qumtoshlar (yoshi – yuqori D) joylashgan.
37	Tektonik buzilish. Surilma. Uning shimoli-sharqida gorizontal joylashgan qumtoshlar (yoshi – J), janubi-g'arbida dolomitlar (yoshi – quiyi C) joylashgan.
38	Qumtoshlar (yoshi – yuqori C). Sinklinal.
39	Qumtoshlar (yoshi – yuqori C). Sinklinal.
40	Tektonik buzilish. Surilma. Uning shimoli-g'arbida gorizontal joylashgan qumtoshlar (yoshi – J), janubi-sharqida qumtoshlar (yoshi – yuqori C) joylashgan.
41	Gillar (yoshi – o'rtta C). Yotish azimuti 255^0 , yotish burchagi 30^0 .
42	Alevrolitlar (yoshi – o'rtta D). Yotish azimuti 80^0 , yotish burchagi 25^0 .
43	Ohaktoshlar (yoshi – quiyi D). Antiklinal o'qi.
44	Ohaktoshlar (yoshi – quiyi D). Antiklinal o'qi.
45	Ohaktoshlar (yoshi – quiyi D). Antiklinal o'qi.
46	Ohaktoshlar (yoshi – quiyi D). Antiklinal o'qi.
47	Alevrolitlar (yoshi – o'rtta D). Yotish azimuti 90^0 , yotish burchagi 27^0 .
48	Alevrolitlar (yoshi – o'rtta D). Yotish azimuti 250^0 , yotish burchagi 28^0 .
49	Qumtoshlar (yoshi – yuqori D). Yotish azimuti 250^0 , yotish burchagi 28^0 .
50	Alevrolitlar (yoshi – o'rtta D). Yotish azimuti 250^0 , yotish burchagi 27^0 .
51	Qumtoshlar (yoshi – yuqori D). Yotish azimuti 260^0 , yotish burchagi 30^0 .
52	Dolomitlar (yoshi – quiyi C). Yotish azimuti 260^0 , yotish burchagi 30^0 .
53	Alevrolitlar (yoshi – o'rtta D). Antiklinal o'qi.
54	Qumtoshlar (yoshi – yuqori D). Yotish azimuti 261^0 , yotish burchagi 27^0 .
55	Dolomitlar (yoshi – quiyi C). Yotish azimuti 260^0 , yotish burchagi 30^0 .

16-variant (12)
Masshtab 1:5000



42	Tektonik buzilish. Surilma. Shimolda - ohaktoshlar (yoshi – quyi S), janubda - ohaktoshlar (yoshi – yuqori K).
43	Ohaktoshlar (yoshi – yuqori K). Yotish azimuti 275^0 , yotish burchagi 31^0 .
44	Gillar (yoshi – quyi K). Yotish azimuti 275^0 , yotish burchagi 32^0 .
45	Konglomeratlar (yoshi – yuqori J). Yotish azimuti 277^0 , yotish burchagi 30^0 .
46	Konglomeratlar (yoshi – yuqori J). Yotish azimuti 281^0 , yotish burchagi 32^0 .
47	Tektonik buzilish. Surilma. Shimolda - ohaktoshlar (yoshi- quyi S), janubda-konglomeratlar (yoshi – yuqori J).
48	Gillar (yoshi – quyi D). Yotish azimuti 90^0 , yotish burchagi 32^0 .
49	Mergellar (yoshi – yuqori S). Yotish azimuti 92^0 , yotish burchagi 32^0 .
50	Mergellar (yoshi – yuqori S). Yotish azimuti 90^0 , yotish burchagi 30^0 .
51	Ohaktoshlar (yoshi – quyi S). Yotish azimuti 80^0 , yotish burchagi 31^0 .
52	Dolomitlar (yoshi – O). Antiklinal o'qi. O'q tekkisligi qiyshiq.
53	Dolomitlar (yoshi – O). Antiklinal o'qi
54	Dolomitlar (yoshi – O). Antiklinal
55	Ohaktoshlar (yoshi – quyi S). Yotish azimuti 80^0 , yotish burchagi 30^0 .
56	Mergellar (yoshi – yuqori S). Yotish azimuti 78^0 , yotish burchagi 32^0 .
57	Mergellar (yoshi – yuqori S). Yotish azimuti 65^0 , yotish burchagi 32^0 .
58	Mergellar (yoshi – yuqori S). Yotish azimuti 75^0 , yotish burchagi 32^0 .
59	Ohaktoshlar (yoshi – quyi S). Yotish azimuti 80^0 , yotish burchagi 30^0 .
60	Dolomitlar (yoshi – O). Antiklinal o'qi. O'q tekkisligi qiyshiq.
61	Ohaktoshlar (yoshi – quyi S). Yotish azimuti 80^0 , yotish burchagi 30^0 .
62	Mergellar (yoshi – yuqori S). Yotish azimuti 80^0 , yotish burchagi 32^0 .
63	Gillar (yoshi – quyi D). Yotish azimuti 80^0 , yotish burchagi 32^0 .
64	Mergellar (yoshi – yuqori S). Yotish azimuti 85^0 , yotish burchagi 31^0 .
65	Mergellar (yoshi – yuqori S). Yotish azimuti 85^0 , yotish burchagi 31^0 .
66	Ohaktoshlar (yoshi – quyi S). Yotish azimuti 100^0 , yotish burchagi 30^0 .
67	Dolomitlar (yoshi – O). Antiklinal
68	Tektonik buzilish. Surilma. G'arbda - konglomeratlar (yoshi – yuqori J), sharqda - ohaktoshlar (yoshi – quyi S)
69	Dolomitlar (yoshi – O).
70	Tektonik buzilish. Surilma. g'arbda - Konglomeratlar (yoshi – yuqori J), sharqda - ohaktoshlar (yoshi – quyi S)
71	Dolomitlar (yoshi – O). Antiklinal o'qi. O'q tekkisligi qiyshiq.

17-variant

Kuzatuv nuqtasi	Kuzatuv nuqtasidan olingen ma'lumotlar
1	Alevrolitlar (yoshi – paleogen). Yotish azimuti 83^0 , yotish burchagi 30^0 .
2	Alevrolitlar (yoshi – paleogen). Yotish azimuti 80^0 , yotish burchagi 31^0 .
3	Alevrolitlar (yoshi – paleogen). Yotish azimuti 78^0 , yotish burchagi 31^0 .
4	Ohaktoshlar (yoshi – K). Yotish azimuti 75^0 , yotish burchagi 30^0 .
5	Ohaktoshlar (yoshi – K). Yotish azimuti 73^0 , yotish burchagi 29^0 .
6	Ohaktoshlar (yoshi – K). Yotish azimuti 75^0 , yotish burchagi 31^0 .
7	Gillar (yoshi – J). Yotish azimuti 76^0 , yotish burchagi 27^0 .
8	Konglomeratlar (yoshi – T). Yotish azimuti 77^0 , yotish burchagi 27^0 .
9	Gillar (yoshi – J). Yotish azimuti 77^0 , yotish burchagi 31^0 .
10	Gillar (yoshi – J). Yotish azimuti 76^0 , yotish burchagi 32^0 .
11	Ohaktoshlar (yoshi-K). Yotish azimuti 78^0 , yotish burchagi 27^0 .
12	Ohaktoshlar (yoshi-K). Yotish azimuti 78^0 , yotish burchagi 26^0 .
13	Qumtoshlar (yoshi – N). Sinklinal o'qi.
14	Qumtoshlar (yoshi – N). Sinklinal o'qi.
15	Qumtoshlar (yoshi – N). Sinklinal o'qi.
16	Alevrolitlar (yoshi–paleogen). Yotish azimuti 230^0 , yotish burchagi 28^0 .
17	Alevrolitlar (yoshi–paleogen). Yotish azimuti 235^0 , yotish burchagi 31^0 .
18	Ohaktoshlar (yoshi – K). Yotish azimuti 240^0 , yotish burchagi 29^0 .
19	Ohaktoshlar (yoshi – K). Yotish azimuti 230^0 , yotish burchagi 31^0 .
20	Gillar (yoshi – J). Yotish azimuti 215^0 , yotish burchagi 28^0 .
21	Gillar (yoshi – J). Yotish azimuti 210^0 , yotish burchagi 28^0 .
22	Konglomeratlar (yoshi – T). Yotish azimuti 220^0 , yotish burchagi 32^0 .
23	Gillar (yoshi – J). Yotish azimuti 217^0 , yotish burchagi 32^0 .
24	Gillar (yoshi – J). Yotish azimuti 230^0 , yotish burchagi 32^0 .
25	Tektonik buzilish. Surilma. Kuzatuv nuqtasidan shimolda gillar (yoshi – J), janubda – mergellar (yoshi – quyi C).
26	Alevrolitlar (yoshi – paleogen). Yotish azimuti 77^0 , yotish burchagi 30^0 .
27	Alevrolitlar (yoshi – paleogen). Yotish azimuti 235^0 , yotish burchagi 31^0 .
28	Ohaktoshlar (yoshi –K). Yotish azimuti 233^0 , yotish burchagi 31^0 .
29	Qumtoshlar (yoshi – N). Sinklinal.

30	Tektonik buzilish. Surılma. Shimoli-g'arbda alevrolitlar (yoshi – paleogen), janubi-sharqda qumtoshlar (yoshi – yuqori C).
31	Qumtoshlar (yoshi – neogen). Sinklinal.
32	Tektonik buzilish. Surılma. G'arbda qumtoshlar (yoshi – neogen), sharqda - qumtoshlar (yoshi – yuqori karbon).
33	Alevrolitlar (yoshi–paleogen). Yotish azimuti 75^0 , yotish burchagi 30^0 .
34	Qumtoshlar (yoshi – N). Sinklinal.
35	Alevrolitlar (yoshi–paleogen). Yotish azimuti 77^0 , yotish burchagi 28^0 .
36	Tektonik buzilish. Surılma. Janubi-g'arbda qumtoshlar (yoshi – neogen), sinklinal o'qi. Shimoli-sharqda gillar (yoshi – o'rtा C). Yotish azimuti 85^0 , yotish burchagi 35^0 .
37	Qumtoshlar (yoshi – neogen). Sinklinal.
38	Alevrolitlar (yoshi–paleogen). Yotish azimuti 60^0 , yotish burchagi 30^0 .
39	Alevrolitlar (yoshi–paleogen). Yotish azimuti 285^0 , yotish burchagi 31^0 .
40	Alevrolitlar (yoshi–paleogen). Yotish azimuti 265^0 , yotish burchagi 30^0 .
41	Tektonik buzilish. Surılma. Shimolda mergellar (yoshi – quyi C), janubda - alevrolitlar (yoshi – paleogen)
42	Tektonik buzilish. Surılma. Shimolda - ohaktoshlar (yoshi – D), janubda - ohaktoshlar (yoshi – K).
43	Ohaktoshlar (yoshi–K). Yotish azimuti 275^0 , yotish burchagi 31^0 .
44	Gillar (yoshi – J).Yotish azimuti 275^0 , yotish burchagi 32^0 .
45	Konglomeratlar (yoshi – T). Yotish azimuti 277^0 , yotish burchagi 30^0 .
46	Konglomeratlar (yoshi – T). Yotish azimuti 281^0 , yotish burchagi 32^0 .
47	Tektonik buzilish. Surılma. Shimolda - Ohaktoshlar (yoshi –D), janubda - Konglomeratlar (yoshi – T).
48	Gillar (yoshi – o'rtा C). Yotish azimuti 90^0 , yotish burchagi 32^0 .
49	Mergellar (yoshi – quyi C). Yotish azimuti 92^0 , yotish burchagi 32^0 .
50	Mergellar (yoshi – quyi C). Yotish azimuti 90^0 , yotish burchagi 30^0 .
51	Ohaktoshlar (yoshi – D). Yotish azimuti 80^0 , yotish burchagi 31^0 .
52	Dolomitlar (yoshi – sillur). Antiklinal o'qi. O'q tekkisligi qiyshiq.
53	Dolomitlar (yoshi – S). Antiklinal o'qi.
54	Dolomitlar (yoshi – S). Antiklinal o'qi.
55	Ohaktoshlar (yoshi – D). Yotish azimuti 80^0 , yotish burchagi 30^0 .
56	Mergellar (yoshi – quyi C). Yotish azimuti 78^0 , yotish burchagi 32^0 .
57	Mergellar (yoshi – quyi C). Yotish azimuti 65^0 , yotish burchagi 32^0 .
58	Mergellar (yoshi – quyi C). Yotish azimuti 75^0 , yotish burchagi 32^0 .
59	Ohaktoshlar (yoshi – D). Yotish azimuti 80^0 , yotish burchagi 30^0 .
60	Dolomitlar (yoshi – S). Antiklinal o'qi. O'q tekkisligi qiyshiq.

	31 0 .
20	Gillar (yoshi – quyi K). Yotish azimuti 215^0 , yotish burchagi 28^0 .
21	Gillar (yoshi – quyi K). Yotish azimuti 210^0 , yotish burchagi 28^0 .
22	Konglomeratlar (yoshi – yuqori J). Yotish azimuti 220^0 , yotish burchagi 32^0 .
23	Gillar (yoshi – quyi K). Yotish azimuti 217^0 , yotish burchagi 32^0 .
24	Gillar (yoshi – quyi K). Yotish azimuti 230^0 , yotish burchagi 32^0 .
25	Tektonik buzilish. Surılma. Kuzatuv nuqtasidan shimolda gillar (yoshi – quyi K), janubda – mergellar (yoshi – yuqori S).
26	Alevrolitlar (yoshi –paleosen). Yotish azimuti 77^0 , yotish burchagi 30^0 .
27	Alevrolitlar (yoshi –paleosen). Yotish azimuti 235^0 , yotish burchagi 31^0 .
28	Ohaktoshlar (yoshi–yuqori K). Yotish azimuti 233^0 , yotish burchagi 31^0 .
29	Qumtoshlar (yoshi – eosen). Sinklinal.
30	Tektonik buzilish. Surılma. Shimoli-g'arbda - alevrolitlar (yoshi – paleosen), janubi-sharqda qumtoshlar (yoshi – o'rtа D).
31	Qumtoshlar (yoshi – eosen). Sinklinal.
32	Tektonik buzilish. Surılma. G'arbda qumtoshlar (yoshi – eosen), sharqda - qumtoshlar (yoshi – o'rtа D).
33	Alevrolitlar (yoshi –paleosen). Yotish azimuti 75^0 , yotish burchagi 30^0 .
34	Qumtoshlar (yoshi – eosen). Sinklinal.
35	Alevrolitlar (yoshi –paleosen). Yotish azimuti 77^0 , yotish burchagi 28^0 .
36	Tektonik buzilish. Surılma. Janubi-g'arbda qumtoshlar (yoshi – eosen), sinklinal o'qi. Shimoli-sharqda - gillar (yoshi-quyi D). Yotish azimuti 85^0 , yotish burchagi 35^0 .
37	Qumtoshlar (yoshi – eosen). Sinklinal.
38	Alevrolitlar (yoshi –paleosen). Yotish azimuti 60^0 , yotish burchagi 30^0 .
39	Alevrolitlar (yoshi –paleosen). Yotish azimuti 285^0 , yotish burchagi 31^0 .
40	Alevrolitlar (yoshi –paleosen). Yotish azimuti 265^0 , yotish burchagi 30^0 .
41	Tektonik buzilish. Surılma. Shimolda mergellar (yoshi – yuqori S), janubda - alevrolitlar (yoshi –paleosen)

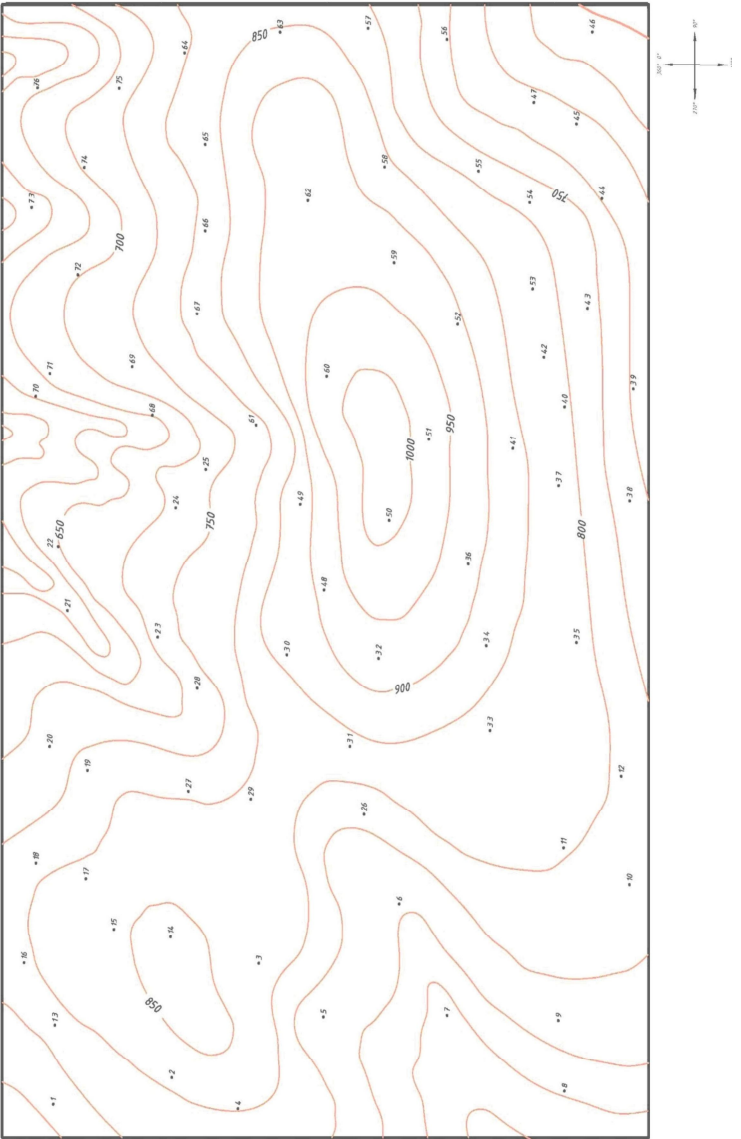
23-variant

Kuzatuv nuqtasi	Kuzatuv nuqtasidan olingan ma'lumotlar
1	Alevrolitlar (yoshi – paleosen). Yotish azimuti 83^0 , yotish burchagi 30^0 .
2	Alevrolitlar (yoshi – paleosen). Yotish azimuti 80^0 , yotish burchagi 31^0 .
3	Alevrolitlar (yoshi – paleosen). Yotish azimuti 78^0 , yotish burchagi 31^0 .
4	Ohaktoshlar (yoshi – yuqori K). Yotish azimuti 75^0 , yotish burchagi 30^0 .
5	Ohaktoshlar (yoshi – yuqori K). Yotish azimuti 73^0 , yotish burchagi 29^0 .
6	Ohaktoshlar (yoshi – yuqori K). Yotish azimuti 75^0 , yotish burchagi 31^0 .
7	Gillar (yoshi – quyi K). Yotish azimuti 76^0 , yotish burchagi 27^0 .
8	Konglomeratlar (yoshi – yuqori J). Yotish azimuti 77^0 , yotish burchagi 27^0 .
9	Gillar (yoshi – quyi K). Yotish azimuti 77^0 , yotish burchagi 31^0 .
10	Gillar (yoshi – quyi K). Yotish azimuti 76^0 , yotish burchagi 32^0 .
11	Ohaktoshlar (yoshi – yuqori K). Yotish azimuti 78^0 , yotish burchagi 27^0 .
12	Ohaktoshlar (yoshi – yuqori K). Yotish azimuti 78^0 , yotish burchagi 26^0 .
13	Qumtoshlar (yoshi – eosen). Sinklinal o'qi.
14	Qumtoshlar (yoshi – eosen). Sinklinal o'qi.
15	Qumtoshlar (yoshi – eosen). Sinklinal o'qi.
16	Alevrolitlar (yoshi – paleosen). Yotish azimuti 230^0 , yotish burchagi 28^0 .
17	Alevrolitlar (yoshi – paleosen). Yotish azimuti 235^0 , yotish burchagi 31^0 .
18	Ohaktoshlar (yoshi – yuqori K). Yotish azimuti 240^0 , yotish burchagi 29^0 .
19	Ohaktoshlar (yoshi – yuqori K). Yotish azimuti 230^0 , yotish burchagi

61	Ohaktoshlar (yoshi- D). Yotish azimuti 80^0 , yotish burchagi 30^0 .
62	Mergellar (yoshi – quyi C). Yotish azimuti 80^0 , yotish burchagi 32^0 .
63	Gillar (yoshi – o'rtta C). Yotish azimuti 80^0 , yotish burchagi 32^0 .
64	Mergellar (yoshi – quyi C). Yotish azimuti 85^0 , yotish burchagi 31^0 .
65	Mergellar (yoshi – quyi C). Yotish azimuti 85^0 , yotish burchagi 31^0 .
66	Ohaktoshlar (yoshi – D). Yotish azimuti 100^0 , yotish burchagi 30^0 .
67	Dolomitlar (yoshi – S). Antiklinal.
68	Tektonik buzilish. Surilma. G'arbda - konglomeratlar (yoshi – T), sharqda - ohaktoshlar (yoshi – D)
69	Dolomitlar (yoshi – S).
70	Tektonik buzilish. Surilma. G'arbda - konglomeratlar (yoshi – T), sharqda - ohaktoshlar (yoshi – D)
71	Dolomitlar (yoshi – S). Antiklinal o'qi. O'q tekkisligi qiyshiq.
72	Dolomitlar (yoshi – S). Antiklinal o'qi. O'q tekkisligi qiyshiq.
73	Dolomitlar (yoshi – S). Antiklinal o'qi. O'q tekkisligi qiyshiq.
74	Ohaktoshlar (yoshi – D). Yotish azimuti 90^0 , yotish burchagi 33^0 .
75	Mergellar (yoshi – quyi C). Yotish azimuti 95^0 , yotish burchagi 30^0 .
76	Mergellar (yoshi – quyi C). Yotish azimuti 100^0 , yotish burchagi 30^0 .

17-variant (14)

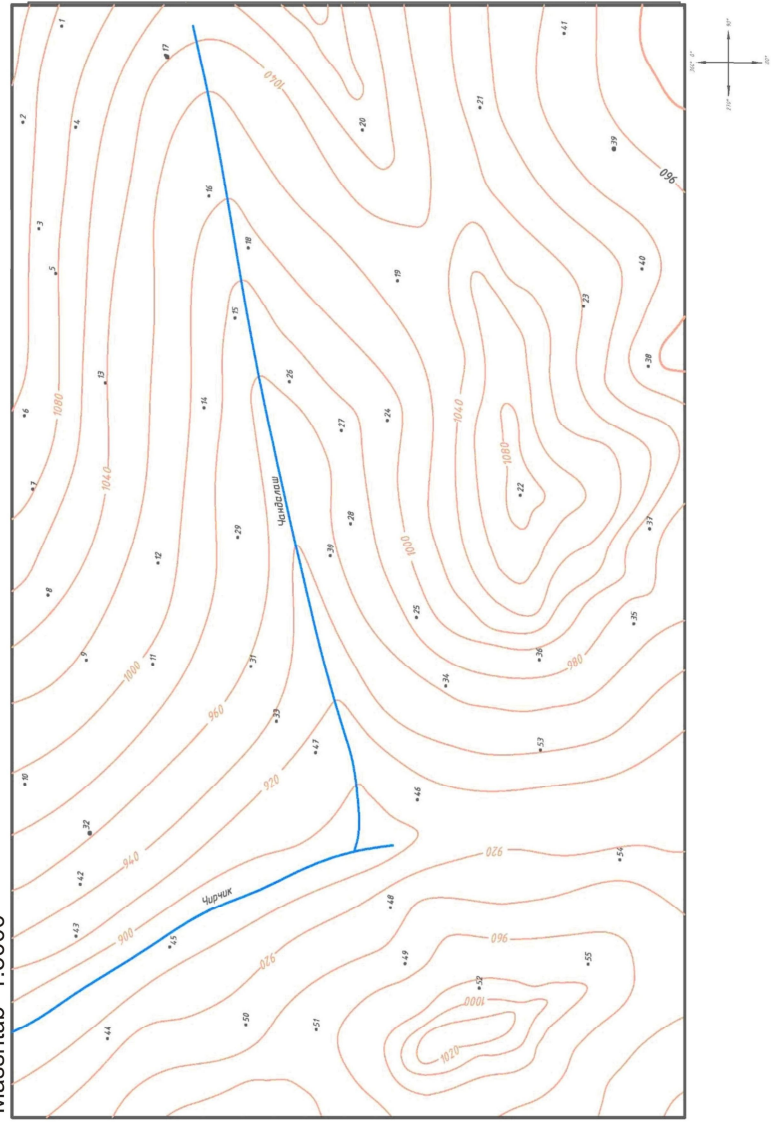
Massstab 1:25000



110

22-variant (12)

Massstab 1:5000



131

	27^0 .
48	Alevrolitlar (yoshi – yuqori T). Yotish azimuti 250^0 , yotish burchagi 28^0 .
49	Qumtoshlar (yoshi – quyi J). Yotish azimuti 250^0 , yotish burchagi 28^0 .
50	Alevrolitlar (yoshi – yuqori T). Yotish azimuti 250^0 , yotish burchagi 27^0 .
51	Qumtoshlar (yoshi – quyi J). Yotish azimuti 260^0 , yotish burchagi 30^0 .
52	Dolomitlar (yoshi – yuqori J). Yotish azimuti 260^0 , yotish burchagi 30^0 .
53	Alevrolitlar (yoshi – yuqori T). Antiklinal o'qi.
54	Qumtoshlar (yoshi – quyi J). Yotish azimuti 261^0 , yotish burchagi 27^0 .
55	Dolomitlar (yoshi – yuqori J). Yotish azimuti 260^0 , yotish burchagi 30^0 .

18-variant

Kuzatuv nuqtasi	Kuzatuv nuqtasidan olingan ma'lumotlar
1	Gillar (yoshi – J). Yotish azimuti 270^0 , yotish burchagi 30^0 .
2	Mergellar (yoshi – o'rtalig'i T). Yotish azimuti 277^0 , yotish burchagi 30^0 .
3	Uzilma. Sharqda – Qumtoshlar (yoshi – C), g'arbda – konglomeratlar (yoshi – quyi T).
4	Konglomeratlar (yoshi – quyi T). Yotish azimuti 273^0 , yotish burchagi 31^0 .
5	Gillar (yoshi-J). Yotish azimuti 285^0 , yotish burchagi 30^0 .
6	Mergellar (yoshi – o'rtalig'i T). Yotish azimuti 285^0 , yotish burchagi 30^0 .
7	Gillar (yoshi – J). Yotish azimuti 350^0 , yotish burchagi 27^0 .
8	Konglomeratlar (yoshi – quyi T). Yotish azimuti 285^0 , yotish burchagi 30^0 .
9	Uzilma. Yotish azimuti 270^0 , yotish burchagi 70^0 . Sharqda – qumtoshlar (yoshi – C), g'arbda - konglomeratlar (yoshi – quyi T) .
10	Uzilma. Yotish azimuti 270^0 , yotish burchagi 70^0 . Sharqda – gravelitlar (yoshi – P), g'arbda - konglomeratlar (yoshi – quyi T) .
11	Mergellar (yoshi – o'rtalig'i T). Sinklinal o'qi.
12	Mergellar (yoshi – o'rtalig'i T). Sinklinal o'qi.
13	Uzilma. Yotish azimuti 255^0 , yotish burchagi 70^0 . Sharqda – gravelitlar (yoshi – P), g'arbda - konglomeratlar (yoshi – quyi T).
14	Uzilma. Yotish azimuti 290^0 , yotish burchagi 70^0 . Sharqda – gravelitlar (yoshi – P), g'arbda - konglomeratlar (yoshi – quyi T).
15	Dolomitlar (yoshi – D). Yotish azimuti 277^0 , yotish burchagi 30^0 .
16	Organogenli ohaktoshlar (yoshi – o'rtalig'i O). Yotish azimuti 277^0 , yotish burchagi 28^0 .
17	Kontakt. Janubda Kremniyli jinslar (yoshi – Э), shimolda – intruziv jinslar (yoshi – arxey).
18	Gilli slaneslar (yoshi – quyi O). Yotish azimuti 275^0 , yotish burchagi 31^0 .
19	Alevrolitlar (yoshi – S). Yotish azimuti 275^0 , yotish burchagi 31^0
20	Dolomitlar (yoshi – D). Yotish azimuti 270^0 , yotish burchagi 30^0 .

21	Gilli slaneslar (yoshi – quyi O). Yotish azimuti 268^0 , yotish burchagi 30^0
22	Organogenli ohaktoshlar (yoshi – o'rtal O). Yotish azimuti 270^0 , yotish burchagi 30^0 .
23	Kontakt. Janubi g'arbda Kremniyli jinslar (yoshi – Ǝ), shimoli-sharqda – intruziv jinslar (yoshi – arxey).
24	Dolomitlar (yoshi – D). Yotish azimuti 275^0 , yotish burchagi 30^0 .
25	Organogenli ohaktoshlar (yoshi – o'rtal O). Yotish azimuti 275^0 , yotish burchagi 30^0 .
26	Kontakt. G'arbda kremniyli jinslar (yoshi – Ǝ), sharqda – intruziv jinslar (yoshi – arxey).
27	Alevrolitlar (yoshi-S). Yotish azimuti 275^0 , yotish burchagi 31^0
28	Kontakt. Sharqda Kremniyli jinslar (yoshi – Ǝ), g'arbda – intruziv jinslar (yoshi – arxey).
29	Organogenli ohaktoshlar (yoshi – o'rtal O). Yotish azimuti 80^0 , yotish burchagi 28^0 .
30	Organogenli ohaktoshlar (yoshi – o'rtal O). Yotish azimuti 80^0 , yotish burchagi 28^0 .
31	Gilli slaneslar (yoshi – quyi O). Yotish azimuti 91^0 , yotish burchagi 30^0
32	Kontakt. Sharqda kremniyli jinslar (yoshi – Ǝ), g'arbda – intruziv jinslar (yoshi – arxey).
33	Gilli slaneslar (yoshi – quyi O). Yotish azimuti 110^0 , yotish burchagi 30^0
34	Kontakt. Sharqda kremniyli jinslar (yoshi – Ǝ), g'arbda – intruziv jinslar (yoshi – arxey).
35	Gilli slaneslar (yoshi – quyi O). Yotish azimuti 110^0 , yotish burchagi 28^0
36	Kontakt. G'arbda kremniyli jinslar (yoshi – Ǝ), sharqda – intruziv jinslar (yoshi – arxey).
37	Kontakt. G'arbda kremniyli jinslar (yoshi – Ǝ), sharqda – intruziv jinslar (yoshi – arxey).
38	Kontakt. Sharqda kremniyli jinslar (yoshi – Ǝ), g'arbda – intruziv jinslar (yoshi – arxey).
39	Gilli slaneslar (yoshi – quyi O). Yotish azimuti 115^0 , yotish burchagi 30^0
40	Organogenli ohaktoshlar (yoshi – o'rtal O). Yotish azimuti 113^0 , yotish burchagi 30^0 .
41	Alevrolitlar (yoshi – S). Yotish azimuti 115^0 , yotish burchagi 30^0
42	Dolomitlar (yoshi – D). Yotish azimuti 115^0 , yotish burchagi 30^0 .

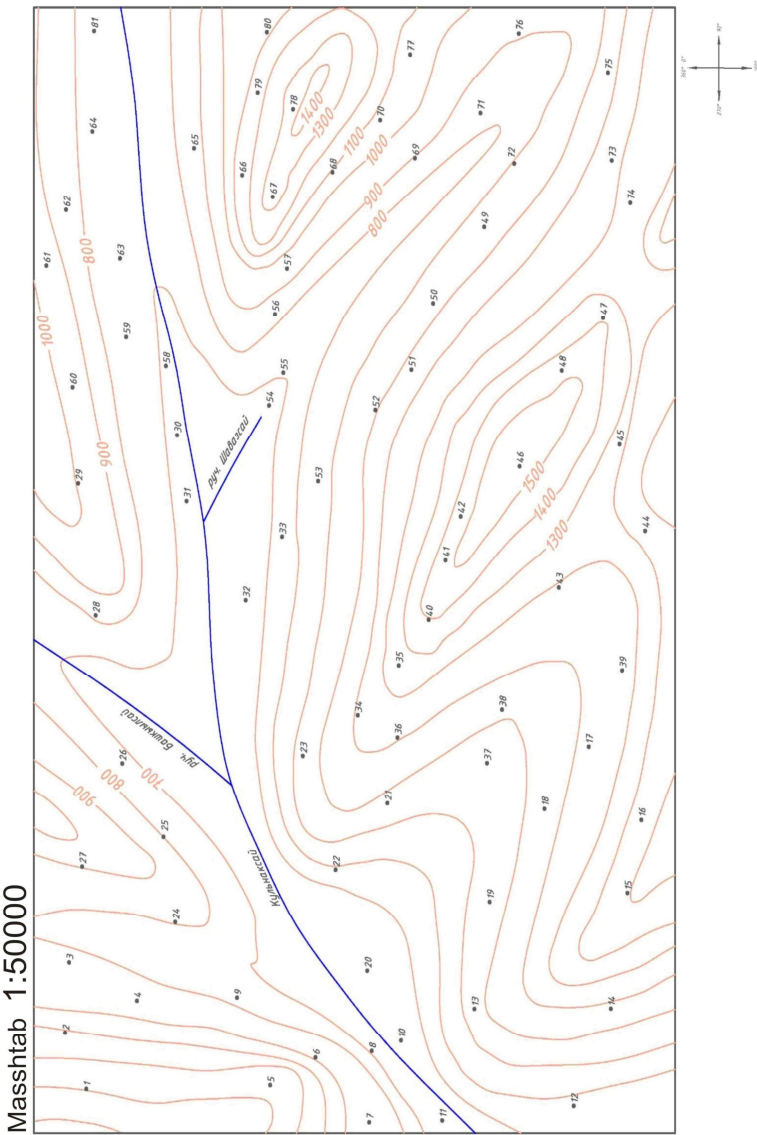
21	Qumtoshlar (yoshi – Eosen). Qatlamlar gorizontal holatda joylashgan.
22	Alevrolitlar (yoshi – Oligosen). Qatlamlar gorizontal holatda joylashgan.
23	Qumtoshlar (yoshi – Eosen). Qatlamlar gorizontal holatda joylashgan.
24	Tektonik buzilish. Surilma. Uning shimolida qumtoshlar (yoshi – yuqori K), janubida gorizontal holatda qumtoshlar (yoshi – Eosen) joylashgan.
25	Tektonik buzilish. Surilma. Uning shimoli-g'arbida dolomitlar (yoshi – yuqori J) janubi-sharqida qumtoshlar (yoshi – Eosen) joylashgan.
26	Gillar (yoshi – quyi K). Yotish azimuti 250^0 , yotish burchagi 27^0 .
27	Qumtoshlar (yoshi – yuqori K). Sinklinal o'ng qanoti.
28	Qumtoshlar (yoshi – yuqori K). Sinklinal chap qanoti.
29	Qumtoshlar (yoshi – yuqori K). Sinklinal o'qi.
30	Gillar (yoshi – quyi K). Yotish azimuti 80^0 , yotish burchagi 27^0 .
31	Dolomitlar (yoshi – yuqori J). Yotish azimuti 83^0 , yotish burchagi 25^0 .
32	Qumtoshlar (yoshi – quyi J). Yotish azimuti 85^0 , yotish burchagi 27^0 .
33	Qumtoshlar (yoshi – quyi J). Yotish azimuti 85^0 , yotish burchagi 27^0 .
34	Qumtoshlar (yoshi – quyi J). Yotish azimuti 85^0 , yotish burchagi 25^0 .
35	Qumtoshlar (yoshi – quyi J). Yotish azimuti 88^0 , yotish burchagi 28^0 .
36	Tektonik buzilish. Surilma. Uning sharqida qumtoshlar (yoshi – Eosen), g'arbida qumtoshlar (yoshi – quyi J) joylashgan.
37	Tektonik buzilish. Surilma. Uning shimoli-sharqida gorizontal joylashgan qumtoshlar (yoshi – Eosen), janubi-g'arbida dolomitlar (yoshi – yuqori J) joylashgan.
38	Qumtoshlar (yoshi – yuqori K). Sinklinal.
39	Qumtoshlar (yoshi – yuqori K). Sinklinal.
40	Tektonik buzilish. Surilma. Uning shimoli-g'arbida gorizontal joylashgan qumtoshlar (yoshi – Eosen), janubi-sharqida qumtoshlar (yoshi – yuqori K) joylashgan.
41	Gillar (yoshi – quyi K). Yotish azimuti 255^0 , yotish burchagi 30^0 .
42	Alevrolitlar (yoshi – yuqori T). Yotish azimuti 80^0 , yotish burchagi 25^0 .
43	Ohaktoshlar (yoshi – o'rtal T). Antiklinal o'qi.
44	Ohaktoshlar (yoshi – o'rtal T). Antiklinal o'qi.
45	Ohaktoshlar (yoshi – o'rtal T). Antiklinal o'qi.
46	Ohaktoshlar (yoshi – o'rtal T). Antiklinal o'qi.
47	Alevrolitlar (yoshi – yuqori T). Yotish azimuti 90^0 , yotish burchagi

22-variant

Kuzatuv nuqtasi	Kuzatuv nuqtasidan olingan ma'lumotlar
1	Gillar (yoshi – N). Qatlamlar gorizontal holatda joylashgan.
2	Gillar (yoshi – N). Qatlamlar gorizontal holatda joylashgan.
3	Gillar (yoshi – N). Qatlamlar gorizontal holatda joylashgan.
4	Alevrolitlar (yoshi – Oligosen). Qatlamlar gorizontal holatda joylashgan.
5	Alevrolitlar (yoshi – Oligosen). Qatlamlar gorizontal holatda joylashgan.
6	Gillar (yoshi – N). Qatlamlar gorizontal holatda joylashgan.
7	Alevrolitlar (yoshi – Oligosen). Qatlamlar gorizontal holatda joylashgan.
8	Alevrolitlar (yoshi – Oligosen). Qatlamlar gorizontal holatda joylashgan.
9	Qumtoshlar (yoshi – Eosen). Qatlamlar gorizontal holatda joylashgan.
10	Tektonik buzilish. Surilma. Uning sharqida qumtoshlar (yoshi – Eosen), g'arbida dolomitlar (yoshi – yuqori J) joylashgan.
11	Tektonik buzilish. Surilma. Uning shimoli-sharqida qumtoshlar (yoshi – Eosen), janubi-g'arbida gillar (yoshi – quyi K) joylashgan.
12	Qumtoshlar (yoshi – Eosen). Qatlamlar gorizontal holatda joylashgan.
13	Alevrolitlar (yoshi – Oligosen). Qatlamlar gorizontal holatda joylashgan.
14	Tektonik buzilish. Surilma. Uning shimalida qumtoshlar (yoshi – Eosen), janubida gillar (yoshi – quyi K) joylashgan.
15	Dolomitlar (yoshi – yuqori J). Yotish azimuti 255^0 , yotish burchagi 25^0 .
16	Qumtoshlar (yoshi – Eosen). Qatlamlar gorizontal holatda joylashgan.
17	Alevrolitlar (yoshi – Oligosen). Qatlamlar gorizontal holatda joylashgan.
18	Tektonik buzilish. Surilma. Uning sharqida qumtoshlar (yoshi – Eosen), g'arbida dolomitlar (yoshi – yuqori J) joylashgan.
19	Qumtoshlar (yoshi – Eosen). Qatlamlar gorizontal holatda joylashgan.
20	Alevrolitlar (yoshi – Oligosen). Qatlamlar gorizontal holatda joylashgan.

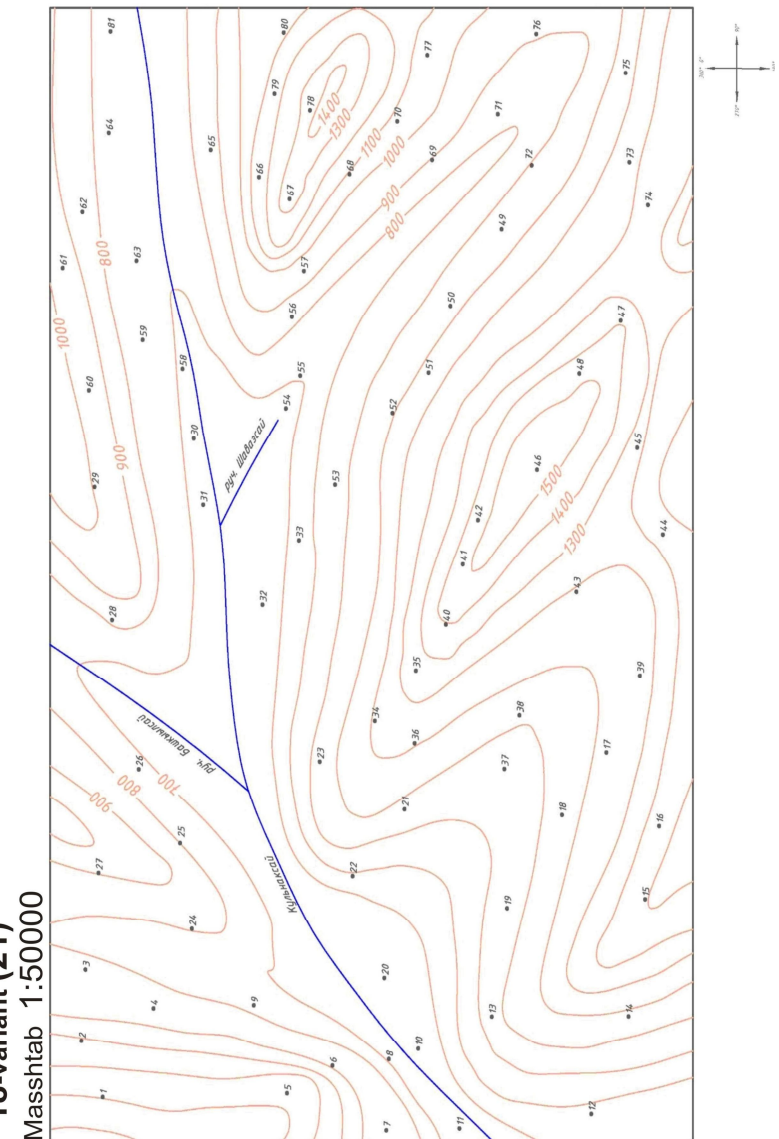
43	Organogenli ohaktoshlar (yoshi – o'rtal O). Yotish azimuti 80^0 , yotish burchagi 28^0 .
44	Alevrolitlar (yoshi – S). Yotish azimuti 80^0 , yotish burchagi 31^0 .
45	Uzilma. Yotish azimuti 85^0 , yotish burchagi 70^0 . G'arbda - dolomitlar (yoshi – D), sharqda - gravelitlar (yoshi – P).
46	Uzilma. Yotish azimuti 90^0 , yotish burchagi 70^0 . G'arbda - qumtoshlar (yoshi – C), sharqda - konglomeratlar (yoshi – quyi T).
47	Mergellar (yoshi – o'rtal T). Sinklinal.
48	Konglomeratlar (yoshi – quyi T). Yotish azimuti 125^0 , yotish burchagi 30^0 .
49	Gravelitlar (yoshi – P). Yotish azimuti 255^0 , yotish burchagi 30^0 .
50	Konglomeratlar (yoshi – quyi T). Sinklinal o'qi.
51	Gravelitlar (yoshi – P). Yotish azimuti 120^0 , yotish burchagi 30^0 .
52	Uzilma. Yotish azimuti 107^0 , yotish burchagi 75^0 . Sharqda - qumtoshlar (yoshi – C), g'arbida - dolomitlar (yoshi – D).
53	Organogenli ohaktoshlar (yoshi – o'rtal O). Yotish azimuti 113^0 , yotish burchagi 30^0 .
54	Organogenli ohaktoshlar (yoshi – o'rtal O). Yotish azimuti 105^0 , yotish burchagi 30^0 .
55	Uzilma. Yotish azimuti 90^0 , yotish burchagi 75^0 . Sharqda - qumtoshlar (yoshi – C), g'arbida - alevrolitlar (yoshi – S).
56	Gravelitlar (yoshi – P). Yotish azimuti 90^0 , yotish burchagi 32^0 .
57	Konglomeratlar (yoshi – quyi T). Yotish azimuti 90^0 , yotish burchagi 32^0 .
58	Uzilma. Yotish azimuti 85^0 , yotish burchagi 75^0 . Sharqda - dolomitlar (yoshi – D), g'arbida - Alevrolitlar (yoshi – S).
59	Qumtoshlar (yoshi – C). Yotish azimuti 85^0 , yotish burchagi 30^0 .
60	Uzilma. Sharqda - qumtoshlar (yoshi – C), g'arbida - alevrolitlar (yoshi – S).
61	Konglomeratlar (yoshi – quyi T). Sinklinal o'qi.
62	Gravelitlar (yoshi – P).
63	Gravelitlar (yoshi – P). Sinklinal o'qi.
64	Uzilma. Sharqda - qumtoshlar (yoshi – C), g'arbida - qumtoshlar (yoshi – C).
65	Uzilma. Yotish azimuti 110^0 , yotish burchagi 75^0 . Sharqda - gravelitlar (yoshi – P), g'arbida - qumtoshlar (yoshi – C).
66	Uzilma. Sharqda - konglomeratlar (yoshi – quyi T), g'arbida - gravelitlar (yoshi – P).

67	Uzilma. Sharqda - konglomeratlar (yoshi – quyi T), g‘arbda - konglomeratlar (yoshi – quyi T).
68	Uzilma. Yotish azimuti 80^0 , yotish burchagi 75^0 . Sharqda - gonglomeratlar (yoshi–quyi T), g‘arbda-gravelitlar (yoshi – P)
69	Uzilma. Yotish azimuti 80^0 , yotish burchagi 70^0 . Sharqda - gravelitlar (yoshi – P), g‘arbda - qumtoshlar (yoshi – C).
70	Gravelitlar (yoshi –P). Yotish azimuti 300^0 , yotish burchagi 30^0 .
71	Qumtoshlar (yoshi – C). Yotish azimuti 270^0 , yotish burchagi 30^0 .
72	Uzilma. Yotish azimuti 100^0 , yotish burchagi 75^0 . Sharqda - gravelitlar (yoshi – P), g‘arbda - qumtoshlar (yoshi – C).
73	Gravelitlar (yoshi – P). Yotish azimuti 250^0 , yotish burchagi 32^0 .
74	Uzilma. Yotish azimuti 115^0 , yotish burchagi 75^0 . Sharqda - konglomeratlar (yoshi – quyi T), g‘arbda - gravelitlar (yoshi – P)
75	Qumtoshlar (yoshi – C). Yotish azimuti 250^0 , yotish burchagi 30^0 .
76	Dolomitlar (yoshi – D). Yotish azimuti 270^0 , yotish burchagi 30^0 .
77	Qumtoshlar (yoshi – C). Yotish azimuti 300^0 , yotish burchagi 32^0 .
78	Konglomeratlar (yoshi – quyi T). Yotish azimuti 270^0 , yotish burchagi 30^0 .
79	Gravelitlar (yoshi –P). Yotish azimuti 255^0 , yotish burchagi 32^0 .
80	Qumtoshlar (yoshi – C). Yotish azimuti 260^0 , yotish burchagi 29^0 .
81	Dolomitlar (yoshi – D). Yotish azimuti 270^0 , yotish burchagi 32^0 .



21-variant (21)
Masshtab 1:500000

	gravelitlar (yoshi – K).
67	Uzilma. Sharqda - Konglomeratlar (yoshi – paleosen), g'arbda - konglomeratlar (yoshi – paleosen).
68	Uzilma. Yotish azimuti 80^0 , yotish burchagi 75^0 . Sharqda - konglomeratlar (yoshi – paleosen), g'arbda - gravelitlar (yoshi – K).
69	Uzilma. Yotish azimuti 80^0 , yotish burchagi 70^0 . Sharqda - Gravelitlar (yoshi – K), G'arbda - Qumtoshlar (yoshi – yuqori J).
70	Gravelitlar (yoshi – K). Yotish azimuti 300^0 , yotish burchagi 30^0 .
71	Qumtoshlar (yoshi – yuqori J). Yotish azimuti 270^0 , yotish burchagi 30^0 .
72	Uzilma. Yotish azimuti 100^0 , yotish burchagi 75^0 . Sharqda - Gravelitlar (yoshi – K), G'arbda - Qumtoshlar (yoshi – yuqori J).
73	Gravelitlar (yoshi – K). Yotish azimuti 250^0 , yotish burchagi 32^0 .
74	Uzilma. Yotish azimuti 115^0 , yotish burchagi 75^0 . Sharqda - Konglomeratlar (yoshi – paleosen), g'arbda - gravelitlar (yoshi – K).
75	Qumtoshlar (yoshi – yuqori J). Yotish azimuti 250^0 , yotish burchagi 30^0 .
76	Dolomitlar (yoshi – o'rta J). Yotish azimuti 270^0 , yotish burchagi 30^0 .
77	Qumtoshlar (yoshi – yuqori J). Yotish azimuti 300^0 , yotish burchagi 32^0 .
78	Konglomeratlar (yoshi – paleosen). Yotish azimuti 270^0 , yotish burchagi 30^0 .
79	Gravelitlar (yoshi – K). Yotish azimuti 255^0 , yotish burchagi 32^0 .
80	Qumtoshlar (yoshi – yuqori J). Yotish azimuti 260^0 , yotish burchagi 29^0 .
81	Dolomitlar (yoshi – o'rta J). Yotish azimuti 270^0 , yotish burchagi 32^0 .



18-variant (21)
Masshtab 1:50000

19-variant

Kuzatuv nuqtasi	Kuzatuv nuqtasidan olingan ma'lumotlar
1	Gillar (yoshi – yuqori T). Qatlamlar gorizontal holatda joylashgan.
2	Gillar (yoshi – yuqori T). Qatlamlar gorizontal holatda joylashgan.
3	Gillar (yoshi – yuqori T). Qatlamlar gorizontal holatda joylashgan.
4	Alevrolitlar (yoshi – o'rtta T). Qatlamlar gorizontal holatda joylashgan.
5	Alevrolitlar (yoshi – o'rtta T). Qatlamlar gorizontal holatda joylashgan.
6	Gillar (yoshi – yuqori T). Qatlamlar gorizontal holatda joylashgan.
7	Alevrolitlar (yoshi – o'rtta T). Qatlamlar gorizontal holatda joylashgan.
8	Alevrolitlar (yoshi – o'rtta T). Qatlamlar gorizontal holatda joylashgan.
9	Qumtoshlar (yoshi – quyi T). Qatlamlar gorizontal holatda joylashgan.
10	Tektonik buzilish. Surilma. Uning sharqida qumtoshlar (yoshi – quyi T), g'arbida dolomitlar (yoshi – C) joylashgan.
11	Tektonik buzilish. Surilma. Uning shimoli-sharqida qumtoshlar (yoshi – quyi T), janubi-g'arbida gillar (yoshi – quyi P) joylashgan.
12	Qumtoshlar (yoshi – quyi T). Qatlamlar gorizontal holatda joylashgan.
13	Alevrolitlar (yoshi – o'rtta T). Qatlamlar gorizontal holatda joylashgan.
14	Tektonik buzilish. Surilma. Uning shimalida qumtoshlar (yoshi – quyi trias), janubida gillar (yoshi – quyi perm) joylashgan.
15	Dolomitlar (yoshi – C). Yotish azimuti 255°, yotish burchagi 25°.
16	Qumtoshlar (yoshi – quyi T). Qatlamlar gorizontal holatda joylashgan.
17	Alevrolitlar (yoshi – o'rtta T). Qatlamlar gorizontal holatda joylashgan.
18	Tektonik buzilish. Surilma. Uning sharqida qumtoshlar (yoshi – quyi T), g'arbida dolomitlar (yoshi – C) joylashgan.
19	Qumtoshlar (yoshi – quyi T). Qatlamlar gorizontal holatda joylashgan.
20	Alevrolitlar (yoshi – o'rtta T). Qatlamlar gorizontal holatda joylashgan.
21	Qumtoshlar (yoshi – quyi T). Qatlamlar gorizontal holatda joylashgan.
22	Alevrolitlar (yoshi – o'rtta T). Qatlamlar gorizontal holatda joylashgan.
23	Qumtoshlar (yoshi – quyi T). Qatlamlar gorizontal holatda joylashgan.
24	Tektonik buzilish. Surilma. Uning shimalida qumtoshlar (yoshi – yuqori P), janubida gorizontal holatda qumtoshlar (yoshi – quyi T) joylashgan.

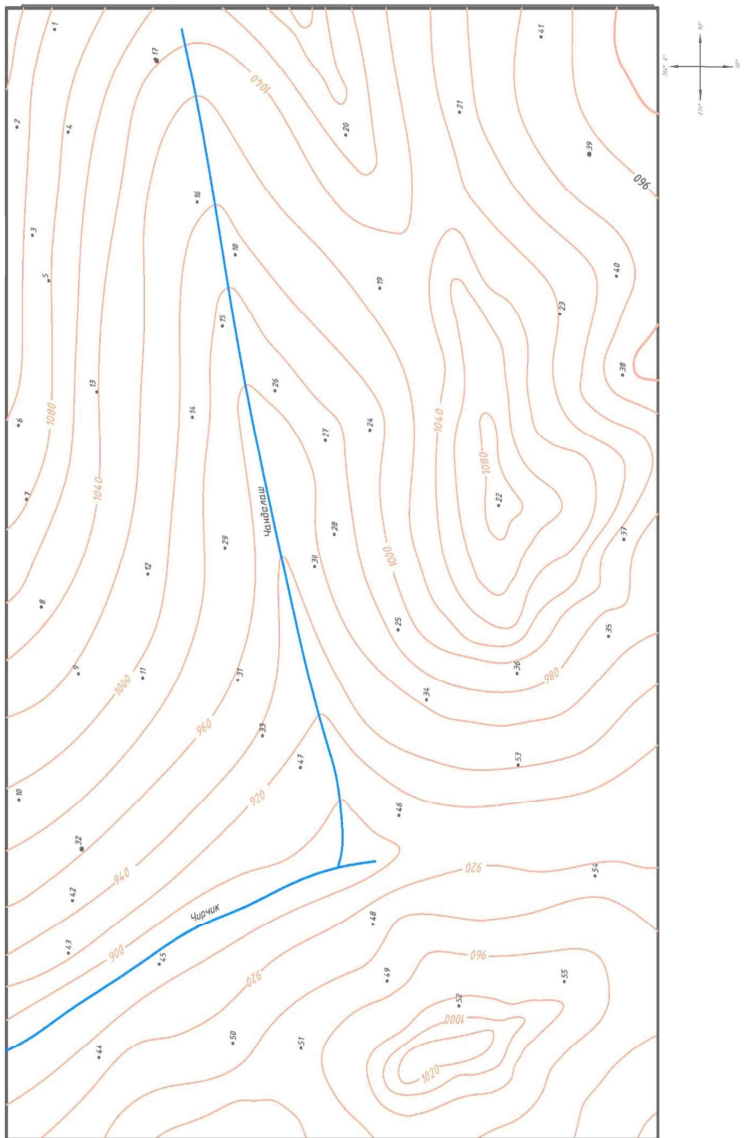
42	Dolomitlar (yoshi – o'rtta J). Yotish azimuti 115°, yotish burchagi 30°.
43	Organogenli ohaktoshlar (yoshi – yuqori T). Yotish azimuti 80°, yotish burchagi 28°.
44	Alevrolitlar (yoshi – quyi J). Yotish azimuti 80°, yotish burchagi 31°
45	Uzilma. Yotish azimuti 85°, yotish burchagi 70°. G'arbda - dolomitlar (yoshi – o'rtta J), sharqda - gravelitlar (yoshi – K)
46	Uzilma. Yotish azimuti 90°, yotish burchagi 70°. G'arbda - qumtoshlar (yoshi – yuqori J), sharqda - konglomeratlar (yoshi – paleosen)
47	Mergellar (yoshi – eosen). Sinklinal o'qi.
48	Konglomeratlar (yoshi – paleosen). Yotish azimuti 125°, yotish burchagi 30°.
49	Gravelitlar (yoshi – K). Yotish azimuti 255°, yotish burchagi 30°.
50	Konglomeratlar (yoshi – paleosen). Sinklinal o'qi.
51	Gravelitlar (yoshi – K). Yotish azimuti 120°, yotish burchagi 30°.
52	Uzilma. Yotish azimuti 107°, yotish burchagi 75°. Sharqda - qumtoshlar (yoshi – yuqori J), G'arbda - dolomitlar (yoshi – o'rtta J).
53	Organogenli ohaktoshlar (yoshi – yuqori T). Yotish azimuti 113°, yotish burchagi 30°.
54	Organogenli ohaktoshlar (yoshi – yuqori T). Yotish azimuti 105°, yotish burchagi 30°.
55	Uzilma. Yotish azimuti 90°, yotish burchagi 75°. Sharqda - qumtoshlar (yoshi – yuqori J), g'arbda - alevrolitlar (yoshi – quyi J).
56	Gravelitlar (yoshi – K). Yotish azimuti 90°, yotish burchagi 32°.
57	Konglomeratlar (yoshi – paleosen). Yotish azimuti 90°, yotish burchagi 32°.
58	Uzilma. Yotish azimuti 85°, yotish burchagi 75°. Sharqda - dolomitlar (yoshi – o'rtta J), g'arbda - alevrolitlar (yoshi – quyi J).
59	Qumtoshlar (yoshi – yuqori J). Yotish azimuti 85°, yotish burchagi 30°
60	Uzilma. Sharqda - qumtoshlar (yoshi – yuqori J), g'arbda - alevrolitlar (yoshi – quyi J).
61	Konglomeratlar (yoshi – paleosen). Sinklinal o'qi.
62	Gravelitlar (yoshi – K). Sinklinal o'qi
63	Gravelitlar (yoshi – K). Sinklinal o'qi.
64	Uzilma. Sharqda - qumtoshlar (yoshi – yuqori J), g'arbda - qumtoshlar (yoshi – yuqori J).
65	Uzilma. Yotish azimuti 110°, yotish burchagi 75°. Sharqda - gravelitlar (yoshi – K), G'arbda - umtoshlar (yoshi – yuqori J).
66	Uzilma. Sharqda - Konglomeratlar (yoshi – paleosen), g'arbda -

21	Gilli slaneslar (yoshi – o'rtta T). Yotish azimuti 268^0 , yotish burchagi 30^0
22	Organogenli ohaktoshlar (yoshi – yuqori T). Yotish azimuti 270^0 , yotish burchagi 30^0 .
23	Kontakt. Janubi g'arbda kremniyli jinslar (yoshi – quyi T), shimoli-sharqda – intruziv jinslar (yoshi – rifej).
24	Dolomitlar (yoshi – o'rtta J). Yotish azimuti 275^0 , yotish burchagi 30^0 .
25	Organogenli ohaktoshlar (yoshi – yuqori T). Yotish azimuti 275^0 , yotish burchagi 30^0 .
26	Kontakt. G'arbda Kremniyli jinslar (yoshi – quyi T), sharqda – intruziv jinslar (yoshi – rifej).
27	Alevrolitlar (yoshi – quyi J). Yotish azimuti 275^0 , yotish burchagi 31^0
28	Kontakt. Sharqda kremniyli jinslar (yoshi – quyi T), g'arbda – intruziv jinslar (yoshi – rifej).
29	Organogenli ohaktoshlar (yoshi – yuqori T). Yotish azimuti 80^0 , yotish burchagi 28^0 .
30	Organogenli ohaktoshlar (yoshi – yuqori T). Yotish azimuti 80^0 , yotish burchagi 28^0 .
31	Gilli slaneslar (yoshi – o'rtta T). Yotish azimuti 91^0 , yotish burchagi 30^0
32	Kontakt. Sharqda kremniyli jinslar (yoshi – quyi T), g'arbda – intruziv jinslar (yoshi – rifej).
33	Gilli slaneslar (yoshi – o'rtta T). Yotish azimuti 110^0 , yotish burchagi 30^0
34	Kontakt. Sharqda kremniyli jinslar (yoshi – quyi T), g'arbda – intruziv jinslar (yoshi – rifej).
35	Gilli slaneslar (yoshi – o'rtta T). Yotish azimuti 110^0 , yotish burchagi 28^0
36	Kontakt. G'arbda kremniyli jinslar (yoshi – quyi T), sharqda – intruziv jinslar (yoshi – rifej).
37	Kontakt. G'arbda kremniyli jinslar (yoshi – quyi T), sharqda – intruziv jinslar (yoshi – rifej).
38	Kontakt. Sharqda kremniyli jinslar (yoshi – quyi T), g'arbda – intruziv jinslar (yoshi – rifej).
39	Gilli slaneslar (yoshi – o'rtta T). Yotish azimuti 115^0 , yotish burchagi 30^0
40	Organogenli ohaktoshlar (yoshi – yuqori T). Yotish azimuti 113^0 , yotish burchagi 30^0 .
41	Alevrolitlar (yoshi – quyi J). Yotish azimuti 115^0 , yotish burchagi 30^0

25	Tektonik buzilish. Surilma. Uning shimoli-g'arbida dolomitlar (yoshi – C) janubi-sharqida qumtoshlar (yoshi – quyi T) joylashgan.
26	Gillar (yoshi-quyi P). Yotish azimuti 250^0 , yotish burchagi 27^0 .
27	Qumtoshlar (yoshi – yuqori P). Sinklinal o'ng qanoti.
28	Qumtoshlar (yoshi – yuqori P). Sinklinal chap qanoti.
29	Qumtoshlar (yoshi – yuqori P). Sinklinal o'qi.
30	Gillar (yoshi – quyi P). Yotish azimuti 80^0 , yotish burchagi 27^0 .
31	Dolomitlar (yoshi – C). Yotish azimuti 83^0 , yotish burchagi 25^0 .
32	Qumtoshlar (yoshi – D). Yotish azimuti 85^0 , yotish burchagi 27^0 .
33	Qumtoshlar (yoshi – devon). Yotish azimuti 85^0 , yotish burchagi 27^0 .
34	Qumtoshlar (yoshi – D). Yotish azimuti 85^0 , yotish burchagi 25^0 .
35	Qumtoshlar (yoshi – D). Yotish azimuti 88^0 , yotish burchagi 28^0 .
36	Tektonik buzilish. Surilma. Uning sharqida qumtoshlar (yoshi – quyi T), g'arbida qumtoshlar (yoshi – D) joylashgan.
37	Tektonik buzilish. Surilma. Uning shimoli-sharqida gorizontal joylashgan qumtoshlar (yoshi – quyi T), janubi-g'arbida dolomitlar (yoshi – C) joylashgan.
38	Qumtoshlar (yoshi – yuqori P). Sinklinal.
39	Qumtoshlar (yoshi – yuqori P). Sinklinal.
40	Tektonik buzilish. Surilma. Uning shimoli-g'arbida gorizontal joylashgan qumtoshlar (yoshi – quyi T), janubi-sharqida qumtoshlar (yoshi – yuqori P) joylashgan.
41	Gillar (yoshi – quyi P). Yotish azimuti 255^0 , yotish burchagi 30^0 .
42	Alevrolitlar (yoshi-S). Yotish azimuti 80^0 , yotish burchagi 25^0 .
43	Ohaktoshlar (yoshi – O). Antiklinal o'qi.
44	Ohaktoshlar (yoshi – O). Antiklinal o'qi.
45	Ohaktoshlar (yoshi – O). Antiklinal o'qi.
46	Ohaktoshlar (yoshi – O). Antiklinal o'qi.
47	Alevrolitlar (yoshi – S). Yotish azimuti 90^0 , yotish burchagi 27^0 .
48	Alevrolitlar (yoshi – S). Yotish azimuti 250^0 , yotish burchagi 28^0 .
49	Qumtoshlar (yoshi – D). Yotish azimuti 250^0 , yotish burchagi 28^0 .
50	Alevrolitlar (yoshi – S). Yotish azimuti 250^0 , yotish burchagi 27^0 .
51	Qumtoshlar (yoshi – D). Yotish azimuti 260^0 , yotish burchagi 30^0 .
52	Dolomitlar(yoshi-C).Yotishazimuti 260^0 ,yotish burchagi 30^0 .
53	Alevrolitlar (yoshi – S). Antiklinal o'qi.
54	Qumtoshlar (yoshi – D). Yotish azimuti 261^0 , yotish burchagi 27^0 .
55	Dolomitlar (yoshi – C). Yotish azimuti 260^0 , yotish burchagi 30^0 .

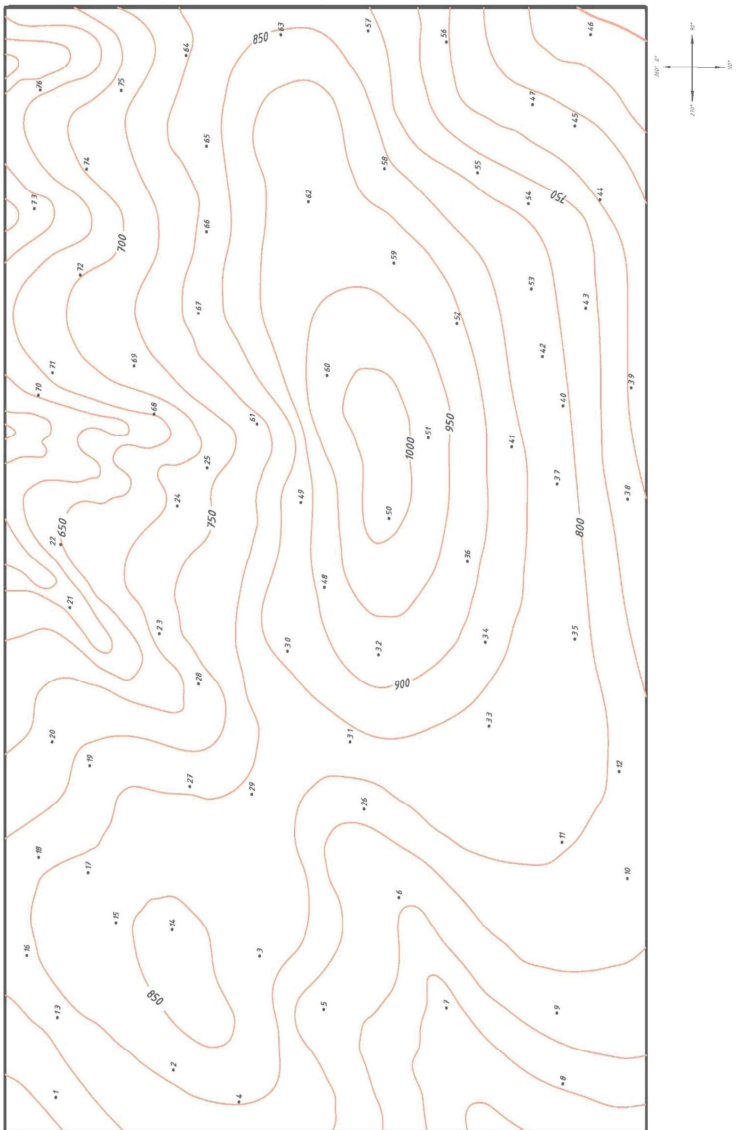
21-variant

19-variant (12)
Masshtab 1:5000



20-variant

20-variant (14)
Masshtab 1:250000



Kuzatuv nuqtasidan olingan ma'lumotlar

Kuzatuv nuqtasi	
1	Alevrolitlar (yoshi – quyi J). Yotish azimuti 83^0 , yotish burchagi 30^0 .
2	Alevrolitlar (yoshi – quyi J). Yotish azimuti 80^0 , yotish burchagi 31^0 .
3	Alevrolitlar (yoshi – quyi J). Yotish azimuti 78^0 , yotish burchagi 31^0 .
4	Ohaktoshlar (yoshi – yuqori T). Yotish azimuti 75^0 , yotish burchagi 30^0 .
5	Ohaktoshlar (yoshi – yuqori T). Yotish azimuti 73^0 , yotish burchagi 29^0 .
6	Ohaktoshlar (yoshi – yuqori T). Yotish azimuti 75^0 , yotish burchagi 31^0 .
7	Gillar (yoshi – o'rtalik T). Yotish azimuti 76^0 , yotish burchagi 27^0 .
8	Konglomeratlar (yoshi – quyi T). Yotish azimuti 77^0 , yotish burchagi 27^0 .
9	Gillar (yoshi – o'rtalik T). Yotish azimuti 77^0 , yotish burchagi 31^0 .
10	Gillar (yoshi – o'rtalik T). Yotish azimuti 76^0 , yotish burchagi 32^0 .
11	Ohaktoshlar (yoshi – yuqori T). Yotish azimuti 78^0 , yotish burchagi 27^0 .
12	Ohaktoshlar (yoshi – yuqori T). Yotish azimuti 78^0 , yotish burchagi 26^0 .
13	Qumtoshlar (yoshi – o'rtalik J). Sinklinal o'qi.
14	Qumtoshlar (yoshi – o'rtalik J). Sinklinal o'qi.
15	Qumtoshlar (yoshi – o'rtalik J). Sinklinal.
16	Alevrolitlar (yoshi – quyi J). Yotish azimuti 230^0 , yotish burchagi 28^0 .
17	Alevrolitlar (yoshi – quyi J). Yotish azimuti 235^0 , yotish burchagi 31^0 .
18	Ohaktoshlar (yoshi – yuqori T). Yotish azimuti 240^0 , yotish burchagi 29^0 .
19	Ohaktoshlar (yoshi – yuqori T). Yotish azimuti 230^0 , yotish burchagi 31^0 .
20	Gillar (yoshi – o'rtalik T). Yotish azimuti 215^0 , yotish burchagi 28^0 .
21	Gillar (yoshi – o'rtalik T). Yotish azimuti 210^0 , yotish burchagi 28^0 .
22	Konglomeratlar (yoshi – quyi T). Yotish azimuti 220^0 , yotish burchagi 32^0 .

23	Gillar (yoshi – o'rtal T). Yotish azimuti 217^0 , yotish burchagi 32^0 .
24	Gillar (yoshi – o'rtal T). Yotish azimuti 230^0 , yotish burchagi 32^0 .
25	Tektonik buzilish. Surılma. Kuzatuv nuqtasidan shimolda gillar (yoshi – o'rtal T), janubda–mergellar (yoshi – S).
26	Alevrolitlar (yoshi –quyi J). Yotish azimuti 77^0 , yotish burchagi 30^0 .
27	Alevrolitlar (yoshi –quyi J). Yotish azimuti 235^0 , yotish burchagi 31^0 .
28	Ohaktoshlar (yoshi – yuqori T). Yotish azimuti 233^0 , yotish burchagi 31^0 .
29	Qumtoshlar (yoshi – o'rtal J). Sinklinal o'qi.
30	Tektonik buzilish. Surılma. Shimoli-g'arbda alevrolitlar (yoshi–quyi J), janubi-sharqda qumtoshlar (yoshi – C).
31	Qumtoshlar (yoshi – o'rtal J). Sinklinal o'qi.
32	Tektonik buzilish. Surılma. G'arbda qumtoshlar (yoshi – o'rtal J), sharqda - qumtoshlar (yoshi – C).
33	Alevrolitlar (yoshi –quyi J). Yotish azimuti 75^0 , yotish burchagi 30^0 .
34	Qumtoshlar (yoshi – o'rtal J). Sinklinal o'qi.
35	Alevrolitlar (yoshi –quyi J). Yotish azimuti 77^0 , yotish burchagi 28^0 .
36	Tektonik buzilish. Surılma. Janubi-g'arbda qumtoshlar (yoshi – o'rtal J), sinklinal o'qi. Shimoli-sharqda gillar (yoshi – D). Yotish azimuti 85^0 , yotish burchagi 35^0 .
37	Qumtoshlar (yoshi – o'rtal J). Sinklinal.
38	Alevrolitlar (yoshi –quyi J). Yotish azimuti 60^0 , yotish burchagi 30^0 .
39	Alevrolitlar (yoshi –quyi J). Yotish azimuti 285^0 , yotish burchagi 31^0 .
40	Alevrolitlar (yoshi –quyi J). Yotish azimuti 265^0 , yotish burchagi 30^0 .
41	Tektonik buzilish. Surılma. Shimolda mergellar (yoshi – S), janubda alevrolitlar (yoshi –quyi J)
42	Tektonik buzilish. Surılma. Shimolda - Ohaktoshlar (yoshi – yuqori kembriy), janubda - ohaktoshlar (yoshi – yuqori T).
43	Ohaktoshlar (yoshi – yuqori T). Yotish azimuti 275^0 , yotish burchagi 31^0 .
44	Gillar (yoshi – o'rtal T). Yotish azimuti 275^0 , yotish burchagi 32^0 .
45	Konglomeratlar (yoshi – quyi T). Yotish azimuti 277^0 , yotish burchagi 30^0 .
46	Konglomeratlar (yoshi – quyi T). Yotish azimuti 281^0 , yotish burchagi 32^0 .
47	Tektonik buzilish. Surılma. Shimolda - ohaktoshlar (yoshi – yuqori Ə), janubda - konglomeratlar (yoshi – quyi T).
48	Gillar (yoshi – D). Yotish azimuti 90^0 , yotish burchagi 32^0 .
49	Mergellar (yoshi-S).Yotish azimuti 92^0 , yotish burchagi 32^0 .

50	Mergellar (yoshi-S).Yotish azimuti 90^0 , yotish burchagi 30^0 .
51	Ohaktoshlar (yoshi – yuqori Ə). Yotish azimuti 80^0 , yotish burchagi 31^0 .
52	Dolomitlar (yoshi – o'rtal Ə). Antiklinal o'qi. O'q tekkisligi qiysiq.
53	Dolomitlar (yoshi – o'rtal Ə). Antiklinal o'qi
54	Dolomitlar (yoshi – o'rtal Ə). Antiklinal o'qi
55	Ohaktoshlar (yoshi – yuqori Ə). Yotish azimuti 80^0 , yotish burchagi 30^0 .
56	Mergellar (yoshi – S). Yotish azimuti 78^0 , yotish burchagi 32^0 .
57	Mergellar (yoshi – S). Yotish azimuti 65^0 , yotish burchagi 32^0 .
58	Mergellar (yoshi – S). Yotish azimuti 75^0 , yotish burchagi 32^0 .
59	Ohaktoshlar (yoshi – yuqori Ə). Yotish azimuti 80^0 , yotish burchagi 30^0 .
60	Dolomitlar (yoshi – o'rtal Ə). Antiklinal o'qi. O'q tekkisligi qiysiq.
61	Ohaktoshlar (yoshi – yuqori Ə). Yotish azimuti 80^0 , yotish burchagi 30^0 .
62	Mergellar (yoshi – S).Yotish azimuti 80^0 ,yotish burchagi 32^0 .
63	Gillar (yoshi-D).Yotish azimuti 80^0 , yotish burchagi 32^0 .
64	Mergellar (yoshi – S). Yotish azimuti 85^0 , yotish burchagi 31^0 .
65	Mergellar (yoshi – S). Yotish azimuti 85^0 , yotish burchagi 31^0 .
66	Ohaktoshlar (yoshi – yuqori Ə). Yotish azimuti 100^0 , yotish burchagi 30^0 .
67	Dolomitlar (yoshi – o'rtal Ə). Antiklinal o'qi.
68	Tektonik buzilish. Surılma. G'arbda - Konglomeratlar (yoshi – quyi T), sharqda - ohaktoshlar (yoshi – yuqori Ə)
69	Dolomitlar (yoshi – o'rtal Ə).
70	Tektonik buzilish. Surılma. G'arbda - konglomeratlar (yoshi – quyi trias), sharqda - ohaktoshlar (yoshi – yuqori Ə).
71	Dolomitlar (yoshi – o'rtal Ə). Antiklinal o'qi. O'q tekkisligi qiysiq.
72	Dolomitlar (yoshi – o'rtal Ə). Antiklinal o'qi. O'q tekkisligi qiysiq.
73	Dolomitlar (yoshi – o'rtal Ə). Antiklinal o'qi. O'q tekkisligi qiysiq.
74	Ohaktoshlar (yoshi – yuqori Ə). Yotish azimuti 90^0 , yotish burchagi 33^0 .
75	Mergellar(yoshi– S).Yotish azimuti 95^0 ,yotish burchagi 30^0 .
76	Mergellar (yoshi – S). Yotish azimuti 100^0 , yotish burchagi 30^0 .